

# **MONITORAMENTO DAS ÁREAS DE INFLUÊNCIA DA DRAGAGEM DE APROFUNDAMENTO DO CANAL DO PORTO DE SANTOS**

**Programa de Monitoramento dos Manguezais**

**e**

**Programa de Monitoramento do Perfil Praial**

**Março de 2017**



## SUMÁRIO

|   |            |
|---|------------|
| <b>APRESENTAÇÃO .....</b>   | <b>15</b>  |
| <b>1 PROGRAMA DE MONITORAMENTO DO MANGUEZAIS.....</b>                   | <b>16</b>  |
| 1.1 SUBPROGRAMA DO MONITORAMENTO DOS REMANESCENTES<br>DE MANGUEZAL..... | 16         |
| 1.1.1 Material e Método .....   | 16         |
| 1.1.2 Resultados e Discussão .....                                      | 17         |
| 1.1.3 Considerações Finais .....  | 26         |
| 1.2 SUBPROGRAMA DO MONITORAMENTO DA DINÂMICA DAS<br>ESPÉCIES .....      | 27         |
| 1.2.1 Material e Métodos .....  | 27         |
| 1.2.2 Resultados e Discussões .....                                     | 33         |
| 1.2.3 Considerações Finais .....  | 102        |
| <b>2 PROGRAMA DE MONITORAMENTO DO PERFIL PRAIAL.....</b>                | <b>106</b> |
| 2.1 Material e Métodos.....   | 106        |
| 2.1.1 Área de Estudo .....  | 106        |
| 2.1.2 Metodologia .....   | 109        |
| 2.1.3 Atividades Realizadas .....                                       | 116        |
| 2.2 Resultados e Discussão .....  | 119        |
| 2.2.1 Análise da topografia .....                                       | 119        |
| 2.2.2 Variações de volume e largura dos perfis topográficos .....       | 140        |
| 2.2.3 Indicadores de Erosão Costeira.....                               | 162        |
| 2.2.4 Caracterização granulométrica .....                               | 184        |
| 2.2.5 Caracterização das células de deriva litorânea .....              | 219        |
| 2.2.6 Alimentação Artificial .....                                      | 223        |
| 2.3 Considerações Finais.....   | 223        |
| <b>3 REFERÊNCIA BIBLIOGRÁFICA.....</b>                                  | <b>225</b> |
| <b>4 ANEXOS .....</b>   | <b>229</b> |

## **LISTA DE FIGURAS**

|   |    |
|---|----|
| Figura 1-1: Delimitação das áreas de mangue .....   | 20 |
| Figura 1-2: Figura A - Área com decréscimo de manguezal entre 2015 e 2016.....  | 21 |
| Figura 1-3: Figura B - Área com decréscimo de manguezal entre 2015 e 2016.....  | 22 |
| Figura 1-4: Figura C - Área com decréscimo de manguezal entre 2015 e 2016.....  | 23 |
| Figura 1-5: Figura D - Área com decréscimo de manguezal entre 2015 e 2016.....  | 24 |
| Figura 1-6: Figura E - Redelimitação das margens do rio .....   | 25 |
| Figura 1-7: Figura F - Área com acréscimo de manguezal entre 2015 e 2016 .....  | 26 |
| Figura 1-8: Malha amostral do presente estudo. ....   | 29 |
| Figura 1-9: Desenho esquemático do posicionamento das parcelas permanentes em relação ao curso d'água, com detalhe da parcela. ....         | 30 |
| Figura 1-10: Quantidade média de indivíduos identificados durante os trabalhos realizados em 2016.....                                      | 34 |
| Figura 1-11: Relação entre a quantidade de plântulas por espécie por campanha de amostragem. ....   | 34 |
| Figura 1-12: Relação entre a quantidade de plântulas por espécie por parcela (A, B, C). ....  | 35 |
| Figura 1-13: Valores de densidade por espécie por período de amostragem.....  | 36 |
| Figura 1-14: Relação entre a quantidade de indivíduos amostrados em cada ponto por periodo na AID. ....                                     | 37 |
| Figura 1-15: Relação entre a quantidade de indivíduos amostrados por ponto por período na All. ....   | 37 |
| Figura 1-16: Relação entre a densidade por espécie por area de influência por periodo de amostragem. ....                                   | 38 |
| Figura 1-17: Relação de densidade por ponto por área de influência.....   | 39 |
| Figura 1-18: Relação de densidade entre os pontos de amostragens dentro da AID. ....  | 39 |
| Figura 1-19: Relação entre a quantidade de indivíduos encontrados em cada parcela do ponto PComp01 (Parcela A, Parcela B e Parcela C). .... | 42 |
| Figura 1-20: Vista geral da parcela PComp01 A.....  | 43 |
| Figura 1-21: Individuo n° ID 1075, encontrado na PComp01 B. ....  | 43 |
| Figura 1-22: Vista geral da parcela PComp01 C.....  | 44 |
| Figura 1-23: Relação entre a quantidade de indivíduos encontrados em cada parcela do ponto PComp02 (Parcela A, Parcela B e Parcela C). .... | 47 |
| Figura 1-24: Vista geral da Parcela A. ....   | 48 |

|  |    |
|--|----|
| Figura 1-25: Vista da Parcela B.....   | 48 |
| Figura 1-26: Indivíduo n° A932.....  | 49 |
| Figura 1-27: Dossel da Parcela C.....  | 49 |
| Figura 1-28: Relação entre a quantidade de indivíduos encontrados em cada parcela do ponto P01 (Parcela A, Parcela B e Parcela C). ..... | 52 |
| Figura 1-29: Vista geral da Parcela A. ....  | 52 |
| Figura 1-30: Vista geral do interior da Parcela B. ....  | 53 |
| Figura 1-31: Parcela C.....  | 53 |
| Figura 1-32: Relação entre a quantidade de indivíduos encontrados em cada parcela do ponto P02 (Parcela A, Parcela B e Parcela C). ..... | 57 |
| Figura 1-33: Vista geral da Parcela A. ....  | 58 |
| Figura 1-34: Vértice da Parcela B. ....  | 58 |
| Figura 1-35: Indivíduo n° A683.....  | 59 |
| Figura 1-36: Relação entre a quantidade de indivíduos encontrados em cada parcela do ponto P03 (Parcela A, Parcela B e Parcela C). ..... | 64 |
| Figura 1-37: Indivíduo n° A2222, encontrado na Parcela A. ....   | 65 |
| Figura 1-38: Vista geral da Parcela B. ....  | 66 |
| Figura 1-39: Vista geral da Parcela C. ....  | 66 |
| Figura 1-40: Relação entre a quantidade de indivíduos encontrados em cada parcela do ponto P04 (Parcela A, Parcela B e Parcela C). ..... | 69 |
| Figura 1-42: Indivíduo n° A2025, encontrado na Parcela A. ....   | 70 |
| Figura 1-43: Vista geral da Parcela B. ....  | 70 |
| Figura 1-44: Vista geral da Parcela C. ....  | 71 |
| Figura 1-45: Relação entre a quantidade de indivíduos encontrados em cada parcela do ponto P05 (Parcela A, Parcela B e Parcela C). ..... | 74 |
| Figura 1-46: Vista geral da Parcela A. ....  | 74 |
| Figura 1-47: Relação entre a quantidade de indivíduos encontrados em cada parcela do ponto P06 (Parcela A, Parcela B e Parcela C). ..... | 76 |
| Figura 1-48: Vértice da Parcela A. ....  | 77 |
| Figura 1-49: Indivíduo n° A514, localizado na Parcela A. ....  | 77 |
| Figura 1-50: Armadilha de caranguejo encontrada na Parcela B.....  | 78 |
| Figura 1-51: Indivíduo n° A2018, localizado na Parcela B. ....   | 78 |

|   |     |
|---|-----|
| Figura 1-53: Relação entre a quantidade de indivíduos encontrados em cada parcela do ponto P07 (Parcela A, Parcela B e Parcela C) .....                                 | 81  |
| Figura 1-54: Vista geral da Parcela A. ....   | 82  |
| Figura 1-55: Indivíduo n° A380, locado na Parcela B. ....   | 82  |
| Figura 1-56: Vista geral da Parcela C. ....   | 83  |
| Figura 1-57: Relação entre a quantidade de indivíduos encontrados em cada parcela do ponto P08 (Parcela A, Parcela B e Parcela C). .....                                | 86  |
| Figura 1-58: Vista geral da Parcela A. ....   | 86  |
| Figura 1-59: Vista geral da Parcela B. ....   | 87  |
| Figura 1-60: Dossel da Parcela C. ....  | 87  |
| Figura 1-61: Relação entre o número de indivíduos identificados por espécie e a proporção respectiva dentre o total amostrado. ....                                     | 89  |
| Figura 1-62: Relação entre a quantidade de pontos, parcelas e total de registros para cada espécie. ....  | 90  |
| Figura 1-63: Relação entre as frequencia absoluta (FA) em cada espécie amostrada. ....  | 90  |
| Figura 1-64: Relação entre as espécies e o número de indivíduos vivos por hectare (DA) e a porcentagem da razão entre o numero de individuos pelo total amostrado. .... | 91  |
| Figura 1-65: Relação de dominâncias relativa e absoluta com as espécies amostradas. ....  | 92  |
| Figura 1-66: Relação de VI das espécies identificadas. ....   | 92  |
| Figura 1-67: Relação de classes diamétricas por espécie.....  | 94  |
| Figura 1-68: Relação entre as classes diamétricas por parcelas para <i>A. schaueriana</i> . ....  | 94  |
| Figura 1-69: Relação entre as classes diamétricas por parcelas para <i>L. racemosa</i> .....  | 95  |
| Figura 1-70: Relação entre as classes diamétricas por parcelas para <i>R. mangle</i> .....  | 95  |
| Figura 1-71: Relação entre padrões de altura de indivíduos por espécie para AID.....  | 96  |
| Figura 1-72: Relação entre padrões de altura de indivíduos por espécie para All. ....   | 97  |
| Figura 1-73: Valores comparativos referentes à FrequênciA Absoluta (%) para a AID.....  | 99  |
| Figura 1-74: Valores comparativos referentes à FrequênciA Absoluta para a All.....  | 99  |
| Figura 1-75: Valores comparativos referentes à Densidade Absoluta para a AID. ....  | 100 |
| Figura 1-76: Valores comparativos referentes à Densidade Absoluta para a All.....   | 100 |
| Figura 1-77: Valores comparativos referentes à Densidade Relativa para a AID.....   | 101 |
| Figura 1-78: Valores comparativos referentes à Densidade Relativa para a All. ....  | 101 |
| Figura 1-79: Relação entre padrões de distribuição das espécies. ....   | 102 |

|   |     |
|---|-----|
| Figura 1-80: Valores fitossociológicos totais relativos à <i>R. mangle</i> .....                                    | 103 |
| Figura 1-81: Valores fitossociológicos totais relativos à <i>L. racemosa</i> .....                                  | 104 |
| Figura 1-82: Valores fitossociológicos totais relativos à <i>A. schaueriana</i> .....                               | 104 |
| Figura 2-1 Malha amostral do programa de Perfil Praial.....   | 107 |
| Figura 2-2. Receptor estático <i>Trimble 5700</i> adquirindo dados na região do Emissário Submarino de Santos. .... | 109 |
| Figura 2-3. Receptor móvel <i>Trimble R4</i> pronto para levantamento.....  | 110 |
| Figura 2-4. Operador conduzindo receptor móvel ao longo de uma seção perpendicular à linha de costa.....            | 111 |
| Figura 2-5. Operador conduzindo equipamento até o ponto de cota zero do IBGE. ....                                  | 111 |
| Figura 2-6. Seções onde foram levantados os perfis praiais a oeste do emissário de Santos.....                      | 112 |
| Figura 2-7. Seções onde foram levantados os perfis praiais ao leste do emissário de Santos.....                     | 113 |
| Figura 2-8. Seções onde foram levantados os perfis praiais na praia do Góes.....                                    | 113 |
| Figura 2-9. Vista da praia de Itararé a partir do Emissário de Santos. ....   | 118 |
| Figura 2-10. Vista do arco praial de Santos a partir do Emissário Submarino de Santos. ..                           | 118 |
| Figura 2-11. Vista do arco praial do Góes. ....   | 118 |
| Figura 2-12 Variabilidade temporal do perfil ITAR01, entre Agosto de 2015 e Dezembro de 2016.....                   | 120 |
| Figura 2-13. Variabilidade temporal do perfil ITAR02, entre Agosto de 2015 e Dezembro de 2016. ....                 | 120 |
| Figura 2-14. Variabilidade temporal do perfil ITAR03, entre Agosto de 2015 e Dezembro de 2016. ....                 | 121 |
| Figura 2-15. Variabilidade temporal do perfil ITAR04, entre Agosto de 2015 e Dezembro de 2016. ....                 | 121 |
| Figura 2-16. Variabilidade temporal do perfil ITAR05, entre Agosto de 2015 e Dezembro de 2016. ....                 | 122 |
| Figura 2-17. Variabilidade temporal do perfil STOS01, entre Agosto de 2015 e Dezembro de 2016. ....                 | 123 |
| Figura 2-18. Variabilidade temporal do perfil STOS02, entre Agosto de 2015 e Dezembro de 2016. ....                 | 124 |
| Figura 2-19. Variabilidade temporal do perfil STOS03, entre Agosto de 2015 e Dezembro de 2016. ....                 | 124 |
| Figura 2-20. Variabilidade temporal do perfil STOS04, entre Agosto de 2015 e Dezembro de 2016. ....                 | 125 |

|   |            |
|---|------------|
| <b>Figura 2-21. Variabilidade temporal do perfil STOS05, entre Agosto de 2015 e Dezembro de 2016.</b> ..... | <b>125</b> |
| <b>Figura 2-22. Variabilidade temporal do perfil STOS06, entre Agosto de 2015 e Dezembro de 2016.</b> ..... | <b>126</b> |
| <b>Figura 2-23. Variabilidade temporal do perfil STOS07, entre Agosto de 2015 e Dezembro de 2016.</b> ..... | <b>127</b> |
| <b>Figura 2-24. Variabilidade temporal do perfil STOS08, entre Agosto de 2015 e Dezembro de 2016.</b> ..... | <b>127</b> |
| <b>Figura 2-25. Variabilidade temporal do perfil STOS09, entre Agosto de 2015 e Dezembro de 2016.</b> ..... | <b>128</b> |
| <b>Figura 2-26. Variabilidade temporal do perfil STOS10, entre Agosto de 2015 e Dezembro de 2016.</b> ..... | <b>129</b> |
| <b>Figura 2-27. Variabilidade temporal do perfil STOS11, entre Agosto de 2015 e Dezembro de 2016.</b> ..... | <b>129</b> |
| <b>Figura 2-28. Variabilidade temporal do perfil STOS12, entre Agosto de 2015 e Dezembro de 2016.</b> ..... | <b>130</b> |
| <b>Figura 2-29. Variabilidade temporal do perfil STOS13, entre Agosto de 2015 e Dezembro de 2016.</b> ..... | <b>131</b> |
| <b>Figura 2-30. Variabilidade temporal do perfil STOS14, entre Agosto de 2015 e Dezembro de 2016.</b> ..... | <b>131</b> |
| <b>Figura 2-31. Variabilidade temporal do perfil STOS15, entre Agosto de 2015 e Dezembro de 2016.</b> ..... | <b>132</b> |
| <b>Figura 2-32. Variabilidade temporal do perfil STOS16, entre Agosto de 2015 e Dezembro de 2016.</b> ..... | <b>133</b> |
| <b>Figura 2-33. Variabilidade temporal do perfil STOS17, entre Agosto de 2015 e Dezembro de 2016.</b> ..... | <b>133</b> |
| <b>Figura 2-34. Variabilidade temporal do perfil STOS18, entre Agosto de 2015 e Dezembro de 2016.</b> ..... | <b>134</b> |
| <b>Figura 2-35. Variabilidade temporal do perfil STOS19, entre Agosto de 2015 e Dezembro de 2016.</b> ..... | <b>135</b> |
| <b>Figura 2-36. Variabilidade temporal do perfil STOS20, entre Agosto de 2015 e Dezembro de 2016.</b> ..... | <b>135</b> |
| <b>Figura 2-37. Variabilidade temporal do perfil STOS21, entre Agosto de 2015 e Dezembro de 2016.</b> ..... | <b>136</b> |
| <b>Figura 2-38. Variabilidade temporal do perfil STOS22, entre Agosto de 2015 e Dezembro de 2016.</b> ..... | <b>137</b> |
| <b>Figura 2-39. Variabilidade temporal do perfil STOS23, entre Agosto de 2015 e Dezembro de 2016.</b> ..... | <b>137</b> |
| <b>Figura 2-40. Variabilidade temporal do perfil GOES01, entre Agosto de 2015 e Dezembro de 2016.</b> ..... | <b>138</b> |

|   |     |
|---|-----|
| Figura 2-41. Variabilidade temporal do perfil GOES02, entre Agosto de 2015 e Dezembro de 2016 ..... | 138 |
| Figura 2-42. Variabilidade temporal do perfil GOES03, entre Agosto de 2015 e Dezembro de 2016 ..... | 139 |
| Figura 2-43. Variabilidade temporal do perfil GOES04, entre Agosto de 2015 e Dezembro de 2016 ..... | 139 |
| Figura 2-44. Variabilidade temporal do perfil GOES05, entre Agosto de 2015 e Dezembro de 2016 ..... | 140 |
| Figura 2-45. Variações temporais de volume ( $m^3/m$ ) e largura (m) do perfil ITAR01.....          | 141 |
| Figura 2-46. Variações temporais de volume ( $m^3/m$ ) e largura (m) do perfil ITAR02.....          | 142 |
| Figura 2-47. Variações temporais de volume ( $m^3/m$ ) e largura (m) do perfil ITAR03.....          | 142 |
| Figura 2-48. Variações temporais de volume ( $m^3/m$ ) e largura (m) do perfil ITAR04.....          | 143 |
| Figura 2-49. Variações temporais de volume ( $m^3/m$ ) e largura (m) do perfil ITAR05.....          | 143 |
| Figura 2-50. Variações temporais de volume ( $m^3/m$ ) e largura (m) do perfil STOS01.....          | 144 |
| Figura 2-51. Variações temporais de volume ( $m^3/m$ ) e largura (m) do perfil STOS02.....          | 145 |
| Figura 2-52. Variações temporais de volume ( $m^3/m$ ) e largura (m) do perfil STOS03.....          | 145 |
| Figura 2-53. Variações temporais de volume ( $m^3/m$ ) e largura (m) do perfil STOS04.....          | 146 |
| Figura 2-54. Variações temporais de volume ( $m^3/m$ ) e largura (m) do perfil STOS05.....          | 146 |
| Figura 2-55. Variações temporais de volume ( $m^3/m$ ) e largura (m) do perfil STOS06.....          | 147 |
| Figura 2-56. Variações temporais de volume ( $m^3/m$ ) e largura (m) do perfil STOS07.....          | 148 |
| Figura 2-57. Variações temporais de volume ( $m^3/m$ ) e largura (m) do perfil STOS08.....          | 148 |
| Figura 2-58. Variações temporais de volume ( $m^3/m$ ) e largura (m) do perfil STOS09.....          | 149 |
| Figura 2-59. Variações temporais de volume ( $m^3/m$ ) e largura (m) do perfil STOS10.....          | 150 |
| Figura 2-60. Variações temporais de volume ( $m^3/m$ ) e largura (m) do perfil STOS11.....          | 150 |
| Figura 2-61. Variações temporais de volume ( $m^3/m$ ) e largura (m) do perfil STOS12.....          | 151 |
| Figura 2-62. Variações temporais de volume ( $m^3/m$ ) e largura (m) do perfil STOS13.....          | 152 |
| Figura 2-63. Variações temporais de volume ( $m^3/m$ ) e largura (m) do perfil STOS14.....          | 152 |
| Figura 2-64. Variações temporais de volume ( $m^3/m$ ) e largura (m) do perfil STOS15.....          | 153 |
| Figura 2-65. Variações temporais de volume ( $m^3/m$ ) e largura (m) do perfil STOS16.....          | 154 |
| Figura 2-66. Variações temporais de volume ( $m^3/m$ ) e largura (m) do perfil STOS17.....          | 154 |
| Figura 2-67. Variações temporais de volume ( $m^3/m$ ) e largura (m) do perfil STOS18.....          | 155 |

|   |     |
|---|-----|
| Figura 2-68. Variações temporais de volume ( $m^3/m$ ) e largura (m) do perfil STOS19.....  | 156 |
| Figura 2-69. Variações temporais de volume ( $m^3/m$ ) e largura (m) do perfil STOS20.....  | 156 |
| Figura 2-70. Variações temporais de volume ( $m^3/m$ ) e largura (m) do perfil STOS21.....  | 157 |
| Figura 2-71. Variações temporais de volume ( $m^3/m$ ) e largura (m) do perfil STOS22.....  | 158 |
| Figura 2-72. Variações temporais de volume ( $m^3/m$ ) e largura (m) do perfil STOS23.....  | 158 |
| Figura 2-73. Variações temporais de volume ( $m^3/m$ ) e largura (m) do perfil GOES01.....  | 159 |
| Figura 2-74. Variações temporais de volume ( $m^3/m$ ) e largura (m) do perfil GOES02.....  | 160 |
| Figura 2-75. Variações temporais de volume ( $m^3/m$ ) e largura (m) do perfil GOES03.....  | 160 |
| Figura 2-76. Variações temporais de volume ( $m^3/m$ ) e largura (m) do perfil GOES04.....  | 161 |
| Figura 2-77. Variações temporais de volume ( $m^3/m$ ) e largura (m) do perfil GOES05.....  | 161 |
| Figura 2-78. Comparação da face praial próximo ao perfil STOS19 entre Agosto de 2015 e Agosto de 2016, após ocorrência de forte ressaca, com rebaixamento do pós-praia e exposição das raízes das árvores.....  | 181 |
| Figura 2-79. Forte processo erosivo na base do farol junto ao perfil STOS20. Na foto estão apresentadas as condições em Janeiro de 2016 e Junho de 2016.....  | 181 |
| Figura 2-80. Forte processo erosivo junto ao perfil STOS22. Na foto estão apresentadas as condições em Maio de 2016 e Agosto de 2016.....   | 182 |
| Figura 2-81. Forte processo erosivo junto ao perfil STOS23, com rebaixamento do pós praia e da face praial, estreitamento da faixa de areia e pós praia praticamente inexistente. Na foto estão apresentadas as condições em Agosto de 2015 e Setembro de 2016..... | 182 |
| Figura 2-82. Forte processo erosivo próximo ao perfil STOS19 com quase derrubada de árvores. Na foto estão apresentadas as condições em Agosto de 2016.....   | 183 |
| Figura 2-83. Forte processo erosivo entre os perfis STOS21 e STOS22 com interdição de acesso. Na foto estão apresentadas as condições em Agosto de 2016.....  | 183 |
| Figura 2-84. Canal 1 entre os perfis STOS05 e STOS06 completamente assoreado.....   | 184 |
| Figura 2-85. Percentis das frações granulométricas para as amostras analisadas de Agosto/2015.....  | 185 |
| Figura 2-86. Percentis das frações granulométricas para as amostras analisadas de Setembro/2015.....  | 185 |
| Figura 2-87. Percentis das frações granulométricas para as amostras analisadas de Outubro/2015.....   | 186 |
| Figura 2-88. Percentis das frações granulométricas para as amostras analisadas de Novembro/2015.....  | 186 |
| Figura 2-89. Percentis das frações granulométricas para as amostras analisadas de Dezembro/2015.....  | 187 |

|  |     |
|--|-----|
| Figura 2-90. Percentis das frações granulométricas para as amostras analisadas de Janeiro/2016.....    | 187 |
| Figura 2-91. Percentis das frações granulométricas para as amostras analisadas de Fevereiro/2016 ..... | 188 |
| Figura 2-92. Percentis das frações granulométricas para as amostras analisadas de Março/2016.....      | 188 |
| Figura 2-93. Percentis das frações granulométricas para as amostras analisadas de Abril/2016 .....     | 189 |
| Figura 2-94. Percentis das frações granulométricas para as amostras analisadas de Maio/2016 .....      | 189 |
| Figura 2-95. Percentis das frações granulométricas para as amostras analisadas de Junho/2016.....      | 190 |
| Figura 2-96. Percentis das frações granulométricas para as amostras analisadas de Julho/2016.....      | 190 |
| Figura 2-97. Percentis das frações granulométricas para as amostras analisadas de Agosto/2016.....     | 191 |
| Figura 2-98. Percentis das frações granulométricas para as amostras analisadas de Setembro/2016.....   | 191 |
| Figura 2-99. Percentis das frações granulométricas para as amostras analisadas de Outubro/2016 .....   | 192 |
| Figura 2-100. Percentis das frações granulométricas para as amostras analisadas de Novembro/2016.....  | 192 |
| Figura 2-101. Percentis das frações granulométricas para as amostras analisadas de Dezembro/2016.....  | 193 |
| Figura 2-102. Diâmetro mediano para as diferentes amostras analisadas na campanha Agosto/2015 .....    | 211 |
| Figura 2-103. Diâmetro mediano para as diferentes amostras analisadas na campanha Setembro/2015.....   | 211 |
| Figura 2-104. Diâmetro mediano para as diferentes amostras analisadas na campanha Outubro/2015 .....   | 211 |
| Figura 2-105. Diâmetro mediano para as diferentes amostras analisadas na campanha Novembro/2015.....   | 212 |
| Figura 2-106. Diâmetro mediano para as diferentes amostras analisadas na campanha Dezembro/2015 .....  | 212 |
| Figura 2-107. Diâmetro mediano para as diferentes amostras analisadas na campanha Janeiro/2016.....    | 212 |
| Figura 2-108. Diâmetro mediano para as diferentes amostras analisadas na campanha Fevereiro/2016 ..... | 213 |
| Figura 2-109. Diâmetro mediano para as diferentes amostras analisadas na campanha Março/2016.....      | 213 |

|  |     |
|--|-----|
| Figura 2-110. Diâmetro mediano para as diferentes amostras analisadas na campanha Abril/2016 .....   | 213 |
| Figura 2-111. Diâmetro mediano para as diferentes amostras analisadas na campanha Maio/2016 .....  | 214 |
| Figura 2-112. Diâmetro mediano para as diferentes amostras analisadas na campanha Junho/2016.....  | 214 |
| Figura 2-113. Diâmetro mediano para as diferentes amostras analisadas na campanha Julho/2016.....  | 214 |
| Figura 2-114. Diâmetro mediano para as diferentes amostras analisadas na campanha Agosto/2016 .....  | 215 |
| Figura 2-115. Diâmetro mediano para as diferentes amostras analisadas na campanha Setembro/2016.....   | 215 |
| Figura 2-116. Diâmetro mediano para as diferentes amostras analisadas na campanha Outubro/2016.....  | 215 |
| Figura 2-117. Diâmetro mediano para as diferentes amostras analisadas na campanha Novembro/2016.....   | 216 |
| Figura 2-118. Diâmetro mediano para as diferentes amostras analisadas na campanha Dezembro/2016.....   | 216 |
| Figura 2-119. Gráfico do tipo box-plot (mediana, 1 e 2 desvios-padrão e outliers) da variação temporal de diâmetros médios dos sedimentos do arco praial de Itararé..... | 217 |
| Figura 2-120. Gráfico do tipo box-plot (mediana, 1 e 2 desvios-padrão e outliers) da variação temporal de diâmetros médios dos sedimentos do arco praial de Santos.....  | 218 |
| Figura 2-121. Gráfico do tipo box-plot (mediana, 1 e 2 desvios-padrão e outliers) da variação temporal de diâmetros médios dos sedimentos do arco praial do Góes.....    | 219 |

### **LISTA DE TABELAS**

|   |    |
|---|----|
| Tabela 1-1: Áreas de manguezal denso e aberto existentes na Área de Influência Direta (AID) nos anos de 2009, 2011, 2013, 2015 e 2016. .... | 18 |
| Tabela 1-2: Comparativos entre as áreas totais de manguezal na Área de Influência Direta (AID) entre 2015 e 2016. ....                      | 18 |
| Tabela 1-3: Coordenadas geográficas das parcelas de amostragem.....   | 28 |
| Tabela 1-4: Cronograma de execução das atividades. ....   | 33 |
| Tabela 1-5: Indivíduos amostrados no ponto PComp01.....   | 40 |
| Tabela 1-6: Lista de indivíduos registrados no PComp02. ....  | 44 |
| Tabela 1-7: Lista de indivíduos registrados no P01. ....  | 50 |
| Tabela 1-8: Lista de indivíduos registrados no P02. ....  | 54 |

|   |            |
|---|------------|
| <b>Tabela 1-9: Lista de indivíduos registrados no P03.</b> .....  | <b>60</b>  |
| <b>Tabela 1-10: Lista de indivíduos registrados no P04.</b> .....   | <b>67</b>  |
| <b>Tabela 1-11: Lista de indivíduos registrados no P05</b> .....  | <b>71</b>  |
| <b>Tabela 1-12: Lista de indivíduos registrados no P06</b> .....  | <b>75</b>  |
| <b>Tabela 1-13: Lista de indivíduos registrados no P07.</b> .....   | <b>79</b>  |
| <b>Tabela 1-14: Lista de indivíduos registrados no P08.</b> .....   | <b>83</b>  |
| <b>Tabela 1-15: Parametros fitossociológicos para a amostragem realizada. Legenda:</b> n° Ind: número de indivíduos; N° Amostras: número de amostras onde ocorre a espécie; FA: frequencia absoluta; FR: frequencia relativa; DA: densidade absoluta; DR densidade relativa; DoA: dominância absoluta; DoR: dominância relativa; VI: valor de importância. .... | <b>88</b>  |
| <b>Tabela 1-16: Relação diamétrica estabelecida</b> .....   | <b>93</b>  |
| <b>Tabela 2-1 . Coordenadas geográficas (UTM) dos 33 pontos estudados. Datum utilizado: WGS84.</b> .....  | <b>108</b> |
| <b>Tabela 2-2. Coordenadas geográficas da estação base.</b> .....   | <b>110</b> |
| <b>Tabela 2-3. Indicadores de erosão costeira</b> .....   | <b>114</b> |
| <b>Tabela 2-4. Classificação de risco do perfil praial.</b> .....   | <b>115</b> |
| <b>Tabela 2-5. Classificação de risco total da praia.</b> .....   | <b>116</b> |
| <b>Tabela 2-6 Descrição das condições ambientais nos dias dos levantamentos.</b> .....  | <b>117</b> |
| <b>Tabela 2-7: Indicadores de erosão costeira identificados na campanha Agosto/2015.</b> .....  | <b>163</b> |
| <b>Tabela 2-8. Indicadores de erosão costeira identificados na campanha Setembro/2015.</b> ...  | <b>164</b> |
| <b>Tabela 2-9. Indicadores de erosão costeira identificados na campanha Outubro/2015.</b> .....   | <b>165</b> |
| <b>Tabela 2-10. Indicadores de erosão costeira identificados na campanha Novembro/2015.</b> 166   |            |
| <b>Tabela 2-11. Indicadores de erosão costeira identificados na campanha Dezembro/2015.</b> 167   |            |
| <b>Tabela 2-12. Indicadores de erosão costeira identificados na campanha Janeiro/2016.</b> .... 168   |            |
| <b>Tabela 2-13. Indicadores de erosão costeira identificados na campanha Fevereiro/2016...</b> 169  |            |
| <b>Tabela 2-14. Indicadores de erosão costeira identificados na campanha Março/2016. ....</b> 170   |            |
| <b>Tabela 2-15. Indicadores de erosão costeira identificados na campanha Abril/2016.....</b> 171  |            |
| <b>Tabela 2-16. Indicadores de erosão costeira identificados na campanha Maio/2016.....</b> 172   |            |
| <b>Tabela 2-17. Indicadores de erosão costeira identificados na campanha Junho/2016. ....</b> 173   |            |
| <b>Tabela 2-18. Indicadores de erosão costeira identificados na campanha Julho/2016. ....</b> 174   |            |
| <b>Tabela 2-19. Indicadores de erosão costeira identificados na campanha Agosto/2016. ....</b> 175  |            |

|  |     |
|--|-----|
| Tabela 2-20. Indicadores de erosão costeira identificados na campanha Setembro/2016 ..                                       | 176 |
| Tabela 2-21. Indicadores de erosão costeira identificados na campanha Outubro/2016.....                                      | 177 |
| Tabela 2-22. Indicadores de erosão costeira identificados na campanha Novembro/2016.   | 178 |
| Tabela 2-23. Indicadores de erosão costeira identificados na campanha Dezembro/2016.   | 179 |
| Tabela 2-24. Parâmetros estatísticos de Folk & Ward para as amostras de sedimento coletadas na campanha Agosto/2015. ....    | 194 |
| Tabela 2-25. Parâmetros estatísticos de Folk & Ward para as amostras de sedimento coletadas na campanha Setembro/2015. ....  | 195 |
| Tabela 2-26. Parâmetros estatísticos de Folk & Ward para as amostras de sedimento coletadas na campanha Outubro/2015. ....   | 196 |
| Tabela 2-27. Parâmetros estatísticos de Folk & Ward para as amostras de sedimento coletadas na campanha Novembro/2015.....   | 197 |
| Tabela 2-28. Parâmetros estatísticos de Folk & Ward para as amostras de sedimento coletadas na campanha Dezembro/2015. ....  | 198 |
| Tabela 2-29. Parâmetros estatísticos de Folk & Ward para as amostras de sedimento coletadas na campanha Janeiro/2016.....    | 199 |
| Tabela 2-30. Parâmetros estatísticos de Folk & Ward para as amostras de sedimento coletadas na campanha Fevereiro/2016. .... | 200 |
| Tabela 2-31. Parâmetros estatísticos de Folk & Ward para as amostras de sedimento coletadas na campanha Março/2016. ....     | 201 |
| Tabela 2-32. Parâmetros estatísticos de Folk & Ward para as amostras de sedimento coletadas na campanha Abril/2016. ....     | 202 |
| Tabela 2-33. Parâmetros estatísticos de Folk & Ward para as amostras de sedimento coletadas na campanha Maio/2016. ....      | 203 |
| Tabela 2-34. Parâmetros estatísticos de Folk & Ward para as amostras de sedimento coletadas na campanha Junho/2016. ....     | 204 |
| Tabela 2-35. Parâmetros estatísticos de Folk & Ward para as amostras de sedimento coletadas na campanha Julho/2016. ....     | 205 |
| Tabela 2-36. Parâmetros estatísticos de Folk & Ward para as amostras de sedimento coletadas na campanha Agosto/2016. ....    | 206 |
| Tabela 2-37. Parâmetros estatísticos de Folk & Ward para as amostras de sedimento coletadas na campanha Setembro/2016. ....  | 207 |
| Tabela 2-38. Parâmetros estatísticos de Folk & Ward para as amostras de sedimento coletadas na campanha Outubro/2016. ....   | 208 |
| Tabela 2-39. Parâmetros estatísticos de Folk & Ward para as amostras de sedimento coletadas na campanha Novembro/2016.....   | 209 |
| Tabela 2-40. Parâmetros estatísticos de Folk & Ward para as amostras de sedimento coletadas na campanha Dezembro/2016. ....  | 210 |

Tabela 2-41. Tendência residual de transporte, para o arco praial do Góes. As setas indicam o sentido preferencial de transporte, com base nos dados de granulometria..... 220

Tabela 2-42. Tendência residual de transporte, para o arco praial de Itararé (Itararé – Emissário). As setas indicam o sentido preferencial de transporte, com base nos dados de granulometria. .... 221

Tabela 2-43. Tendência residual de transporte, para o arco praial de Santos (Emissário – Ponta da Praia). As setas indicam o sentido preferencial de transporte, com base nos dados de granulometria. As barras duplas azuis indicam a posição dos canais. .... 222

## **APRESENTAÇÃO**

O presente documento tem como objetivo apresentar ao Instituto Brasileiro do Meio Ambiente e dos Recursos Naturais Renováveis – IBAMA os resultados obtidos no ano de 2016 pelos programas elencados abaixo, os quais fazem parte do Plano Básico Ambiental da Obra de Dragagem de Aprofundamento do Porto de Santos, finalizada em 2012:

- Programa de Monitoramento dos Manguezais
- Programa de Monitoramento do Perfil Praial

Cabe ressaltar que para o Programa de Monitoramento do Perfil Praial, foram apresentados e discutidos os resultados de Agosto de 2015 até Dezembro de 2016, com o objetivo de expor a evolução do monitoramento.



## 2 PROGRAMA DE MONITORAMENTO DO PERFIL PRAIAL

O Programa de Monitoramento do Perfil Praial tem como objetivo geral avaliar o comportamento da morfodinâmica sedimentar nas praias de Santos (José Menino, Pompéia, Gonzaga, Boqueirão, Embaré, Aparecida e Ponta da Praia), São Vicente (Itararé) e Guarujá (Góes) em virtude das novas condições hidrodinâmicas oriundas de intervenções no canal portuário, especificamente a dragagem de aprofundamento a 15 metros.

Este programa apresenta como objetivos específicos:

- Monitorar morfológica e texturalmente (granulometria) as praias;
- Caracterizar a dinâmica de sedimentação das praias sob as diferentes condições meteorológicas e oceanográficas (variabilidades espaço-temporais);
- Caracterizar a dinâmica de transporte costeiro nas praias, com ênfase nos trechos mais problemáticos;
- Monitorar os principais indicadores de erosão costeira e estabelecer a classificação de risco em toda a linha de costa estudada;
- Identificar as causas naturais e antrópicas de possíveis alterações na dinâmica sedimentar das praias e na estabilidade das estruturas urbanas do trecho Ponta da Praia-Ferry-Boat;
- Propor medidas mitigadoras e/ou compensatórias se for comprovado algum impacto na dinâmica sedimentar local pelas novas condições hidrodinâmicas instaladas.

### 2.1 Material e Métodos

#### 2.1.1 Área de Estudo

Em cada campanha foram realizados levantamentos em 33 pontos previamente definidos, sendo 5 deles localizados na Praia do Góes, no município do Guarujá, 5 pontos na Praia de Itararé no município de São Vicente e 23 pontos distribuídos ao longo das praias de Santos. A **Figura 2-1** abaixo apresentam a distribuição dos pontos ao longo da área de estudo e a **Tabela 2-1** apresenta as coordenadas dos 33 pontos estudados.

|  |  |   |  |                               |
|--|--|---|--|-------------------------------|
| Monitoramento Ambiental da Dragagem<br>Contrato DP/44.2015 | Coordenadora Geral<br>Lígia Módolo Pinto |  | Relatório Anual do Monitoramento das Áreas de Influência Da Dragagem de Aprofundamento Do Canal do Porto de Santos | Rev. 00<br>Pag.<br><b>106</b> |
|--|--|---|--|-------------------------------|



**Figura**

Malha

8

programa

Prajal  
Perfil

**Tabela 2-1 . Coordenadas geográficas (UTM) dos 33 pontos estudados. Datum utilizado: WGS84.**

| <b>Ponto</b> | <b>Coordenadas</b> |               |
|--------------|--------------------|---------------|
|              | <b>X (m)</b>       | <b>Y (m)</b>  |
| STOS01       | 362.355.071        | 7.348.504.574 |
| STOS02       | 362.556.538        | 7.348.546.962 |
| STOS03       | 362.691.831        | 7.348.569.242 |
| STOS04       | 362.888.099        | 7.348.596.610 |
| STOS05       | 363.053.436        | 7.348.593.010 |
| STOS06       | 363.115.411        | 7.348.587.766 |
| STOS07       | 363.383.380        | 7.348.590.624 |
| STOS08       | 363.706.907        | 7.348.530.321 |
| STOS09       | 363.782.740        | 7.348.525.222 |
| STOS10       | 364.277.835        | 7.348.479.369 |
| STOS11       | 364.717.157        | 7.348.323.850 |
| STOS12       | 364.779.743        | 7.348.306.926 |
| STOS13       | 365.128.078        | 7.348.182.746 |
| STOS14       | 365.514.453        | 7.347.983.554 |
| STOS15       | 365.585.919        | 7.347.934.269 |
| STOS16       | 365.845.964        | 7.347.752.682 |
| STOS17       | 366.084.545        | 7.347.586.306 |
| STOS18       | 366.186.735        | 7.347.502.777 |
| STOS19       | 366.448.297        | 7.347.239.819 |
| STOS20       | 366.758.093        | 7.346.928.193 |
| STOS21       | 366.787.921        | 7.346.889.548 |
| STOS22       | 366.829.543        | 7.346.780.569 |
| STOS23       | 366.849.649        | 7.346.706.589 |
| ITAR01       | 360.541.683        | 7.347.681.514 |
| ITAR02       | 360.787.125        | 7.348.149.455 |
| ITAR03       | 361.261.208        | 7.348.387.936 |
| ITAR04       | 361.764.169        | 7.348.502.534 |
| ITAR05       | 362.043.330        | 7.348.512.538 |
| GOES01       | 366.197.033        | 7.345.289.659 |
| GOES02       | 366.251.839        | 7.345.291.973 |
| GOES03       | 366.301.961        | 7.345.276.64  |
| GOES04       | 366.355.034        | 7.345.288.982 |
| GOES05       | 366.398.427        | 7.345.298.529 |

## 2.1.2 Metodologia

### 2.1.2.1 Perfis praiais

Para a avaliação das alterações topográficas no arco praial, medidas acuradas e com consistência espacial se fazem necessárias. Atualmente existem diferentes técnicas de acurácia semelhante, porém o emprego de equipamentos que utilizam o posicionamento através do sistema de navegação por satélite (GNSS) conferem ao levantamento um ganho de consistência espacial e temporal como descrito por Morton *et al.* (1993).

Por este motivo o levantamento dos perfis praiais foi realizado por meio de um sistema de posicionamento DGPS pós-processado. Este sistema é constituído de uma base com receptor estático *Trimble 5700* com antena Zephyr 2 (**Figura 2-2**) e um receptor móvel (rover) *Trimble R4* (**Figura 2-3**). A base (receptor estático) encarrega-se de coletar dados em um ponto fixo e conhecido durante todo o período de levantamento, enquanto o receptor móvel é conduzido ao ponto de interesse.



**Figura 2-2. Receptor estático *Trimble 5700* adquirindo dados na região do Emissário Submarino de Santos.**



Figura 2-3. Receptor móvel *Trimble R4* pronto para levantamento.

Para este levantamento, o receptor estático foi posicionado em um ponto conhecido, sobre o Emissário Submarino de Santos. Esta localização permite que o equipamento não possua qualquer tipo de obstrução por árvores ou construções, além de se encontrar em uma posição intermediária em relação aos pontos mais extremos da área estudada. Suas coordenadas geográficas encontram-se na **Tabela 2-2** abaixo.

Tabela 2-2. Coordenadas geográficas da estação base.

| COORDENADAS GEOGRÁFICAS DA ESTAÇÃO BASE |             |
|---|-------------|
| X (m)                                   | Y (m)       |
| 362618.855                              | 7348362.988 |

Os levantamentos de cada perfil praial tiveram início nos pontos pré-estabelecidos. A partir destes pontos, o operador encarregou-se de conduzir o receptor móvel ao longo de uma seção perpendicular à linha de costa (**Figura 2-4**), até que a cota zero em relação ao nível médio do mar fosse atingida (**Figura 2-5**).



Figura 2-4. Operador conduzindo receptor móvel ao longo de uma seção perpendicular à linha de costa.

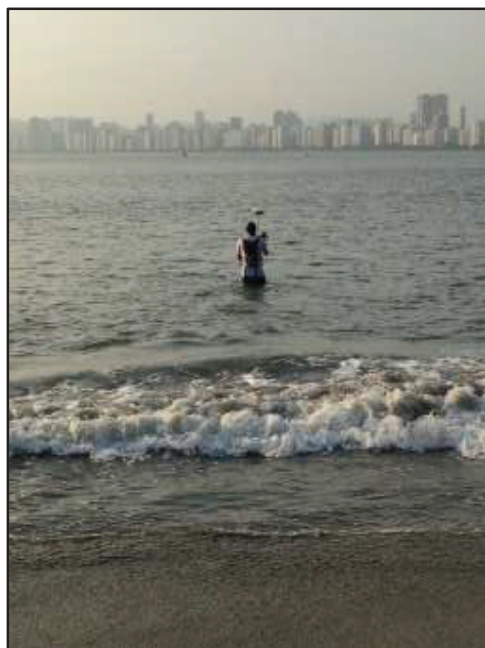


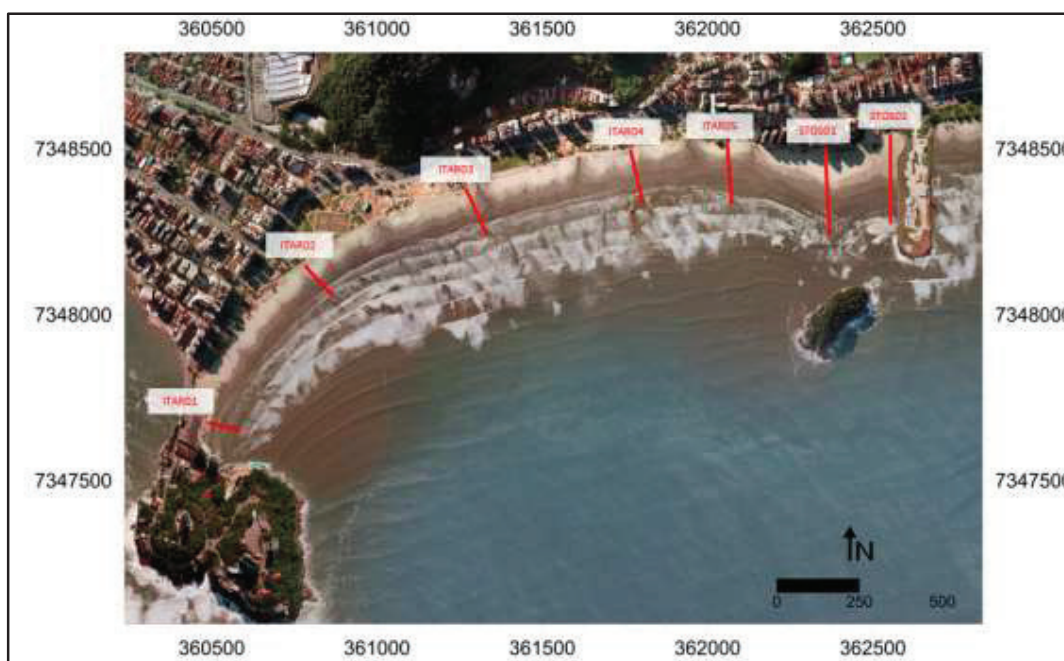
Figura 2-5. Operador conduzindo equipamento até o ponto de cota zero do IBGE.

Os levantamentos foram executados com base no datum horizontal WGS-84 e foram referenciados ao nível médio do mar utilizando-se o datum vertical Imbituba, IBGE.

Após o levantamento de campo, os dados de posicionamento obtidos pelos equipamentos *Trimble 5700* e *Trimble R4* foram processados e as diferenças adquiridas pelo receptor estático em relação ao ponto fixo foram retransmitidas

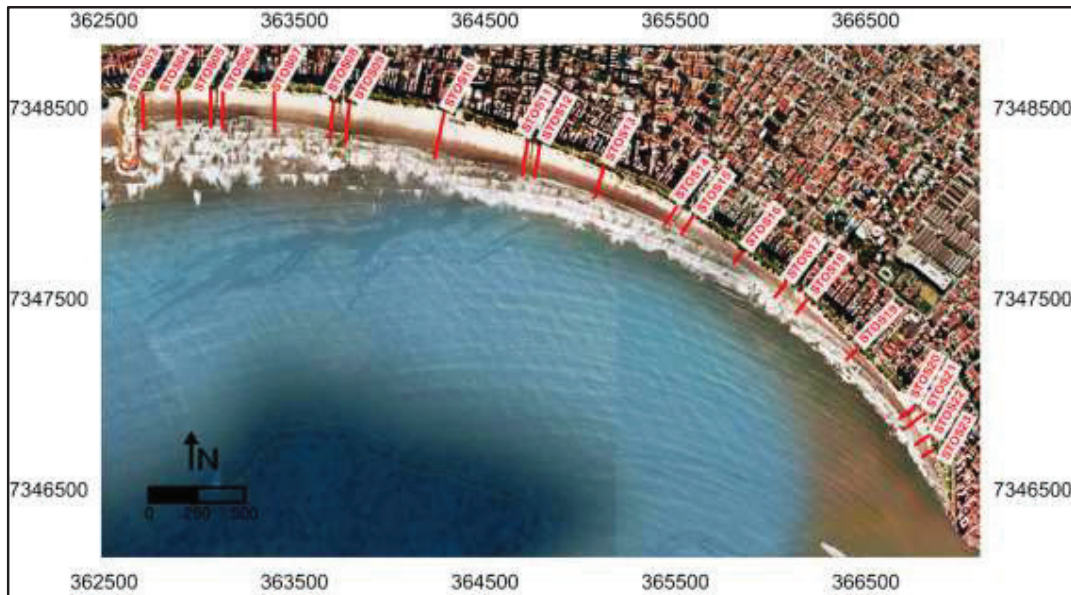
para as posições coletadas pelo receptor móvel gerando novas posições corrigidas. Para o cálculo da diferença entre o elipsoide e o geoide para cada posição adquirida utilizou-se o software MAPGEO2010 desenvolvido pelo Instituto Brasileiro de Geografia e Estatística, IBGE. Com a altitude geométrica, adquirida pelo DGPS, e o valor da diferença entre a superfície do elipsoide e a do geoide, calculou-se a altitude ortométrica referenciada ao nível médio do mar.

A seguir encontram-se as seções onde foram realizados o levantamento dos perfis praiais:



**Figura 2-6. Seções onde foram levantados os perfis praiais a oeste do emissário de Santos.**





**Figura 2-7. Seções onde foram levantados os perfis praiais ao leste do emissário de Santos.**



**Figura 2-8. Seções onde foram levantados os perfis praiais na praia do Góes.**

### 2.1.2.2 Amostragem e análise de sedimentos

Os dados referentes a granulometria local foram adquiridos com o intuito de identificar o transporte qualitativo de sedimento ao longo do arco praial. Desta forma, para cada perfil realizado foi coletada uma amostra de sedimento na zona limite da transição entre a área emersa e submersa, entre zero e dois metros de profundidade, seguindo metodologia preconizada por Souza (1997).

As amostras coletadas foram analisadas quanto à sua granulometria em laboratório acreditado, por meio de peneiramento e sedimentação, conforme descrito por Suguio (1973), após terem sido submetidas a ataque ácido para a eliminação do carbonato biodetrítico.

Posteriormente os dados foram organizados em intervalos de  $\phi$ , onde  $\phi = -\log_2$  diâmetro, segundo os parâmetros estatísticos de Folk & Ward (1957).

### 2.1.2.3 Indicadores de erosão costeira

A fim de atender os requisitos apresentados no termo de referência e se manter o mesmo padrão de relatórios anteriores, para cada perfil estudado foi avaliada a presença de indicadores de erosão costeira, conforme descritos por Souza (1997) e Souza & Suguio (2003) (**Tabela 2-3**).

**Tabela 2-3. Indicadores de erosão costeira.**

|            |   |
|------------|---|
| <b>I</b>   | Pós-praia muito estreita ou inexistente devido à inundação pelas preamarés de sizígia (praias urbanizadas ou não).  |
| <b>II</b>  | Retrogradação geral da linha de costa nas últimas décadas, com franca diminuição da largura da praia, em toda a sua extensão ou mais acentuadamente em determinados locais dela, migração da linha de costa sobre o continente (praias urbanizadas ou não).   |
| <b>III</b> | Erosão progressiva de depósitos marinhos e/ou eólicos pleistocênicos a atuais que bordejam as praias, sem o desenvolvimento de falésias (praias urbanizadas ou não).  |
| <b>IV</b>  | Intensa erosão de depósitos marinhos e/ou eólicos pleistocênicos a atuais que bordejam as praias, provocando o desenvolvimento de falésias com alturas de até dezenas de metros (praias urbanizadas ou não).  |
| <b>V</b>   | Destrução de faixas frontais de vegetação de “restinga” ou de manguezal e/ou presença de raízes e troncos em posição de vida soterrados na praia, causados pela erosão acentuada ou o soterramento da vegetação devido à retrogradação/migração da linha de costa sobre o continente.   |
| <b>VI</b>  | Exumação e erosão de depósitos paleolagunares, turfeiras, arenitos de praia, depósitos marinhos holocênicos e pleistocênicos, ou embasamento sobre o estirâncio e/ou a face litorânea atuais, devido à remoção das areias praiais por erosão costeira e déficit sedimentar extremamente negativo (praias urbanizadas ou não). |
| <b>VII</b> | Frequente exposição de “terraços ou falésias artificiais”, apresentando pacotes de espessura até métrica de camadas sucessivas de aterro erodido e soterrado por camadas de areias praiais/eólicas, no contato entre a praia e a área urbanizada.   |

|      |   |
|------|---|
| VIII | Destrução de estruturas artificiais construídas sobre os depósitos marinhos ou eólicos holocênicos, a pós-praia, o estirâncio, as faces praial e litorânea, a zona de surfe/arrebentação e/ou ao largo.   |
| IX   | Retomada erosiva de antigas plataformas de abrasão marinha, elevadas de +2 a +6 m, formadas sobre rochas do embasamento ígneo-metamórfico pré-cambriano a mesozoico, em épocas em que o nível do mar encontrava-se acima do atual, durante o Holoceno e o final do Pleistoceno (praias urbanizadas ou não). |
| X    | Presença de concentrações de minerais pesados em determinados trechos da praia, em associação com outros indicadores erosivos (praias urbanizadas ou não).  |
| XI   | Desenvolvimento de embaiamentos formados pela presença de correntes de retorno concentradas e de zona de barlamar ou centros de divergência de células de deriva litorânea localizados em local(is) mais ou menos fixo(s) da linha de costa.  |

Para cada perfil praial é apresentada uma classificação do grau de risco quanto a erosão costeira, classificação esta que é determinada pelo número de indicadores observados para cada perfil, de acordo com a **Tabela 2-4**.

**Tabela 2-4. Classificação de risco do perfil praial.**

| NÚMERO DE INDICADORES OBSERVADOS | CLASSIFICAÇÃO DE RISCO DO PERFIL PRAIAL | NOTA PONDERADA |
|----------------------------------|---|----------------|
| 0 a 1                            | MUITO BAIXO (MB)                        | 1              |
| 2 a 3                            | BAIXO (B)                               | 2              |
| 4 a 5                            | MÉDIO (M)                               | 6              |
| 6 a 8                            | ALTO (A)                                | 12             |
| 9 a 11                           | MUITO ALTO (MA)                         | 15             |

Conforme pode ser observado na **Tabela 2-4**, para cada classificação de risco do perfil praial, é atribuída uma nota, esta ponderada por um fator que varia de acordo com a classificação de risco.

Para o cálculo da classificação de risco da praia como um todo, realiza-se uma média aritmética das notas obtidas para todos os perfis de uma determinada praia (soma das notas dividido pela quantidade de perfis de uma determinada praia) (**Tabela 2-5**).



**Tabela 2-5. Classificação de risco total da praia.**

| NOTA MÉDIA PONDERADA DA PRAIA | CLASSIFICAÇÃO DE RISCO TOTAL DA PRAIA |
|-------------------------------|---------------------------------------|
| 1                             | MUITO BAIXO (MB)                      |
| 1,1 – 3,0                     | BAIXO (B)                             |
| 3,1 – 6,0                     | MÉDIO (M)                             |
| 6,1 – 12,0                    | ALTO (A)                              |
| 12,1 – 15,0                   | MUITO ALTO (MA)                       |

#### **2.1.2.4 Caracterização das células de deriva litorânea**

A fim de se manter os padrões dos estudos de anos anteriores e atender o termo de referência, para caracterizar as células de deriva litorânea adotou-se a metodologia descrita por Souza (1997), associada aos conceitos de transporte residual de sedimentos, descritos por Gao & Collins (2001).

Este item do estudo tem por finalidade identificar possíveis padrões no transporte de sedimento ao longo do arco praial, caracterizando as diferentes células de deriva litorânea.

#### **2.1.3 Atividades Realizadas**

Nas 17 campanhas executadas foram realizados, nos 33 pontos especificados, levantamentos dos perfis praiais, coleta de amostras de sedimento nas faces praiais e identificação de indicadores de erosão costeira. Os levantamentos foram realizados em condições descritas na **Tabela 2-6**. As **Figura 2-9, Figura 2-10 e Figura 2-11** apresentam os arcos praiais de Itararé, Santos e Góes, onde foram realizados os levantamentos.

Tabela 2-6 Descrição das condições ambientais nos dias dos levantamentos.

|                      | CONDICÕES AMBIENTAIS                    |                          |                          |                          |                          |                          |                          |                          |                          |                          |                          |                          |                          |                          |                          |                          |                          |
|----------------------|---|--------------------------|--------------------------|--------------------------|--------------------------|--------------------------|--------------------------|--------------------------|--------------------------|--------------------------|--------------------------|--------------------------|--------------------------|--------------------------|--------------------------|--------------------------|--------------------------|
|                      | ago/15                                  | set/15                   | out/15                   | nov/15                   | dez/15                   | jan/16                   | fev/16                   | mar/16                   | abr/16                   | mai/16                   | jun/16                   | jul/16                   | ago/16                   | set/16                   | out/16                   | nov/16                   | dez/16                   |
| DATA                 | 25/08/2015<br>22/09/2015-<br>23/09/2015 | 20/10/2015<br>23/11/2015 | 16/12/2015<br>19/01/2016 | 16/02/2016<br>15/03/2016 | 13/04/2016<br>12/05/2016 | 12/05/2016<br>13/06/2016 | 12/05/2016<br>13/06/2016 | 12/05/2016<br>13/06/2016 | 25/07/2016<br>25/08/2016 | 25/07/2016<br>23/09/2016 | 25/07/2016<br>23/09/2016 | 25/07/2016<br>23/09/2016 | 21/10/2016<br>22/11/2016 | 21/10/2016<br>22/11/2016 | 21/10/2016<br>22/11/2016 | 21/10/2016<br>22/11/2016 | 21/10/2016<br>22/11/2016 |
| CÉU                  | 88                                      | 18                       | 18                       | 88                       | 78                       | 58                       | 78                       | 48                       | 48                       | 68                       | 18                       | 88                       | 58                       | 88                       | 88                       | 58                       |                          |
| FRENTES FRÍAS        | DURANTE                                 | AUSENTE                  | PRESENTE                 | PRESENTE                 | PÓS-FRENTE               | NÃO                      | NÃO                      | NÃO                      | NÃO                      | PÓS-FRENTE               | NÃO                      | NÃO                      | NÃO                      | NÃO                      | NÃO                      | NÃO                      |                          |
| PRECIPITAÇÃO         | NÃO                                     | NÃO                      | SIM                      | SIM                      | NÃO                      | SIM                      | NÃO                      | NÃO                      | SIM                      | NÃO                      | SIM                      | NÃO                      | NÃO                      | NÃO                      | SIM                      | NÃO                      |                          |
| VENTO                | 7 NÓS<br>4 NÓS                          | 5 NÓS<br>6 NÓS           | 3 NÓS<br>3 NÓS           | 2 NÓS<br>2 NÓS           | 2.5 NÓS<br>2.5 NÓS       | 5 NÓS<br>5 NÓS           | 2 NÓS<br>2 NÓS           | 4 NÓS<br>4 NÓS           | 2 NÓS<br>5 NÓS           | 2 NÓS<br>5 NÓS           | 2 NÓS<br>5 NÓS           | 2 NÓS<br>2 NÓS           |                          |
| DIREÇÃO DO VENTO     | SUL                                     | LESTE                    | SUDOESTE                 | NORDESTE                 | LESTE                    | LESTE                    | LESTE                    | LESTE                    | SUDOESTE                 | LESTE                    |                          |
| ONDA (m):            | 1,5                                     | 1                        | 0,5                      | 0,5                      | < 0,5                    | 0,3                      | < 0,5                    | < 0,5                    | < 0,5                    | 1                        | 1,3                      | < 0,5                    | < 0,5                    | < 0,5                    | 0,5                      | 1,3                      | < 0,5                    |
| DIREÇÃO DA ONDA      | SUL                                     | SUDOESTE                 | SUL                      | LESTE                    | SUDOESTE                 | SUDOESTE                 | SUDOESTE                 | SUDOESTE                 | SUDOESTE                 | SUL                      |                          |
| MARÉ*                | QUADRATURA                              | QUADRATURA               | QUADRATURA               | QUADRATURA               | QUADRATURA               | QUADRATURA               | QUADRATURA               | QUADRATURA               | QUADRATURA               | QUADRATURA               | QUADRATURA               | QUADRATURA               | QUADRATURA               | QUADRATURA               | QUADRATURA               | QUADRATURA               |                          |
| AMPLITUDE MÁXIMA (m) | 0,9                                     | 0,6                      | 0,6                      | 1,2                      | 1,2                      | 1,2                      | 1,2                      | 0,9                      | 1                        | 1                        | 1                        | 1                        | 1,1                      | 1                        | 1                        | 0,9                      |                          |

\*Dados de maré obtidos na Diretoria de Portos e Costas (Marinha do Brasil).



**Figura 2-9. Vista da praia de Itararé a partir do Emissário de Santos.**



**Figura 2-10. Vista do arco praial de Santos a partir do Emissário Submarino de Santos.**



**Figura 2-11. Vista do arco praial do Góes.**

## 2.2 Resultados e Discussão

### 2.2.1 Análise da topografia

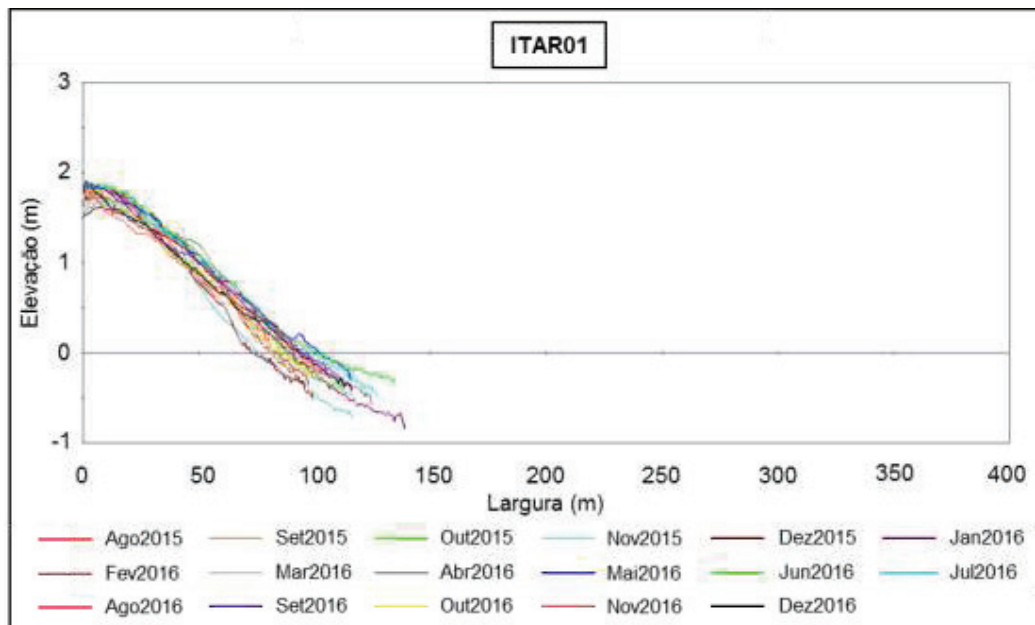
Será apresentado o comportamento de cada perfil praial. Os perfis foram gerados com o software BMAP (Beach Morphology Analysis Package, Veritech Inc.) e, a partir dos mesmos, calculado o volume e a largura de cada perfil. No caso do presente trabalho, foi utilizada, como limite para o cálculo, a cota 0 (zero) do IBGE.

Os perfis são todos apresentados em mesma escala, tanto horizontal (de 0 a 500 metros de largura) quanto vertical (entre cotas altimétricas -1 e 3 metros). Optou-se por esta forma de apresentação para que não se tenha uma visão distorcida da morfologia entre os perfis.

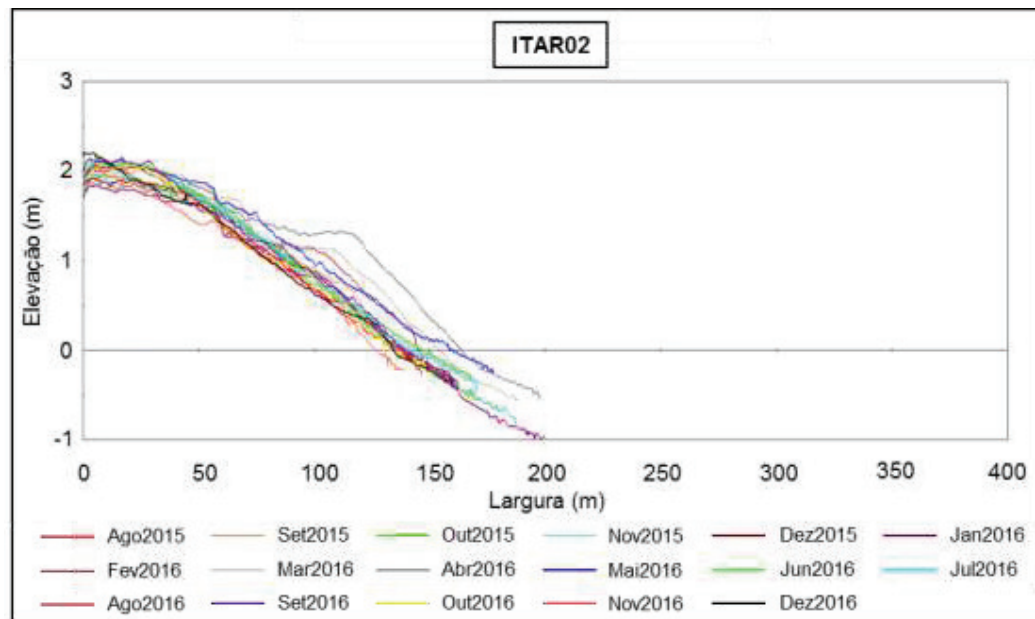
#### Setor Itararé

Constituído por 5 perfis (**Figura 2-12 a Figura 2-16**), localizados a oeste da Ilha de Urubuqueçaba. Todos os perfis apresentam características de praia dissipativa, com larguras médias entre 100 e 200 metros. Em alguns levantamentos observou-se a formação de terraços na zona de pós-praia.

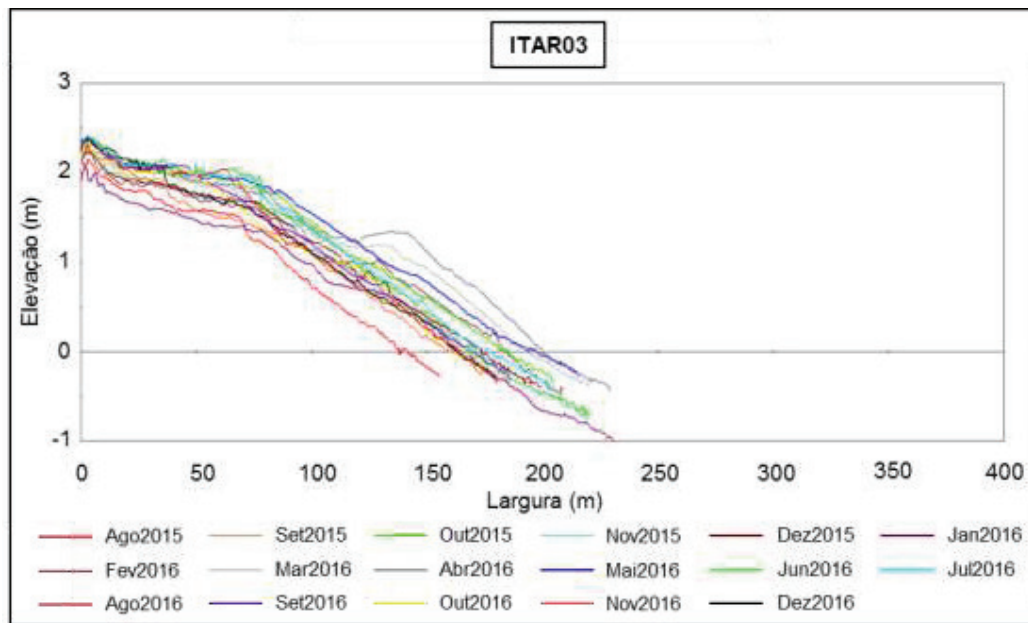




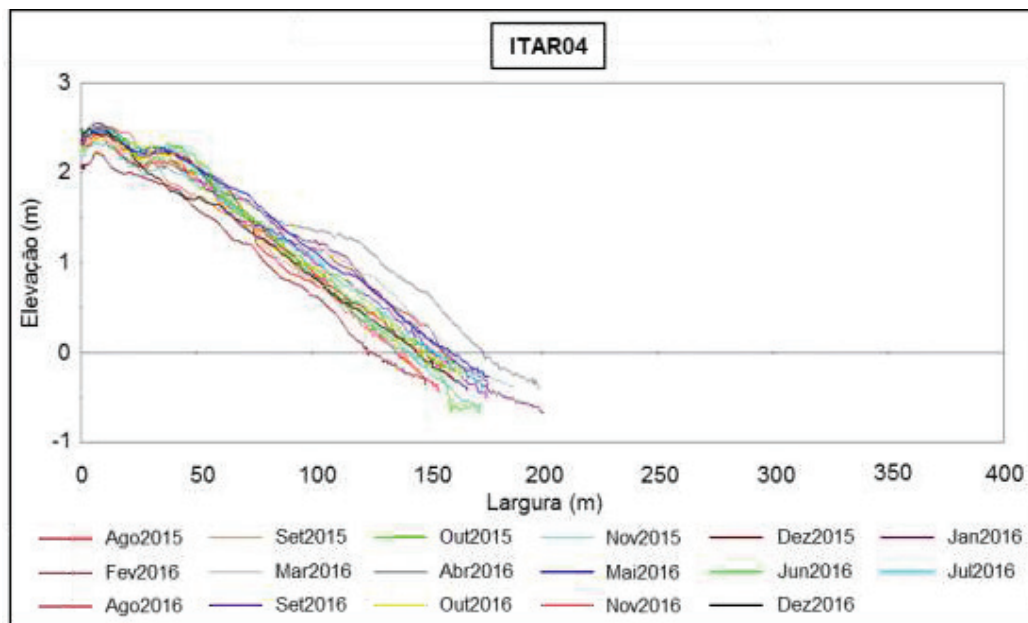
**Figura 2-12 Variabilidade temporal do perfil ITAR01, entre Agosto de 2015 e Dezembro de 2016.**



**Figura 2-13. Variabilidade temporal do perfil ITAR02, entre Agosto de 2015 e Dezembro de 2016.**

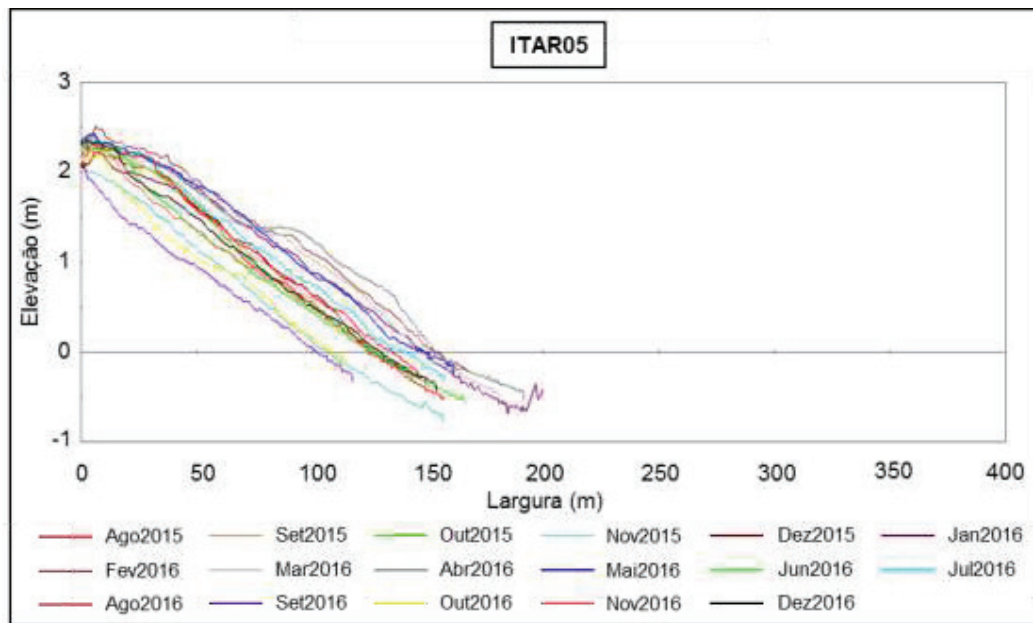


**Figura 2-14.** Variabilidade temporal do perfil ITAR03, entre Agosto de 2015 e Dezembro de 2016.



**Figura 2-15.** Variabilidade temporal do perfil ITAR04, entre Agosto de 2015 e Dezembro de 2016.





**Figura 2-16. Variabilidade temporal do perfil ITAR05, entre Agosto de 2015 e Dezembro de 2016.**

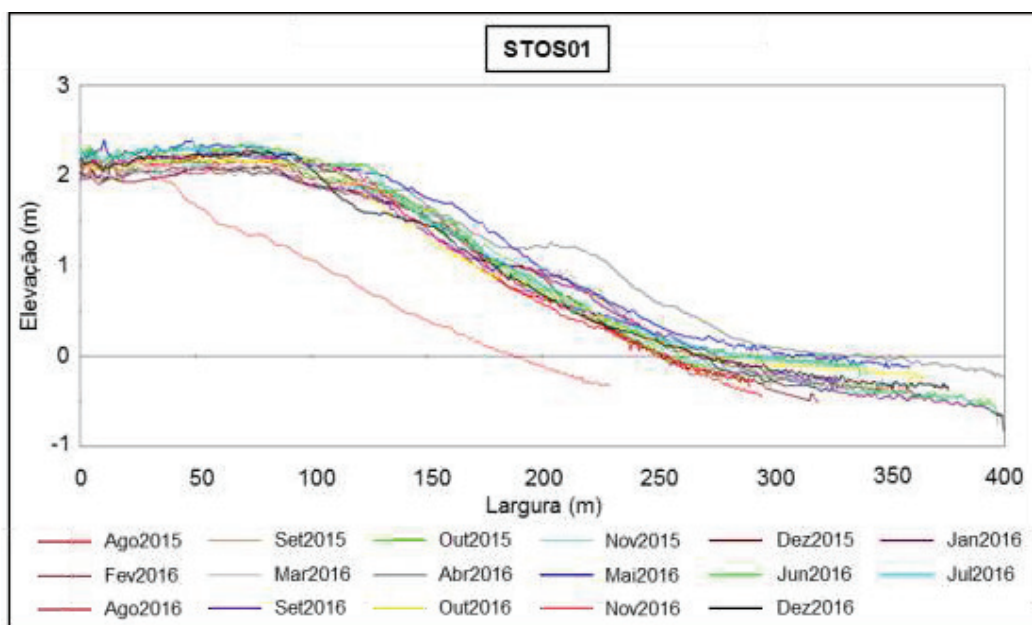


### Setor Santos

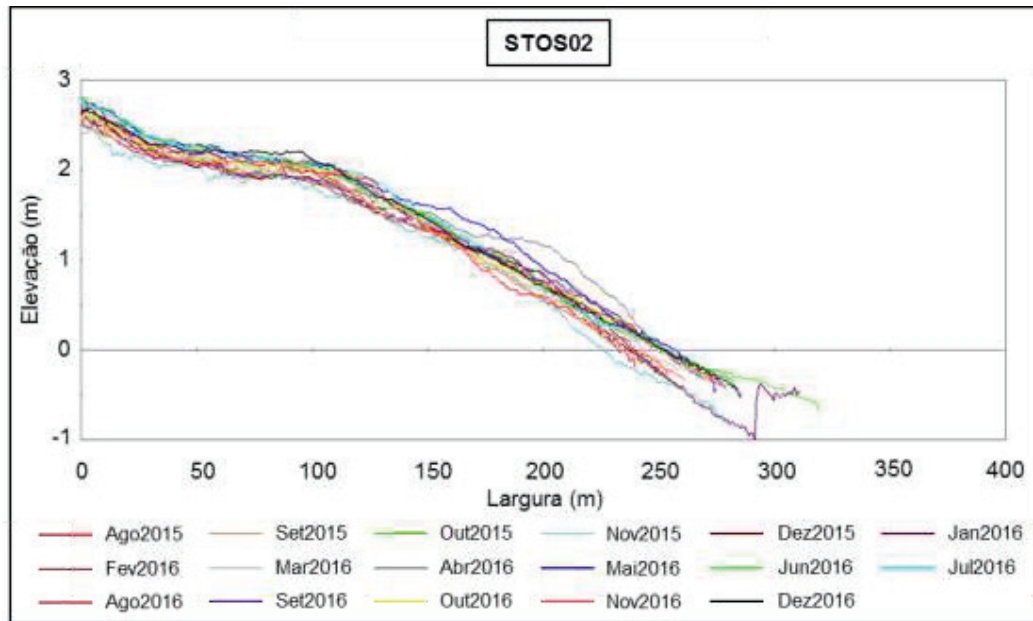
É composto por 23 perfis topográficos, distribuídos ao longo do arco praial. Este setor foi dividido em compartimentos, correspondentes às faixas entre os canais. Apresenta importante variabilidade morfológica, passando de um padrão dissipativo, no trecho entre os compartimentos José Menino e Boqueirão, até intermediário no trecho entre os compartimentos Embaré e Ponta da Praia, havendo notável diminuição de largura e volume em direção à Ponta da Praia.

### Compartimento José Menino

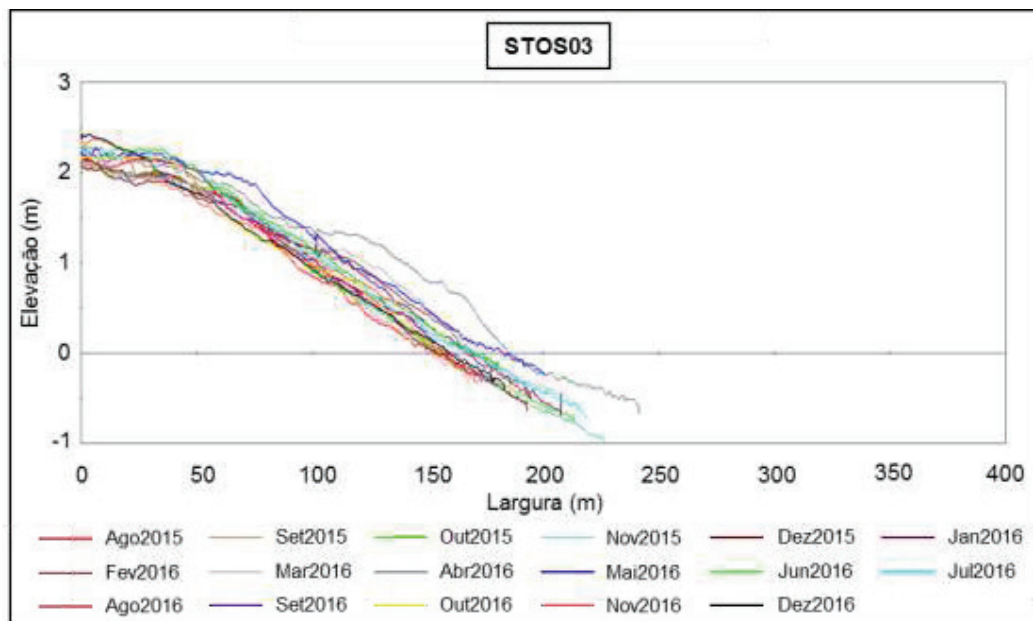
Corresponde ao trecho com as maiores larguras de toda a área de estudo. Todos os perfis exibiram baixa variabilidade morfológica, ainda que tenha havido eventos de aumento significativo de largura e/ou volume, associados a épocas de maior pluviosidade e à passagem de sistemas frontais, com ocorrência de ressacas. Corresponde a um trecho com características marcadamente dissipativas (**Figura 2-17 a Figura 2-21**).



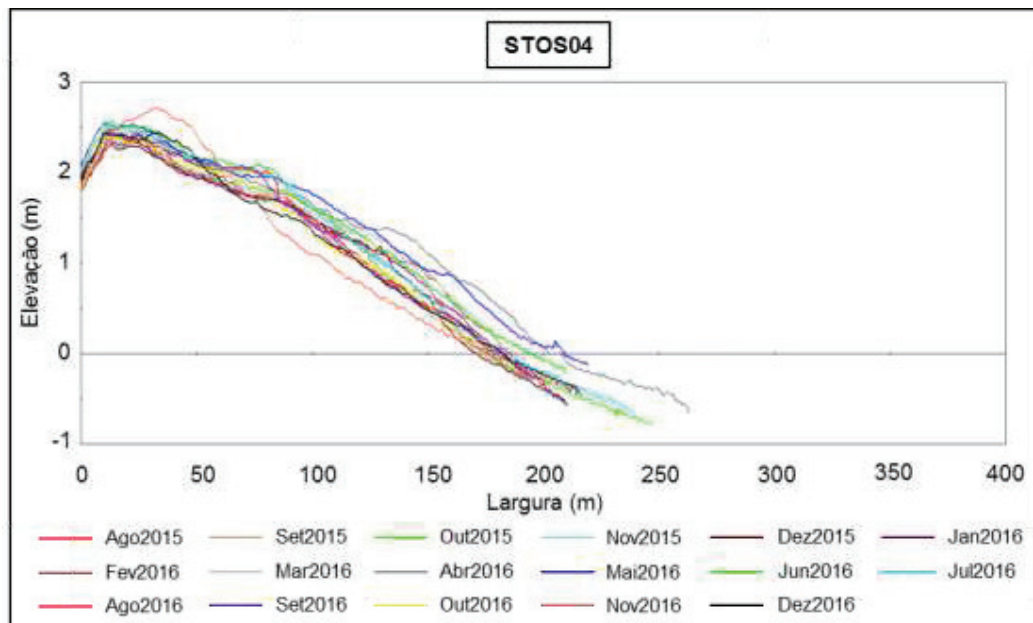
**Figura 2-17. Variabilidade temporal do perfil STOS01, entre Agosto de 2015 e Dezembro de 2016.**



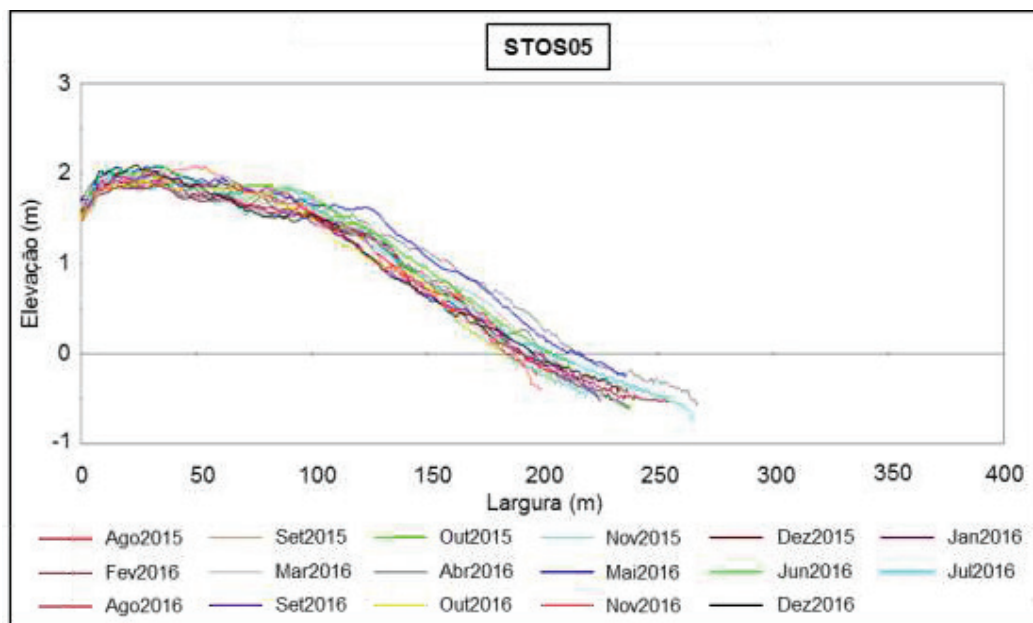
**Figura 2-18.** Variabilidade temporal do perfil STOS02, entre Agosto de 2015 e Dezembro de 2016.



**Figura 2-19.** Variabilidade temporal do perfil STOS03, entre Agosto de 2015 e Dezembro de 2016.



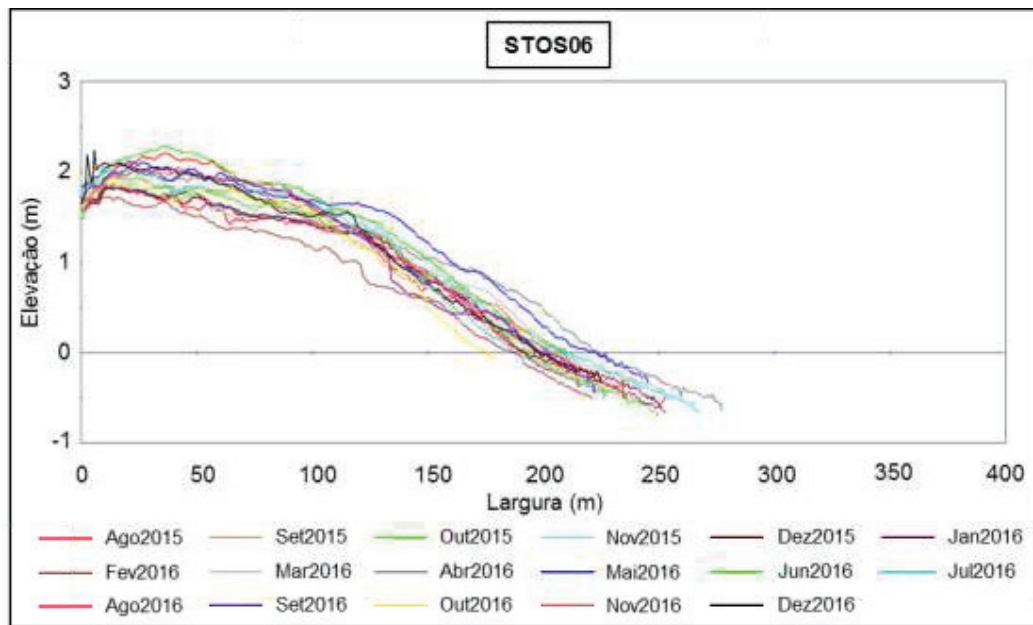
**Figura 2-20.** Variabilidade temporal do perfil STOS04, entre Agosto de 2015 e Dezembro de 2016.



**Figura 2-21.** Variabilidade temporal do perfil STOS05, entre Agosto de 2015 e Dezembro de 2016.

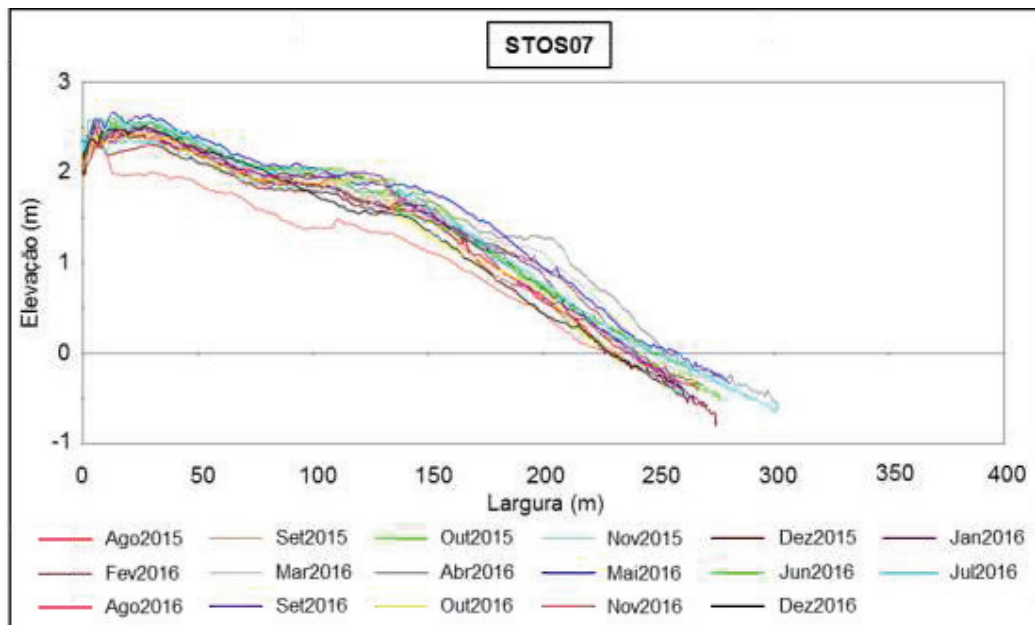
### Compartimento Pompeia

Outro trecho cujos perfis apresentam características dissipativas, com larguras superiores a 200 metros. Seu setor de pós praia é caracterizado por um terraço, com larguras da ordem de 100 metros. (**Figura 2-22 a Figura 2-24**)

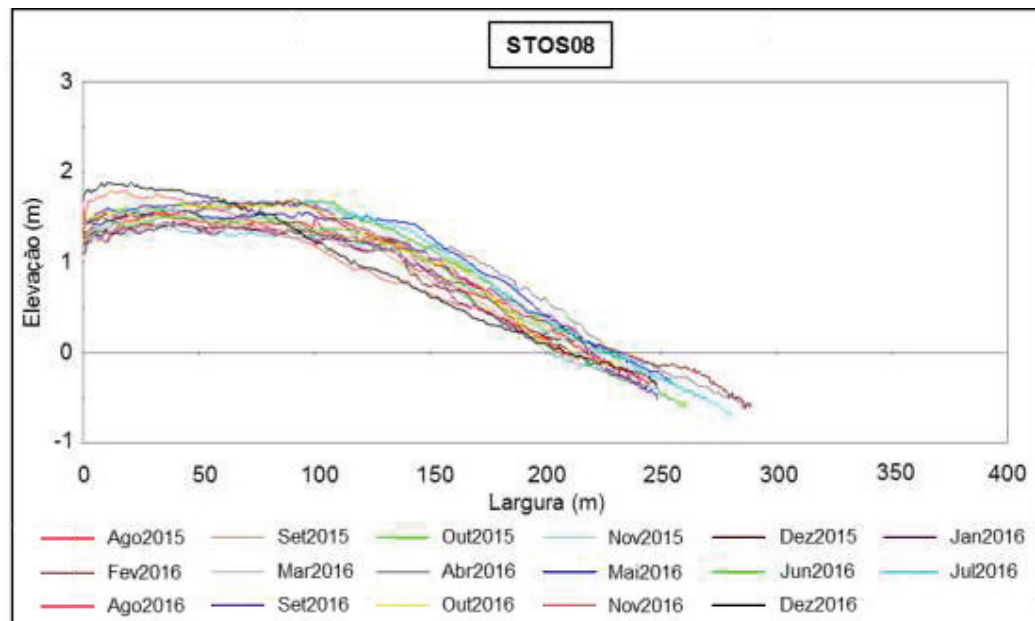


**Figura 2-22. Variabilidade temporal do perfil STOS06, entre Agosto de 2015 e Dezembro de 2016.**





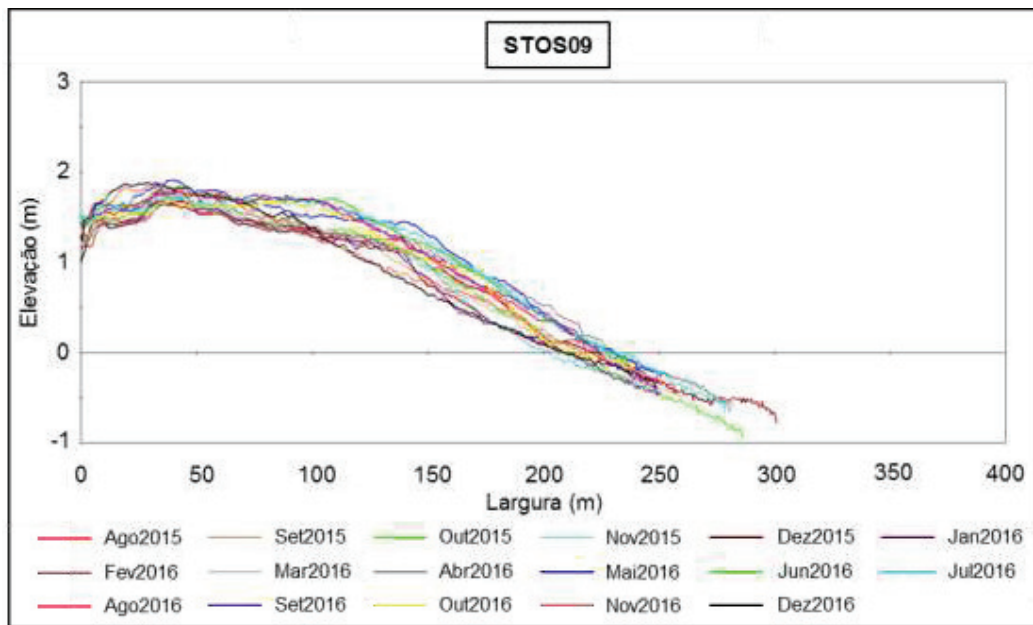
**Figura 2-23.** Variabilidade temporal do perfil STOS07, entre Agosto de 2015 e Dezembro de 2016.



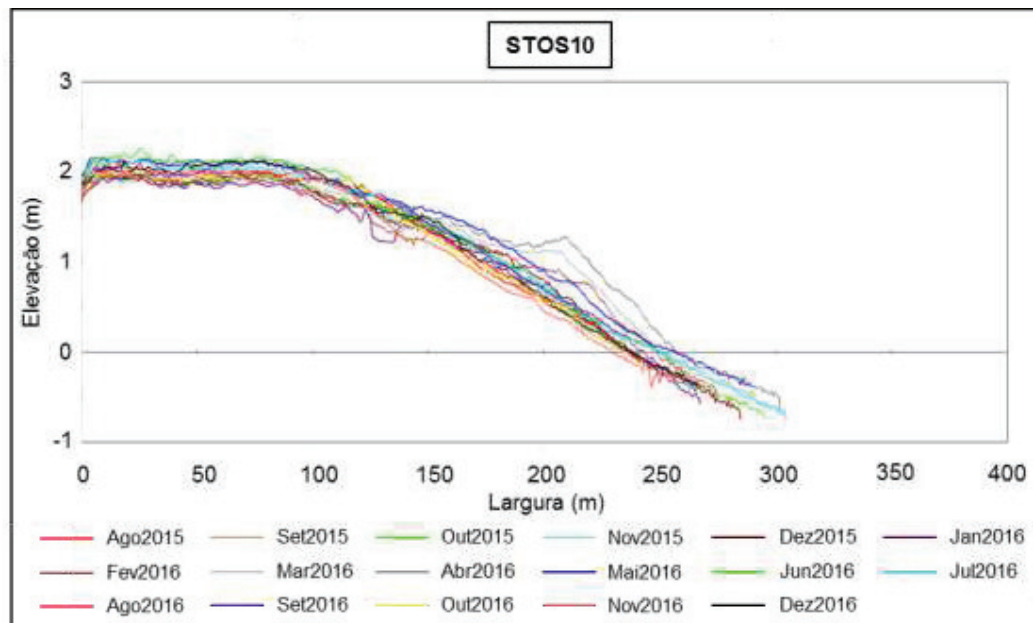
**Figura 2-24.** Variabilidade temporal do perfil STOS08, entre Agosto de 2015 e Dezembro de 2016.

### Compartimento Gonzaga

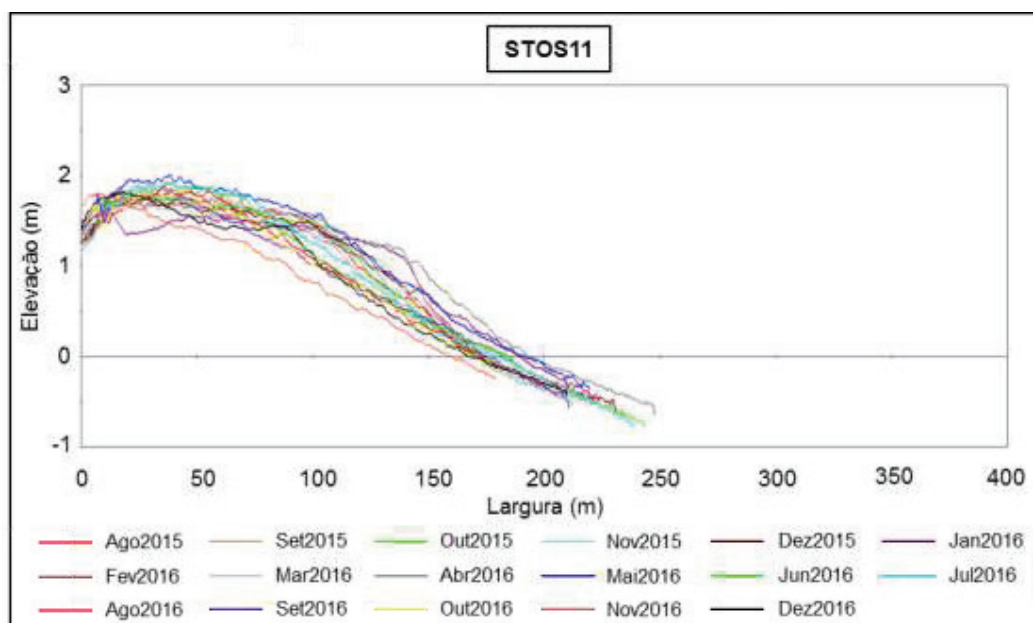
Corresponde a uma primeira transição na morfologia, com características intermediárias entre os setores Pompeia e Boqueirão. Suas larguras variam entre 150 e 200 metros (**Figura 2-25 a Figura 2-27**)



**Figura 2-25. Variabilidade temporal do perfil STOS09, entre Agosto de 2015 e Dezembro de 2016.**



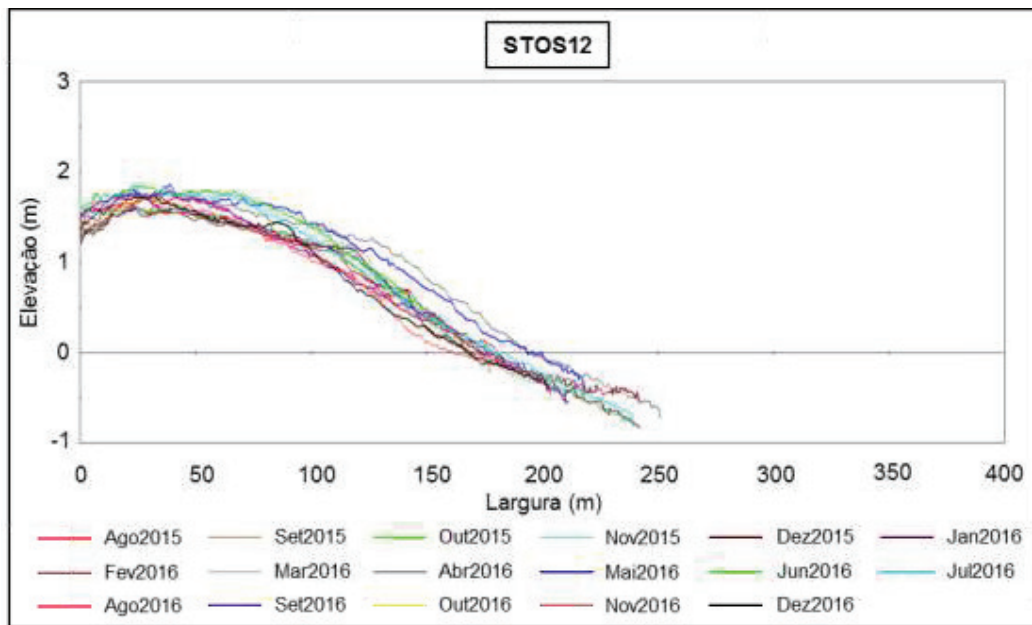
**Figura 2-26. Variabilidade temporal do perfil STOS10, entre Agosto de 2015 e Dezembro de 2016.**



**Figura 2-27. Variabilidade temporal do perfil STOS11, entre Agosto de 2015 e Dezembro de 2016.**

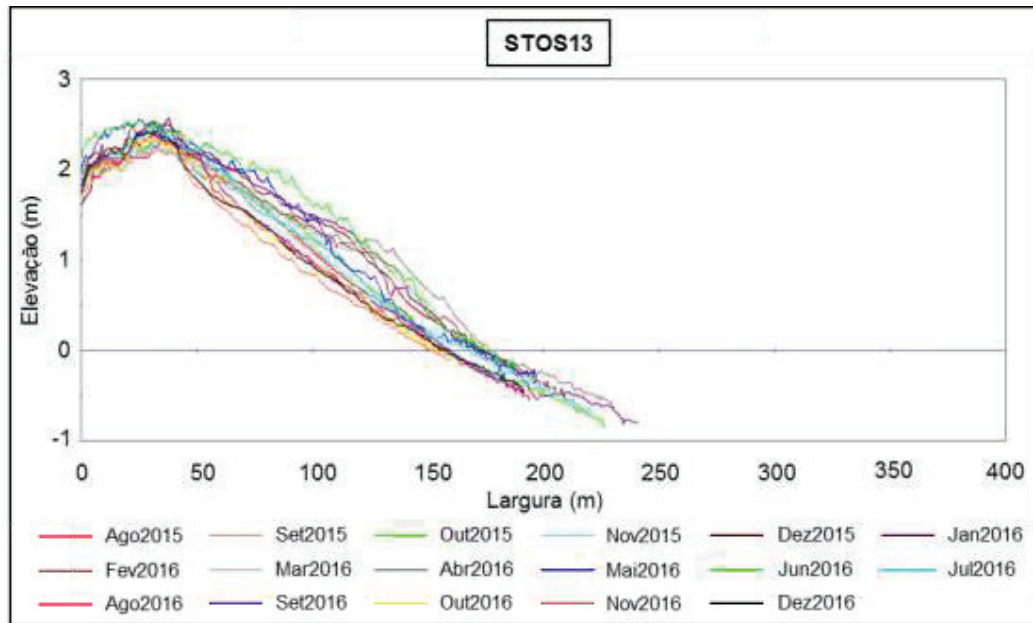
### **Compartimento Boqueirão**

Trecho que marca o início de morfologia do tipo intermediário, com perfis de larguras inferiores a 150 metros. Os perfis apresentam morfologia convexa, com berma bem definida. (**Figura 2-28 a Figura 2-30**)

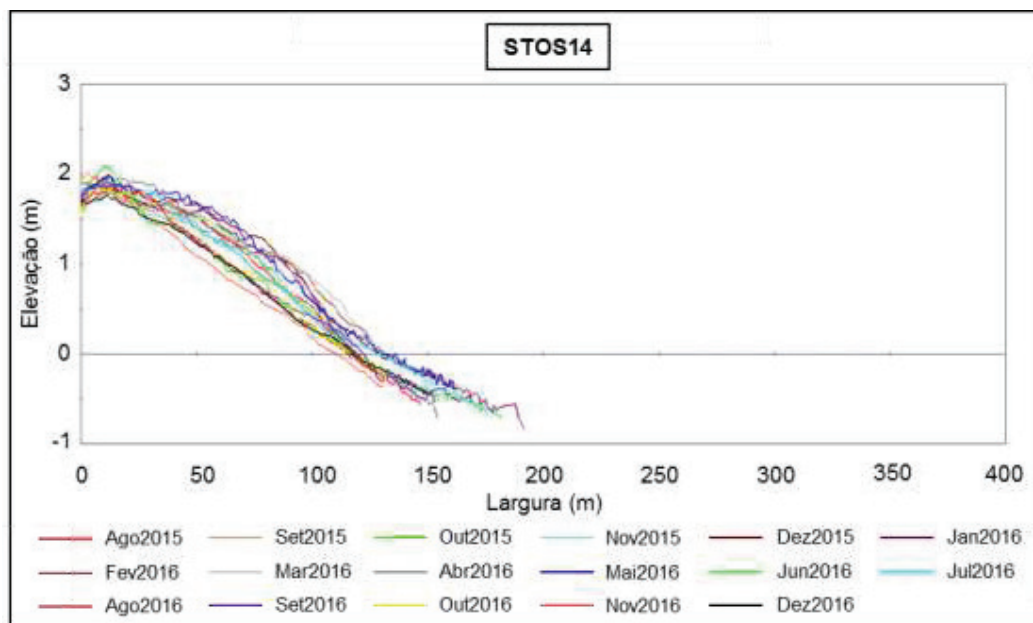


**Figura 2-28. Variabilidade temporal do perfil STOS12, entre Agosto de 2015 e Dezembro de 2016.**





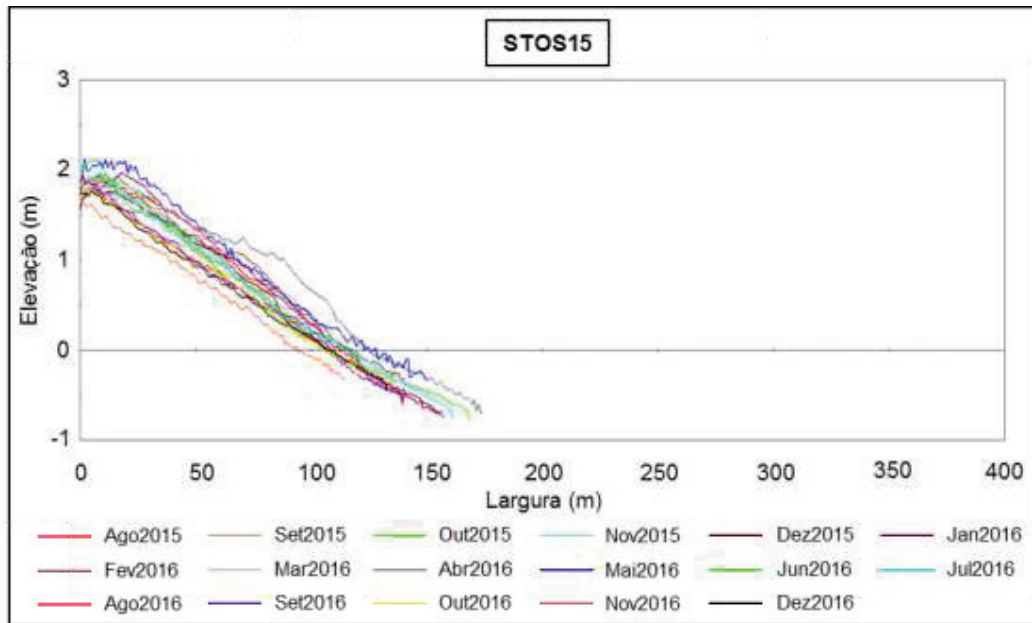
**Figura 2-29. Variabilidade temporal do perfil STOS13, entre Agosto de 2015 e Dezembro de 2016.**



**Figura 2-30. Variabilidade temporal do perfil STOS14, entre Agosto de 2015 e Dezembro de 2016.**

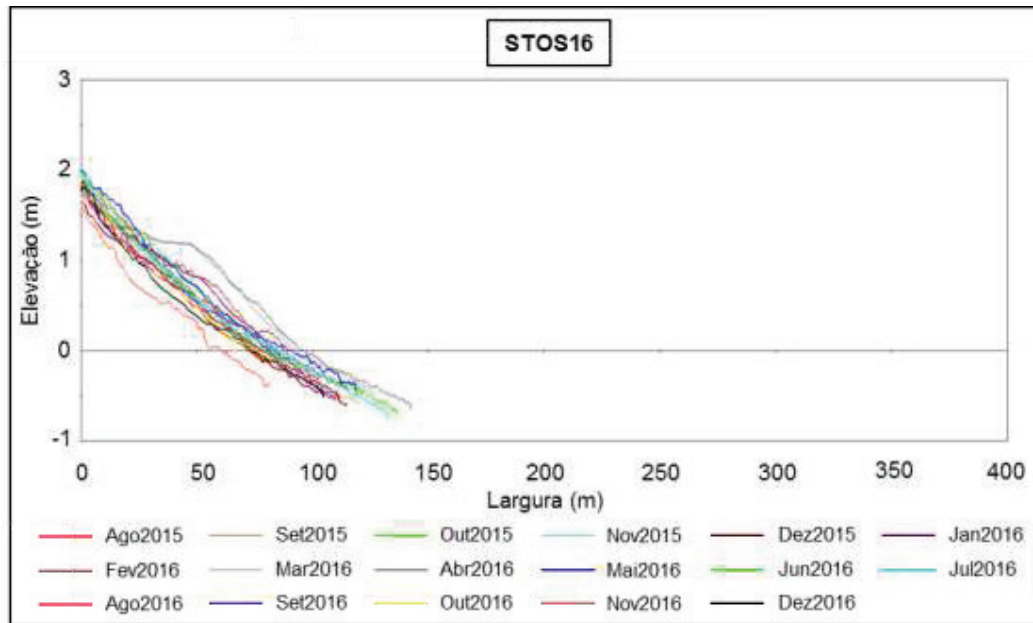
### Compartimento Embaré

Representa uma outra mudança na morfologia praial, com perfis retilíneos e baixa variabilidade morfológica. Observa-se, também, marcada diminuição das larguras em direção a leste do arco praial (**Figura 2-31 a Figura 2-33**).

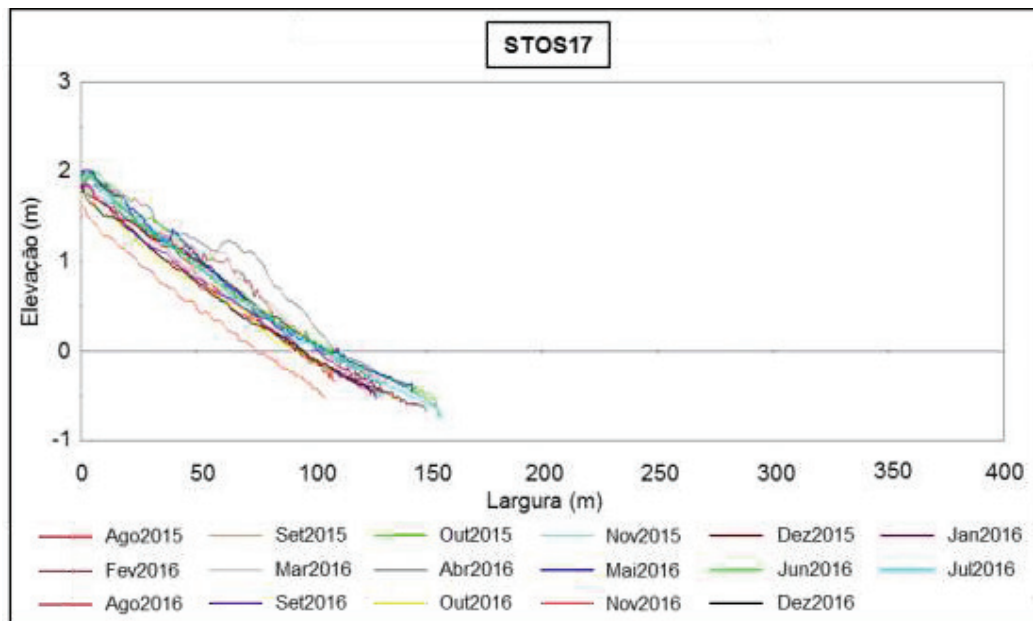


**Figura 2-31. Variabilidade temporal do perfil STOS15, entre Agosto de 2015 e Dezembro de 2016.**





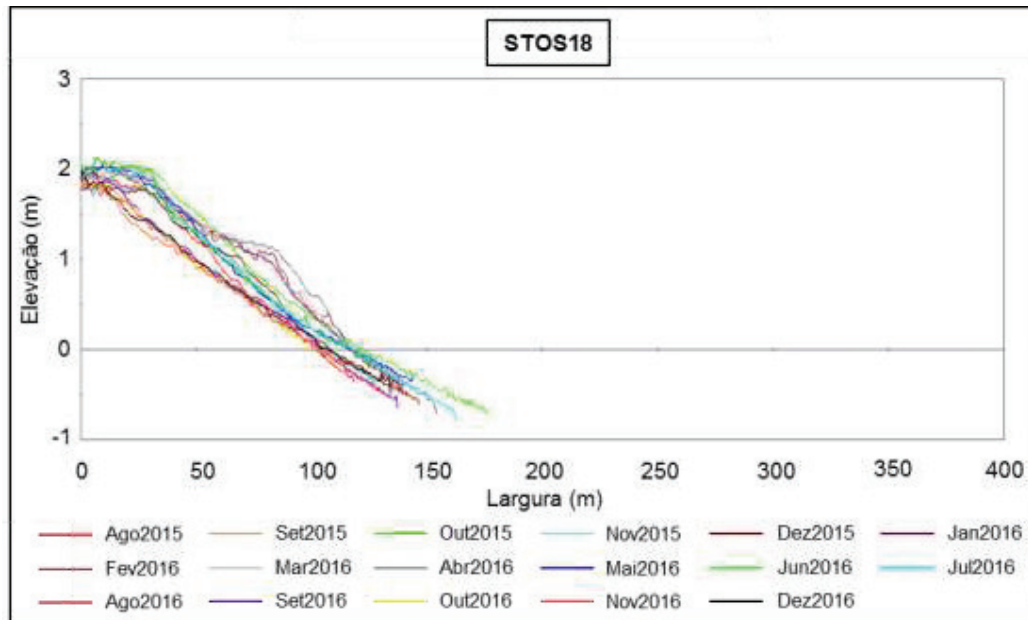
**Figura 2-32. Variabilidade temporal do perfil STOS16, entre Agosto de 2015 e Dezembro de 2016.**



**Figura 2-33. Variabilidade temporal do perfil STOS17, entre Agosto de 2015 e Dezembro de 2016.**

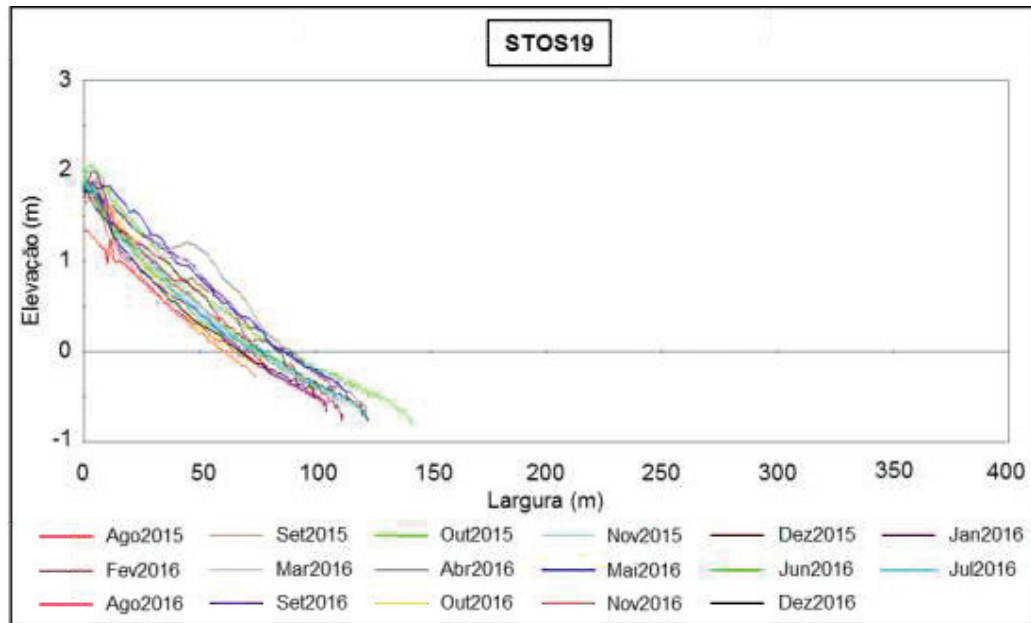
### Setor Aparecida

Apresenta morfologia semelhante ao compartimento Embaré, com morfologia e larguras de perfis semelhantes (**Figura 2-34 a Figura 2-36**).

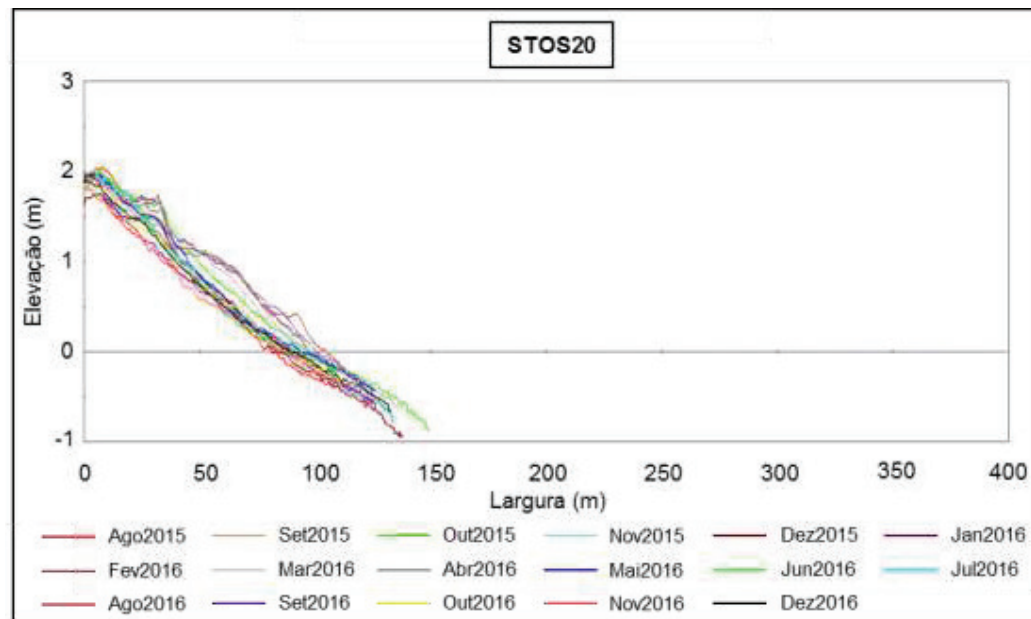


**Figura 2-34. Variabilidade temporal do perfil STOS18, entre Agosto de 2015 e Dezembro de 2016.**





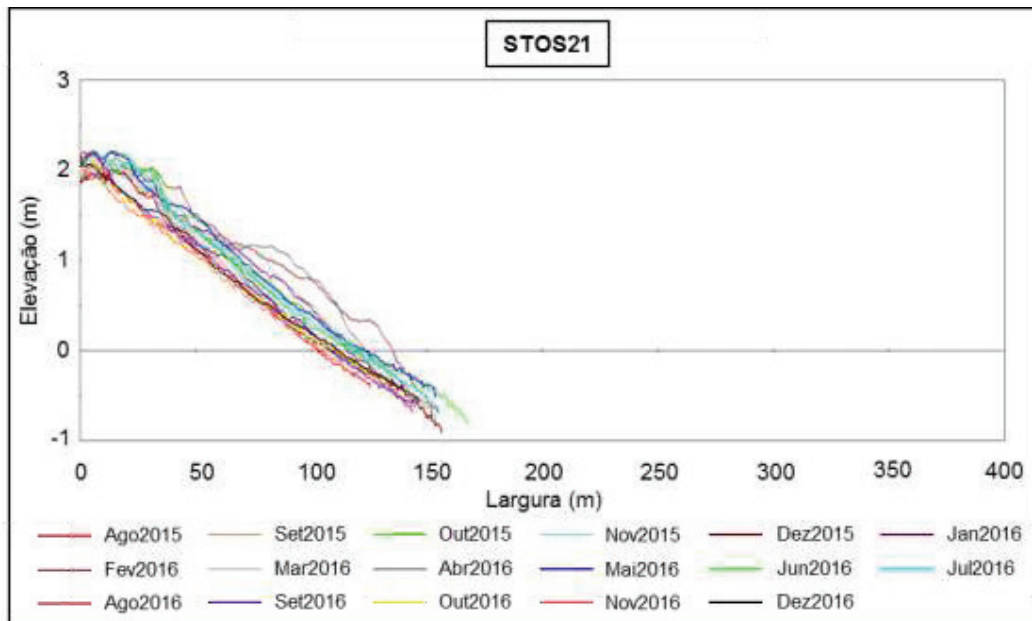
**Figura 2-35.** Variabilidade temporal do perfil STOS19, entre Agosto de 2015 e Dezembro de 2016.



**Figura 2-36.** Variabilidade temporal do perfil STOS20, entre Agosto de 2015 e Dezembro de 2016.

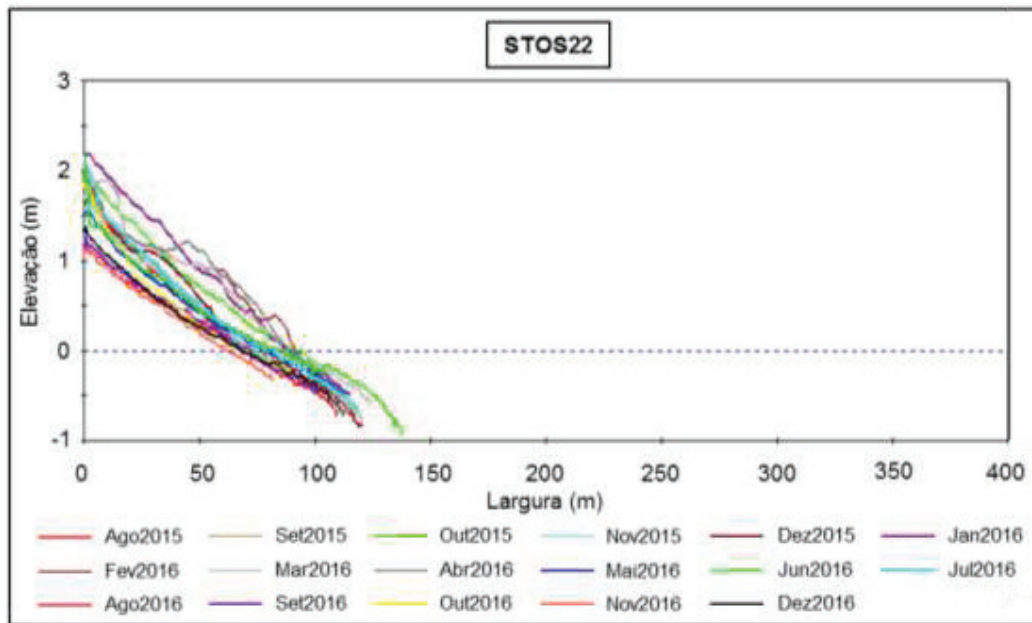
### Compartimento Ponta da Praia

Apresenta, sob o ponto de vista morfológico, características próximas aos dois compartimentos anteriores, ainda que com larguras significativamente menores. Nos últimos levantamentos o perfil STOS23 apresentou larguras inferiores a 50 metros (**Figura 2-37 a Figura 2-39**).

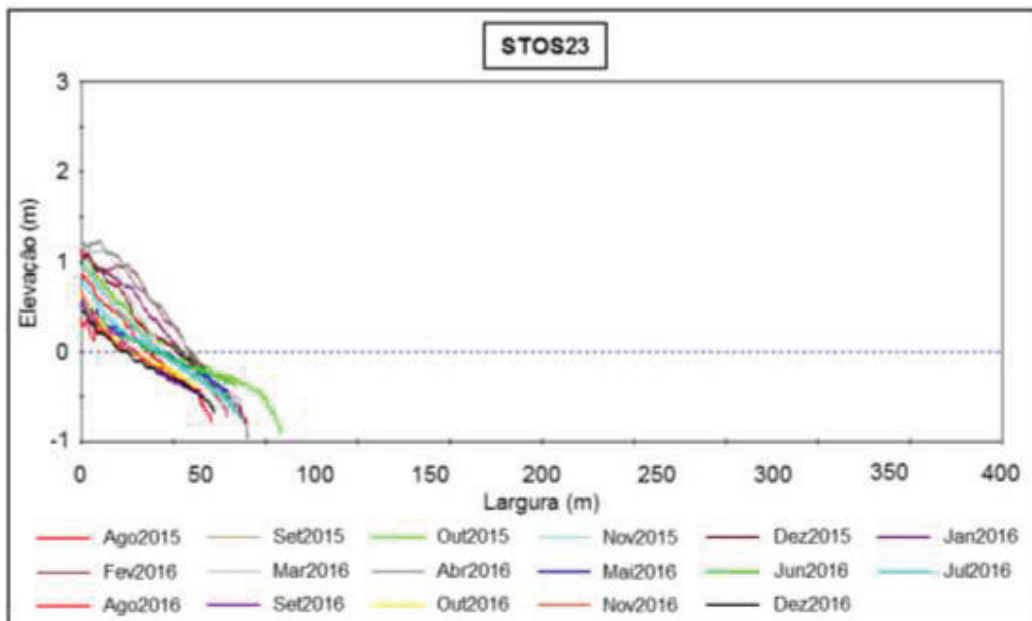


**Figura 2-37. Variabilidade temporal do perfil STOS21, entre Agosto de 2015 e Dezembro de 2016.**





**Figura 2-38.** Variabilidade temporal do perfil STOS22, entre Agosto de 2015 e Dezembro de 2016.



**Figura 2-39.** Variabilidade temporal do perfil STOS23, entre Agosto de 2015 e Dezembro de 2016.

### **Setor Góes**

O Setor Praia do Góes é composto por 5 perfis (**Figura 2-40 a Figura 2-44**). Constitui o único setor com características nitidamente intermediárias a

refletivas, o que o diferencia fortemente dos demais setores. Apresenta características próprias de praia refletiva, com alta declividade.

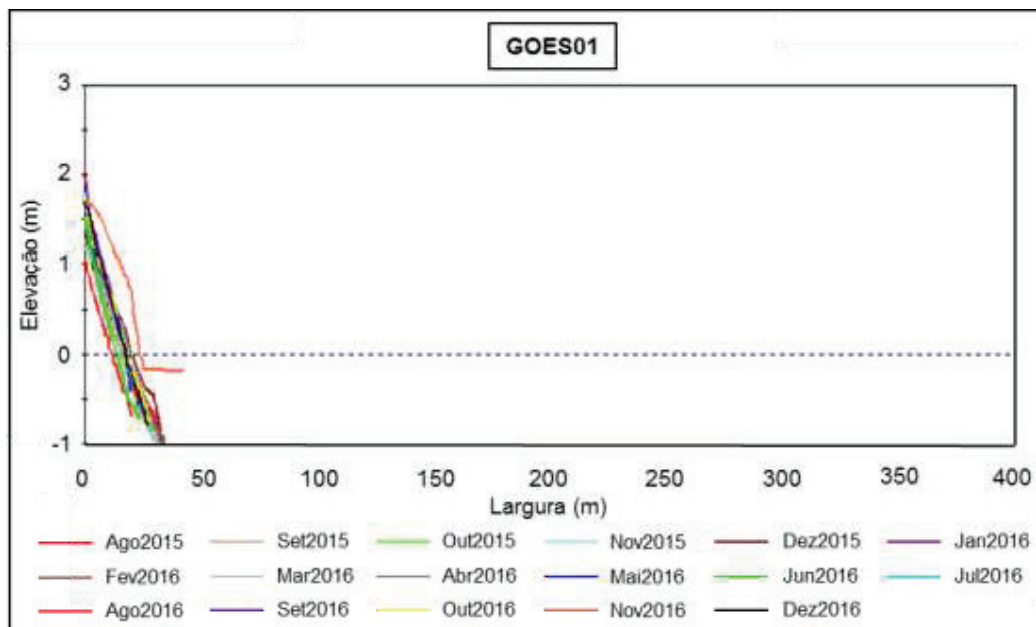


Figura 2-40. Variabilidade temporal do perfil GOES01, entre Agosto de 2015 e Dezembro de 2016.

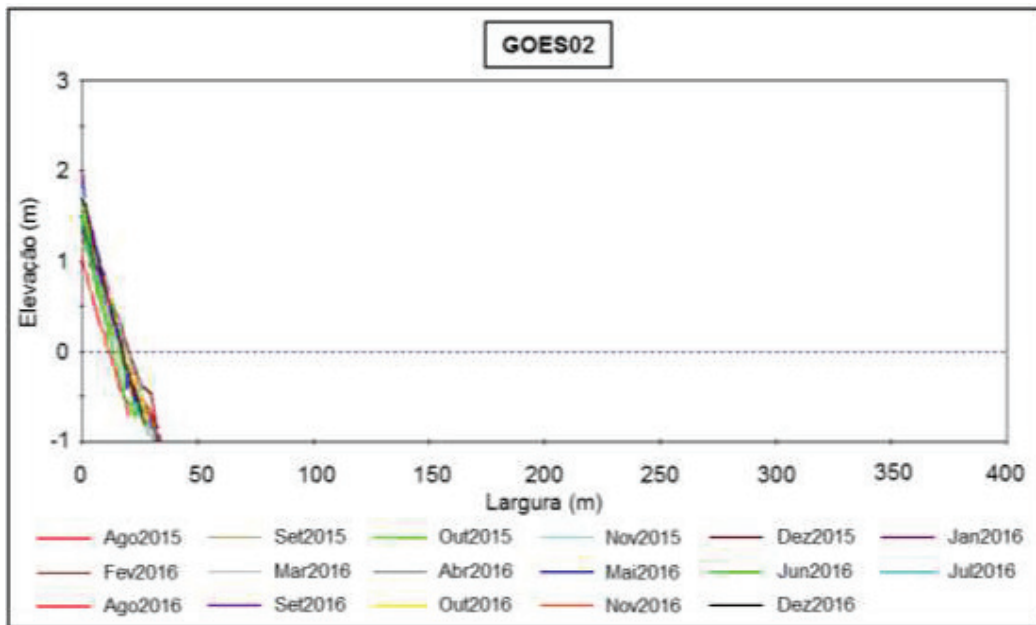
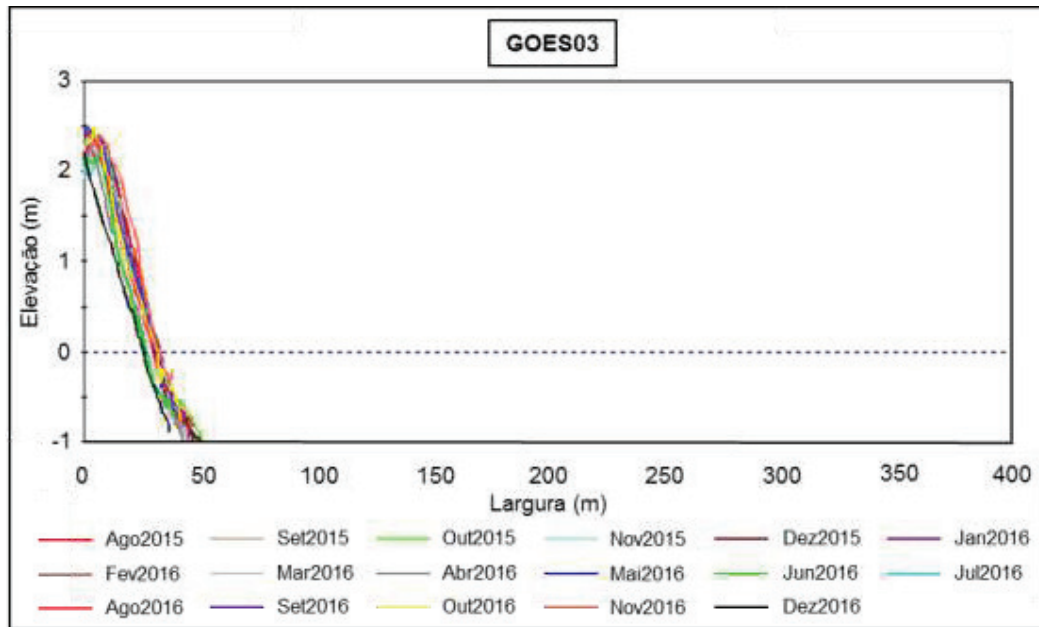
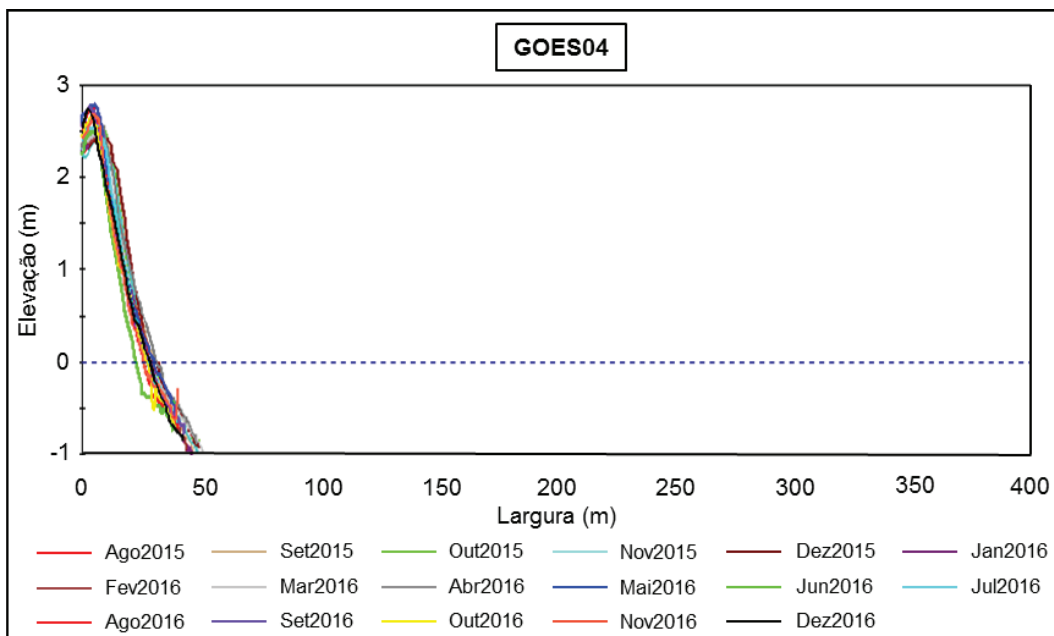


Figura 2-41. Variabilidade temporal do perfil GOES02, entre Agosto de 2015 e Dezembro de 2016.

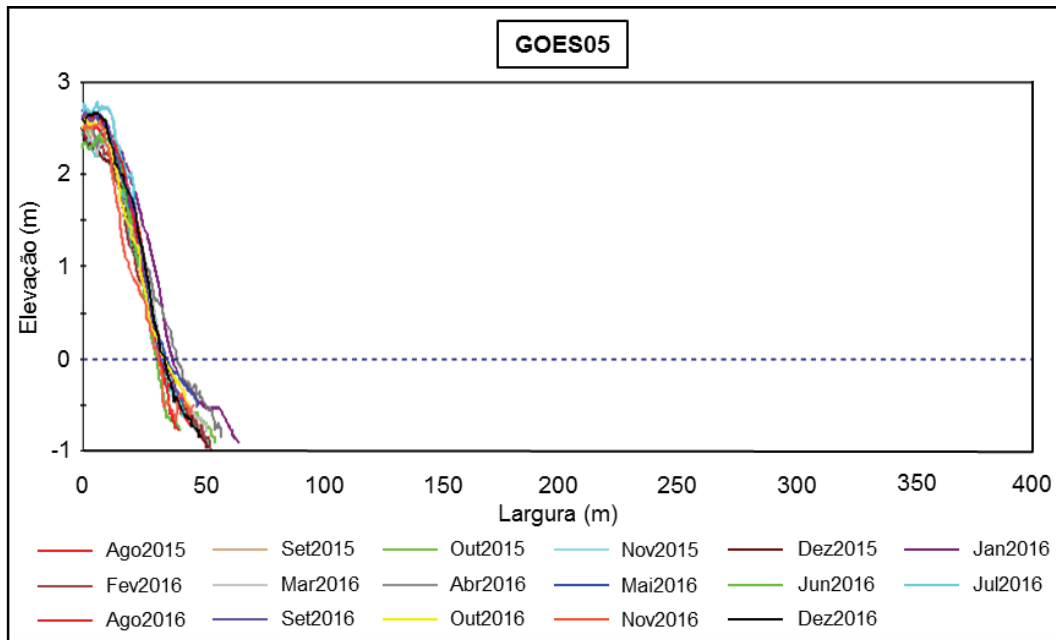




**Figura 2-42. Variabilidade temporal do perfil GOES03, entre Agosto de 2015 e Dezembro de 2016.**



**Figura 2-43. Variabilidade temporal do perfil GOES04, entre Agosto de 2015 e Dezembro de 2016.**



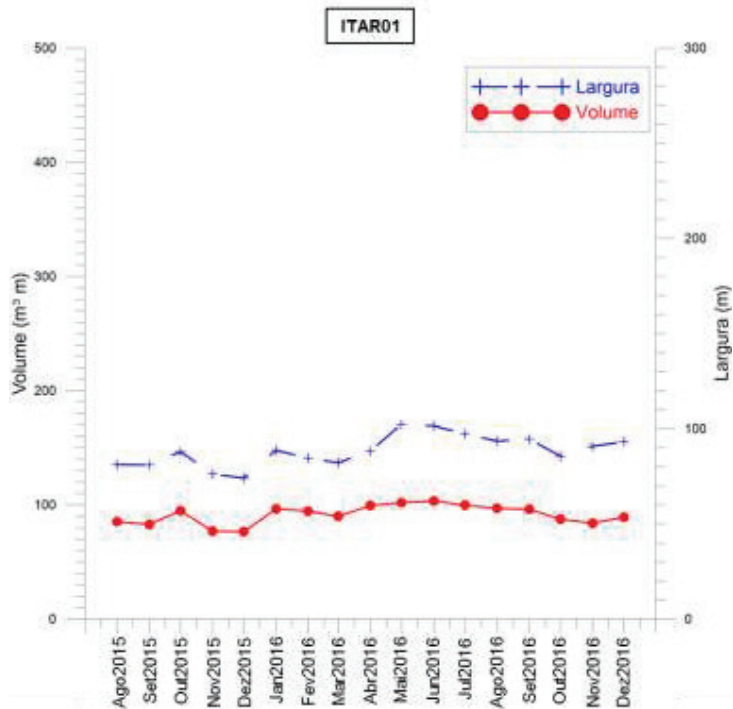
**Figura 2-44. Variabilidade temporal do perfil GOES05, entre Agosto de 2015 e Dezembro de 2016.**

### 2.2.2 Variações de volume e largura dos perfis topográficos

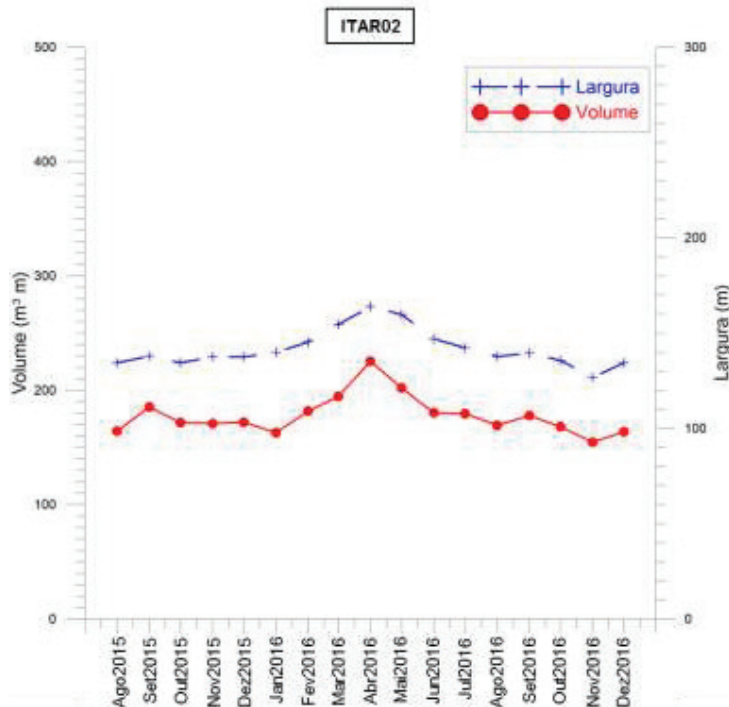
Os volumes e larguras de cada perfil, foram calculados tomando-se como referência a cota 0 do IBGE, através de função própria do software BMAP. As **Figura 2-45 a Figura 2-77** apresentam os gráficos de variabilidade temporal de cada setor e os dados de largura e volume de cada perfil encontram-se nas tabelas presentes no **Anexo 02**. É importante destacar que, para os setores Itararé e Santos, em função de sua posição com relação à incidência dos trens de onda, quase todos os perfis apresentaram tendência ao engordamento até os meses de março ou abril de 2016, tendência essa revertida para a erosão, por vezes continuada até dezembro de 2016.

#### **Setor Itararé**

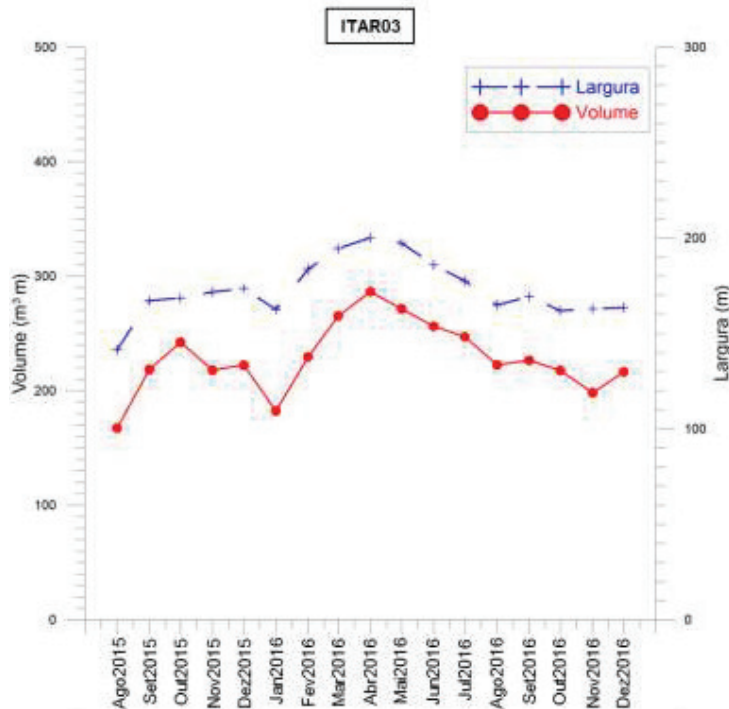
O Setor Itararé apresenta marcante tendência de aumento de largura e volume dos perfis praiais (da ordem de 20% em volume), até abril de 2016. A partir daí a situação é revertida, sendo que, no perfil ITAR05 esta reversão é mais marcante. Neste último a variabilidade do volume chega a cerca de 50%, entre o máximo de abril de 2016 e o mínimo de setembro de 2016 (**Figura 2-45 a Figura 2-49**).



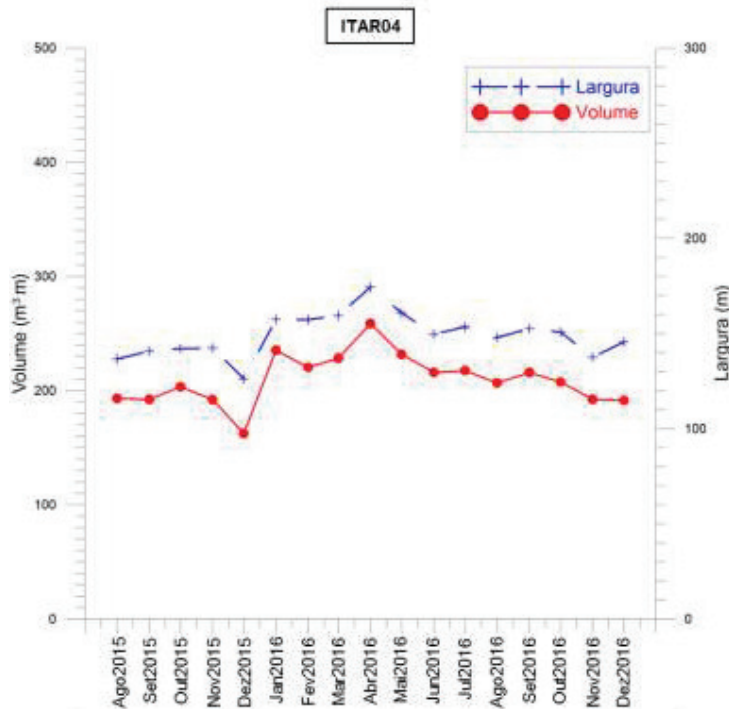
**Figura 2-45.** Variações temporais de volume ( $m^3/m$ ) e largura (m) do perfil ITAR01.



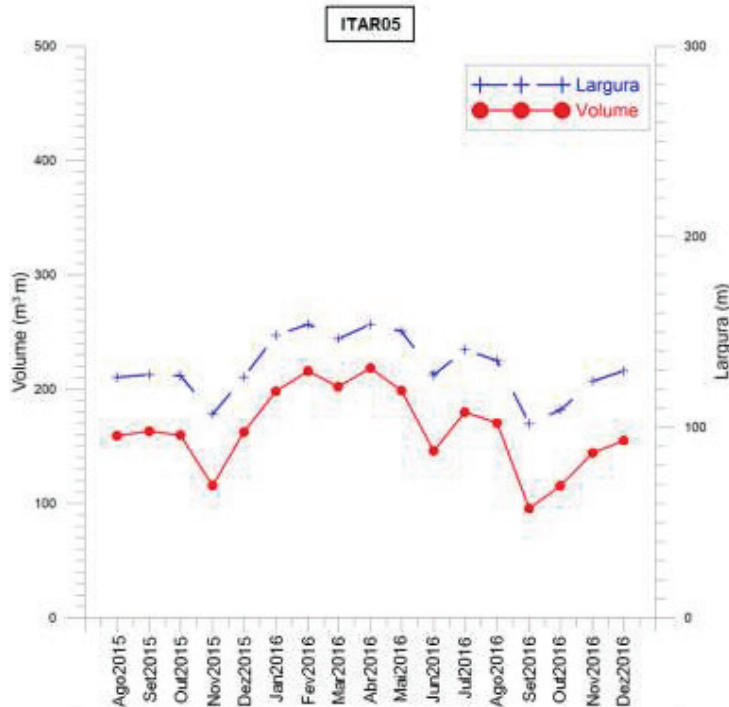
**Figura 2-46.** Variações temporais de volume ( $m^3/m$ ) e largura (m) do perfil ITAR02.



**Figura 2-47.** Variações temporais de volume ( $m^3/m$ ) e largura (m) do perfil ITAR03.



**Figura 2-48.** Variações temporais de volume (m<sup>3</sup>/m) e largura (m) do perfil ITAR04.

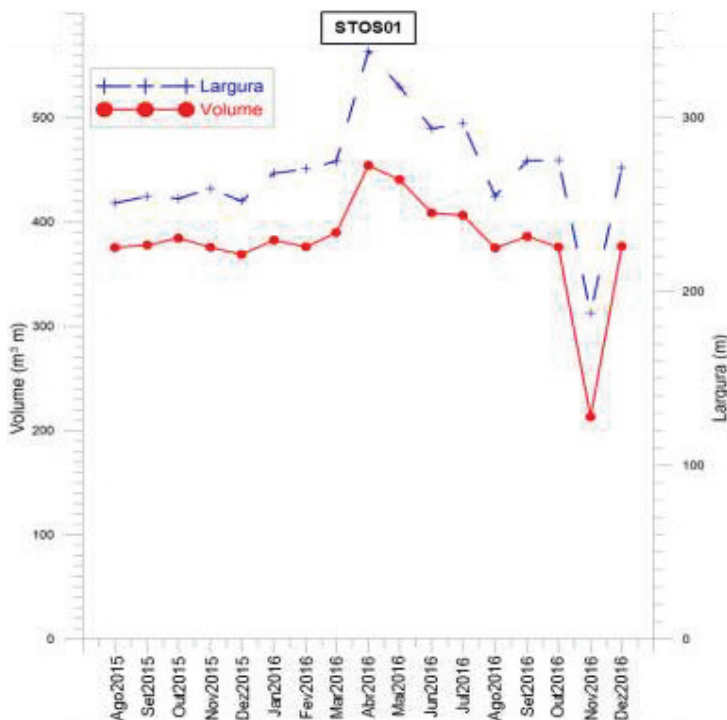


**Figura 2-49.** Variações temporais de volume (m<sup>3</sup>/m) e largura (m) do perfil ITAR05.

## Setor Santos

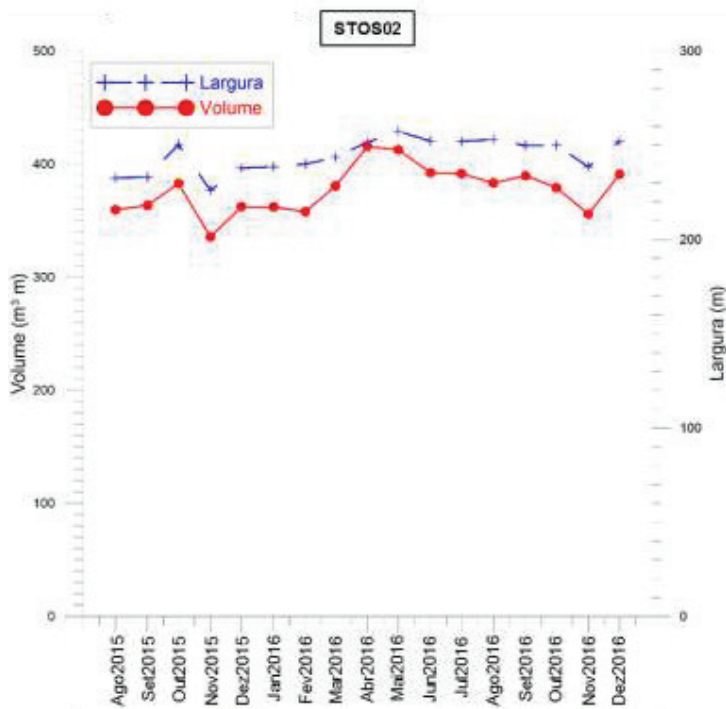
### Compartimento José Menino

O Compartimento José Menino constitui o compartimento com maiores larguras e volumes de todos os levantamentos. Em todos os perfis houve uma mudança brusca nos processos sedimentares em abril de 2016, com engordamento significativo, particularmente em STOS01 (20% em volume) e STOS02 (15% em volume), seguido de forte erosão, ocorrida após o início da temporada de ressacas, em abril de 2016 (**Figura 2-50 a Figura 2-54**).

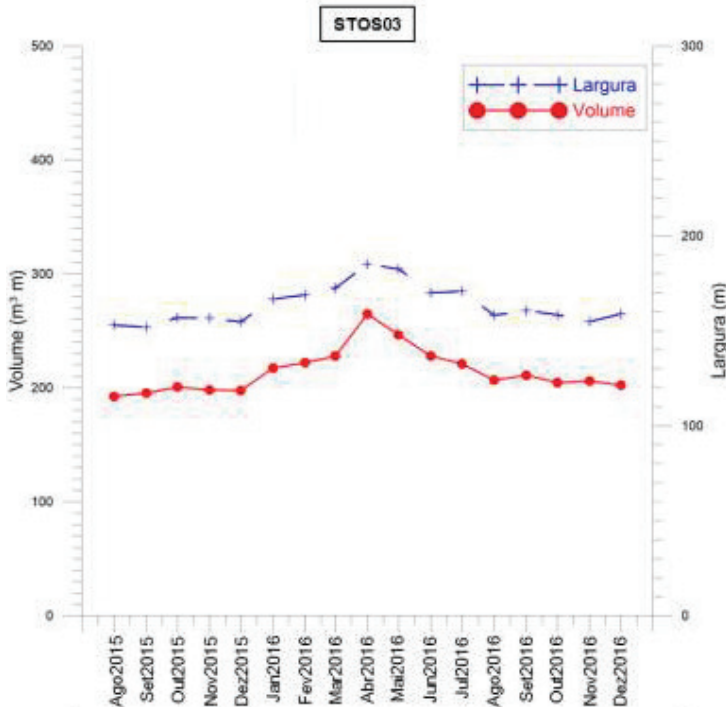


**Figura 2-50.** Variações temporais de volume ( $m^3/m$ ) e largura (m) do perfil STOS01.

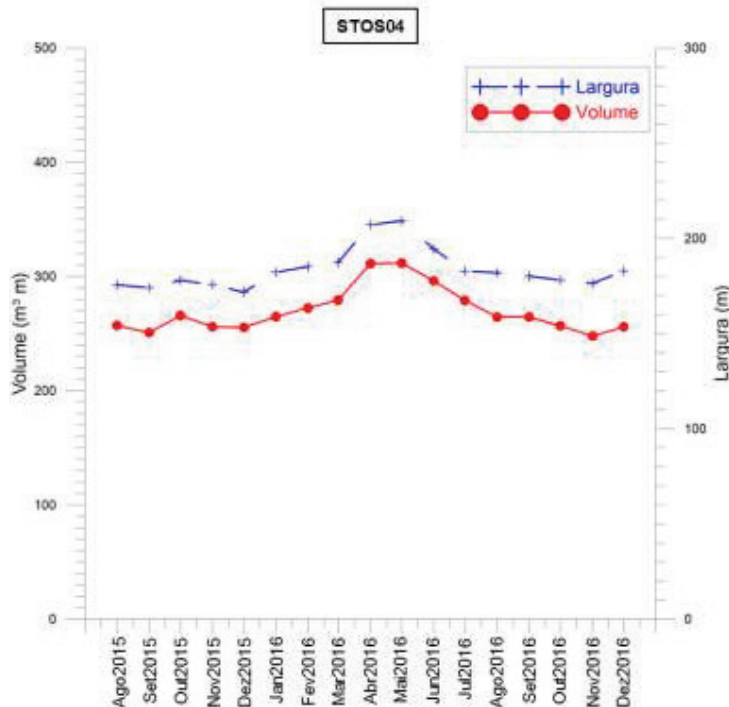




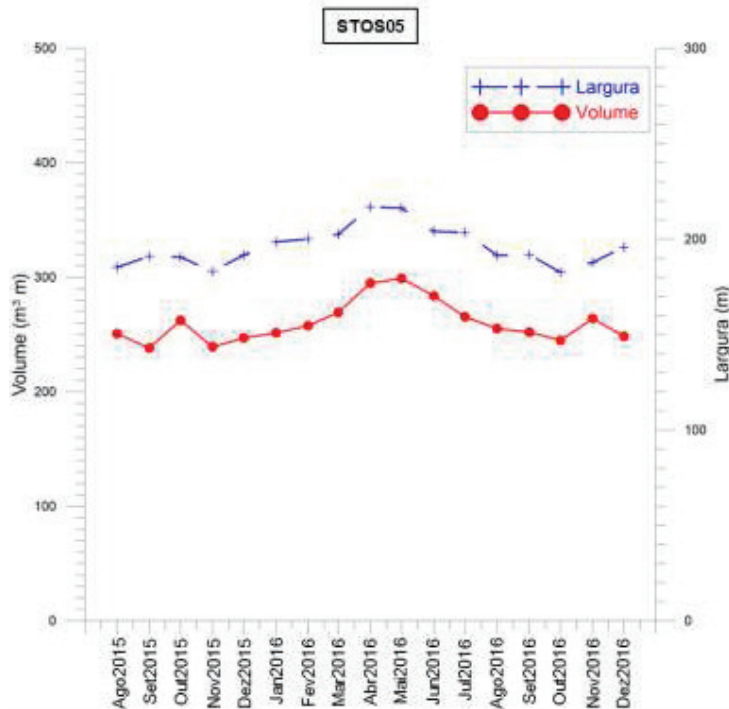
**Figura 2-51.** Variações temporais de volume ( $m^3/m$ ) e largura (m) do perfil STOS02.



**Figura 2-52.** Variações temporais de volume ( $m^3/m$ ) e largura (m) do perfil STOS03.



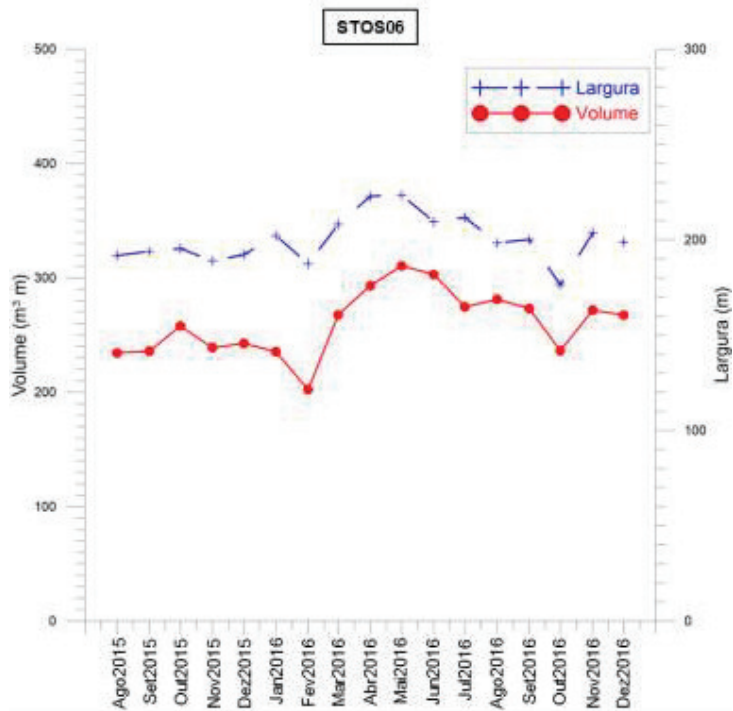
**Figura 2-53. Variações temporais de volume (m<sup>3</sup>/m) e largura (m) do perfil STOS04.**



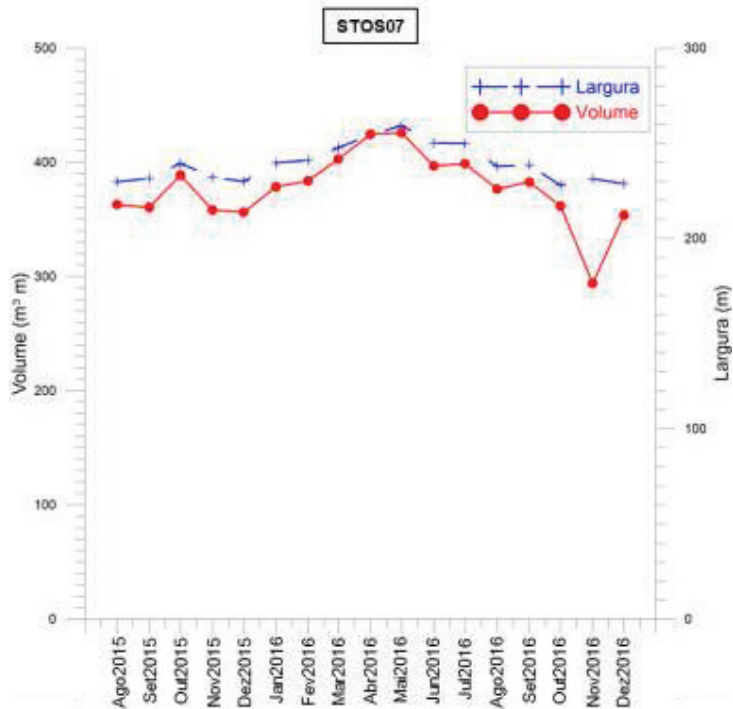
**Figura 2-54. Variações temporais de volume (m<sup>3</sup>/m) e largura (m) do perfil STOS05.**

### Compartimento Pompéia

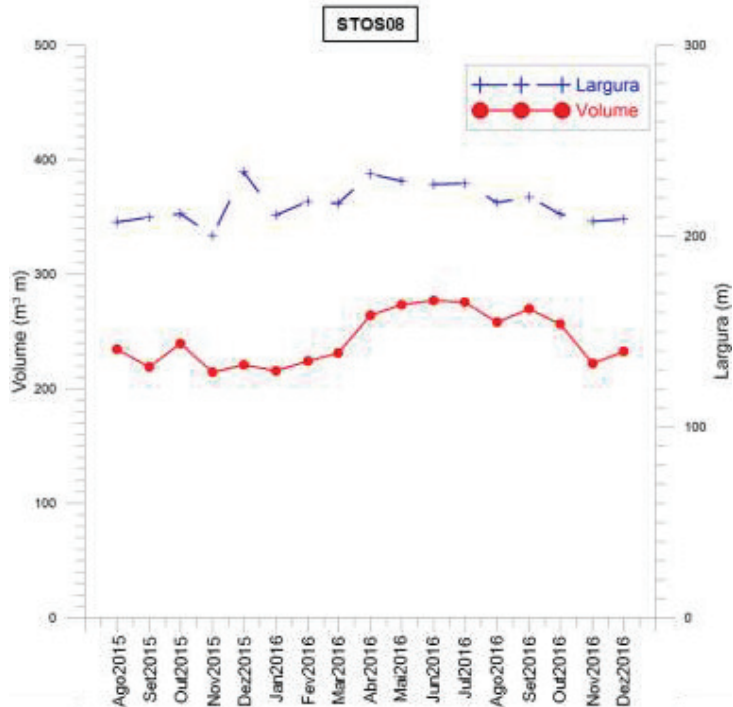
Dentro do Compartimento Pompéia os perfis STOS06 e STOS07 apresentaram tendência semelhante aos perfis do Compartimento José Menino, no que diz respeito às tendências de acresção e posterior erosão. O perfil STOS08 apresentou oscilações menos marcadas (**Figura 2-55 a Figura 2-57**).



**Figura 2-55.** Variações temporais de volume ( $m^3/m$ ) e largura (m) do perfil STOS06.



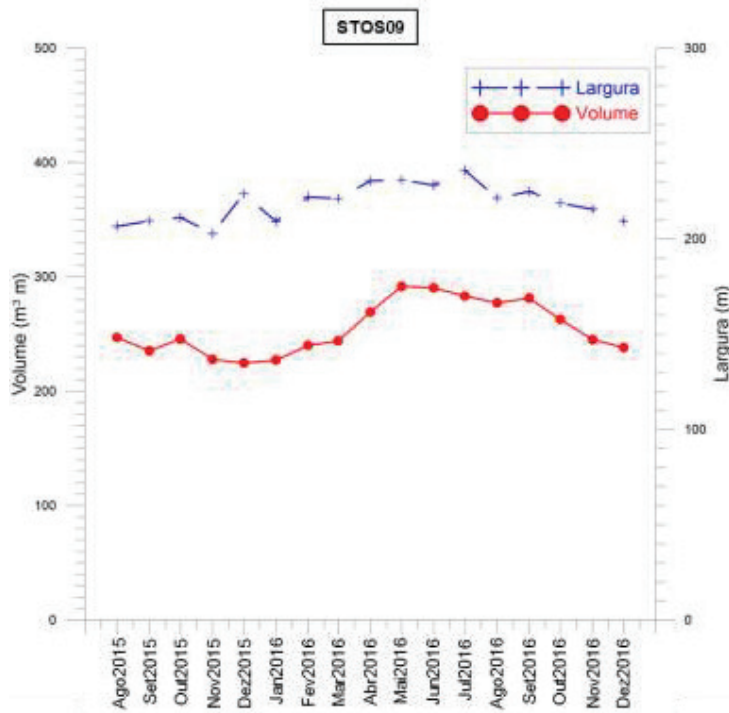
**Figura 2-56. Variações temporais de volume ( $m^3/m$ ) e largura (m) do perfil STOS07.**



**Figura 2-57. Variações temporais de volume ( $m^3/m$ ) e largura (m) do perfil STOS08.**

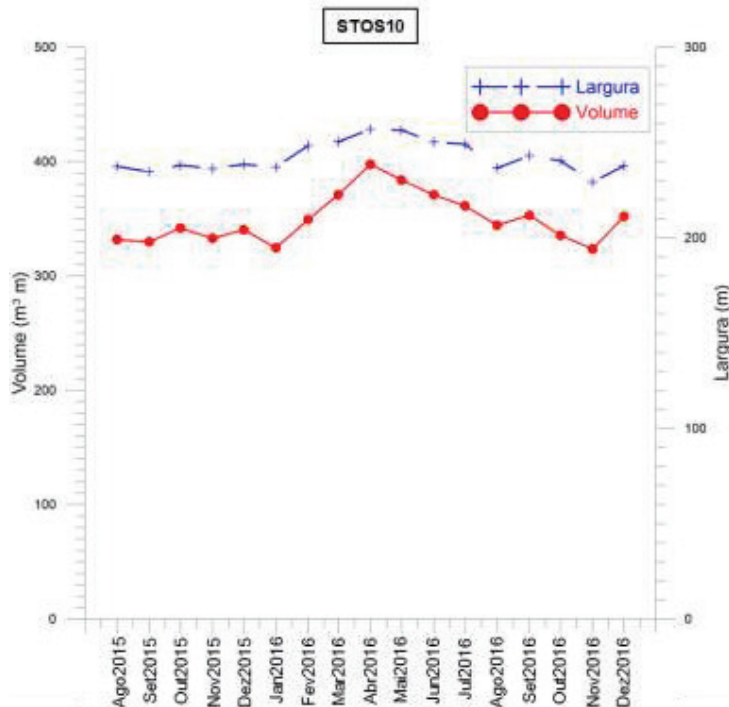
### **Compartimento Gonzaga**

Os perfis do Compartimento Gonzaga apresentam comportamento similar entre si, com tendência ao engordamento até abril de 2016, à exceção do perfil STOS11, que apresenta uma tendência geral à erosão (**Figura 2-58 a Figura 2-60**).

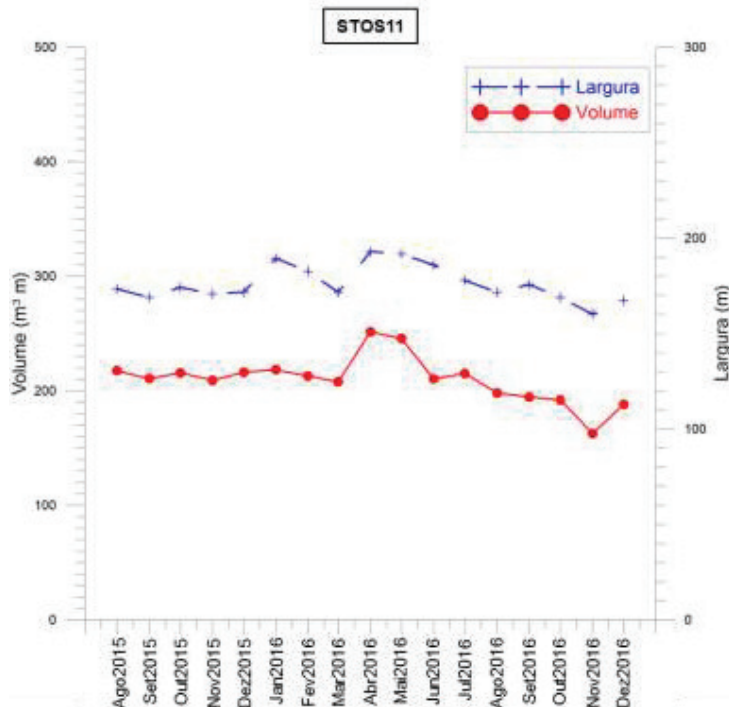


**Figura 2-58.** Variações temporais de volume ( $m^3/m$ ) e largura (m) do perfil STOS09.





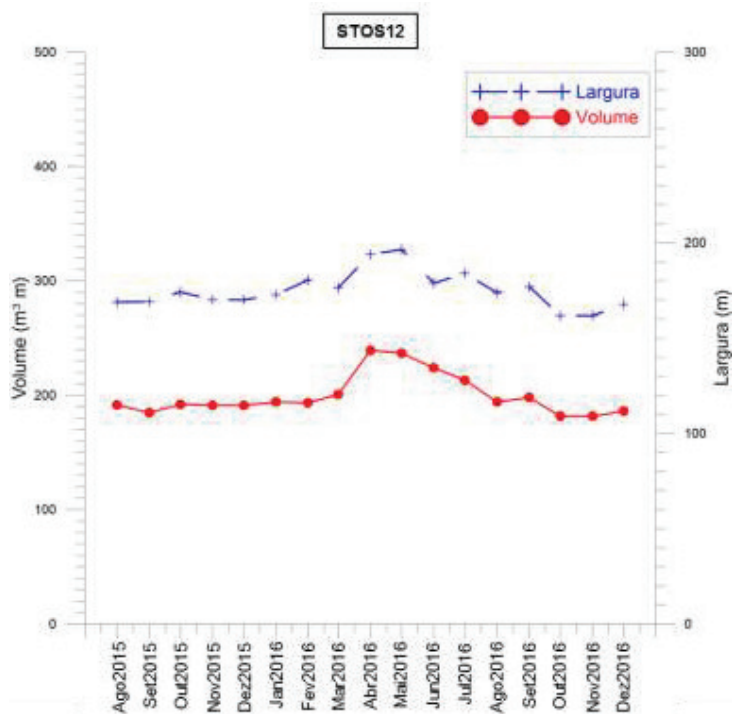
**Figura 2-59.** Variações temporais de volume ( $m^3/m$ ) e largura (m) do perfil STOS10.



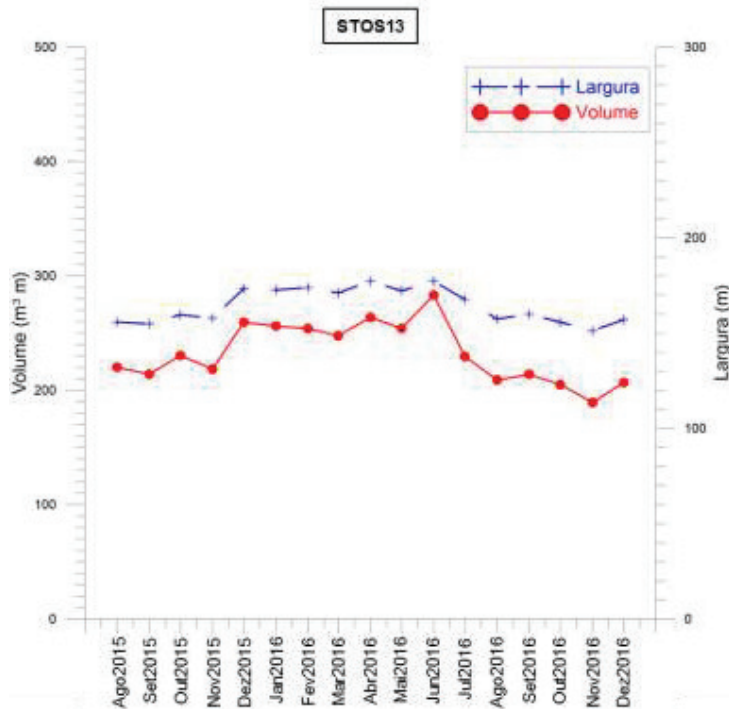
**Figura 2-60.** Variações temporais de volume ( $m^3/m$ ) e largura (m) do perfil STOS11.

### **Compartimento Boqueirão**

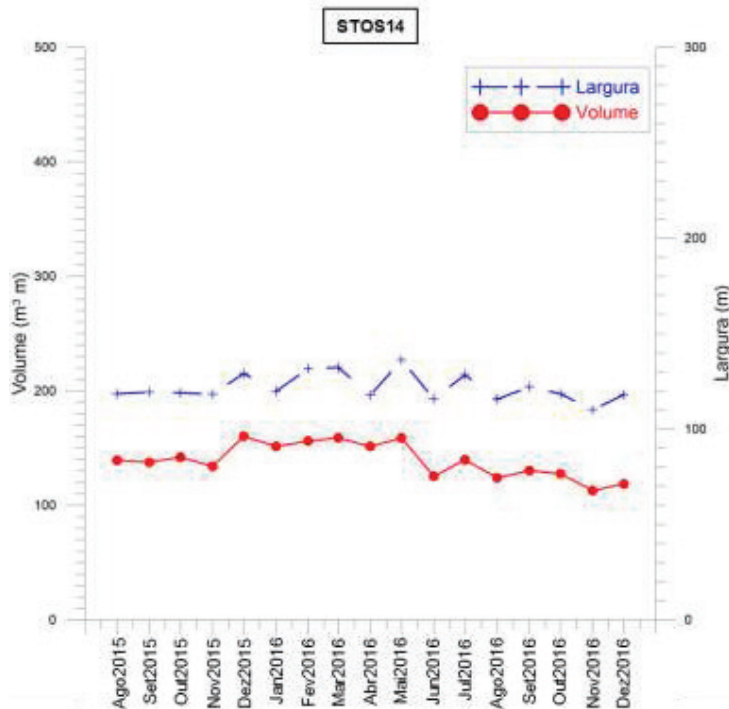
O Compartimento Boqueirão apresenta comportamento semelhante ao compartimento anterior, sendo que os processos evolutivos de STOS14 assemelham-se aos de STOS11, com uma tendência geral à diminuição de largura e volume (**Figura 2-61 a Figura 2-63**).



**Figura 2-61.** Variações temporais de volume ( $m^3/m$ ) e largura (m) do perfil STOS12.



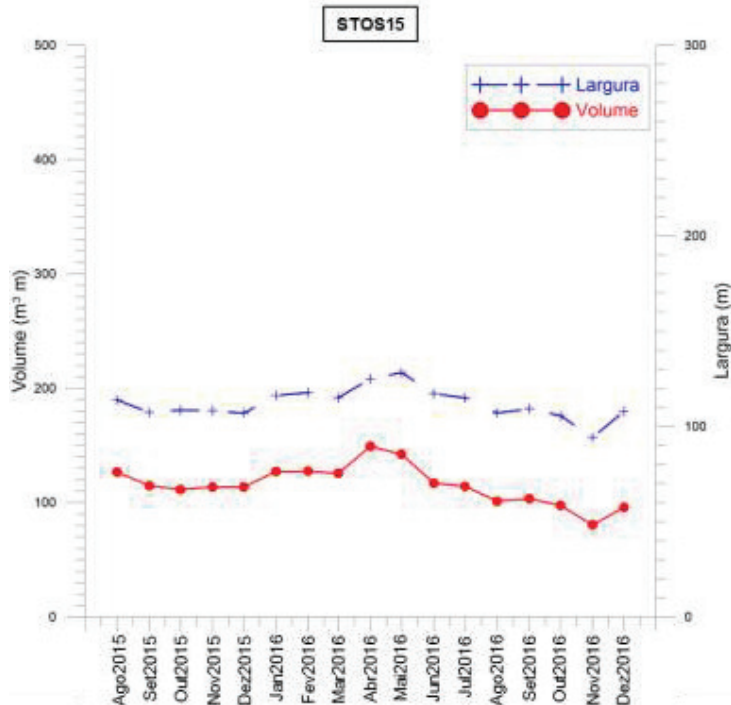
**Figura 2-62. Variações temporais de volume ( $m^3/m$ ) e largura (m) do perfil STOS13.**



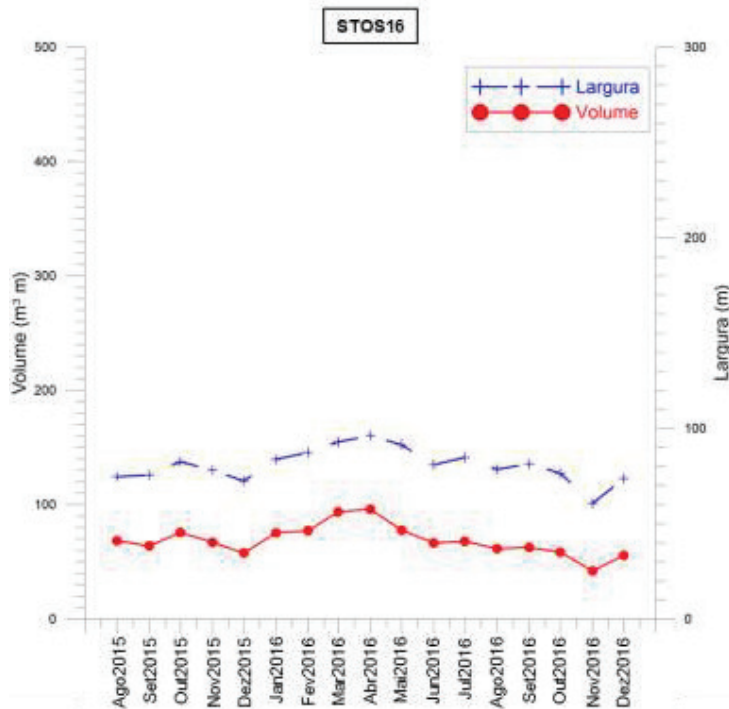
**Figura 2-63. Variações temporais de volume ( $m^3/m$ ) e largura (m) do perfil STOS14.**

### Compartimento Embaré

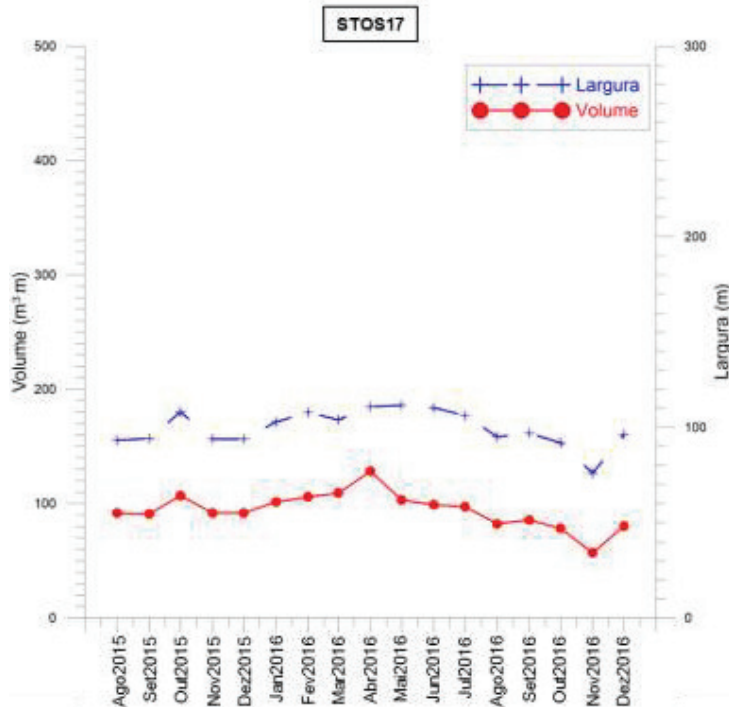
Os perfis do Compartimento Embaré exibem baixa variabilidade temporal, ainda que seja possível perceber a progressiva diminuição de larguras e volumes dos perfis a partir de abril de 2016 (**Figura 2-64** a **Figura 2-66**).



**Figura 2-64.** Variações temporais de volume ( $m^3/m$ ) e largura (m) do perfil STOS15.



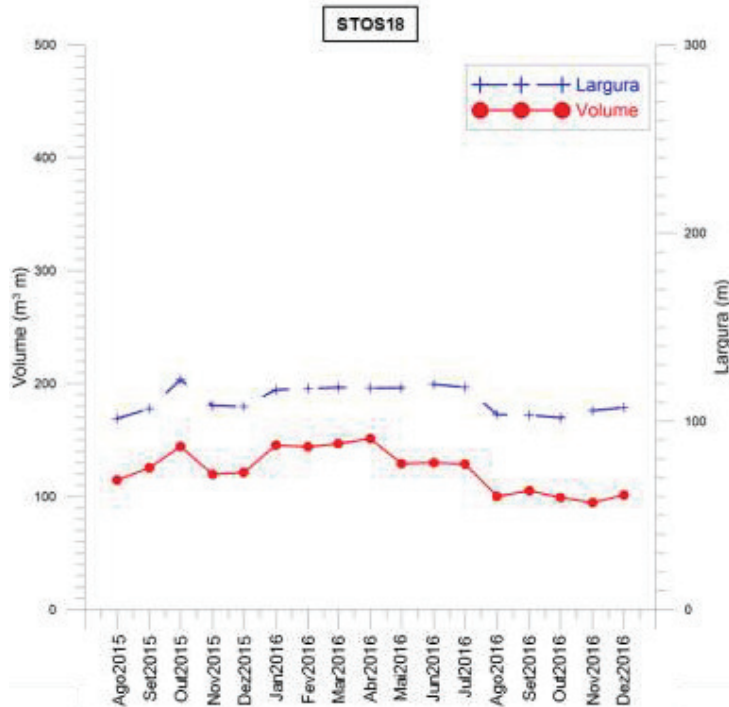
**Figura 2-65.** Variações temporais de volume ( $m^3/m$ ) e largura (m) do perfil STOS16.



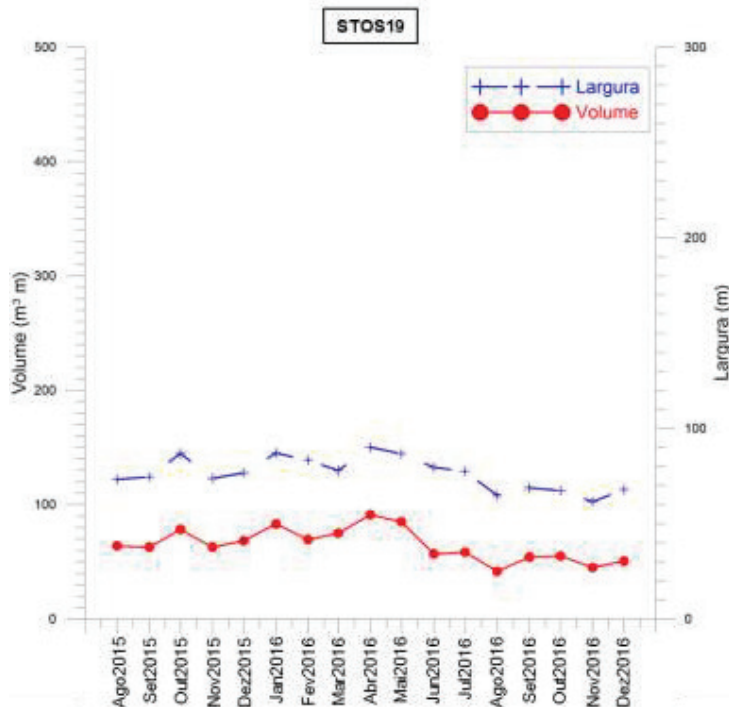
**Figura 2-66.** Variações temporais de volume ( $m^3/m$ ) e largura (m) do perfil STOS17.

### Compartimento Aparecida

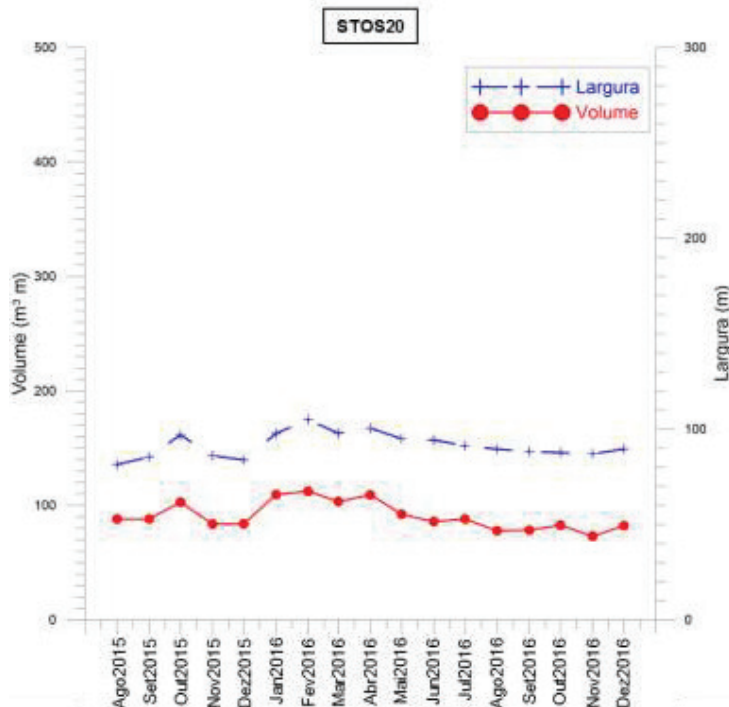
O Compartimento Aparecida apresenta perfis com comportamento relativamente estável até agosto de 2016, quando exibem claros sinais de diminuição de volume e largura (**Figura 2-67 a Figura 2-69**).



**Figura 2-67.** Variações temporais de volume ( $m^3/m$ ) e largura (m) do perfil STOS18.



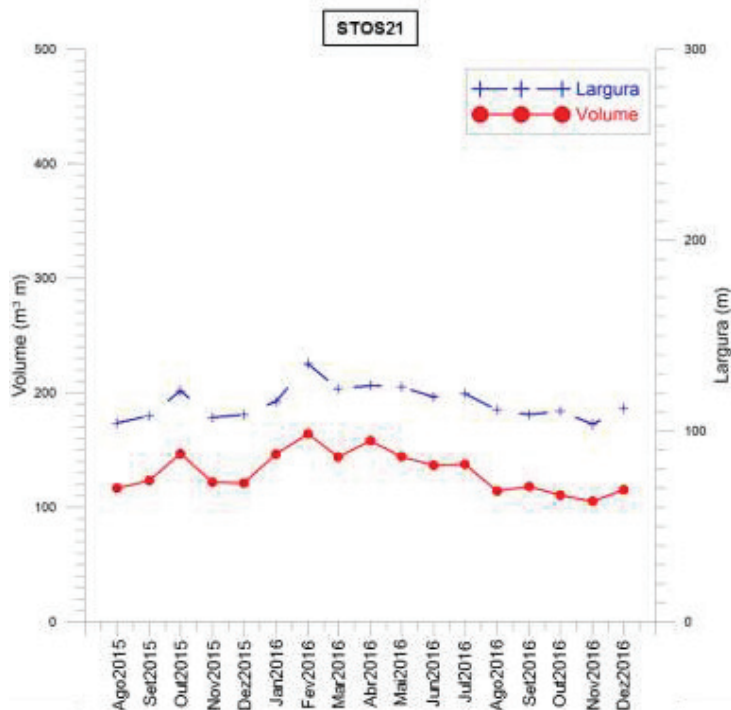
**Figura 2-68.** Variações temporais de volume ( $m^3/m$ ) e largura (m) do perfil STOS19.



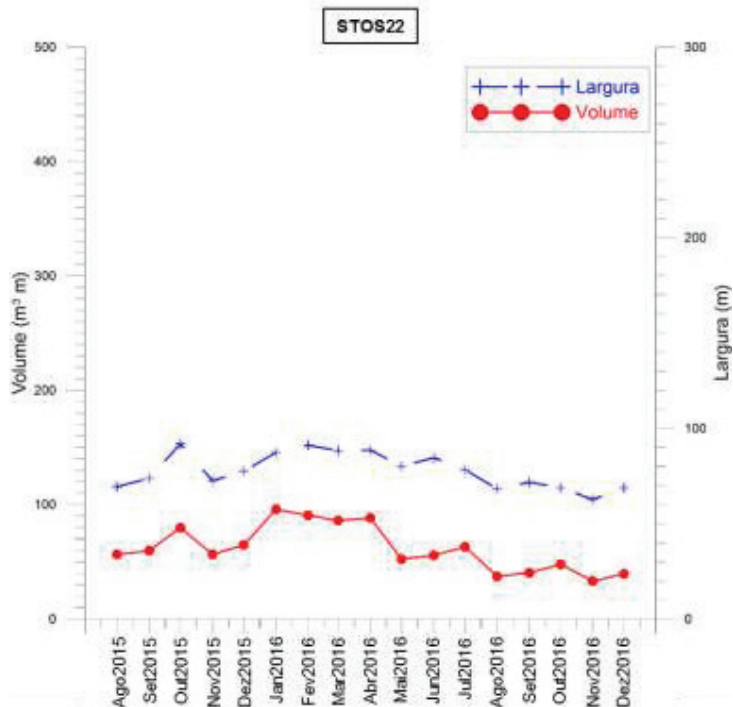
**Figura 2-69.** Variações temporais de volume ( $m^3/m$ ) e largura (m) do perfil STOS20.

### Compartimento Ponta da Praia

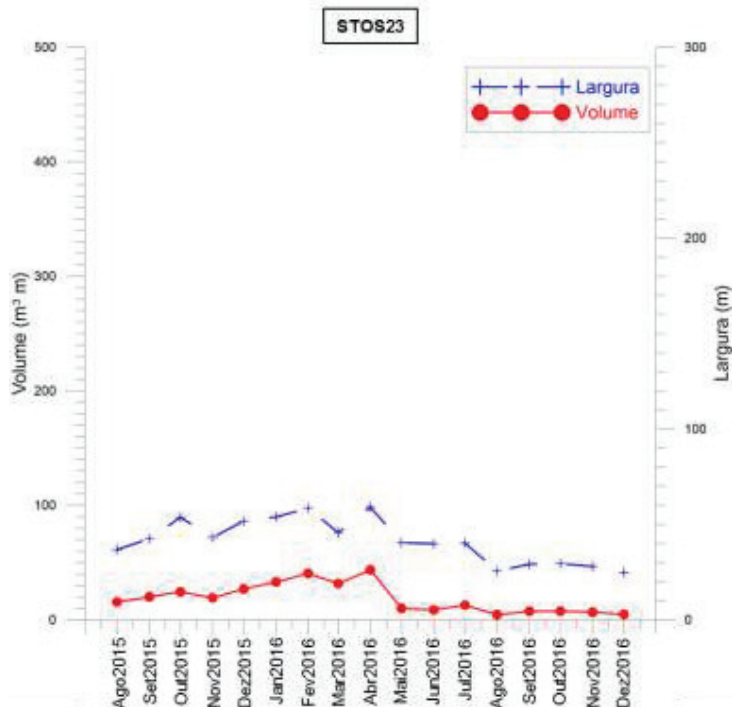
O Compartimento Ponta da Praia constitui-se como o trecho com maior sensibilidade aos processos erosivos, sendo que, percentualmente, é o que apresentou maior variabilidade. O Perfil STOS23 apresenta-se extremamente sensível, tendo sofrido constante erosão, a partir de abril de 2016. Para o perfil STOS22 estimou-se um recuo médio da linha de costa de 2 cm/mês, e para o perfil STOS23 o valor estimado de recuo médio é de 4 cm/mês. Apresentam comportamento relativamente estável até agosto de 2016, quando exibem claros sinais de diminuição de volume e largura (**Figura 2-70 a Figura 2-72**).



**Figura 2-70.** Variações temporais de volume ( $m^3/m$ ) e largura (m) do perfil STOS21.



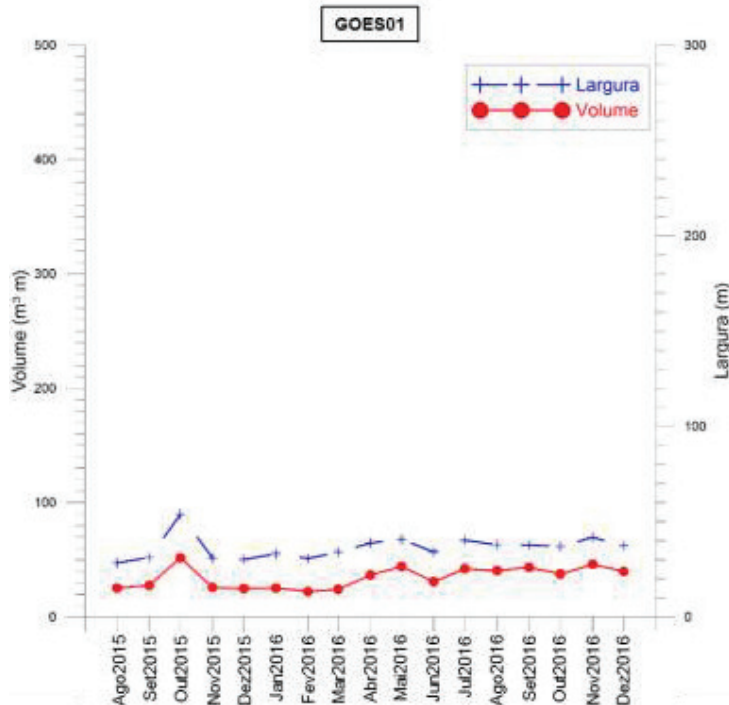
**Figura 2-71.** Variações temporais de volume ( $m^3/m$ ) e largura (m) do perfil STOS22.



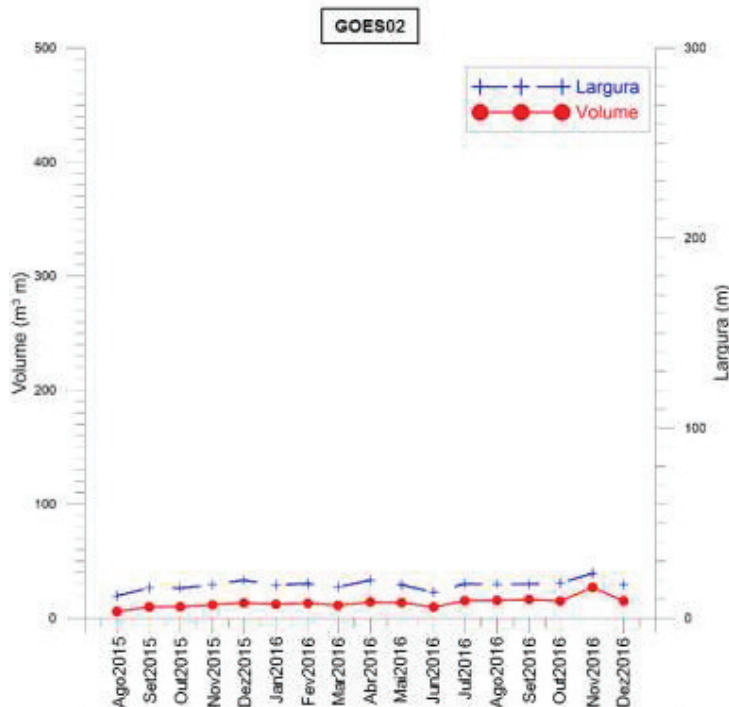
**Figura 2-72.** Variações temporais de volume ( $m^3/m$ ) e largura (m) do perfil STOS23.

## **Setor Góes**

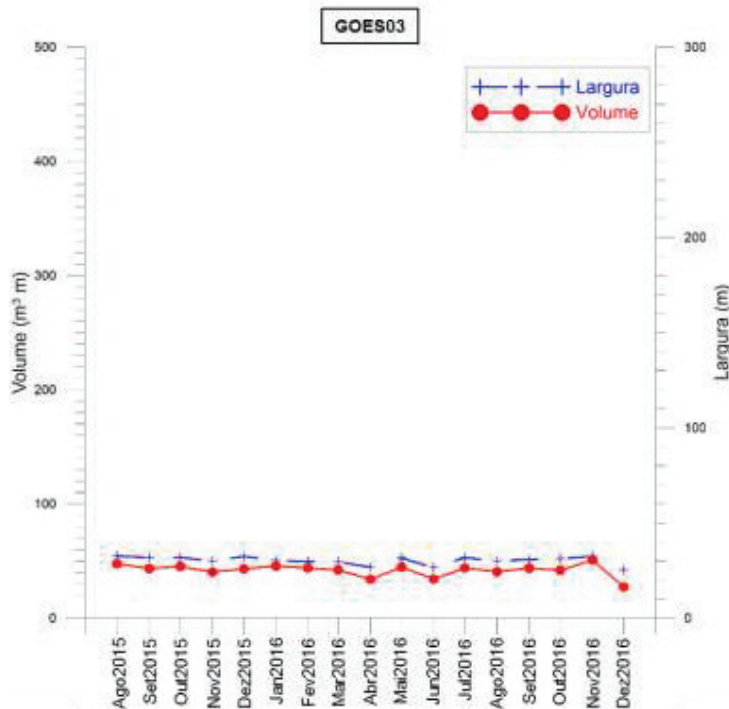
O Setor Góes apresentou as menores larguras e volumes absolutos. Ao longo do tempo do levantamento houve relativa estabilidade temporal nas larguras e volumes dos perfis (**Figura 2-73 a Figura 2-77**).



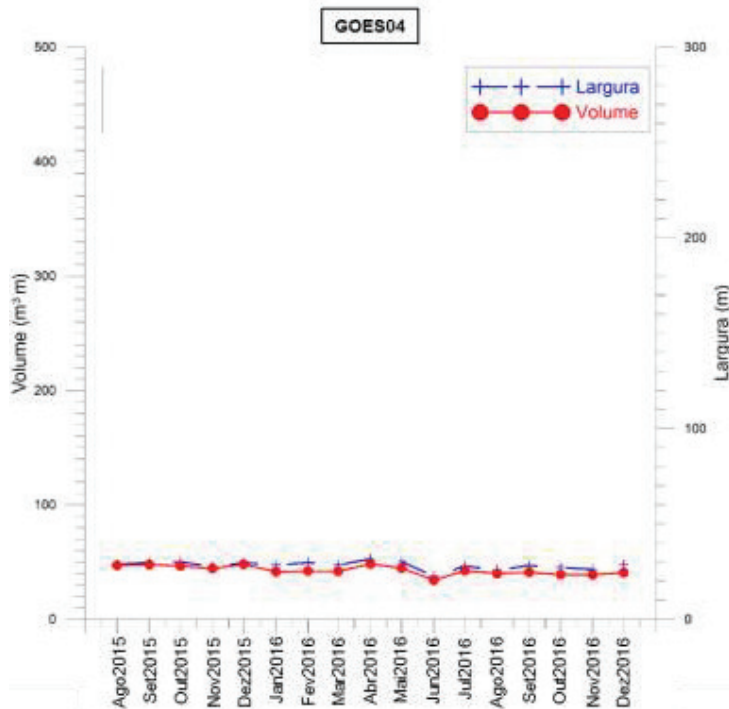
**Figura 2-73.** Variações temporais de volume ( $m^3/m$ ) e largura (m) do perfil GOES01.



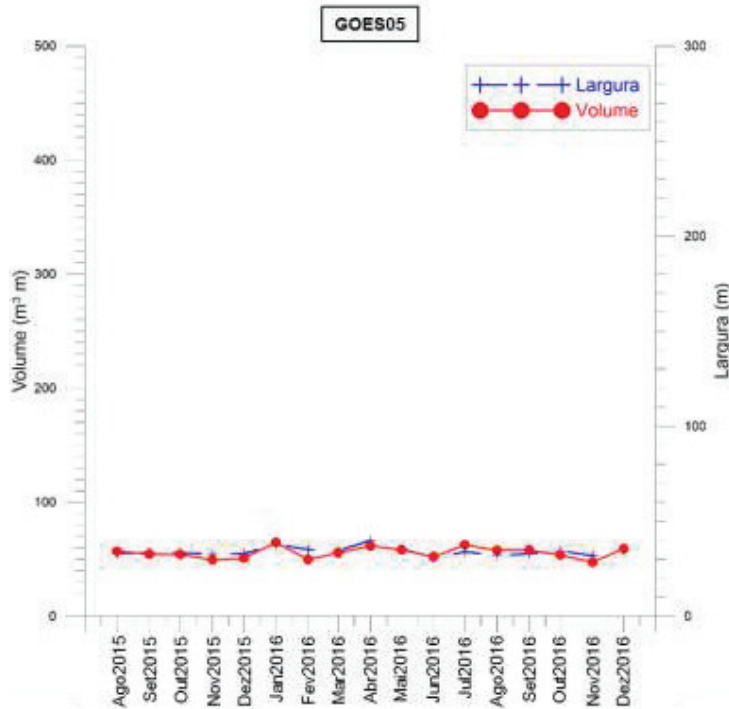
**Figura 2-74.** Variações temporais de volume ( $m^3/m$ ) e largura (m) do perfil GOES02.



**Figura 2-75.** Variações temporais de volume ( $m^3/m$ ) e largura (m) do perfil GOES03.



**Figura 2-76.** Variações temporais de volume ( $m^3/m$ ) e largura (m) do perfil GOES04.



**Figura 2-77.** Variações temporais de volume ( $m^3/m$ ) e largura (m) do perfil GOES05.

### 2.2.3 Indicadores de Erosão Costeira

A seguir, nas **Tabela 2-7** a **Tabela 2-23**, encontram-se os indicadores de erosão costeira observados durante as campanhas.

De acordo com os indicadores de erosão observados e a metodologia utilizada, as praias de Santos, a praia de Itararé e a praia do Góes podem ser classificadas com um risco *BAIXO* de erosão costeira.

**Tabela 2-7:** Indicadores de erosão costeira identificados na campanha Agosto/2015.

**Tabela 2-8.** Indicadores de erosão costeira identificados na campanha Setembro/2015.

**Tabela 2-9.** Indicadores de erosão costeira identificados na campanha Outubro/2015.

**Tabela 2-10.** Indicadores de erosão costeira identificados na campanha Novembro/2015.

**Tabela 2-11.** Indicadores de erosão costeira identificados na campanha Dezembro/2015.

**Tabela 2-12.** Indicadores de erosão costeira identificados na campanha Janeiro/2016.

**Tabela 2-13.** Indicadores de erosão costeira identificados na campanha Fevereiro/2016.

**Tabela 2-14. Indicadores de erosão costeira identificados na campanha Março/2016.**

| Indicadores de Erosão Costeira |  |
|--------------------------------|--|
| I                              | Pó-praia muito estreita ou inexistente devido à inundação pelas preamarés de sizigia (praias urbanizadas ou não).  |
| II                             | Retrogradação geral da linha de costa nas últimas décadas, com franca diminuição da largura da praia, em toda a sua extensão ou mais acentuadamente em determinados locais dela, migração da linha de costa sobre o continente (praias urbanizadas ou não).  |
| III                            | Erosão progressiva de depósitos marinheiros e/ou edícos pleistocénicos a atuais que bordejam as praias, sem o desenvolvimento de falésias (praias urbanizadas ou não).   |
| IV                             | Intensa erosão de depósitos marinheiros e/ou edícos pleistocénicos a atuais que bordejam as praias, provocando o desenvolvimento de falésias com alturas de até dezenas de metros (praias urbanizadas ou não).   |
| V                              | Destrução de falésias frontais de vegetação de "restinga" ou de manguezal e/ou presença de raízes e troncos em posição de vida soterrados na praia, causados pela erosão acentuada ou o soterramento da vegetação devido à retrogradação/migração da linha de costa sobre o continente.  |
| VI                             | Erosão e erosão de depósitos paleogeológicos, tufoferas, arenitos de praia, depósitos marinheiros holocénicos e pleistocénicos, ou embasamento sobre a estranho e/ou a face litorânea atuais, devido à remoção das áreas praias ou por erosão costeira e deficit sedimentar extremamente negativo (praias urbanizadas ou não). |
| VII                            | Frequente exposição de "terracos" ou "falésias artificiais", apresentando pacotes de areias praias/edícos, no contato entre a praia e a área urbanizada.   |
| VIII                           | Destrução de estruturas artificiais construídas sobre os depósitos marinheiros ou edícos holocénicos, a pó-praia, o estranho, as faces praias e litorânea, a zona de surfareorientação e/ou ao largo.  |
| IX                             | Retomada erosiva de antigas plataformas de abrasão marinha, elevadas de +2 a +6 m, formadas sobre rochas do embasamento igneo-metassedítico pré-cambriano a mesozóico, em épocas em que o nível do mar encontrava-se acima do atual, durante o Holoceno e o final do Pleistoceno (praias urbanizadas ou não).                  |
| X                              | Presença de concentrações de minerais pesados em determinados trechos da praia, em associação com outros indicadores erosivos (praias urbanizadas ou não).   |
| XI                             | Desenvolvimento de embalamientos formados pela presença de correntes de retorno concentradas e de zona de barriar ou centros de divergência de células de deriva litorânea localizados em local(s) mais ou menos fixo(s) da linha de costa.  |

**Tabela 2-15. Indicadores de erosão costeira identificados na campanha Abril/2016.**

| Indicadores de Erosão Costeira |  |
|--------------------------------|--|
| I                              | Pôs-praia muito estreita ou inexistente devido à inundação pelas preamarés de sizigia (praias urbanizadas ou não).   |
| II                             | Retrogradação geral da linha de costa nas últimas décadas, com franca diminuição da largura da praia, em toda a sua extensão ou mais acentuadamente em determinados locais dela, migração da linha de costa sobre o continente (praias urbanizadas ou não).  |
| III                            | Erosão progressiva de depósitos marinheiros e/ou edícos pleistocénicos a atuais que bordejam as praias, sem o desenvolvimento de falésias (praias urbanizadas ou não).   |
| IV                             | Intensa erosão de depósitos marinheiros e/ou edícos pleistocénicos a atuais que bordejam as praias, provocando o desenvolvimento de falésias com alturas de até dezenas de metros (praias urbanizadas ou não).   |
| V                              | Destrução de falésias frontais de vegetação de "restinga" ou de manguezal e/ou presença de raízes e troncos em posição de vida soterrados na praia, causados pela erosão acentuada ou o soterramento da vegetação devido à retrogradação/migração da linha de costa sobre o continente.  |
| VI                             | Erosão e erosão de depósitos paleogeológicos, turfeiras, arenitos de praia, depósitos marinheiros holocénicos e pleistocénicos, ou embasamento sobre a estranho e/ou a face litorânea atuais, devido à remoção das áreas praias ou por erosão costeira e deficit sedimentar extremamente negativo (praias urbanizadas ou não). |
| VII                            | Frequente exposição de "terracos" ou "falésias artificiais", apresentando pacotes de areias praias/edícos, no contato entre a praia e a área urbanizada.   |
| VIII                           | Destrução de estruturas artificiais construídas sobre os depósitos marinheiros ou edícos holocénicos, a pôs-praia, o estranho, as faces praias e litorânea, a zona de surfareorientação e/ou ao largo.   |
| IX                             | Retomada erosiva de antigas plataformas de abrasão marinha, elevadas de +2 a +6 m, formadas sobre rochas do embasamento igneo-metassedítico pré-cambriano a mesozóico, em épocas em que o nível do mar encontrava-se acima do atual, durante o Holoceno e o final do Pleistoceno (praias urbanizadas ou não).                  |
| X                              | Presença de concentrações de minerais pesados em determinados trechos da praia, em associação com outros indicadores erosivos (praias urbanizadas ou não).   |
| XI                             | Desenvolvimento de embalamientos formados pela presença de correntes de retorno concentradas e de zona de barriar ou centros de divergência de células de deriva litorânea localizados em local(s) mais ou menos fixo(s) da linha de costa.  |

Tabela 2-16. Indicadores de erosão costeira identificados na campanha Maio/2016.

**Tabela 2-17. Indicadores de erosão costeira identificados na campanha Junho/2016.**

|      | Indicadores de Erosão Costeira   |  |  |  |  |  |  |  |  |  |  |
|------|--|--|--|--|--|--|--|--|--|--|--|
| I    | Praia muito estreita ou inexistente devido à inundação pelas preamarés de sizigia (praias urbanizadas ou não).   |  |  |  |  |  |  |  |  |  |  |
| II   | Retrogradação geral da linha de costa nas últimas décadas, com franca diminuição da largura da praia, em toda a sua extensão ou mais acentuadamente em determinados locais dela, migração da linha de costa sobre o continente (praias urbanizadas ou não).  |  |  |  |  |  |  |  |  |  |  |
| III  | Erosão progressiva de depósitos marinheiros e/ou edifícios pleistocénicos a atuais que bordejam as praias, sem o desenvolvimento de falésias (praias urbanizadas ou não).  |  |  |  |  |  |  |  |  |  |  |
| IV   | Intensa erosão de depósitos marinheiros e/ou edifícios pleistocénicos a atuais que bordejam as praias, provocando o desenvolvimento de falésias com alturas de até dezenas de metros (praias urbanizadas ou não).  |  |  |  |  |  |  |  |  |  |  |
| V    | Destruição de falésias frontais de vegetação de "restinga" ou de manguezal e/ou presença de raízes e troncos em posição de vida soterrados na praia, causados pela erosão acentuada ou o soterramento da vegetação devido à retrogradação/migração da linha de costa sobre o continente.                                       |  |  |  |  |  |  |  |  |  |  |
| VI   | Erosão e erosão de depósitos paleogeológicos, tufoferas, arenitos de praia, depósitos marinheiros holocénicos e pleistocénicos, ou embasamento sobre a estranho e/ou a face litorânea atuais, devido à remoção das áreas praias ou por erosão costeira e deficit sedimentar extremamente negativo (praias urbanizadas ou não). |  |  |  |  |  |  |  |  |  |  |
| VII  | Frequente exposição de "terracos" ou "falésias artificiais", apresentando pacotes de areias praias/edifícios, no contato entre a praia e a área urbanizada.  |  |  |  |  |  |  |  |  |  |  |
| VIII | Destruição de estruturas artificiais construídas sobre os depósitos marinheiros ou edifícios holocénicos, a pós-praia, o estranho, as faces praias e litorânea, a zona de surfareorientação e/ou ao largo.   |  |  |  |  |  |  |  |  |  |  |
| IX   | Retomada erosiva de antigas plataformas de abrasão marinha, elevadas de +2 a +6 m, formadas sobre rochas do embasamento igneo-metassedítico pré-cambriano a mesozóico, em épocas em que o nível do mar encontrava-se acima do atual, durante o Holoceno e o final do Pleistoceno (praias urbanizadas ou não).                  |  |  |  |  |  |  |  |  |  |  |
| X    | Presença de concentrações de minerais pesados em determinados trechos da praia, em associação com outros indicadores erosivos (praias urbanizadas ou não).   |  |  |  |  |  |  |  |  |  |  |
| XI   | Desenvolvimento de embalamientos formados pela presença de correntes de retorno concentradas e de zona de barriar ou centros de divergência de células de deriva litorânea localizados em local(is) mais ou menos fixos (a linha de costa).  |  |  |  |  |  |  |  |  |  |  |

**Tabela 2-18. Indicadores de erosão costeira identificados na campanha Julho/2016.**

|      |  | Indicadores de Erosão Costeira |  |  |  |  |  |  |  |  |  |
|------|--|--------------------------------|--|--|--|--|--|--|--|--|--|
| I    | Praia muito estreita ou inexistente devido à inundação pelas preamaras de szigia (praias urbanizadas ou não).  |                                |  |  |  |  |  |  |  |  |  |
| II   | Retrogradação geral da linha de costa nas últimas décadas, com franca diminuição da largura da praia, em toda a sua extensão ou mais acentuadamente em determinados locais dela, migração da linha de costa sobre o continente (praias urbanizadas ou não).  |                                |  |  |  |  |  |  |  |  |  |
| III  | Erosão progressiva de depósitos marinhas e/ou edícos pleistocénicos a atuais que bordejam as praias, sem o desenvolvimento de falésias (praias urbanizadas ou não).  |                                |  |  |  |  |  |  |  |  |  |
| IV   | Intensa erosão de depósitos marinhas e/ou edícos pleistocénicos a atuais que bordejam as praias, provocando o desenvolvimento de falésias com alturas de até dezenas de metros (praias urbanizadas ou não).  |                                |  |  |  |  |  |  |  |  |  |
| V    | Destruição de falésias frontais de vegetação de "restinga" ou de manguezal e/ou presença de raízes e troncos em posição de vida soterrados na praia, causados pela erosão acentuada ou o soterramento da vegetação devido à retrogradação/migração da linha de costa sobre o continente.                                 |                                |  |  |  |  |  |  |  |  |  |
| VI   | Erosão e erosão de depósitos paleoaglomerados, turfeiras, arenitos de praia, depósitos marinhas holocénicos e pleistocénicos, ou embasamento sobre a estranho e/ou a face litorânea atuais, devido à remoção das áreas praias ou erosão costeira e deficit sedimentar extremamente negativo (praias urbanizadas ou não). |                                |  |  |  |  |  |  |  |  |  |
| VII  | Frequente exposição de "terracos" ou "falésias artificiais", apresentando pacotes de areias praias/edícos, no contato entre a praia e a área urbanizada.   |                                |  |  |  |  |  |  |  |  |  |
| VIII | Destruição de estruturas artificiais construídas sobre os depósitos marinhas ou edícos holocénicos, a pós-praia, o estranho, as faces praias e litorânea, a zona de surfareorientação e/ou ao largo.   |                                |  |  |  |  |  |  |  |  |  |
| IX   | Retomada erosiva de antigas plataformas de abrasão marinha, elevadas de +2 a +6 m, formadas sobre rochas do embasamento igneo-metassedítico pré-cambriano a mesozóico, em épocas em que o nível do mar encontrava-se acima do atual, durante o Holoceno e o final do Pleistoceno (praias urbanizadas ou não).            |                                |  |  |  |  |  |  |  |  |  |
| X    | Presença de concentrações de minerais pesados em determinados trechos da praia, em associação com outros indicadores erosivos (praias urbanizadas ou não).   |                                |  |  |  |  |  |  |  |  |  |
| XI   | Desenvolvimento de embalamentos formados pela presença de correntes de retorno concentradas e de zona de barriar ou centros de divergência de células de deriva litorânea localizados em local(is) mais ou menos fixos da linha de costa.  |                                |  |  |  |  |  |  |  |  |  |

**Tabela 2-19. Indicadores de erosão costeira identificados na campanha Agosto/2016.**

|      | Indicadores de Erosão Costeira   |  |  |  |  |  |  |  |  |  |  |
|------|--|--|--|--|--|--|--|--|--|--|--|
| I    | Praia muito estreita ou inexistente devido à inundação pelas preamarés de sizigia (praias urbanizadas ou não).   |  |  |  |  |  |  |  |  |  |  |
| II   | Retrogradação geral da linha de costa nas últimas décadas, com franca diminuição da largura da praia, em toda a sua extensão ou mais acentuadamente em determinados locais dela, migração da linha de costa sobre o continente (praias urbanizadas ou não).  |  |  |  |  |  |  |  |  |  |  |
| III  | Erosão progressiva de depósitos marinheiros e/ou edícos pleistocénicos a atuais que bordejam as praias, sem o desenvolvimento de falésias (praias urbanizadas ou não).   |  |  |  |  |  |  |  |  |  |  |
| IV   | Intensa erosão de depósitos marinheiros e/ou edícos pleistocénicos a atuais que bordejam as praias, provocando o desenvolvimento de falésias com alturas de até dezenas de metros (praias urbanizadas ou não).   |  |  |  |  |  |  |  |  |  |  |
| V    | Destrução de falésias frontais de vegetação de "restinga" ou de manguezal e/ou presença de raízes e troncos em posição de vida soterrados na praia, causados pela erosão acentuada ou o soterramento da vegetação devido à retrogradação/migração da linha de costa sobre o continente.  |  |  |  |  |  |  |  |  |  |  |
| VI   | Erosão e erosão de depósitos paleogeológicos, tufoferas, arenitos de praia, depósitos marinheiros holocénicos e pleistocénicos, ou embasamento sobre a estranho e/ou a face litorânea atuais, devido à remoção das áreas praias ou por erosão costeira e deficit sedimentar extremamente negativo (praias urbanizadas ou não). |  |  |  |  |  |  |  |  |  |  |
| VII  | Frequente exposição de "terracos" ou "falésias artificiais", apresentando pacotes de areias praias/edícos, no contato entre a praia e a área urbanizada.   |  |  |  |  |  |  |  |  |  |  |
| VIII | Destrução de estruturas artificiais construídas sobre os depósitos marinheiros ou edícos holocénicos, a pós-praia, o estranho, as faces praias e litorânea, a zona de surfareorientação e/ou ao largo.   |  |  |  |  |  |  |  |  |  |  |
| IX   | Retomada erosiva de antigas plataformas de abrasão marinha, elevadas de +2 a +6 m, formadas sobre rochas do embasamento igneo-metassedítico pré-cambriano a mesozóico, em épocas em que o nível do mar encontrava-se acima do atual, durante o Holoceno e o final do Pleistoceno (praias urbanizadas ou não).                  |  |  |  |  |  |  |  |  |  |  |
| X    | Presença de concentrações de minerais pesados em determinados trechos da praia, em associação com outros indicadores erosivos (praias urbanizadas ou não).   |  |  |  |  |  |  |  |  |  |  |
| XI   | Desenvolvimento de embalamentos formados pela presença de correntes de retorno concentradas e de zona de barriar ou centros de divergência de células de deriva litorânea localizados em local(is) mais ou menos fixos da linha de costa.  |  |  |  |  |  |  |  |  |  |  |

**Tabela 2-20. Indicadores de erosão costeira identificados na campanha Setembro/2016.**

|      |   | Indicadores de Erosão Costeira |  |  |  |  |  |  |  |  |  |
|------|---|--------------------------------|--|--|--|--|--|--|--|--|--|
| I    | Praia muito estreita ou inexistente devido à inundação pelas preamarés de sizigia (praias urbanizadas ou não).  |                                |  |  |  |  |  |  |  |  |  |
| II   | Retrogradação geral da linha de costa nas últimas décadas, com franca diminuição da largura da praia, em toda a sua extensão ou mais acentuadamente em determinados locais dela, migração da linha de costa sobre o continente (praias urbanizadas ou não).   |                                |  |  |  |  |  |  |  |  |  |
| III  | Erosão progressiva de depósitos marinhas e/ou edícos pleistocénicos a atuais que bordejam as praias, sem o desenvolvimento de falésias (praias urbanizadas ou não).   |                                |  |  |  |  |  |  |  |  |  |
| IV   | Intensa erosão de depósitos marinhas e/ou edícos pleistocénicos a atuais que bordejam as praias, provocando o desenvolvimento de falésias com alturas de até dezenas de metros (praias urbanizadas ou não).   |                                |  |  |  |  |  |  |  |  |  |
| V    | Destruição de falésias frontais de vegetação de "restinga" ou de manguezal e/ou presença de raízes e troncos em posição de vida soterrados na praia, causados pela erosão acentuada ou o soterramento da vegetação devido à retrogradação/migração da linha de costa sobre o continente.                                |                                |  |  |  |  |  |  |  |  |  |
| VI   | Erosão e erosão de depósitos paleogeológicos, turfeiras, arenitos de praia, depósitos marinhas holocénicos e pleistocénicos, ou embasamento sobre a estranho e/ou a face litorânea atuais, devido à remoção das áreas praias ou erosão costeira e deficit sedimentar extremamente negativo (praias urbanizadas ou não). |                                |  |  |  |  |  |  |  |  |  |
| VII  | Frequente exposição de "terracos" ou "falésias artificiais", apresentando pacotes de areias praias/edícos, no contato entre a praia e a área urbanizada.  |                                |  |  |  |  |  |  |  |  |  |
| VIII | Destruição de estruturas artificiais construídas sobre os depósitos marinhas ou edícos holocénicos, a pós-praia, o estranho, as faces praias e litorânea, a zona de surfareorientação e/ou ao largo.  |                                |  |  |  |  |  |  |  |  |  |
| IX   | Retomada erosiva de antigas plataformas de abrasão marinha, elevadas de +2 a +6 m, formadas sobre rochas do embasamento igneo-metassedítico pré-cambriano a mesozóico, em épocas em que o nível do mar encontrava-se acima do atual, durante o Holoceno e o final do Pleistoceno (praias urbanizadas ou não).           |                                |  |  |  |  |  |  |  |  |  |
| X    | Presença de concentrações de minerais pesados em determinados trechos da praia, em associação com outros indicadores erosivos (praias urbanizadas ou não).  |                                |  |  |  |  |  |  |  |  |  |
| XI   | Desenvolvimento de embalamentos formados pela presença de correntes de retorno concentradas e de zona de barriar ou centros de divergência de células de deriva litorânea localizados em local(is) mais ou menos fixos (a linha de costa).  |                                |  |  |  |  |  |  |  |  |  |

**Tabela 2-21. Indicadores de erosão costeira identificados na campanha Outubro/2016.**

**Tabela 2-22. Indicadores de erosão costeira identificados na campanha Novembro/2016.**

|      |  | Indicadores de Erosão Costeira |  |  |  |  |  |  |  |  |  |
|------|--|--------------------------------|--|--|--|--|--|--|--|--|--|
| I    | Pó-praia muito estreita ou inexistente devido à inundação pelas preamarés de sizigia (praias urbanizadas ou não).  |                                |  |  |  |  |  |  |  |  |  |
| II   | Retrogradação geral da linha de costa nas últimas décadas, com franca diminuição da largura da praia, em toda a sua extensão ou mais acentuadamente em determinados locais dela, migração da linha de costa sobre o continente (praias urbanizadas ou não).  |                                |  |  |  |  |  |  |  |  |  |
| III  | Erosão progressiva de depósitos marinheiros e/ou edícos pleistocénicos a atuais que bordejam as praias, sem o desenvolvimento de falésias (praias urbanizadas ou não).   |                                |  |  |  |  |  |  |  |  |  |
| IV   | Intensa erosão de depósitos marinheiros e/ou edícos pleistocénicos a atuais que bordejam as praias, provocando o desenvolvimento de falésias com alturas de até dezenas de metros (praias urbanizadas ou não).   |                                |  |  |  |  |  |  |  |  |  |
| V    | Destrução de falésias frontais de vegetação de "restinga" ou de manguezal e/ou presença de raízes e troncos em posição de vida soterrados na praia, causados pela erosão acentuada ou o soterramento da vegetação devido à retrogradação/migração da linha de costa sobre o continente.                                    |                                |  |  |  |  |  |  |  |  |  |
| VI   | Erosão e erosão de depósitos paleogeológicos, turfeiras, arenitos de praia, depósitos marinheiros holocénicos e pleistocénicos, ou embasamento sobre a estranho e/ou a face litorânea atuais, devido à remoção das áreas praias ou erosão costeira e deficit sedimentar extremamente negativo (praias urbanizadas ou não). |                                |  |  |  |  |  |  |  |  |  |
| VII  | Frequente exposição de "terracos" ou "falésias artificiais", apresentando pacotes de areias praias/edícos, no contato entre a praia e a área urbanizada.   |                                |  |  |  |  |  |  |  |  |  |
| VIII | Destrução de estruturas artificiais construídas sobre os depósitos marinheiros ou edícos holocénicos, a pó-praia, o estranho, as faces praias e litorânea, a zona de surfareorientação e/ou ao largo.  |                                |  |  |  |  |  |  |  |  |  |
| IX   | Retomada erosiva de antigas plataformas de abrasão marinha, elevadas de +2 a +6 m, formadas sobre rochas do embasamento igneo-metassedítico pré-cambriano a mesozóico, em épocas em que o nível do mar encontrava-se acima do atual, durante o Holoceno e o final do Pleistoceno (praias urbanizadas ou não).              |                                |  |  |  |  |  |  |  |  |  |
| X    | Presença de concentrações de minerais pesados em determinados trechos da praia, em associação com outros indicadores erosivos (praias urbanizadas ou não).   |                                |  |  |  |  |  |  |  |  |  |
| XI   | Desenvolvimento de embalamentos formados pela presença de correntes de retorno concentradas e de zona de barriar ou centros de divergência de células de deriva litorânea localizados em local(is) mais ou menos fixos (a linha de costa).   |                                |  |  |  |  |  |  |  |  |  |

**Tabela 2-23.** Indicadores de erosão costeira identificados na campanha Dezembro/2016.

Após os indicadores apresentados acima e o relatório fotográfico a seguir, fica clara a recorrência dos eventos erosivos que atingem principalmente a região da Ponta da Praia, associados à passagem de sistemas frontais. Ao longo da grande maioria das campanhas observou-se a diminuição do volume de areia na região da Ponta da Praia, principalmente por eventos de alta energia (ressacas), tendo como evidências claras, o forte processo erosivo e recorrente que acontece na base do farol junto ao perfil STOS20 (**Figura 2-79**), a diminuição da cota do pós-praia junto ao calçadão na região dos perfis STOS22 e STOS23 (**Figura 2-80 e Figura 2-81**) além do estreitamento da faixa de areia nestas regiões, como no caso do perfil STOS23 que possui atualmente um pós-praia quase inexistente. A diferença dos padrões de comportamento dos perfis praiais, em 2015 e 2016 indica a influência da variabilidade El Niño a médioprazo. Para o ano de 2015, a influência do fenômeno El Niño impediu o avanço de frentes frias de grande intensidade sobre o litoral paulista, fazendo com que praticamente não ocorressem ressacas. Por outro lado, no ano de 2016, sob outra condição climática, o litoral paulista presenciou um grande número de ressacas, que tiveram início em abril e se estenderam até novembro. Assim, é importante destacar que os estudos de variabilidade praial não podem ficar restritos a levantamentos sazonais, ao longo de apenas um ano, mas devem contemplar intervalos mais longos (séries decadais de levantamentos contínuos), de forma que seja possível reconhecer as tendências de evolução da linha de costa.

Também observou-se a vulnerabilidade dos compartimentos adjacentes à região da Ponta da Praia, como é o caso do setor Aparecida (**Figura 2-82**), que após a ocorrência de ressacas sofreu um forte processo erosivo, ocasionando a exposição de raízes e até derrubada de árvores, além de danos a construções.

Por outro lado, tem-se um forte processo de assoreamento nos compartimentos Pompéia, Gonzaga e Boqueirão, onde por diversas vezes os Canais, 1, 2 e 3 se encontravam completamente obstruídos por areia (**Figura 2-84**).



**Figura 2-78. Comparação da face praial próximo ao perfil STOS19 entre Agosto de 2015 e Agosto de 2016, após ocorrência de forte ressaca, com rebaixamento do pós-praia e exposição das raízes das árvores.**



**Figura 2-79. Forte processo erosivo na base do farol junto ao perfil STOS20. Na foto estão apresentadas as condições em Janeiro de 2016 e Junho de 2016.**



**Figura 2-80.** Forte processo erosivo junto ao perfil STOS22. Na foto estão apresentadas as condições em Maio de 2016 e Agosto de 2016.



**Figura 2-81.** Forte processo erosivo junto ao perfil STOS23, com rebaixamento do pós praia e da face praial, estreitamento da faixa de areia e pós praia praticamente inexisteente. Na foto estão apresentadas as condições em Agosto de 2015 e Setembro de 2016.



**Figura 2-82. Forte processo erosivo próximo ao perfil STOS19 com quase derrubada de árvores. Na foto estão apresentadas as condições em Agosto de 2016.**



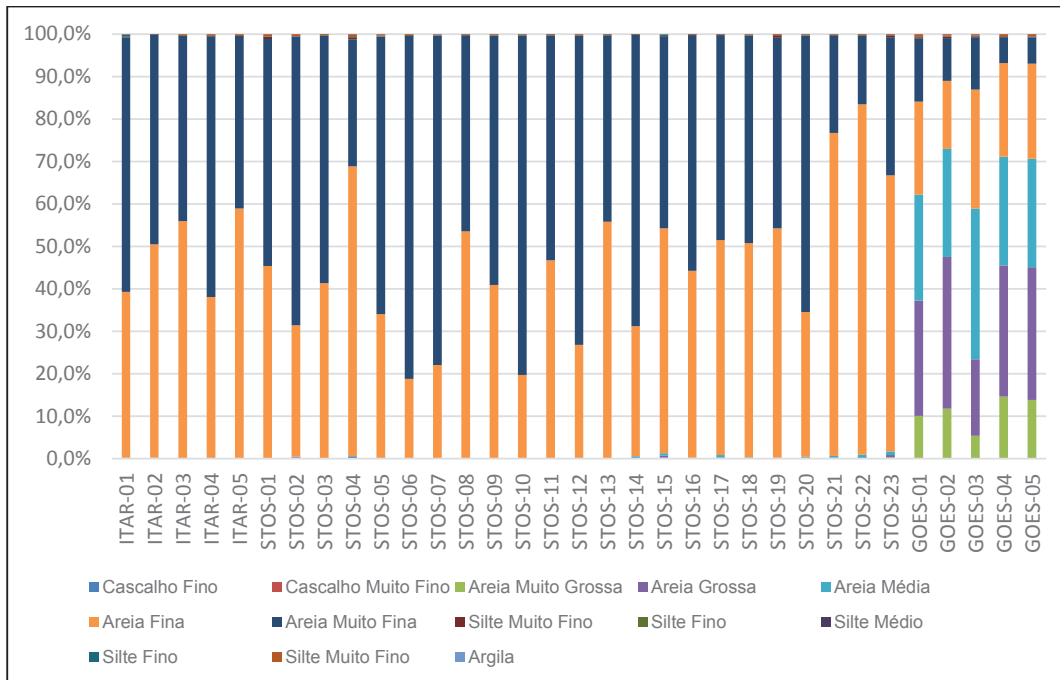
**Figura 2-83. Forte processo erosivo entre os perfis STOS21 e STOS22 com interdição de acesso. Na foto estão apresentadas as condições em Agosto de 2016.**



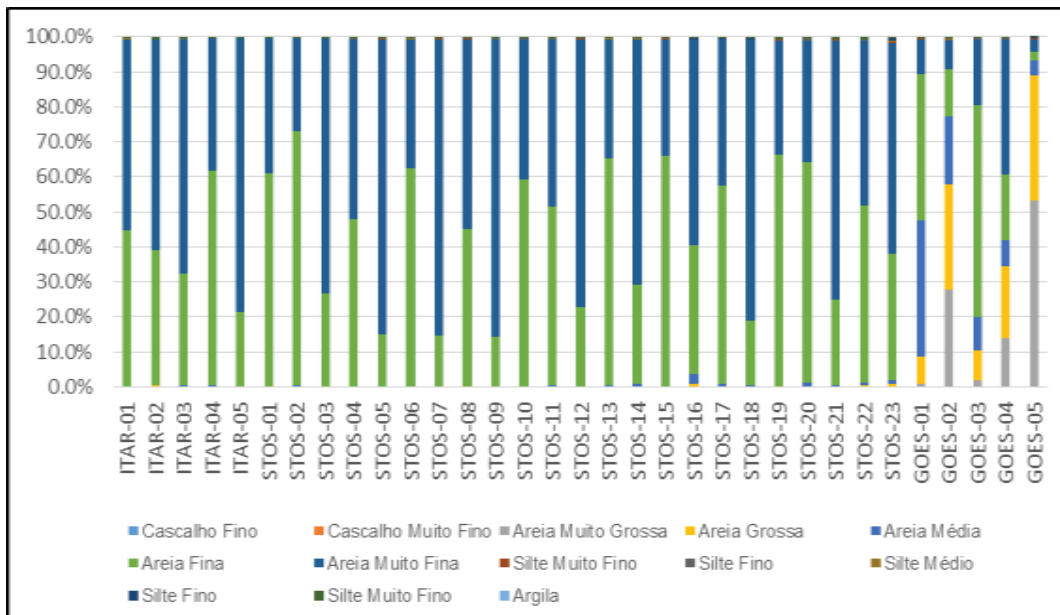
Figura 2-84. Canal 1 entre os perfis STOS05 e STOS06 completamente assoreado.

#### 2.2.4 Caracterização granulométrica

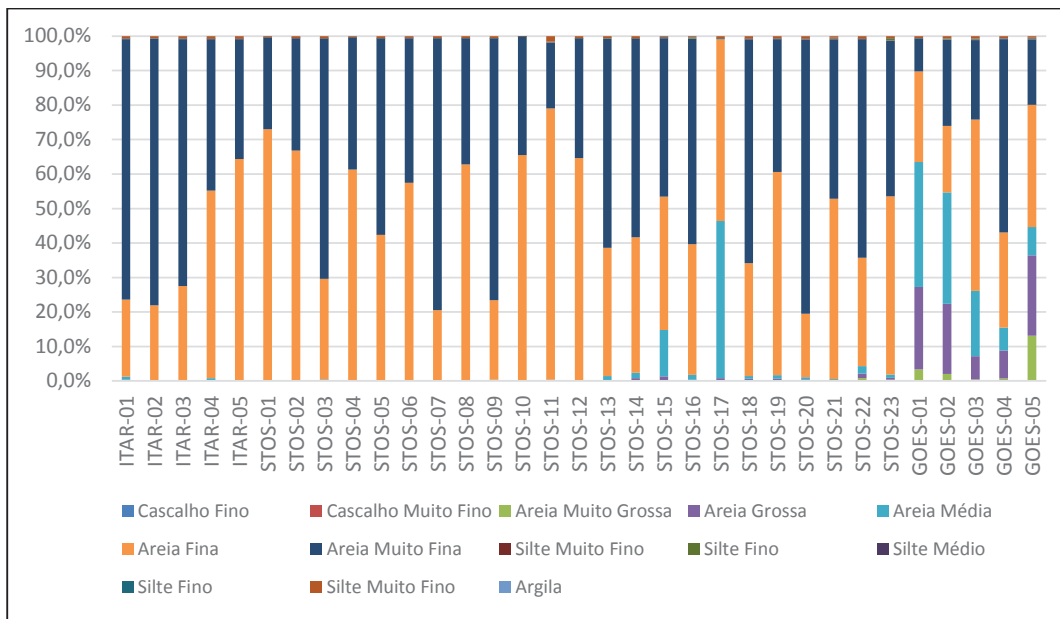
As amostras foram analisadas através de procedimento de peneiramento e sedimentação, em laboratório acreditado. Abaixo encontram-se os percentis das diferentes frações de cada amostra para cada uma das campanhas. Os respectivos laudos analíticos encontram-se no **Anexo 03**.



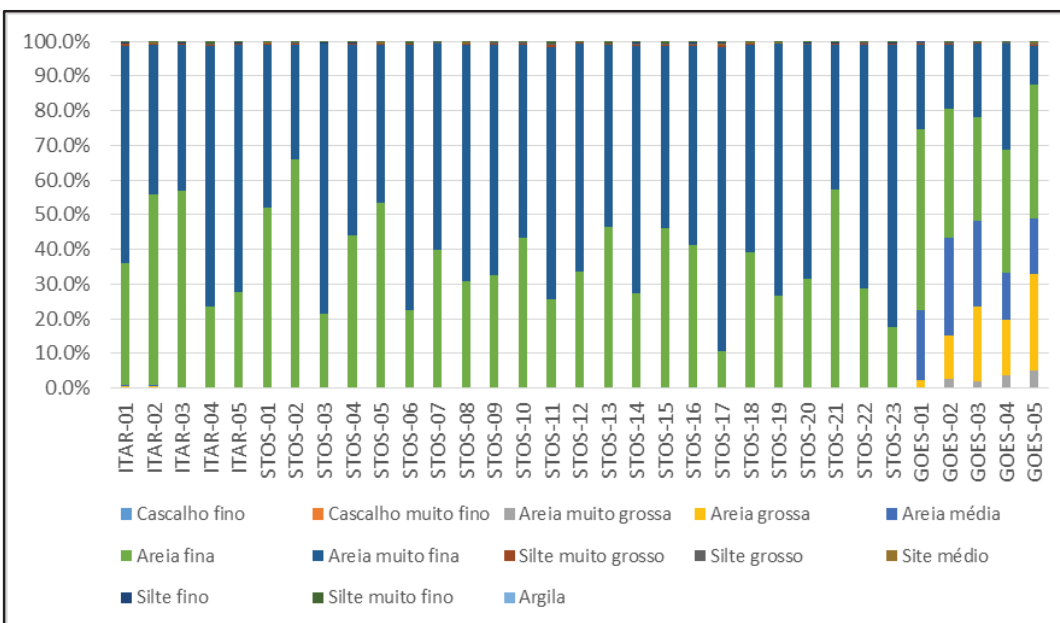
**Figura 2-85. Percentis das frações granulométricas para as amostras analisadas de Agosto/2015.**



**Figura 2-86. Percentis das frações granulométricas para as amostras analisadas de Setembro/2015.**

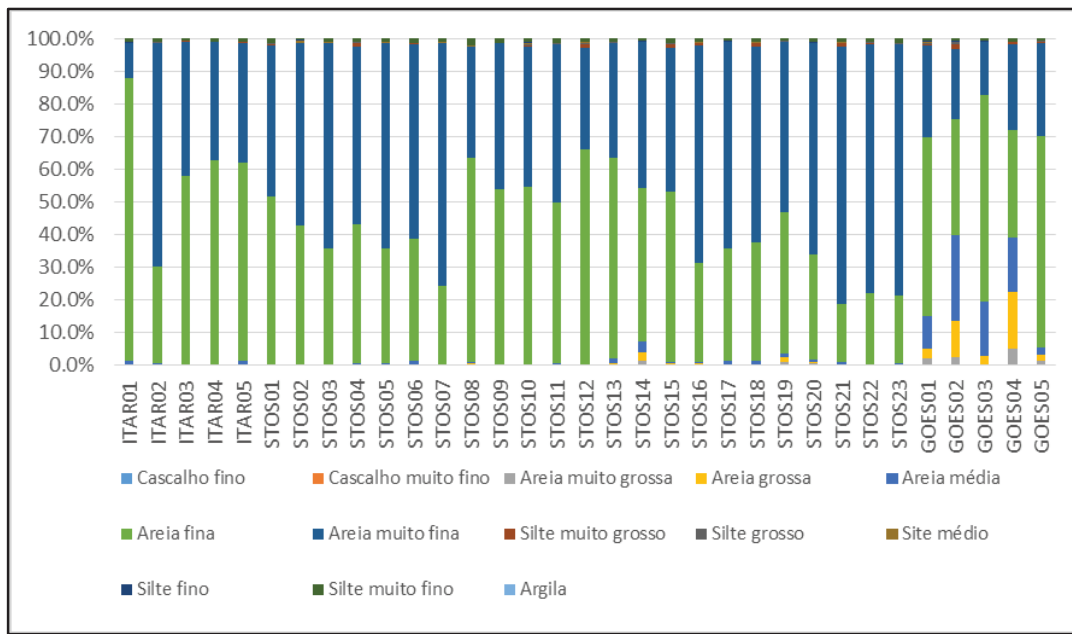


**Figura 2-87. Percentis das frações granulométricas para as amostras analisadas de Outubro/2015.**

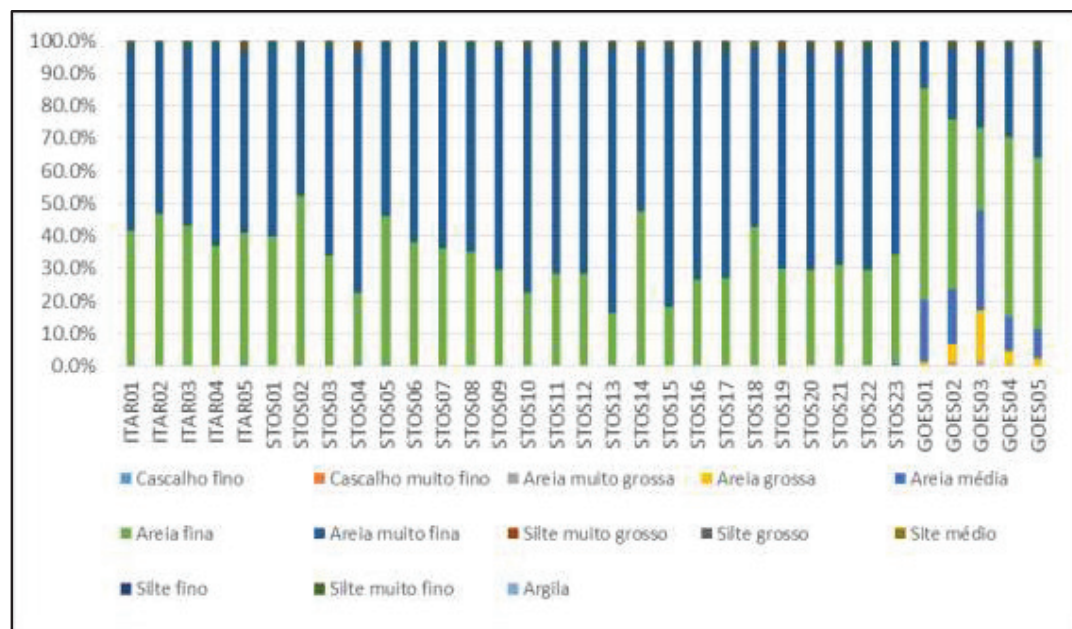


**Figura 2-88. Percentis das frações granulométricas para as amostras analisadas de Novembro/2015.**

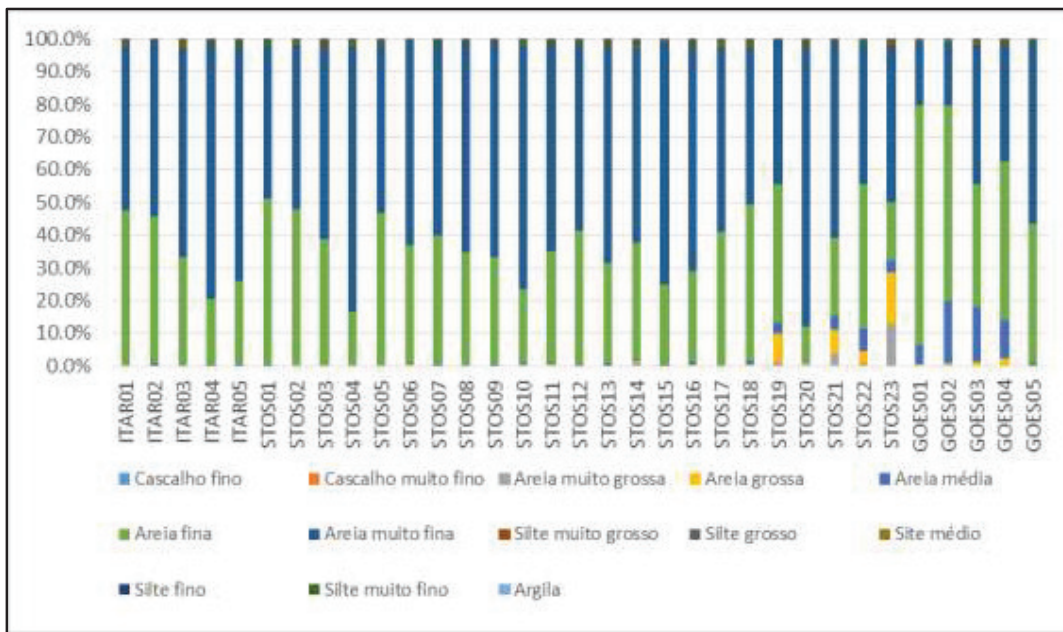




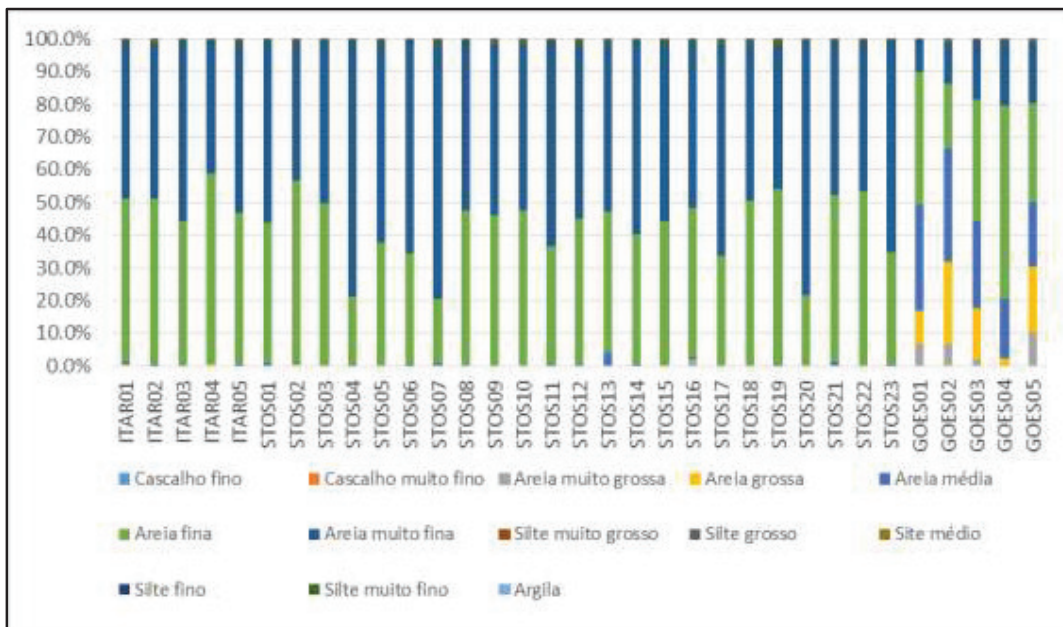
**Figura 2-89. Percentis das frações granulométricas para as amostras analisadas de Dezembro/2015.**



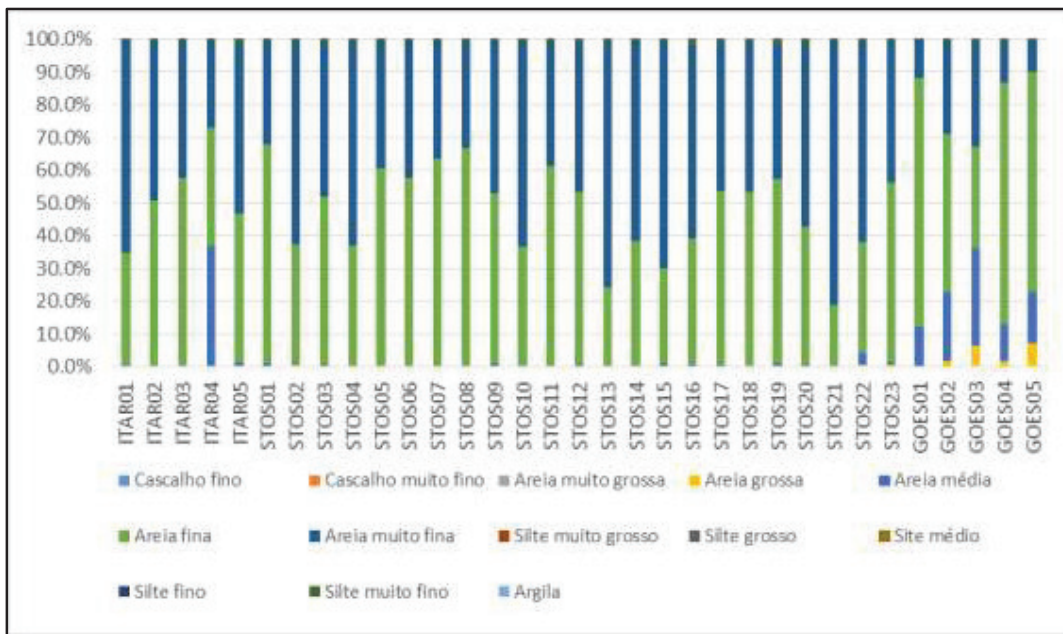
**Figura 2-90. Percentis das frações granulométricas para as amostras analisadas de Janeiro/2016.**



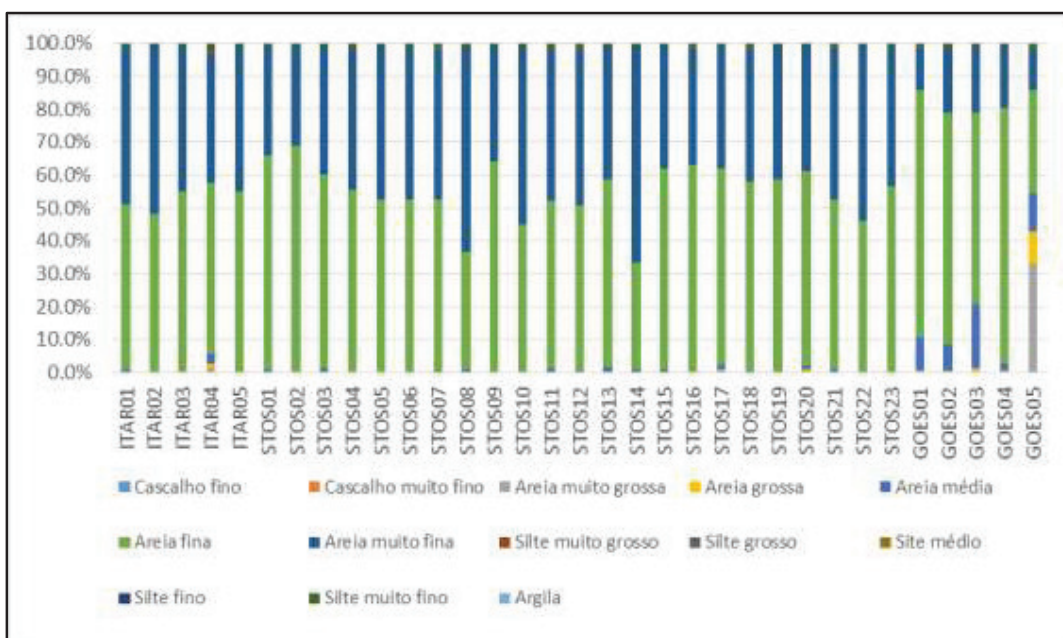
**Figura 2-91. Percentis das frações granulométricas para as amostras analisadas de Fevereiro/2016.**



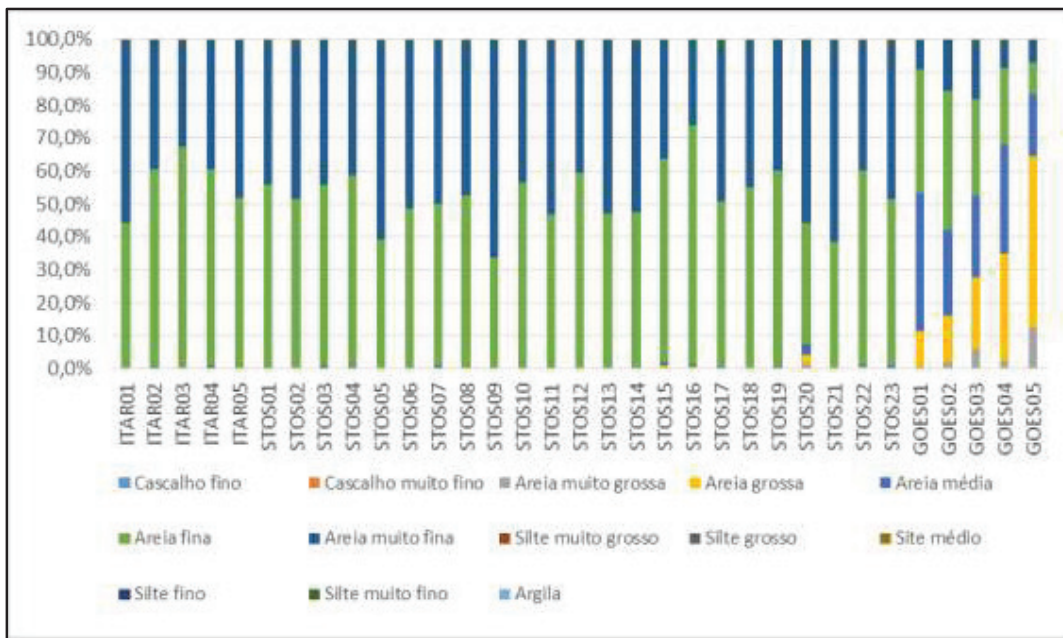
**Figura 2-92. Percentis das frações granulométricas para as amostras analisadas de Março/2016.**



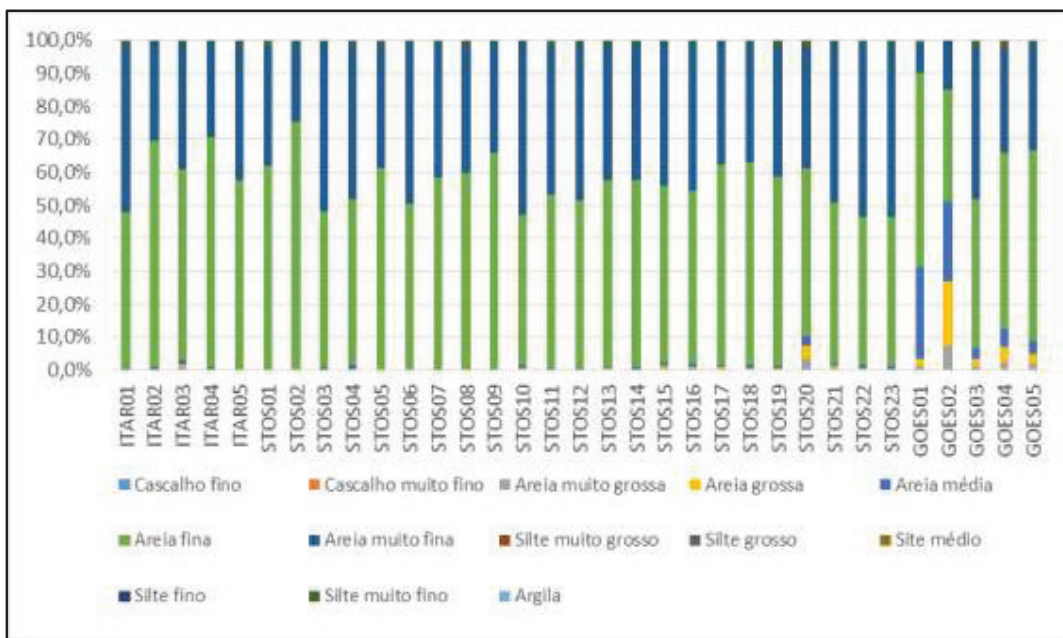
**Figura 2-93. Percentis das frações granulométricas para as amostras analisadas de Abril/2016.**



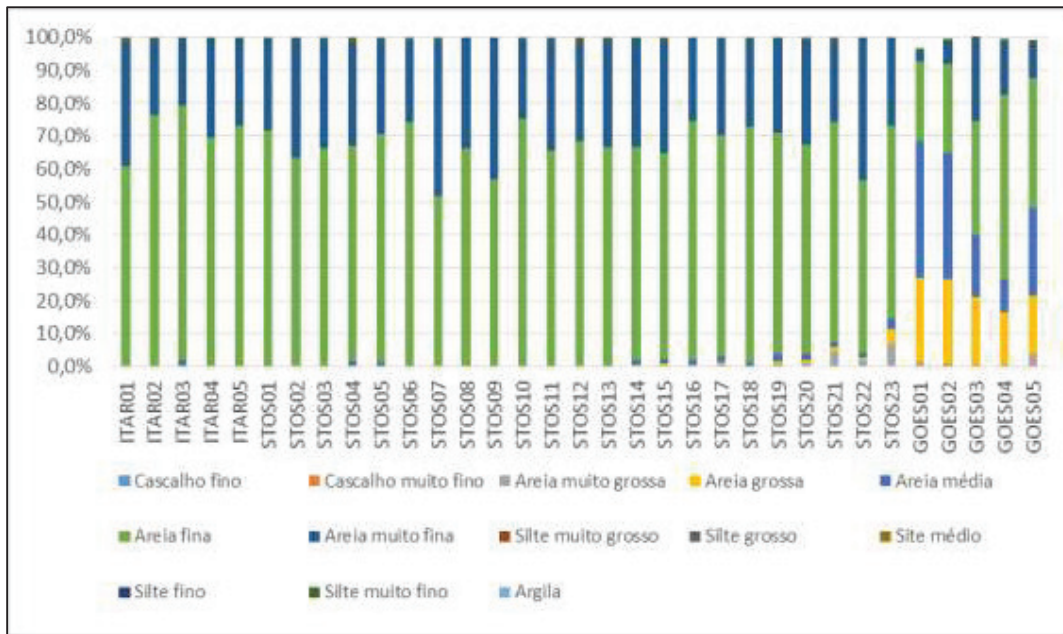
**Figura 2-94. Percentis das frações granulométricas para as amostras analisadas de Maio/2016.**



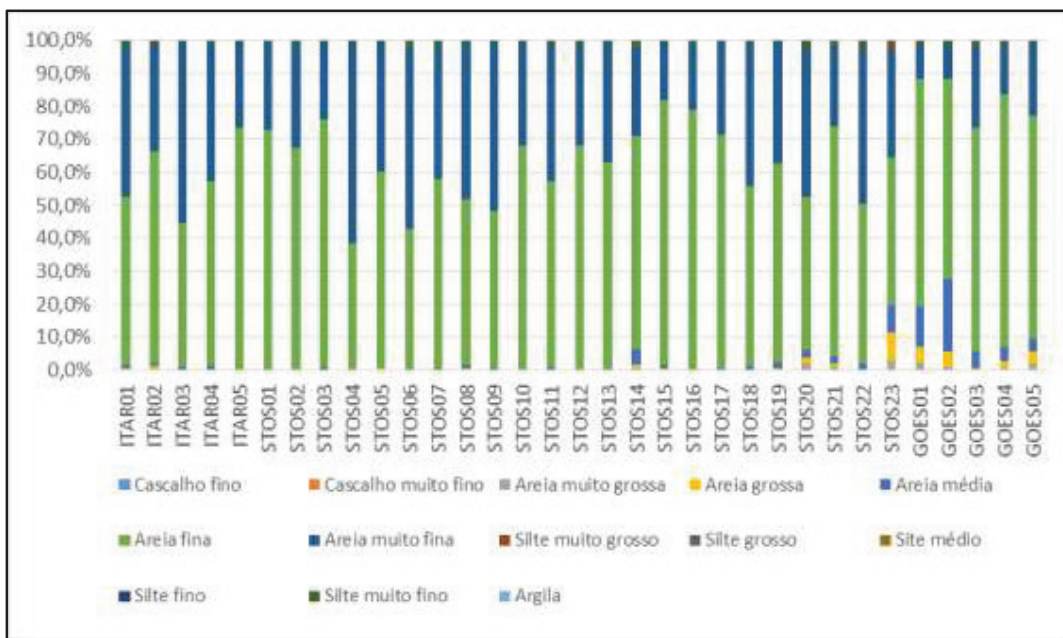
**Figura 2-95.** Percentis das frações granulométricas para as amostras analisadas de Junho/2016.



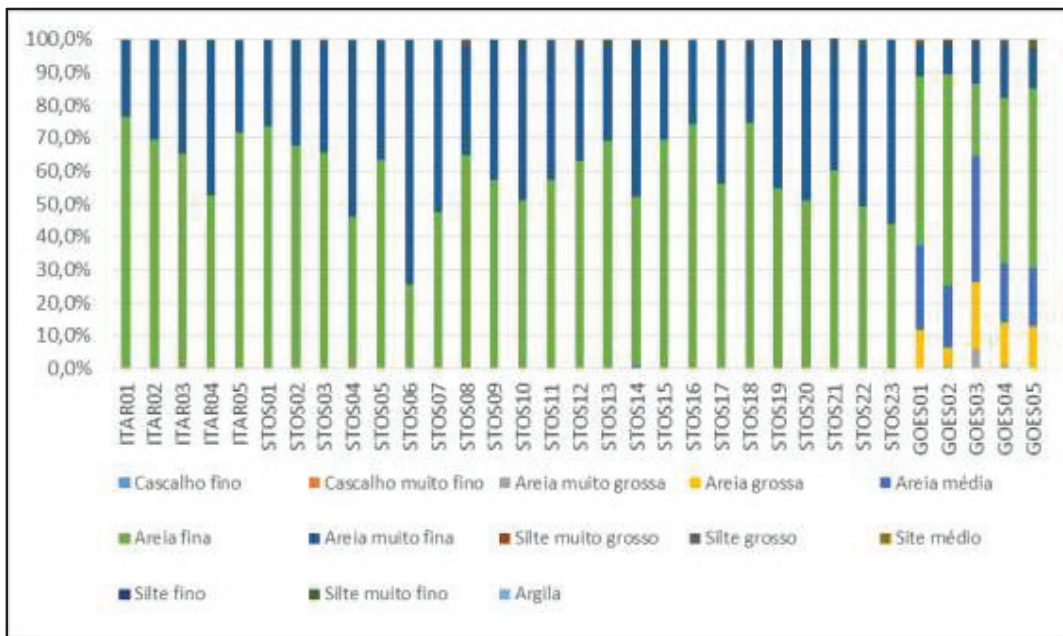
**Figura 2-96.** Percentis das frações granulométricas para as amostras analisadas de Julho/2016.



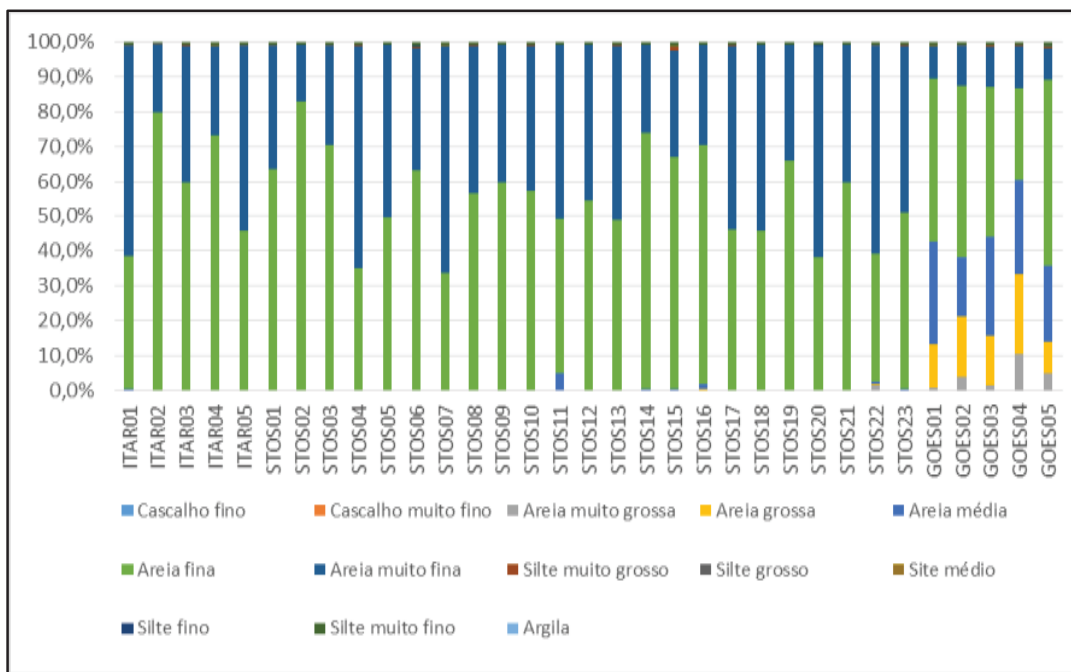
**Figura 2-97. Percentis das frações granulométricas para as amostras analisadas de Agosto/2016.**



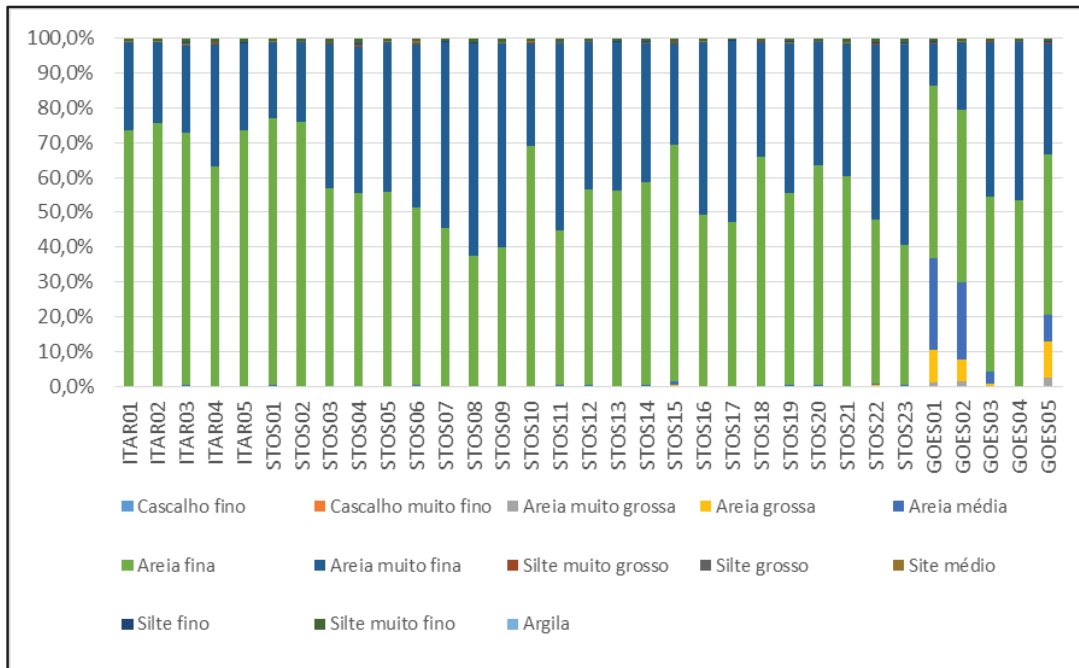
**Figura 2-98. Percentis das frações granulométricas para as amostras analisadas de Setembro/2016.**



**Figura 2-99. Percentis das frações granulométricas para as amostras analisadas de Outubro/2016.**



**Figura 2-100. Percentis das frações granulométricas para as amostras analisadas de Novembro/2016.**



**Figura 2-101. Percentis das frações granulométricas para as amostras analisadas de Dezembro/2016.**

A partir das frações granulométricas foram calculados parâmetros estatísticos, com o auxílio da macro Gradistat™ para Excel (Blott & Pye, 2001) os quais podem ser observados nas **Tabela 2-24** a **Tabela 2-40**. Nas **Figura 2-102** a **Figura 2-118** encontra-se a evolução do diâmetro mediano das amostras mensais de cada um dos perfis.

Tabela 2-24. Parâmetros estatísticos de Folk &amp; Ward para amostras de sedimento coletadas na campanha Agosto/2015.

| Perfil Praia | Parâmetros estatísticos de Folk & Ward (1957) |            |         |                           |                  |                               |                            |              |
|--------------|---|------------|---------|---------------------------|------------------|-------------------------------|----------------------------|--------------|
|              | Folk & Ward ( $\phi$ )                        |            |         | Folk & Ward (Descriptivo) |                  |                               |                            |              |
| Média        | Desvio Padrão                                 | Assimetria | Curtose | Diâmetro médio            | Desvio Padrão    | Assimetria                    | Curtose                    |              |
| ITAR-01      | 3.106   | 0.606      | -0.167  | 0.771                     | Areia Muito Fina | Moderadamente bem selecionado | Assimetria negativa        | Platicúrtica |
| ITAR-02      | 2.992   | 0.611      | 0.003   | 0.738                     | Areia Fina       | Moderadamente bem selecionado | Approximadamente simétrica | Platicúrtica |
| ITAR-03      | 2.938   | 0.610      | 0.102   | 0.747                     | Areia Fina       | Moderadamente bem selecionado | Assimetria positiva        | Platicúrtica |
| ITAR-04      | 3.117   | 0.601      | -0.181  | 0.781                     | Areia Muito Fina | Moderadamente bem selecionado | Assimetria negativa        | Platicúrtica |
| ITAR-05      | 2.909   | 0.607      | 0.142   | 0.760                     | Areia Fina       | Moderadamente bem selecionado | Assimetria positiva        | Platicúrtica |
| STOS-01      | 3.050   | 0.614      | -0.078  | 0.743                     | Areia Muito Fina | Moderadamente bem selecionado | Approximadamente simétrica | Platicúrtica |
| STOS-02      | 3.179   | 0.586      | -0.241  | 0.866                     | Areia Muito Fina | Moderadamente bem selecionado | Assimetria negativa        | Platicúrtica |
| STOS-03      | 3.085   | 0.607      | -0.143  | 0.759                     | Areia Muito Fina | Moderadamente bem selecionado | Assimetria negativa        | Platicúrtica |
| STOS-04      | 2.817   | 0.591      | -0.242  | 0.871                     | Areia Fina       | Moderadamente bem selecionado | Assimetria positiva        | Platicúrtica |
| STOS-05      | 3.155   | 0.591      | -0.217  | 0.822                     | Areia Muito Fina | Moderadamente bem selecionado | Assimetria negativa        | Platicúrtica |
| STOS-06      | 3.344   | 0.489      | -0.231  | 1.117                     | Areia Muito Fina | Bem selecionado               | Assimetria negativa        | Leptocúrtica |
| STOS-07      | 3.290   | 0.524      | -0.257  | 1.097                     | Areia Muito Fina | Moderadamente bem selecionado | Assimetria negativa        | Mesocúrtica  |
| STOS-08      | 2.961   | 0.611      | 0.062   | 0.741                     | Areia Fina       | Moderadamente bem selecionado | Approximadamente simétrica | Platicúrtica |
| STOS-09      | 3.090   | 0.605      | -0.148  | 0.761                     | Areia Muito Fina | Moderadamente bem selecionado | Assimetria negativa        | Platicúrtica |
| STOS-10      | 3.327   | 0.500      | -0.241  | 1.114                     | Areia Muito Fina | Bem selecionado               | Assimetria negativa        | Leptocúrtica |
| STOS-11      | 3.033   | 0.610      | -0.064  | 0.741                     | Areia Muito Fina | Moderadamente bem selecionado | Approximadamente simétrica | Platicúrtica |
| STOS-12      | 3.229   | 0.560      | -0.259  | 0.989                     | Areia Muito Fina | Moderadamente bem selecionado | Assimetria negativa        | Mesocúrtica  |
| STOS-13      | 2.939   | 0.609      | 0.099   | 0.747                     | Areia Fina       | Moderadamente bem selecionado | Approximadamente simétrica | Platicúrtica |
| STOS-14      | 3.178   | 0.584      | -0.245  | 0.872                     | Areia Muito Fina | Moderadamente bem selecionado | Assimetria negativa        | Platicúrtica |
| STOS-15      | 2.960   | 0.620      | 0.067   | 0.742                     | Areia Fina       | Moderadamente bem selecionado | Approximadamente simétrica | Platicúrtica |
| STOS-16      | 3.056   | 0.609      | -0.106  | 0.747                     | Areia Muito Fina | Moderadamente bem selecionado | Assimetria negativa        | Platicúrtica |
| STOS-17      | 2.979   | 0.616      | 0.017   | 0.738                     | Areia Fina       | Moderadamente bem selecionado | Approximadamente simétrica | Platicúrtica |
| STOS-18      | 2.990   | 0.614      | 0.011   | 0.738                     | Areia Fina       | Moderadamente bem selecionado | Approximadamente simétrica | Platicúrtica |
| STOS-19      | 2.956   | 0.615      | 0.078   | 0.743                     | Areia Fina       | Moderadamente bem selecionado | Approximadamente simétrica | Platicúrtica |
| STOS-20      | 3.148   | 0.594      | -0.218  | 0.818                     | Areia Muito Fina | Moderadamente bem selecionado | Assimetria negativa        | Platicúrtica |
| STOS-21      | 2.722   | 0.540      | 0.256   | 1.078                     | Areia Fina       | Moderadamente bem selecionado | Assimetria positiva        | Mesocúrtica  |
| STOS-22      | 2.604   | 0.464      | 0.187   | 1.119                     | Areia Fina       | Bem selecionado               | Assimetria positiva        | Leptocúrtica |
| STOS-23      | 2.829   | 0.600      | 0.217   | 0.830                     | Areia Fina       | Moderadamente bem selecionado | Assimetria positiva        | Platicúrtica |
| GOES-01      | 1.575   | 1.370      | 0.031   | 0.899                     | Areia Média      | Pobremente selecionado        | Approximadamente simétrica | Platicúrtica |
| GOES-02      | 1.301   | 1.291      | 0.202   | 0.998                     | Areia Média      | Pobremente selecionado        | Assimetria positiva        | Mesocúrtica  |
| GOES-03      | 1.744   | 1.144      | 0.004   | 1.002                     | Areia Média      | Pobremente selecionado        | Approximadamente simétrica | Mesocúrtica  |
| GOES-04      | 1.268   | 1.256      | 0.075   | 0.913                     | Areia Média      | Pobremente selecionado        | Approximadamente simétrica | Mesocúrtica  |
| GOES-05      | 1.286   | 1.248      | 0.079   | 0.906                     | Areia Média      | Pobremente selecionado        | Approximadamente simétrica | Mesocúrtica  |

**Tabela 2-25. Parâmetros estatísticos de Folk & Ward para as amostras de sedimento coletadas na campanha Setembro/2015.**

| Perfil Praia | Parâmetros estatísticos de Folk & Ward (1957) |               |            |                           |                    |                               |                           |                    |
|--------------|---|---------------|------------|---------------------------|--------------------|-------------------------------|---------------------------|--------------------|
|              | Folk & Ward ( $\phi$ )                        |               |            | Folk & Ward (Descriptivo) |                    |                               |                           |                    |
|              | Média   | Desvio Padrão | Assimetria | Curtose                   | Diâmetro médio     | Desvio Padrão                 | Assimetria                | Curtose            |
| ITAR-01      | 3.053   | 0.613         | -0.095     | 0.745                     | Areia muito fina   | Moderadamente bem selecionado | Aproximadamente simétrica | Platicúrtica       |
| ITAR-02      | 3.106   | 0.609         | -0.173     | 0.773                     | Areia muito fina   | Moderadamente bem selecionado | Assimetria negativa       | Platicúrtica       |
| ITAR-03      | 3.167   | 0.590         | -0.235     | 0.848                     | Areia muito fina   | Moderadamente bem selecionado | Assimetria negativa       | Platicúrtica       |
| ITAR-04      | 2.880   | 0.606         | 0.174      | 0.778                     | Areia fina         | Moderadamente bem selecionado | Assimetria positiva       | Platicúrtica       |
| ITAR-05      | 3.299   | 0.519         | -0.254     | 1.100                     | Areia muito fina   | Moderadamente bem selecionado | Assimetria negativa       | Mesocúrtica        |
| STOS-01      | 2.889   | 0.604         | 0.169      | 0.774                     | Areia fina         | Moderadamente bem selecionado | Assimetria positiva       | Platicúrtica       |
| STOS-02      | 2.768   | 0.565         | 0.256      | 0.984                     | Areia fina         | Moderadamente bem selecionado | Assimetria positiva       | Mesocúrtica        |
| STOS-03      | 3.229   | 0.560         | -0.257     | 0.986                     | Areia muito fina   | Moderadamente bem selecionado | Assimetria negativa       | Mesocúrtica        |
| STOS-04      | 3.022   | 0.614         | -0.037     | 0.739                     | Areia muito fina   | Moderadamente bem selecionado | Aproximadamente simétrica | Platicúrtica       |
| STOS-05      | 3.409   | 0.444         | -0.172     | 1.125                     | Areia muito fina   | Bem selecionado               | Assimetria negativa       | Leptocúrtica       |
| STOS-06      | 2.877   | 0.604         | 0.190      | 0.787                     | Areia fina         | Moderadamente bem selecionado | Assimetria positiva       | Platicúrtica       |
| STOS-07      | 3.412   | 0.442         | -0.171     | 1.123                     | Areia muito fina   | Bem selecionado               | Assimetria negativa       | Leptocúrtica       |
| STOS-08      | 3.050   | 0.611         | -0.086     | 0.744                     | Areia muito fina   | Moderadamente bem selecionado | Aproximadamente simétrica | Platicúrtica       |
| STOS-09      | 3.415   | 0.439         | -0.171     | 1.123                     | Areia muito fina   | Bem selecionado               | Assimetria negativa       | Leptocúrtica       |
| STOS-10      | 2.907   | 0.608         | 0.148      | 0.762                     | Areia fina         | Moderadamente bem selecionado | Assimetria positiva       | Platicúrtica       |
| STOS-11      | 2.982   | 0.616         | 0.028      | 0.738                     | Areia fina         | Moderadamente bem selecionado | Aproximadamente simétrica | Platicúrtica       |
| STOS-12      | 3.278   | 0.534         | -0.260     | 1.090                     | Areia muito fina   | Moderadamente bem selecionado | Assimetria negativa       | Mesocúrtica        |
| STOS-13      | 2.851   | 0.598         | 0.211      | 0.812                     | Areia fina         | Moderadamente bem selecionado | Assimetria positiva       | Platicúrtica       |
| STOS-14      | 3.198   | 0.580         | -0.257     | 0.917                     | Areia muito fina   | Moderadamente bem selecionado | Assimetria negativa       | Mesocúrtica        |
| STOS-15      | 2.844   | 0.593         | 0.218      | 0.823                     | Areia fina         | Moderadamente bem selecionado | Assimetria positiva       | Platicúrtica       |
| STOS-16      | 3.075   | 0.636         | -0.190     | 0.770                     | Areia muito fina   | Moderadamente bem selecionado | Assimetria negativa       | Platicúrtica       |
| STOS-17      | 2.922   | 0.614         | 0.119      | 0.752                     | Areia fina         | Moderadamente bem selecionado | Assimetria positiva       | Platicúrtica       |
| STOS-18      | 3.340   | 0.496         | -0.236     | 1.123                     | Areia muito fina   | Bem selecionado               | Assimetria negativa       | Leptocúrtica       |
| STOS-19      | 2.844   | 0.596         | 0.224      | 0.827                     | Areia fina         | Moderadamente bem selecionado | Assimetria positiva       | Platicúrtica       |
| STOS-20      | 2.857   | 0.606         | 0.201      | 0.802                     | Areia fina         | Moderadamente bem selecionado | Assimetria positiva       | Platicúrtica       |
| STOS-21      | 3.254   | 0.554         | -0.265     | 1.078                     | Areia muito fina   | Moderadamente bem selecionado | Assimetria negativa       | Mesocúrtica        |
| STOS-22      | 2.976   | 0.623         | 0.028      | 0.738                     | Areia fina         | Moderadamente bem selecionado | Aproximadamente simétrica | Platicúrtica       |
| STOS-23      | 3.116   | 0.620         | -0.191     | 0.784                     | Areia muito fina   | Moderadamente bem selecionado | Assimetria negativa       | Platicúrtica       |
| GOES-01      | 2.041   | 0.880         | -0.024     | 1.003                     | Areia fina         | Moderadamente selecionado     | Aproximadamente simétrica | Mesocúrtica        |
| GOES-02      | 0.861   | 1.398         | 0.247      | 0.816                     | Areia grossa       | Pobremente selecionado        | Assimetria positiva       | Platicúrtica       |
| GOES-03      | 2.422   | 0.912         | -0.197     | 1.689                     | Areia fina         | Moderadamente selecionado     | Assimetria negativa       | Muito leptocúrtica |
| GOES-04      | 2.039   | 1.602         | -0.362     | 0.693                     | Areia fina         | Pobremente selecionado        | Muito simétrico           | Platicúrtica       |
| GOES-05      | -0.016  | 0.921         | 0.396      | 1.085                     | Areia muito grossa | Moderadamente selecionado     | Assimetria muito positiva | Mesocúrtica        |

Tabela 2-26. Parâmetros estatísticos de Folk & Ward para as amostras de sedimento coletadas na campanha Outubro/2015.

| Perfil Praia | Parâmetros estatísticos de Folk & Ward (1957) |            |         |                           |                  |                               |                           |                    |
|--------------|---|------------|---------|---------------------------|------------------|-------------------------------|---------------------------|--------------------|
|              | Folk & Ward ( $\phi$ )                        |            |         | Folk & Ward (Descriptivo) |                  |                               |                           |                    |
| Média        | Desvio Padrão                                 | Assimetria | Curtose | Diâmetro médio            | Desvio Padrão    | Assimetria                    | Curtose                   |                    |
| ITAR-01      | 3.453   | 0.478      | -0.563  | 1.681                     | Areia Muito Fina | Bem selecionado               | Assimetria muito negativa | Muito leptocúrtica |
| ITAR-02      | 3.468   | 0.465      | -0.561  | 1.685                     | Areia Muito Fina | Bem selecionado               | Assimetria muito negativa | Muito leptocúrtica |
| ITAR-03      | 3.432   | 0.486      | -0.545  | 0.660                     | Areia Muito Fina | Bem selecionado               | Assimetria muito negativa | Muito platicúrtica |
| ITAR-04      | 3.127   | 0.514      | 0.419   | 0.586                     | Areia Muito Fina | Muito bem selecionado         | Assimetria negativa       | Muito platicúrtica |
| ITAR-05      | 3.083   | 0.505      | 0.499   | 0.608                     | Areia Muito Fina | Muito bem selecionado         | Assimetria negativa       | Muito platicúrtica |
| STOS-01      | 3.037   | 0.485      | 0.543   | 0.663                     | Areia Muito Fina | Bem selecionado               | Assimetria negativa       | Muito platicúrtica |
| STOS-02      | 3.071   | 0.500      | 0.514   | 0.618                     | Areia Muito Fina | Bem selecionado               | Assimetria negativa       | Muito platicúrtica |
| STOS-03      | 3.418   | 0.493      | -0.538  | 0.643                     | Areia Muito Fina | Bem selecionado               | Assimetria muito negativa | Muito platicúrtica |
| STOS-04      | 3.098   | 0.506      | 0.476   | 0.596                     | Areia Muito Fina | Moderadamente bem selecionado | Assimetria negativa       | Muito platicúrtica |
| STOS-05      | 3.355   | 0.509      | -0.451  | 0.589                     | Areia Muito Fina | Moderadamente bem selecionado | Assimetria muito negativa | Muito platicúrtica |
| STOS-06      | 3.117   | 0.509      | 0.444   | 0.588                     | Areia Muito Fina | Moderadamente bem selecionado | Assimetria negativa       | Muito platicúrtica |
| STOS-07      | 3.479   | 0.458      | -0.563  | 1.707                     | Areia Muito Fina | Bem selecionado               | Assimetria muito negativa | Muito leptocúrtica |
| STOS-08      | 3.091   | 0.505      | 0.488   | 0.601                     | Areia Muito Fina | Moderadamente bem selecionado | Assimetria negativa       | Muito platicúrtica |
| STOS-09      | 3.456   | 0.473      | -0.560  | 1.666                     | Areia Muito Fina | Bem selecionado               | Assimetria muito negativa | Muito leptocúrtica |
| STOS-10      | 3.076   | 0.500      | 0.504   | 0.610                     | Areia Muito Fina | Bem selecionado               | Assimetria negativa       | Muito platicúrtica |
| STOS-11      | 2.997   | 0.470      | 0.564   | 1.717                     | Areia Fina       | Bem selecionado               | Assimetria negativa       | Muito leptocúrtica |
| STOS-12      | 3.082   | 0.503      | 0.500   | 0.603                     | Areia Muito Fina | Moderadamente bem selecionado | Assimetria negativa       | Muito platicúrtica |
| STOS-13      | 3.370   | 0.511      | -0.488  | 0.600                     | Areia Muito Fina | Moderadamente bem selecionado | Assimetria muito negativa | Muito platicúrtica |
| STOS-14      | 3.352   | 0.518      | -0.466  | 0.594                     | Areia Muito Fina | Moderadamente bem selecionado | Assimetria muito negativa | Muito platicúrtica |
| STOS-15      | 3.087   | 0.681      | 0.079   | 0.858                     | Areia Muito Fina | Moderadamente bem selecionado | Aproximadamente simétrica | Platicúrtica       |
| STOS-16      | 3.364   | 0.514      | -0.481  | 0.598                     | Areia Muito Fina | Moderadamente bem selecionado | Assimetria muito negativa | Muito platicúrtica |
| STOS-17      | 2.341   | 0.512      | -0.398  | 0.583                     | Areia Fina       | Moderadamente bem selecionado | Assimetria muito negativa | Muito platicúrtica |
| STOS-18      | 3.392   | 0.506      | -0.517  | 0.618                     | Areia Muito Fina | Moderadamente bem selecionado | Assimetria muito negativa | Muito platicúrtica |
| STOS-19      | 3.098   | 0.513      | 0.463   | 0.595                     | Areia Muito Fina | Moderadamente bem selecionado | Assimetria negativa       | Muito platicúrtica |
| STOS-20      | 3.488   | 0.456      | -0.566  | 1.744                     | Areia Muito Fina | Bem selecionado               | Assimetria muito negativa | Muito leptocúrtica |
| STOS-21      | 3.141   | 0.514      | 0.395   | 0.583                     | Areia Muito Fina | Moderadamente bem selecionado | Assimetria negativa       | Muito platicúrtica |
| STOS-22      | 3.375   | 0.522      | -0.520  | 0.619                     | Areia Muito Fina | Moderadamente bem selecionado | Assimetria muito negativa | Muito platicúrtica |
| STOS-23      | 3.134   | 0.519      | 0.395   | 0.585                     | Areia Muito Fina | Moderadamente bem selecionado | Assimetria negativa       | Muito platicúrtica |
| GOES-01      | 1.819   | 1.020      | 0.108   | 0.756                     | Areia média      | Pobremente selecionado        | Assimetria positiva       | Platicúrtica       |
| GOES-02      | 2.150   | 1.216      | 0.211   | 0.698                     | Areia Fina       | Pobremente selecionado        | Assimetria positiva       | Platicúrtica       |
| GOES-03      | 2.705   | 0.947      | -0.134  | 1.231                     | Areia Fina       | Moderadamente selecionado     | Assimetria negativa       | Leptocúrtica       |
| GOES-04      | 3.290   | 0.825      | -0.642  | 1.176                     | Areia Muito Fina | Moderadamente selecionado     | Assimetria muito negativa | Leptocúrtica       |
| GOES-05      | 2.230   | 1.389      | -0.343  | 0.789                     | Areia Fina       | Pobremente selecionado        | Assimetria muito negativa | Platicúrtica       |

Tabela 2-27. Parâmetros estatísticos de Folk & Ward para amostras de sedimento coletadas na campanha Novembro/2015.

| Perfil Praia | Parâmetros estatísticos de Folk & Ward (1957) |            |         |                           |                  |                               |                            |              |
|--------------|---|------------|---------|---------------------------|------------------|-------------------------------|----------------------------|--------------|
|              | Folk & Ward ( $\phi$ )                        |            |         | Folk & Ward (Descriptivo) |                  |                               |                            |              |
| Média        | Desvio Padrão                                 | Assimetria | Curtose | Diâmetro médio            | Desvio Padrão    | Assimetria                    | Curtose                    |              |
| ITAR-01      | 3.135   | 0.606      | -0.206  | 0.801                     | Areia muito fina | Moderadamente bem selecionado | Assimetria negativa        | Platícurtica |
| ITAR-02      | 2.938   | 0.618      | 0.098   | 0.747                     | Areia fina       | Moderadamente bem selecionado | Approximadamente simétrica | Platícurtica |
| ITAR-03      | 2.932   | 0.614      | 0.124   | 0.752                     | Areia fina       | Moderadamente bem selecionado | Assimetria positiva        | Platícurtica |
| ITAR-04      | 3.274   | 0.541      | -0.258  | 1.079                     | Areia muito fina | Moderadamente bem selecionado | Assimetria negativa        | Mesocurtica  |
| ITAR-05      | 3.222   | 0.567      | -0.252  | 0.952                     | Areia muito fina | Moderadamente bem selecionado | Assimetria negativa        | Mesocurtica  |
| STOS-01      | 2.981   | 0.616      | 0.040   | 0.739                     | Areia fina       | Moderadamente bem selecionado | Approximadamente simétrica | Platícurtica |
| STOS-02      | 2.849   | 0.598      | 0.222   | 0.822                     | Areia fina       | Moderadamente bem selecionado | Assimetria positiva        | Platícurtica |
| STOS-03      | 3.300   | 0.522      | -0.253  | 1.099                     | Areia muito fina | Moderadamente bem selecionado | Assimetria negativa        | Mesocurtica  |
| STOS-04      | 3.066   | 0.613      | -0.101  | 0.748                     | Areia muito fina | Moderadamente bem selecionado | Assimetria negativa        | Platícurtica |
| STOS-05      | 2.967   | 0.616      | 0.067   | 0.741                     | Areia fina       | Moderadamente bem selecionado | Approximadamente simétrica | Platícurtica |
| STOS-06      | 3.286   | 0.533      | -0.257  | 1.089                     | Areia muito fina | Moderadamente bem selecionado | Assimetria negativa        | Mesocurtica  |
| STOS-07      | 3.102   | 0.606      | -0.158  | 0.767                     | Areia muito fina | Moderadamente bem selecionado | Assimetria negativa        | Platícurtica |
| STOS-08      | 3.190   | 0.582      | -0.238  | 0.876                     | Areia muito fina | Moderadamente bem selecionado | Assimetria negativa        | Platícurtica |
| STOS-09      | 3.171   | 0.587      | -0.226  | 0.842                     | Areia muito fina | Moderadamente bem selecionado | Assimetria negativa        | Platícurtica |
| STOS-10      | 3.071   | 0.611      | -0.114  | 0.750                     | Areia muito fina | Moderadamente bem selecionado | Assimetria negativa        | Platícurtica |
| STOS-11      | 3.250   | 0.558      | -0.256  | 1.033                     | Areia muito fina | Moderadamente bem selecionado | Assimetria negativa        | Mesocurtica  |
| STOS-12      | 3.159   | 0.591      | -0.224  | 0.831                     | Areia muito fina | Moderadamente bem selecionado | Assimetria negativa        | Platícurtica |
| STOS-13      | 3.039   | 0.615      | -0.059  | 0.741                     | Areia muito fina | Moderadamente bem selecionado | Approximadamente simétrica | Platícurtica |
| STOS-14      | 3.228   | 0.567      | -0.254  | 0.968                     | Areia muito fina | Moderadamente bem selecionado | Assimetria negativa        | Mesocurtica  |
| STOS-15      | 3.042   | 0.616      | -0.064  | 0.741                     | Areia muito fina | Moderadamente bem selecionado | Approximadamente simétrica | Platícurtica |
| STOS-16      | 3.093   | 0.611      | -0.137  | 0.759                     | Areia muito fina | Moderadamente bem selecionado | Assimetria negativa        | Platícurtica |
| STOS-17      | 3.443   | 0.418      | -0.160  | 1.084                     | Areia muito fina | Bem selecionado               | Assimetria negativa        | Mesocurtica  |
| STOS-18      | 3.111   | 0.606      | -0.165  | 0.772                     | Areia muito fina | Moderadamente bem selecionado | Assimetria negativa        | Platícurtica |
| STOS-19      | 3.234   | 0.560      | -0.257  | 0.996                     | Areia muito fina | Moderadamente bem selecionado | Assimetria negativa        | Mesocurtica  |
| STOS-20      | 3.181   | 0.586      | -0.234  | 0.860                     | Areia muito fina | Moderadamente bem selecionado | Assimetria negativa        | Platícurtica |
| STOS-21      | 2.929   | 0.614      | 0.129   | 0.753                     | Areia fina       | Moderadamente bem selecionado | Assimetria positiva        | Platícurtica |
| STOS-22      | 3.211   | 0.572      | -0.249  | 0.923                     | Areia muito fina | Moderadamente bem selecionado | Assimetria negativa        | Mesocurtica  |
| STOS-23      | 3.367   | 0.479      | -0.214  | 1.120                     | Areia muito fina | Bem selecionado               | Assimetria negativa        | Leptocurtica |
| GOES-01      | 2.532   | 0.831      | -0.015  | 1.142                     | Areia fina       | Moderadamente selecionado     | Approximadamente simétrica | Leptocurtica |
| GOES-02      | 2.134   | 1.084      | -0.086  | 0.977                     | Areia fina       | Pobremente selecionado        | Approximadamente simétrica | Mesocurtica  |
| GOES-03      | 1.994   | 1.206      | -0.060  | 0.813                     | Areia média      | Pobremente selecionado        | Approximadamente simétrica | Platícurtica |
| GOES-04      | 2.244   | 1.254      | -0.258  | 0.851                     | Areia fina       | Pobremente selecionado        | Assimetria negativa        | Platícurtica |
| GOES-05      | 1.780   | 1.185      | -0.203  | 0.766                     | Areia média      | Pobremente selecionado        | Assimetria negativa        | Platícurtica |

Tabela 2-28. Parâmetros estatísticos de Folk & Ward para amostras de sedimento coletadas na campanha Dezembro/2015.

| Perfil Praia | Parâmetros estatísticos de Folk & Ward (1957) |            |         |                           |                  |                               |                           |              |
|--------------|---|------------|---------|---------------------------|------------------|-------------------------------|---------------------------|--------------|
|              | Folk & Ward ( $\phi$ )                        |            |         | Folk & Ward (Descriptivo) |                  |                               |                           |              |
| Média        | Desvio Padrão                                 | Assimetria | Curtose | Diâmetro médio            | Desvio Padrão    | Assimetria                    | Curtose                   |              |
| ITAR01       | 2.563   | 0.442      | 0.180   | 1.151                     | Areia fina       | Bem selecionado               | Assimetria positiva       | Leptocurrica |
| ITAR02       | 3.197   | 0.585      | -0.245  | 0.893                     | Areia muito fina | Moderadamente bem selecionado | Assimetria negativa       | Platicurrica |
| ITAR03       | 2.920   | 0.612      | 0.136   | 0.756                     | Areia fina       | Moderadamente bem selecionado | Assimetria positiva       | Platicurrica |
| ITAR04       | 2.875   | 0.608      | 0.194   | 0.790                     | Areia fina       | Moderadamente bem selecionado | Assimetria positiva       | Platicurrica |
| ITAR05       | 2.878   | 0.616      | 0.178   | 0.780                     | Areia fina       | Moderadamente bem selecionado | Assimetria positiva       | Platicurrica |
| STOS01       | 2.990   | 0.624      | 0.040   | 0.739                     | Areia fina       | Moderadamente bem selecionado | Aproximadamente simétrica | Platicurrica |
| STOS02       | 3.077   | 0.615      | -0.114  | 0.751                     | Areia muito fina | Moderadamente bem selecionado | Assimetria negativa       | Platicurrica |
| STOS03       | 3.142   | 0.602      | -0.199  | 0.800                     | Areia muito fina | Moderadamente bem selecionado | Assimetria negativa       | Platicurrica |
| STOS04       | 3.079   | 0.625      | -0.105  | 0.749                     | Areia muito fina | Moderadamente bem selecionado | Assimetria negativa       | Platicurrica |
| STOS05       | 3.131   | 0.611      | -0.206  | 0.799                     | Areia muito fina | Moderadamente bem selecionado | Assimetria negativa       | Platicurrica |
| STOS06       | 3.111   | 0.618      | -0.177  | 0.776                     | Areia muito fina | Moderadamente bem selecionado | Assimetria negativa       | Platicurrica |
| STOS07       | 3.265   | 0.548      | -0.259  | 1.075                     | Areia muito fina | Moderadamente bem selecionado | Assimetria negativa       | Mesocurrica  |
| STOS08       | 2.876   | 0.621      | 0.211   | 0.798                     | Areia fina       | Moderadamente bem selecionado | Assimetria positiva       | Platicurrica |
| STOS09       | 2.964   | 0.621      | 0.075   | 0.742                     | Areia fina       | Moderadamente bem selecionado | Aproximadamente simétrica | Platicurrica |
| STOS10       | 2.960   | 0.626      | 0.102   | 0.745                     | Areia fina       | Moderadamente bem selecionado | Assimetria positiva       | Platicurrica |
| STOS11       | 3.002   | 0.625      | 0.003   | 0.738                     | Areia muito fina | Moderadamente bem selecionado | Aproximadamente simétrica | Platicurrica |
| STOS12       | 2.858   | 0.614      | 0.242   | 0.832                     | Areia fina       | Moderadamente bem selecionado | Assimetria positiva       | Platicurrica |
| STOS13       | 2.863   | 0.618      | 0.192   | 0.792                     | Areia fina       | Moderadamente bem selecionado | Assimetria positiva       | Platicurrica |
| STOS14       | 2.919   | 0.761      | -0.105  | 0.980                     | Areia fina       | Moderadamente selecionado     | Assimetria negativa       | Mesocurrica  |
| STOS15       | 2.976   | 0.635      | 0.073   | 0.741                     | Areia fina       | Moderadamente bem selecionado | Aproximadamente simétrica | Platicurrica |
| STOS16       | 3.186   | 0.599      | -0.241  | 0.870                     | Areia muito fina | Moderadamente bem selecionado | Assimetria negativa       | Platicurrica |
| STOS17       | 3.137   | 0.607      | -0.212  | 0.806                     | Areia muito fina | Moderadamente bem selecionado | Assimetria negativa       | Platicurrica |
| STOS18       | 3.125   | 0.620      | -0.183  | 0.783                     | Areia muito fina | Moderadamente bem selecionado | Assimetria negativa       | Platicurrica |
| STOS19       | 3.016   | 0.640      | -0.089  | 0.742                     | Areia muito fina | Moderadamente bem selecionado | Aproximadamente simétrica | Platicurrica |
| STOS20       | 3.152   | 0.609      | -0.230  | 0.828                     | Areia muito fina | Moderadamente bem selecionado | Assimetria negativa       | Platicurrica |
| STOS21       | 3.354   | 0.504      | -0.233  | 1.128                     | Areia muito fina | Moderadamente bem selecionado | Assimetria negativa       | Leptocurrica |
| STOS22       | 3.295   | 0.535      | -0.257  | 1.096                     | Areia muito fina | Moderadamente bem selecionado | Assimetria negativa       | Mesocurrica  |
| STOS23       | 3.308   | 0.528      | -0.254  | 1.105                     | Areia muito fina | Moderadamente bem selecionado | Assimetria negativa       | Mesocurrica  |
| GOES01       | 2.720   | 0.813      | 0.014   | 1.195                     | Areia fina       | Pobremente selecionado        | Aproximadamente simétrica | Leptocurrica |
| GOES02       | 2.261   | 1.138      | -0.077  | 0.966                     | Areia fina       | Pobremente selecionado        | Aproximadamente simétrica | Mesocurrica  |
| GOES03       | 2.452   | 0.718      | -0.051  | 1.356                     | Areia fina       | Moderadamente selecionado     | Aproximadamente simétrica | Leptocurrica |
| GOES04       | 2.141   | 1.293      | -0.206  | 0.807                     | Areia fina       | Pobremente selecionado        | Assimetria negativa       | Platicurrica |
| GOES05       | 2.780   | 0.641      | 0.172   | 0.966                     | Areia fina       | Moderadamente bem selecionado | Assimetria positiva       | Mesocurrica  |

Tabela 2-29. Parâmetros estatísticos de Folk &amp; Ward para amostras de sedimento coletadas na campanha Janeiro/2016.

| Perfil Praia | Parâmetros estatísticos de Folk & Ward (φ) |               |            |         |                  |                               | Folk & Ward (Descriptivo) |               |  |
|--------------|--|---------------|------------|---------|------------------|-------------------------------|---------------------------|---------------|--|
|              | Média                                      | Desvio Padrão | Assimetria | Curtose | Diâmetro médio   | Desvio Padrão                 | Assimetria                | Curtose       |  |
| ITAR-01      | 3.088                                      | 0.619         | -0.135     | 0.757   | Areia Muito Fina | Moderadamente bem selecionado | Assimetria negativa       | Platicuritica |  |
| ITAR-02      | 3.033                                      | 0.614         | -0.056     | 0.740   | Areia Muito Fina | Moderadamente bem selecionado | Aproximadamente simétrica | Platicuritica |  |
| ITAR-03      | 3.072                                      | 0.615         | -0.109     | 0.750   | Areia Muito Fina | Moderadamente bem selecionado | Assimetria negativa       | Platicuritica |  |
| ITAR-04      | 3.131                                      | 0.604         | -0.184     | 0.787   | Areia Muito Fina | Moderadamente bem selecionado | Assimetria negativa       | Platicuritica |  |
| ITAR-05      | 3.098                                      | 0.619         | -0.137     | 0.759   | Areia Muito Fina | Moderadamente bem selecionado | Assimetria negativa       | Platicuritica |  |
| STOS-01      | 3.105                                      | 0.611         | -0.153     | 0.766   | Areia Muito Fina | Moderadamente bem selecionado | Assimetria negativa       | Platicuritica |  |
| STOS-02      | 2.981                                      | 0.619         | 0.049      | 0.739   | Areia Fina       | Moderadamente bem selecionado | Aproximadamente simétrica | Platicuritica |  |
| STOS-03      | 3.158                                      | 0.595         | -0.213     | 0.820   | Areia Muito Fina | Moderadamente bem selecionado | Assimetria negativa       | Platicuritica |  |
| STOS-04      | 3.294                                      | 0.544         | -0.256     | 1.088   | Areia Muito Fina | Moderadamente bem selecionado | Assimetria negativa       | Mesocuritica  |  |
| STOS-05      | 3.042                                      | 0.620         | -0.071     | 0.742   | Areia Muito Fina | Moderadamente bem selecionado | Aproximadamente simétrica | Platicuritica |  |
| STOS-06      | 3.123                                      | 0.608         | -0.179     | 0.781   | Areia Muito Fina | Moderadamente bem selecionado | Assimetria negativa       | Platicuritica |  |
| STOS-07      | 3.143                                      | 0.603         | -0.194     | 0.797   | Areia Muito Fina | Moderadamente bem selecionado | Assimetria negativa       | Platicuritica |  |
| STOS-08      | 3.150                                      | 0.598         | -0.204     | 0.808   | Areia Muito Fina | Moderadamente bem selecionado | Assimetria negativa       | Platicuritica |  |
| STOS-09      | 3.204                                      | 0.577         | -0.244     | 0.903   | Areia Muito Fina | Moderadamente bem selecionado | Assimetria negativa       | Mesocuritica  |  |
| STOS-10      | 3.289                                      | 0.535         | -0.254     | 1.085   | Areia Muito Fina | Moderadamente bem selecionado | Assimetria negativa       | Mesocuritica  |  |
| STOS-11      | 3.218                                      | 0.574         | -0.247     | 0.930   | Areia Muito Fina | Moderadamente bem selecionado | Assimetria negativa       | Mesocuritica  |  |
| STOS-12      | 3.215                                      | 0.574         | -0.247     | 0.924   | Areia Muito Fina | Moderadamente bem selecionado | Assimetria negativa       | Mesocuritica  |  |
| STOS-13      | 3.407                                      | 0.458         | -0.175     | 1.116   | Areia Muito Fina | Bem selecionado               | Assimetria negativa       | Leptocuritica |  |
| STOS-14      | 3.032                                      | 0.619         | -0.040     | 0.739   | Areia Muito Fina | Moderadamente bem selecionado | Aproximadamente simétrica | Platicuritica |  |
| STOS-15      | 3.362                                      | 0.493         | -0.222     | 1.115   | Areia Muito Fina | Bem selecionado               | Assimetria negativa       | Leptocuritica |  |
| STOS-16      | 3.236                                      | 0.565         | -0.252     | 0.982   | Areia Muito Fina | Moderadamente bem selecionado | Assimetria negativa       | Mesocuritica  |  |
| STOS-17      | 3.235                                      | 0.568         | -0.252     | 0.976   | Areia Muito Fina | Moderadamente bem selecionado | Assimetria negativa       | Mesocuritica  |  |
| STOS-18      | 3.080                                      | 0.616         | -0.114     | 0.751   | Areia Muito Fina | Moderadamente bem selecionado | Assimetria negativa       | Platicuritica |  |
| STOS-19      | 3.207                                      | 0.584         | -0.237     | 0.892   | Areia Muito Fina | Moderadamente bem selecionado | Assimetria negativa       | Platicuritica |  |
| STOS-20      | 3.209                                      | 0.582         | -0.242     | 0.904   | Areia Muito Fina | Moderadamente bem selecionado | Assimetria negativa       | Mesocuritica  |  |
| STOS-21      | 3.194                                      | 0.590         | -0.231     | 0.867   | Areia Muito Fina | Moderadamente bem selecionado | Assimetria negativa       | Platicuritica |  |
| STOS-22      | 3.205                                      | 0.580         | -0.242     | 0.899   | Areia Muito Fina | Moderadamente bem selecionado | Assimetria negativa       | Platicuritica |  |
| STOS-23      | 3.153                                      | 0.605         | -0.218     | 0.819   | Areia Muito Fina | Moderadamente bem selecionado | Assimetria negativa       | Platicuritica |  |
| GOES-01      | 2.403                                      | 0.682         | -0.071     | 1.338   | Areia Fina       | Moderadamente bem selecionado | Aproximadamente simétrica | Leptocuritica |  |
| GOES-02      | 2.468                                      | 0.935         | -0.111     | 1.370   | Areia Fina       | Pobremente selecionado        | Assimetria negativa       | Leptocuritica |  |
| GOES-03      | 2.142                                      | 1.176         | 0.029      | 0.825   | Areia Fina       | Pobremente selecionado        | Aproximadamente simétrica | Platicuritica |  |
| GOES-04      | 2.708                                      | 0.794         | 0.015      | 1.169   | Areia Fina       | Moderadamente selecionado     | Aproximadamente simétrica | Leptocuritica |  |
| GOES-05      | 2.798                                      | 0.771         | 0.016      | 1.013   | Areia Fina       | Moderadamente selecionado     | Aproximadamente simétrica | Mesocuritica  |  |

**Tabela 2-30. Parâmetros estatísticos de Folk & Ward para amostras de sedimento coletadas na campanha Fevereiro/2016.**

| Perfil Praia | Parâmetros estatísticos de Folk & Ward (1957) |               |            |                           |                  |                               |                           |              |
|--------------|---|---------------|------------|---------------------------|------------------|-------------------------------|---------------------------|--------------|
|              | Folk & Ward ( $\phi$ )                        |               |            | Folk & Ward (Descriptivo) |                  |                               |                           |              |
|              | Média   | Desvio Padrão | Assimetria | Curtose                   | Diâmetro médio   | Desvio Padrão                 | Assimetria                | Curtose      |
| ITAR-01      | 3.034   | 0.626         | -0.027     | 0.739                     | Areia muito fina | Moderadamente bem selecionada | Aproximadamente simétrica | Platícurtika |
| ITAR-02      | 3.046   | 0.620         | -0.081     | 0.743                     | Areia muito fina | Moderadamente bem selecionada | Aproximadamente simétrica | Platícurtika |
| ITAR-03      | 3.171   | 0.600         | -0.212     | 0.826                     | Areia muito fina | Moderadamente bem selecionada | Assimetria negativa       | Platícurtika |
| ITAR-04      | 3.323   | 0.517         | -0.245     | 1.105                     | Areia muito fina | Moderadamente bem selecionada | Assimetria negativa       | Mesocurtica  |
| ITAR-05      | 3.247   | 0.564         | -0.258     | 1.027                     | Areia muito fina | Moderadamente bem selecionada | Assimetria negativa       | Mesocurtica  |
| STOS-01      | 2.993   | 0.623         | 0.028      | 0.738                     | Areia fina       | Moderadamente bem selecionada | Aproximadamente simétrica | Platícurtika |
| STOS-02      | 3.025   | 0.620         | -0.030     | 0.739                     | Areia muito fina | Moderadamente bem selecionada | Aproximadamente simétrica | Platícurtika |
| STOS-03      | 3.118   | 0.612         | -0.161     | 0.772                     | Areia muito fina | Moderadamente bem selecionada | Assimetria negativa       | Platícurtika |
| STOS-04      | 3.398   | 0.463         | -0.184     | 1.116                     | Areia muito fina | Bem selecionada               | Assimetria negativa       | Leptocurtica |
| STOS-05      | 3.040   | 0.619         | -0.054     | 0.740                     | Areia muito fina | Moderadamente bem selecionada | Aproximadamente simétrica | Platícurtika |
| STOS-06      | 3.128   | 0.608         | -0.197     | 0.792                     | Areia muito fina | Moderadamente bem selecionada | Assimetria negativa       | Platícurtika |
| STOS-07      | 3.110   | 0.615         | -0.152     | 0.767                     | Areia muito fina | Moderadamente bem selecionada | Assimetria negativa       | Platícurtika |
| STOS-08      | 3.155   | 0.599         | -0.206     | 0.812                     | Areia muito fina | Moderadamente bem selecionada | Assimetria negativa       | Platícurtika |
| STOS-09      | 3.163   | 0.594         | -0.221     | 0.830                     | Areia muito fina | Moderadamente bem selecionada | Assimetria negativa       | Platícurtika |
| STOS-10      | 3.275   | 0.547         | -0.263     | 1.091                     | Areia muito fina | Moderadamente bem selecionada | Assimetria negativa       | Mesocurtica  |
| STOS-11      | 3.146   | 0.604         | -0.209     | 0.809                     | Areia muito fina | Moderadamente bem selecionada | Assimetria negativa       | Platícurtika |
| STOS-12      | 3.090   | 0.617         | -0.135     | 0.758                     | Areia muito fina | Moderadamente bem selecionada | Assimetria negativa       | Platícurtika |
| STOS-13      | 3.187   | 0.595         | -0.235     | 0.864                     | Areia muito fina | Moderadamente bem selecionada | Assimetria negativa       | Platícurtika |
| STOS-14      | 3.123   | 0.628         | -0.188     | 0.784                     | Areia muito fina | Moderadamente bem selecionada | Assimetria negativa       | Platícurtika |
| STOS-15      | 3.256   | 0.553         | -0.262     | 1.074                     | Areia muito fina | Moderadamente bem selecionada | Assimetria negativa       | Mesocurtica  |
| STOS-16      | 3.213   | 0.589         | -0.254     | 0.928                     | Areia muito fina | Moderadamente bem selecionada | Assimetria negativa       | Mesocurtica  |
| STOS-17      | 3.099   | 0.619         | -0.133     | 0.759                     | Areia muito fina | Moderadamente bem selecionada | Assimetria negativa       | Platícurtika |
| STOS-18      | 3.011   | 0.633         | -0.012     | 0.738                     | Areia muito fina | Moderadamente bem selecionada | Aproximadamente simétrica | Platícurtika |
| STOS-19      | 2.860   | 0.920         | -0.210     | 1.223                     | Areia fina       | Moderadamente selecionada     | Assimetria negativa       | Leptocurtica |
| STOS-20      | 3.438   | 0.447         | -0.182     | 1.159                     | Areia muito fina | Bem selecionada               | Assimetria negativa       | Leptocurtica |
| STOS-21      | 2.984   | 0.999         | -0.475     | 1.297                     | Areia fina       | Moderadamente selecionada     | Assimetria muito negativa | Leptocurtica |
| STOS-22      | 2.877   | 0.822         | -0.133     | 1.023                     | Areia fina       | Moderadamente selecionada     | Assimetria negativa       | Mesocurtica  |
| STOS-23      | 2.300   | 1.589         | -0.600     | 0.702                     | Areia fina       | Pobremente selecionada        | Assimetria muito negativa | Platícurtika |
| GOES-01      | 2.660   | 0.578         | 0.164      | 1.208                     | Areia fina       | Moderadamente bem selecionada | Assimetria positiva       | Leptocurtica |
| GOES-02      | 2.510   | 0.743         | 0.004      | 1.258                     | Areia fina       | Moderadamente selecionada     | Aproximadamente simétrica | Leptocurtica |
| GOES-03      | 2.794   | 0.852         | -0.150     | 0.870                     | Areia fina       | Moderadamente selecionada     | Assimetria negativa       | Platícurtika |
| GOES-04      | 2.793   | 0.792         | -0.022     | 0.978                     | Areia fina       | Moderadamente selecionada     | Aproximadamente simétrica | Mesocurtica  |
| GOES-05      | 3.066   | 0.620         | -0.110     | 0.749                     | Areia muito fina | Moderadamente bem selecionada | Assimetria negativa       | Platícurtika |

**Tabela 2-31. Parâmetros estatísticos de Folk & Ward para amostras de sedimento coletadas na campanha Março/2016.**

| Perfil Praia | Parâmetros estatísticos de Folk & Ward (1957) |               |            |                           |                  |                               |                           |              |
|--------------|---|---------------|------------|---------------------------|------------------|-------------------------------|---------------------------|--------------|
|              | Folk & Ward ( $\phi$ )                        |               |            | Folk & Ward (Descriptivo) |                  |                               |                           |              |
|              | Média   | Desvio Padrão | Assimetria | Curtose                   | Diâmetro médio   | Desvio Padrão                 | Assimetria                | Curtose      |
| ITAR-01      | 2.986   | 0.625         | 0.020      | 0.738                     | Areia fina       | Moderadamente bem selecionada | Aproximadamente simétrica | Platicúrtica |
| ITAR-02      | 2.989   | 0.620         | 0.022      | 0.738                     | Areia fina       | Moderadamente bem selecionada | Aproximadamente simétrica | Platicúrtica |
| ITAR-03      | 3.061   | 0.616         | -0.093     | 0.746                     | Areia muito fina | Moderadamente bem selecionada | Aproximadamente simétrica | Platicúrtica |
| ITAR-04      | 2.912   | 0.616         | 0.148      | 0.761                     | Areia fina       | Moderadamente bem selecionada | Assimetria positiva       | Platicúrtica |
| ITAR-05      | 3.037   | 0.621         | -0.056     | 0.740                     | Areia muito fina | Moderadamente bem selecionada | Aproximadamente simétrica | Platicúrtica |
| STOS-01      | 3.064   | 0.620         | -0.109     | 0.749                     | Areia muito fina | Moderadamente bem selecionada | Assimetria negativa       | Platicúrtica |
| STOS-02      | 2.931   | 0.622         | 0.119      | 0.751                     | Areia fina       | Moderadamente bem selecionada | Assimetria positiva       | Platicúrtica |
| STOS-03      | 3.005   | 0.618         | 0.004      | 0.738                     | Areia muito fina | Moderadamente bem selecionada | Aproximadamente simétrica | Platicúrtica |
| STOS-04      | 3.305   | 0.524         | -0.253     | 1.102                     | Areia muito fina | Moderadamente bem selecionada | Assimetria negativa       | Mesokúrtica  |
| STOS-05      | 3.128   | 0.609         | -0.177     | 0.782                     | Areia muito fina | Moderadamente bem selecionada | Assimetria negativa       | Platicúrtica |
| STOS-06      | 3.156   | 0.598         | -0.212     | 0.817                     | Areia muito fina | Moderadamente bem selecionada | Assimetria negativa       | Platicúrtica |
| STOS-07      | 3.319   | 0.518         | -0.251     | 1.115                     | Areia muito fina | Moderadamente bem selecionada | Assimetria negativa       | Leptocúrtica |
| STOS-08      | 3.030   | 0.618         | -0.039     | 0.739                     | Areia muito fina | Moderadamente bem selecionada | Aproximadamente simétrica | Platicúrtica |
| STOS-09      | 3.045   | 0.618         | -0.070     | 0.742                     | Areia muito fina | Moderadamente bem selecionada | Aproximadamente simétrica | Platicúrtica |
| STOS-10      | 3.029   | 0.618         | -0.040     | 0.739                     | Areia muito fina | Moderadamente bem selecionada | Aproximadamente simétrica | Platicúrtica |
| STOS-11      | 3.133   | 0.604         | -0.192     | 0.792                     | Areia muito fina | Moderadamente bem selecionada | Assimetria negativa       | Platicúrtica |
| STOS-12      | 3.056   | 0.620         | -0.085     | 0.744                     | Areia muito fina | Moderadamente bem selecionada | Aproximadamente simétrica | Platicúrtica |
| STOS-13      | 3.011   | 0.644         | -0.087     | 0.741                     | Areia muito fina | Moderadamente bem selecionada | Aproximadamente simétrica | Platicúrtica |
| STOS-14      | 3.100   | 0.611         | -0.152     | 0.765                     | Areia muito fina | Moderadamente bem selecionada | Assimetria negativa       | Platicúrtica |
| STOS-15      | 3.064   | 0.616         | -0.094     | 0.746                     | Areia muito fina | Moderadamente bem selecionada | Aproximadamente simétrica | Platicúrtica |
| STOS-16      | 3.011   | 0.635         | -0.053     | 0.739                     | Areia muito fina | Moderadamente bem selecionada | Aproximadamente simétrica | Platicúrtica |
| STOS-17      | 3.164   | 0.595         | -0.218     | 0.827                     | Areia muito fina | Moderadamente bem selecionada | Assimetria negativa       | Platicúrtica |
| STOS-18      | 2.997   | 0.619         | 0.017      | 0.738                     | Areia fina       | Moderadamente bem selecionada | Aproximadamente simétrica | Platicúrtica |
| STOS-19      | 2.969   | 0.622         | 0.080      | 0.743                     | Areia fina       | Moderadamente bem selecionada | Assimetria negativa       | Platicúrtica |
| STOS-20      | 3.301   | 0.529         | -0.252     | 1.093                     | Areia muito fina | Moderadamente bem selecionada | Assimetria negativa       | Mesocúrtica  |
| STOS-21      | 2.978   | 0.627         | 0.044      | 0.739                     | Areia fina       | Moderadamente bem selecionada | Aproximadamente simétrica | Platicúrtica |
| STOS-22      | 2.969   | 0.621         | 0.073      | 0.741                     | Areia fina       | Moderadamente bem selecionada | Aproximadamente simétrica | Platicúrtica |
| STOS-23      | 3.150   | 0.602         | -0.208     | 0.810                     | Areia muito fina | Moderadamente bem selecionada | Assimetria negativa       | Platicúrtica |
| GOES-01      | 1.923   | 1.079         | -0.175     | 1.157                     | Areia média      | Pobremente selecionada        | Assimetria negativa       | Leptocúrtica |
| GOES-02      | 1.590   | 1.237         | 0.078      | 0.967                     | Areia média      | Pobremente selecionada        | Aproximadamente simétrica | Mesocúrtica  |
| GOES-03      | 2.064   | 1.108         | -0.106     | 0.945                     | Areia fina       | Pobremente selecionada        | Assimetria negativa       | Mesocúrtica  |
| GOES-04      | 2.498   | 0.769         | -0.011     | 1.283                     | Areia fina       | Moderadamente selecionada     | Aproximadamente simétrica | Leptocúrtica |
| GOES-05      | 1.826   | 1.376         | -0.177     | 0.848                     | Areia média      | Pobremente selecionada        | Assimetria negativa       | Platicúrtica |

Tabela 2-32. Parâmetros estatísticos de Folk &amp; Ward para amostras de sedimento coletadas na campanha Abril/2016.

| Perfil Praia | Parâmetros estatísticos de Folk & Ward (1957) |               |            |                           |                  |                               |                           |                    |
|--------------|---|---------------|------------|---------------------------|------------------|-------------------------------|---------------------------|--------------------|
|              | Folk & Ward ( $\phi$ )                        |               |            | Folk & Ward (Descriptivo) |                  |                               |                           |                    |
|              | Média   | Desvio Padrão | Assimetria | Curtose                   | Diâmetro médio   | Desvio Padrão                 | Assimetria                | Curtose            |
| ITAR-01      | 3.146   | 0.600         | -0.216     | 0.814                     | Areia muito fina | Moderadamente bem selecionada | Assimetria negativa       | Platicúrtica       |
| ITAR-02      | 2.993   | 0.618         | 0.016      | 0.738                     | Areia fina       | Moderadamente bem selecionada | Aproximadamente simétrica | Platicúrtica       |
| ITAR-03      | 2.923   | 0.615         | 0.136      | 0.756                     | Areia fina       | Moderadamente bem selecionada | Assimetria positiva       | Platicúrtica       |
| ITAR-04      | 2.406   | 0.910         | 0.082      | 0.792                     | Areia fina       | Moderadamente selecionada     | Aproximadamente simétrica | Platicúrtica       |
| ITAR-05      | 3.031   | 0.628         | -0.060     | 0.740                     | Areia muito fina | Moderadamente bem selecionada | Aproximadamente simétrica | Platicúrtica       |
| STOS-01      | 2.825   | 0.599         | 0.234      | 0.851                     | Areia fina       | Moderadamente bem selecionada | Assimetria positiva       | Platicúrtica       |
| STOS-02      | 3.122   | 0.612         | -0.192     | 0.787                     | Areia muito fina | Moderadamente bem selecionada | Assimetria negativa       | Platicúrtica       |
| STOS-03      | 2.983   | 0.624         | 0.040      | 0.739                     | Areia fina       | Moderadamente bem selecionada | Aproximadamente simétrica | Platicúrtica       |
| STOS-04      | 3.130   | 0.605         | -0.187     | 0.788                     | Areia muito fina | Moderadamente bem selecionada | Assimetria negativa       | Platicúrtica       |
| STOS-05      | 2.899   | 0.612         | 0.169      | 0.770                     | Areia fina       | Moderadamente bem selecionada | Assimetria positiva       | Platicúrtica       |
| STOS-06      | 2.924   | 0.616         | 0.132      | 0.755                     | Areia fina       | Moderadamente bem selecionada | Assimetria positiva       | Platicúrtica       |
| STOS-07      | 2.870   | 0.608         | 0.200      | 0.795                     | Areia fina       | Moderadamente bem selecionada | Assimetria positiva       | Platicúrtica       |
| STOS-08      | 2.840   | 0.598         | 0.232      | 0.837                     | Areia fina       | Moderadamente bem selecionada | Assimetria positiva       | Platicúrtica       |
| STOS-09      | 2.967   | 0.622         | 0.055      | 0.740                     | Areia fina       | Moderadamente bem selecionada | Aproximadamente simétrica | Platicúrtica       |
| STOS-10      | 3.135   | 0.603         | -0.189     | 0.791                     | Areia muito fina | Moderadamente bem selecionada | Assimetria negativa       | Platicúrtica       |
| STOS-11      | 2.891   | 0.612         | 0.178      | 0.776                     | Areia fina       | Moderadamente bem selecionada | Assimetria positiva       | Platicúrtica       |
| STOS-12      | 2.965   | 0.620         | 0.063      | 0.741                     | Areia fina       | Moderadamente bem selecionada | Aproximadamente simétrica | Platicúrtica       |
| STOS-13      | 3.263   | 0.548         | -0.259     | 1.072                     | Areia muito fina | Moderadamente bem selecionada | Assimetria negativa       | Mesocúrtica        |
| STOS-14      | 3.117   | 0.608         | -0.175     | 0.778                     | Areia muito fina | Moderadamente bem selecionada | Assimetria negativa       | Platicúrtica       |
| STOS-15      | 3.196   | 0.587         | -0.251     | 0.899                     | Areia muito fina | Moderadamente bem selecionada | Assimetria negativa       | Platicúrtica       |
| STOS-16      | 3.108   | 0.610         | -0.168     | 0.772                     | Areia muito fina | Moderadamente bem selecionada | Assimetria positiva       | Platicúrtica       |
| STOS-17      | 2.960   | 0.620         | 0.069      | 0.742                     | Areia fina       | Moderadamente bem selecionada | Aproximadamente simétrica | Platicúrtica       |
| STOS-18      | 2.964   | 0.619         | 0.067      | 0.741                     | Areia fina       | Moderadamente bem selecionada | Assimetria positiva       | Platicúrtica       |
| STOS-19      | 2.923   | 0.619         | 0.123      | 0.753                     | Areia fina       | Moderadamente bem selecionada | Assimetria negativa       | Platicúrtica       |
| STOS-20      | 3.074   | 0.621         | -0.117     | 0.751                     | Areia muito fina | Moderadamente bem selecionada | Assimetria negativa       | Platicúrtica       |
| STOS-21      | 3.346   | 0.497         | -0.232     | 1.117                     | Areia muito fina | Bem selecionada               | Assimetria negativa       | Leptocúrtica       |
| STOS-22      | 3.097   | 0.641         | -0.216     | 0.788                     | Areia muito fina | Moderadamente bem selecionada | Assimetria negativa       | Platicúrtica       |
| STOS-23      | 2.935   | 0.624         | 0.103      | 0.748                     | Areia fina       | Moderadamente bem selecionada | Assimetria positiva       | Platicúrtica       |
| GOES-01      | 2.495   | 0.562         | 0.002      | 1.385                     | Areia fina       | Moderadamente bem selecionada | Aproximadamente simétrica | Leptocúrtica       |
| GOES-02      | 2.564   | 0.869         | -0.017     | 1.013                     | Areia fina       | Moderadamente selecionada     | Aproximadamente simétrica | Mesocúrtica        |
| GOES-03      | 2.429   | 1.022         | -0.056     | 0.784                     | Areia fina       | Pobremente selecionada        | Aproximadamente simétrica | Platicúrtica       |
| GOES-04      | 2.501   | 0.590         | -0.012     | 1.440                     | Areia fina       | Moderadamente bem selecionada | Aproximadamente simétrica | Leptocúrtica       |
| GOES-05      | 2.291   | 0.776         | -0.226     | 1.585                     | Areia fina       | Moderadamente selecionada     | Assimetria negativa       | Muito Leptocúrtica |

**Tabela 2-33. Parâmetros estatísticos de Folk & Ward para as amostras de sedimento coletadas na campanha Maio/2016.**

| Perfil Praia | Parâmetros estatísticos de Folk & Ward (1957) |               |            |                           |                  |                               |                           |                    |
|--------------|---|---------------|------------|---------------------------|------------------|-------------------------------|---------------------------|--------------------|
|              | Folk & Ward ( $\phi$ )                        |               |            | Folk & Ward (Descriptivo) |                  |                               |                           |                    |
|              | Média   | Desvio Padrão | Assimetria | Curtose                   | Diâmetro médio   | Desvio Padrão                 | Assimetria                | Curtose            |
| ITAR01       | 2,988   | 0,623         | 0,014      | 0,738                     | Areia fina       | Moderadamente bem selecionado | Aproximadamente simétrica | Platicúrtica       |
| ITAR02       | 3,02  | 0,618         | -0,025     | 0,738                     | Areia muito fina | Moderadamente bem selecionado | Aproximadamente simétrica | Platicúrtica       |
| ITAR03       | 2,949   | 0,618         | 0,095      | 0,745                     | Areia fina       | Moderadamente bem selecionado | Aproximadamente simétrica | Platicúrtica       |
| ITAR04       | 2,907   | 0,694         | 0,062      | 0,827                     | Areia fina       | Moderadamente bem selecionado | Aproximadamente simétrica | Platicúrtica       |
| ITAR05       | 2,949   | 0,618         | 0,095      | 0,745                     | Areia fina       | Moderadamente bem selecionado | Aproximadamente simétrica | Platicúrtica       |
| STOS01       | 2,845   | 0,607         | 0,222      | 0,823                     | Areia fina       | Moderadamente bem selecionado | Assimetria positiva       | Platicúrtica       |
| STOS02       | 2,819   | 0,59          | 0,247      | 0,875                     | Areia fina       | Moderadamente bem selecionado | Assimetria positiva       | Platicúrtica       |
| STOS03       | 2,9   | 0,621         | 0,161      | 0,767                     | Areia fina       | Moderadamente bem selecionado | Assimetria positiva       | Platicúrtica       |
| STOS04       | 2,947   | 0,618         | 0,103      | 0,746                     | Areia fina       | Moderadamente bem selecionado | Assimetria positiva       | Platicúrtica       |
| STOS05       | 2,978   | 0,62          | 0,053      | 0,739                     | Areia fina       | Moderadamente bem selecionado | Aproximadamente simétrica | Platicúrtica       |
| STOS06       | 2,976   | 0,62          | 0,06       | 0,74                      | Areia fina       | Moderadamente bem selecionado | Aproximadamente simétrica | Platicúrtica       |
| STOS07       | 2,977   | 0,623         | 0,051      | 0,739                     | Areia fina       | Moderadamente bem selecionado | Aproximadamente simétrica | Platicúrtica       |
| STOS08       | 3,133   | 0,612         | -0,198     | 0,794                     | Areia muito fina | Moderadamente bem selecionado | Assimetria negativa       | Platicúrtica       |
| STOS09       | 2,864   | 0,605         | 0,208      | 0,803                     | Areia fina       | Moderadamente bem selecionado | Assimetria positiva       | Platicúrtica       |
| STOS10       | 3,057   | 0,619         | -0,084     | 0,744                     | Areia muito fina | Moderadamente bem selecionado | Aproximadamente simétrica | Platicúrtica       |
| STOS11       | 2,975   | 0,629         | 0,044      | 0,739                     | Areia fina       | Moderadamente bem selecionado | Aproximadamente simétrica | Platicúrtica       |
| STOS12       | 2,992   | 0,624         | 0,02       | 0,738                     | Areia fina       | Moderadamente bem selecionado | Aproximadamente simétrica | Platicúrtica       |
| STOS13       | 2,91  | 0,624         | 0,136      | 0,758                     | Areia fina       | Moderadamente bem selecionado | Assimetria positiva       | Platicúrtica       |
| STOS14       | 3,163   | 0,602         | -0,228     | 0,835                     | Areia muito fina | Moderadamente bem selecionado | Assimetria negativa       | Platicúrtica       |
| STOS15       | 2,882   | 0,613         | 0,179      | 0,779                     | Areia fina       | Moderadamente bem selecionado | Assimetria positiva       | Platicúrtica       |
| STOS16       | 2,874   | 0,606         | 0,193      | 0,789                     | Areia fina       | Moderadamente bem selecionado | Assimetria positiva       | Platicúrtica       |
| STOS17       | 2,875   | 0,622         | 0,171      | 0,777                     | Areia fina       | Moderadamente bem selecionado | Assimetria positiva       | Platicúrtica       |
| STOS18       | 2,921   | 0,619         | 0,139      | 0,757                     | Areia fina       | Moderadamente bem selecionado | Assimetria positiva       | Platicúrtica       |
| STOS19       | 2,917   | 0,617         | 0,147      | 0,76                      | Areia fina       | Moderadamente bem selecionado | Assimetria positiva       | Platicúrtica       |
| STOS20       | 2,883   | 0,619         | 0,163      | 0,772                     | Areia fina       | Moderadamente bem selecionado | Assimetria positiva       | Platicúrtica       |
| STOS21       | 2,971   | 0,621         | 0,048      | 0,739                     | Areia fina       | Moderadamente bem selecionado | Aproximadamente simétrica | Platicúrtica       |
| STOS22       | 3,043   | 0,617         | -0,066     | 0,741                     | Areia muito fina | Moderadamente bem selecionado | Aproximadamente simétrica | Platicúrtica       |
| STOS23       | 2,937   | 0,618         | 0,121      | 0,75                      | Areia fina       | Moderadamente bem selecionado | Assimetria positiva       | Platicúrtica       |
| GOES01       | 2,523   | 0,566         | 0,022      | 1,386                     | Areia fina       | Moderadamente bem selecionado | Aproximadamente simétrica | Leptocúrtica       |
| GOES02       | 2,654   | 0,627         | 0,127      | 1,291                     | Areia fina       | Moderadamente bem selecionado | Assimetria positiva       | Leptocúrtica       |
| GOES03       | 2,505   | 0,772         | 0,005      | 1,252                     | Areia fina       | Moderadamente assimétrico     | Aproximadamente simétrica | Leptocúrtica       |
| GOES04       | 2,657   | 0,52          | 0,241      | 1,118                     | Areia fina       | Moderadamente bem selecionado | Assimetria positiva       | Leptocúrtica       |
| GOES05       | 1,188   | 1,599         | -0,139     | 0,528                     | Areia média      | Pobremente assimétrico        | Assimetria negativa       | Muito platicúrtica |

Tabela 2-34. Parâmetros estatísticos de Folk & Ward para amostras de sedimento coletadas na campanha Junho/2016.

| Perfil Praia | Parâmetros estatísticos de Folk & Ward (1957) |            |         |                           |                  |                               |                           |
|--------------|---|------------|---------|---------------------------|------------------|-------------------------------|---------------------------|
|              | Folk & Ward ( $\phi$ )                        |            |         | Folk & Ward (Descriptivo) |                  |                               |                           |
| Média        | Desvio Padrão                                 | Assimetria | Curtose | Diâmetro médio            | Desvio Padrão    | Assimetria                    | Curtose                   |
| ITAR01       | 2,988   | 0,623      | 0,014   | 0,738                     | Areia fina       | Moderadamente bem selecionado | Aproximadamente simétrica |
| ITAR02       | 3,02  | 0,618      | -0,025  | 0,738                     | Areia muito fina | Moderadamente bem selecionado | Aproximadamente simétrica |
| ITAR03       | 2,949   | 0,618      | 0,095   | 0,745                     | Areia fina       | Moderadamente bem selecionado | Aproximadamente simétrica |
| ITAR04       | 2,907   | 0,694      | 0,062   | 0,827                     | Areia fina       | Moderadamente bem selecionado | Aproximadamente simétrica |
| ITAR05       | 2,949   | 0,618      | 0,095   | 0,745                     | Areia fina       | Moderadamente bem selecionado | Aproximadamente simétrica |
| STOS01       | 2,845   | 0,607      | 0,222   | 0,823                     | Areia fina       | Moderadamente bem selecionado | Assimetria positiva       |
| STOS02       | 2,819   | 0,59       | 0,247   | 0,875                     | Areia fina       | Moderadamente bem selecionado | Assimetria positiva       |
| STOS03       | 2,9   | 0,621      | 0,161   | 0,767                     | Areia fina       | Moderadamente bem selecionado | Assimetria positiva       |
| STOS04       | 2,947   | 0,618      | 0,103   | 0,746                     | Areia fina       | Moderadamente bem selecionado | Assimetria positiva       |
| STOS05       | 2,978   | 0,62       | 0,053   | 0,739                     | Areia fina       | Moderadamente bem selecionado | Aproximadamente simétrica |
| STOS06       | 2,976   | 0,62       | 0,06    | 0,74                      | Areia fina       | Moderadamente bem selecionado | Aproximadamente simétrica |
| STOS07       | 2,977   | 0,623      | 0,051   | 0,739                     | Areia fina       | Moderadamente bem selecionado | Aproximadamente simétrica |
| STOS08       | 3,133   | 0,612      | -0,198  | 0,794                     | Areia muito fina | Moderadamente bem selecionado | Assimetria negativa       |
| STOS09       | 2,864   | 0,605      | 0,208   | 0,803                     | Areia fina       | Moderadamente bem selecionado | Assimetria positiva       |
| STOS10       | 3,057   | 0,619      | -0,084  | 0,744                     | Areia muito fina | Moderadamente bem selecionado | Aproximadamente simétrica |
| STOS11       | 2,975   | 0,629      | 0,044   | 0,739                     | Areia fina       | Moderadamente bem selecionado | Aproximadamente simétrica |
| STOS12       | 2,992   | 0,624      | 0,02    | 0,738                     | Areia fina       | Moderadamente bem selecionado | Aproximadamente simétrica |
| STOS13       | 2,91  | 0,624      | 0,136   | 0,758                     | Areia fina       | Moderadamente bem selecionado | Assimetria positiva       |
| STOS14       | 3,163   | 0,602      | -0,228  | 0,835                     | Areia muito fina | Moderadamente bem selecionado | Assimetria negativa       |
| STOS15       | 2,882   | 0,613      | 0,179   | 0,779                     | Areia fina       | Moderadamente bem selecionado | Assimetria positiva       |
| STOS16       | 2,874   | 0,606      | 0,193   | 0,789                     | Areia fina       | Moderadamente bem selecionado | Assimetria positiva       |
| STOS17       | 2,875   | 0,622      | 0,171   | 0,777                     | Areia fina       | Moderadamente bem selecionado | Assimetria positiva       |
| STOS18       | 2,921   | 0,619      | 0,139   | 0,757                     | Areia fina       | Moderadamente bem selecionado | Assimetria positiva       |
| STOS19       | 2,917   | 0,617      | 0,147   | 0,76                      | Areia fina       | Moderadamente bem selecionado | Assimetria positiva       |
| STOS20       | 2,883   | 0,619      | 0,163   | 0,772                     | Areia fina       | Moderadamente bem selecionado | Assimetria positiva       |
| STOS21       | 2,971   | 0,621      | 0,048   | 0,739                     | Areia fina       | Moderadamente bem selecionado | Aproximadamente simétrica |
| STOS22       | 3,043   | 0,617      | -0,066  | 0,741                     | Areia muito fina | Moderadamente bem selecionado | Aproximadamente simétrica |
| STOS23       | 2,937   | 0,618      | 0,121   | 0,75                      | Areia fina       | Moderadamente bem selecionado | Assimetria positiva       |
| GOES01       | 2,523   | 0,566      | 0,022   | 1,386                     | Areia fina       | Moderadamente bem selecionado | Aproximadamente simétrica |
| GOES02       | 2,654   | 0,627      | 0,127   | 1,291                     | Areia fina       | Moderadamente bem selecionado | Assimetria positiva       |
| GOES03       | 2,505   | 0,772      | 0,005   | 1,252                     | Areia fina       | Moderadamente assimétrico     | Aproximadamente simétrica |
| GOES04       | 2,657   | 0,52       | 0,241   | 1,118                     | Areia fina       | Moderadamente bem selecionado | Assimetria positiva       |
| GOES05       | 1,188   | 1,599      | -0,139  | 0,528                     | Areia média      | Pobremente assimétrico        | Assimetria negativa       |
|              |   |            |         |                           |                  |                               | Muito platicúrtica        |

**Tabela 2-35. Parâmetros estatísticos de Folk & Ward para amostras de sedimento coletadas na campanha Juho/2016.**

| Perfil Praia | Parâmetros estatísticos de Folk & Ward (1957) |               |            |                           |                  |                               |                           |              |
|--------------|---|---------------|------------|---------------------------|------------------|-------------------------------|---------------------------|--------------|
|              | Folk & Ward ( $\phi$ )                        |               |            | Folk & Ward (Descriptivo) |                  |                               |                           |              |
|              | Média   | Desvio Padrão | Assimetria | Curtose                   | Diâmetro médio   | Desvio Padrão                 | Assimetria                | Curtose      |
| ITAR01       | 3,023   | 0,619         | -0,04      | 0,739                     | Areia muito fina | Moderadamente bem selecionado | Aproximadamente simétrica | Platicúrtica |
| ITAR02       | 2,81  | 0,59          | 0,245      | 0,884                     | Areia fina       | Moderadamente bem selecionado | Assimetria positiva       | Platicúrtica |
| ITAR03       | 2,88  | 0,63          | 0,158      | 0,771                     | Areia fina       | Moderadamente bem selecionado | Assimetria positiva       | Platicúrtica |
| ITAR04       | 2,799   | 0,587         | 0,253      | 0,911                     | Areia fina       | Moderadamente bem selecionado | Assimetria positiva       | Mesocúrtica  |
| ITAR05       | 2,924   | 0,614         | 0,129      | 0,754                     | Areia fina       | Moderadamente bem selecionado | Assimetria positiva       | Platicúrtica |
| STOS01       | 2,885   | 0,609         | 0,186      | 0,782                     | Areia fina       | Moderadamente bem selecionado | Assimetria positiva       | Platicúrtica |
| STOS02       | 2,746   | 0,557         | 0,269      | 1,086                     | Areia fina       | Moderadamente bem selecionado | Assimetria positiva       | Mesocúrtica  |
| STOS03       | 3,016   | 0,623         | -0,039     | 0,739                     | Areia muito fina | Moderadamente bem selecionado | Aproximadamente simétrica | Platicúrtica |
| STOS04       | 2,978   | 0,620         | 0,032      | 0,739                     | Areia fina       | Moderadamente bem selecionado | Aproximadamente simétrica | Platicúrtica |
| STOS05       | 2,891   | 0,609         | 0,174      | 0,775                     | Areia fina       | Moderadamente bem selecionado | Assimetria positiva       | Platicúrtica |
| STOS06       | 2,995   | 0,618         | 0,011      | 0,738                     | Areia fina       | Moderadamente bem selecionado | Aproximadamente simétrica | Platicúrtica |
| STOS07       | 2,917   | 0,616         | 0,142      | 0,758                     | Areia fina       | Moderadamente bem selecionado | Assimetria positiva       | Platicúrtica |
| STOS08       | 2,903   | 0,612         | 0,159      | 0,766                     | Areia fina       | Moderadamente bem selecionado | Assimetria positiva       | Platicúrtica |
| STOS09       | 2,847   | 0,6           | 0,223      | 0,825                     | Areia fina       | Moderadamente bem selecionado | Assimetria positiva       | Platicúrtica |
| STOS10       | 3,026   | 0,626         | -0,066     | 0,74                      | Areia muito fina | Moderadamente bem selecionado | Aproximadamente simétrica | Platicúrtica |
| STOS11       | 2,966   | 0,62          | 0,064      | 0,741                     | Areia fina       | Moderadamente bem selecionado | Aproximadamente simétrica | Platicúrtica |
| STOS12       | 2,984   | 0,622         | 0,033      | 0,738                     | Areia fina       | Moderadamente bem selecionado | Aproximadamente simétrica | Platicúrtica |
| STOS13       | 2,922   | 0,62          | 0,125      | 0,753                     | Areia fina       | Moderadamente bem selecionado | Assimetria positiva       | Platicúrtica |
| STOS14       | 2,923   | 0,621         | 0,127      | 0,754                     | Areia fina       | Moderadamente bem selecionado | Assimetria positiva       | Platicúrtica |
| STOS15       | 2,931   | 0,628         | 0,091      | 0,746                     | Areia fina       | Moderadamente bem selecionado | Aproximadamente simétrica | Platicúrtica |
| STOS16       | 2,947   | 0,627         | 0,073      | 0,743                     | Areia fina       | Moderadamente bem selecionado | Aproximadamente simétrica | Platicúrtica |
| STOS17       | 2,873   | 0,614         | 0,182      | 0,784                     | Areia fina       | Moderadamente bem selecionado | Assimetria positiva       | Platicúrtica |
| STOS18       | 2,869   | 0,615         | 0,189      | 0,789                     | Areia fina       | Moderadamente bem selecionado | Assimetria positiva       | Platicúrtica |
| STOS19       | 2,91  | 0,621         | 0,145      | 0,76                      | Areia fina       | Moderadamente bem selecionado | Assimetria positiva       | Platicúrtica |
| STOS20       | 2,831   | 0,902         | -0,124     | 1,326                     | Areia fina       | Moderadamente Selecionado     | Assimetria negativa       | Leptocúrtica |
| STOS21       | 2,984   | 0,631         | 0,006      | 0,738                     | Areia fina       | Moderadamente bem selecionado | Aproximadamente simétrica | Platicúrtica |
| STOS22       | 3,033   | 0,627         | -0,075     | 0,742                     | Areia muito fina | Moderadamente bem selecionado | Aproximadamente simétrica | Platicúrtica |
| STOS23       | 3,035   | 0,626         | -0,066     | 0,741                     | Areia muito fina | Moderadamente bem selecionado | Aproximadamente simétrica | Platicúrtica |
| GOES01       | 2,22  | 0,738         | -0,111     | 1,043                     | Areia fina       | Pobremente Selecionado        | Assimetria negativa       | Mesocúrtica  |
| GOES02       | 1,795   | 1,278         | -0,187     | 0,96                      | Areia média      | Pobremente Selecionado        | Assimetria negativa       | Mesocúrtica  |
| GOES03       | 2,948   | 0,743         | -0,124     | 0,931                     | Areia fina       | Moderadamente Selecionado     | Assimetria negativa       | Mesocúrtica  |
| GOES04       | 2,776   | 0,884         | -0,064     | 1,316                     | Areia fina       | Moderadamente Selecionado     | Aproximadamente simétrica | Leptocúrtica |
| GOES05       | 2,791   | 0,795         | -0,017     | 1,213                     | Areia fina       | Moderadamente Selecionado     | Aproximadamente simétrica | Leptocúrtica |

Tabela 2-36. Parâmetros estatísticos de Folk &amp; Ward para as amostras de sedimento coletadas na campanha Agosto/2016.

| Perfil Praia | Parâmetros estatísticos de Folk & Ward (1957) |               |            |                           |                |                               |                           |                    |
|--------------|---|---------------|------------|---------------------------|----------------|-------------------------------|---------------------------|--------------------|
|              | Folk & Ward ( $\phi$ )                        |               |            | Folk & Ward (Descriptivo) |                |                               |                           |                    |
|              | Média   | Desvio Padrão | Assimetria | Curtose                   | Diâmetro médio | Desvio Padrão                 | Assimetria                | Curtose            |
| ITAR01       | 2,895   | 0,61          | 0,176      | 0,774                     | Areia fina     | Moderadamente bem selecionada | Assimetria positiva       | Platicúrtica       |
| ITAR02       | 2,734   | 0,549         | 0,269      | 1,098                     | Areia fina     | Moderadamente bem selecionada | Assimetria positiva       | Mesocúrtica        |
| ITAR03       | 2,684   | 0,533         | 0,256      | 1,117                     | Areia fina     | Moderadamente bem selecionada | Assimetria positiva       | Leptocúrtica       |
| ITAR04       | 2,813   | 0,588         | 0,248      | 0,885                     | Areia fina     | Moderadamente bem selecionada | Assimetria positiva       | Platicúrtica       |
| ITAR05       | 2,771   | 0,569         | 0,265      | 1,001                     | Areia fina     | Moderadamente bem selecionada | Assimetria positiva       | Mesocúrtica        |
| STOS01       | 2,789   | 0,577         | 0,26       | 0,945                     | Areia fina     | Moderadamente bem selecionada | Assimetria positiva       | Mesocúrtica        |
| STOS02       | 2,873   | 0,606         | 0,2        | 0,794                     | Areia fina     | Moderadamente bem selecionada | Assimetria positiva       | Platicúrtica       |
| STOS03       | 2,845   | 0,596         | 0,225      | 0,828                     | Areia fina     | Moderadamente bem selecionada | Assimetria positiva       | Platicúrtica       |
| STOS04       | 2,831   | 0,607         | 0,226      | 0,836                     | Areia fina     | Moderadamente bem selecionada | Assimetria positiva       | Platicúrtica       |
| STOS05       | 2,794   | 0,587         | 0,252      | 0,916                     | Areia fina     | Moderadamente bem selecionada | Assimetria positiva       | Mesocúrtica        |
| STOS06       | 2,757   | 0,561         | 0,266      | 1,048                     | Areia fina     | Moderadamente bem selecionada | Assimetria positiva       | Mesocúrtica        |
| STOS07       | 2,982   | 0,618         | 0,043      | 0,739                     | Areia fina     | Moderadamente bem selecionada | Aproximadamente simétrica | Platicúrtica       |
| STOS08       | 2,844   | 0,595         | 0,223      | 0,828                     | Areia fina     | Moderadamente bem selecionada | Assimetria positiva       | Platicúrtica       |
| STOS09       | 2,931   | 0,613         | 0,12       | 0,751                     | Areia fina     | Moderadamente bem selecionada | Assimetria positiva       | Mesocúrtica        |
| STOS10       | 2,744   | 0,553         | 0,264      | 1,079                     | Areia fina     | Moderadamente bem selecionada | Assimetria positiva       | Mesocúrtica        |
| STOS11       | 2,849   | 0,597         | 0,217      | 0,819                     | Areia fina     | Moderadamente bem selecionada | Assimetria positiva       | Platicúrtica       |
| STOS12       | 2,825   | 0,593         | 0,246      | 0,867                     | Areia fina     | Moderadamente bem selecionada | Assimetria positiva       | Platicúrtica       |
| STOS13       | 2,841   | 0,596         | 0,227      | 0,832                     | Areia fina     | Moderadamente bem selecionada | Assimetria positiva       | Platicúrtica       |
| STOS14       | 2,829   | 0,603         | 0,218      | 0,83                      | Areia fina     | Moderadamente bem selecionada | Assimetria positiva       | Platicúrtica       |
| STOS15       | 2,847   | 0,613         | 0,199      | 0,804                     | Areia fina     | Moderadamente bem selecionada | Assimetria positiva       | Platicúrtica       |
| STOS16       | 2,745   | 0,567         | 0,256      | 1,035                     | Areia fina     | Moderadamente bem selecionada | Assimetria positiva       | Mesocúrtica        |
| STOS17       | 2,788   | 0,597         | 0,236      | 0,889                     | Areia fina     | Moderadamente bem selecionada | Assimetria positiva       | Platicúrtica       |
| STOS18       | 2,768   | 0,574         | 0,255      | 0,975                     | Areia fina     | Moderadamente bem selecionada | Assimetria positiva       | Mesocúrtica        |
| STOS19       | 2,776   | 0,596         | 0,239      | 0,91                      | Areia fina     | Moderadamente bem selecionada | Assimetria positiva       | Mesocúrtica        |
| STOS20       | 2,813   | 0,61          | 0,213      | 0,835                     | Areia fina     | Moderadamente bem selecionada | Assimetria positiva       | Platicúrtica       |
| STOS21       | 2,722   | 0,849         | -0,063     | 1,867                     | Areia fina     | Moderadamente selecionada     | Aproximadamente simétrica | Muito leptocúrtica |
| STOS22       | 2,914   | 0,638         | 0,084      | 0,746                     | Areia fina     | Moderadamente bem selecionada | Aproximadamente simétrica | Platicúrtica       |
| STOS23       | 2,678   | 1,042         | -0,151     | 2,097                     | Areia fina     | Pobremente selecionada        | Assimetria negativa       | Muito leptocúrtica |
| GOES01       | 1,53  | 0,918         | 0,023      | 0,914                     | Areia média    | Pobremente selecionada        | Aproximadamente simétrica | Mesocúrtica        |
| GOES02       | 1,626   | 1,023         | 0,072      | 0,933                     | Areia média    | Pobremente selecionada        | Aproximadamente simétrica | Mesocúrtica        |
| GOES03       | 2,142   | 1,212         | -0,157     | 0,82                      | Areia fina     | Pobremente selecionada        | Assimetria negativa       | Platicúrtica       |
| GOES04       | 2,15  | 1,049         | -0,306     | 1,38                      | Areia fina     | Pobremente selecionada        | Assimetria muito negativa | Leptocúrtica       |
| GOES05       | 1,87  | 1,091         | -0,167     | 0,948                     | Areia média    | Pobremente selecionada        | Assimetria negativa       | Mesocúrtica        |

Tabela 2-37. Parâmetros estatísticos de Folk &amp; Ward para amostras de sedimento coletadas na campanha Setembro/2016.

| Perfil Praia | Parâmetros estatísticos de Folk & Ward (1957) |               |            |                           |                  |                               |                           |                    |
|--------------|---|---------------|------------|---------------------------|------------------|-------------------------------|---------------------------|--------------------|
|              | Folk & Ward ( $\phi$ )                        |               |            | Folk & Ward (Descriptivo) |                  |                               |                           |                    |
|              | Média   | Desvio Padrão | Assimetria | Curtose                   | Diâmetro médio   | Desvio Padrão                 | Assimetria                | Curtose            |
| ITAR01       | 2,97  | 0,63          | 0,043      | 0,739                     | Areia fina       | Moderadamente bem selecionada | Aproximadamente simétrica | Platicúrtica       |
| ITAR02       | 2,837   | 0,611         | 0,218      | 0,824                     | Areia fina       | Moderadamente bem selecionada | Assimetria positiva       | Platicúrtica       |
| ITAR03       | 3,052   | 0,619         | -0,102     | 0,746                     | Areia muito fina | Moderadamente bem selecionada | Assimetria negativa       | Platicúrtica       |
| ITAR04       | 2,921   | 0,621         | 0,119      | 0,752                     | Areia fina       | Moderadamente bem selecionada | Assimetria positiva       | Platicúrtica       |
| ITAR05       | 2,768   | 0,569         | 0,264      | 1,006                     | Areia fina       | Moderadamente bem selecionada | Assimetria positiva       | Mesocúrtica        |
| STOS01       | 2,777   | 0,571         | 0,261      | 0,973                     | Areia fina       | Moderadamente bem selecionada | Assimetria positiva       | Mesocúrtica        |
| STOS02       | 2,835   | 0,595         | 0,235      | 0,845                     | Areia fina       | Moderadamente bem selecionada | Assimetria positiva       | Platicúrtica       |
| STOS03       | 2,735   | 0,554         | 0,266      | 1,087                     | Areia fina       | Moderadamente bem selecionada | Assimetria positiva       | Mesocúrtica        |
| STOS04       | 3,116   | 0,61          | -0,168     | 0,775                     | Areia muito fina | Moderadamente bem selecionada | Assimetria negativa       | Platicúrtica       |
| STOS05       | 2,898   | 0,612         | 0,163      | 0,769                     | Areia fina       | Moderadamente bem selecionada | Assimetria positiva       | Platicúrtica       |
| STOS06       | 3,078   | 0,615         | -0,118     | 0,752                     | Areia muito fina | Moderadamente bem selecionada | Assimetria negativa       | Platicúrtica       |
| STOS07       | 2,921   | 0,62          | 0,14       | 0,757                     | Areia fina       | Moderadamente bem selecionada | Assimetria positiva       | Platicúrtica       |
| STOS08       | 2,974   | 0,628         | 0,031      | 0,739                     | Areia fina       | Moderadamente bem selecionada | Aproximadamente simétrica | Platicúrtica       |
| STOS09       | 3,02  | 0,619         | -0,033     | 0,739                     | Areia muito fina | Moderadamente bem selecionada | Aproximadamente simétrica | Platicúrtica       |
| STOS10       | 2,824   | 0,59          | 0,237      | 0,858                     | Areia fina       | Moderadamente bem selecionada | Assimetria positiva       | Platicúrtica       |
| STOS11       | 2,922   | 0,619         | 0,121      | 0,752                     | Areia fina       | Moderadamente bem selecionada | Assimetria positiva       | Platicúrtica       |
| STOS12       | 2,827   | 0,593         | 0,241      | 0,859                     | Areia fina       | Moderadamente bem selecionada | Assimetria positiva       | Platicúrtica       |
| STOS13       | 2,873   | 0,604         | 0,192      | 0,79                      | Areia fina       | Moderadamente bem selecionada | Assimetria positiva       | Platicúrtica       |
| STOS14       | 2,763   | 0,653         | 0,157      | 1,03                      | Areia fina       | Moderadamente bem selecionada | Assimetria positiva       | Mesocúrtica        |
| STOS15       | 2,639   | 0,5           | 0,228      | 1,129                     | Areia fina       | Bem selecionada               | Assimetria positiva       | Leptocúrtica       |
| STOS16       | 2,696   | 0,527         | 0,26       | 1,118                     | Areia fina       | Moderadamente bem selecionada | Assimetria positiva       | Leptocúrtica       |
| STOS17       | 2,787   | 0,579         | 0,254      | 0,933                     | Areia fina       | Moderadamente bem selecionada | Assimetria positiva       | Mesocúrtica        |
| STOS18       | 2,939   | 0,624         | 0,097      | 0,746                     | Areia fina       | Moderadamente bem selecionada | Aproximadamente simétrica | Platicúrtica       |
| STOS19       | 2,867   | 0,617         | 0,177      | 0,783                     | Areia fina       | Moderadamente bem selecionada | Assimetria positiva       | Platicúrtica       |
| STOS20       | 2,952   | 0,724         | -0,075     | 0,887                     | Areia fina       | Moderadamente selecionada     | Aproximadamente simétrica | Platicúrtica       |
| STOS21       | 2,741   | 0,563         | 0,25       | 1,008                     | Areia fina       | Moderadamente bem selecionada | Assimetria positiva       | Mesocúrtica        |
| STOS22       | 2,992   | 0,634         | -0,002     | 0,738                     | Areia fina       | Moderadamente bem selecionada | Aproximadamente simétrica | Platicúrtica       |
| STOS23       | 2,61  | 1,06          | -0,208     | 1,254                     | Areia fina       | Pobremente selecionada        | Assimetria negativa       | Leptocúrtica       |
| GOES01       | 2,371   | 0,767         | -0,2       | 1,735                     | Areia fina       | Moderadamente selecionada     | Assimetria negativa       | Muito Leptocúrtica |
| GOES02       | 2,256   | 0,794         | -0,159     | 1,289                     | Areia fina       | Moderadamente selecionada     | Assimetria negativa       | Leptocúrtica       |
| GOES03       | 2,745   | 0,615         | 0,217      | 1,033                     | Areia fina       | Moderadamente bem selecionada | Assimetria positiva       | Mesocúrtica        |
| GOES04       | 2,57  | 0,564         | 0,048      | 1,387                     | Areia fina       | Moderadamente bem selecionada | Aproximadamente simétrica | Leptocúrtica       |
| GOES05       | 2,67  | 0,76          | -0,005     | 1,665                     | Areia fina       | Moderadamente selecionada     | Aproximadamente simétrica | Muito Leptocúrtica |

**Tabela 2-38. Parâmetros estatísticos de Folk & Ward para as amostras de sedimento coletadas na campanha Outubro/2016.**

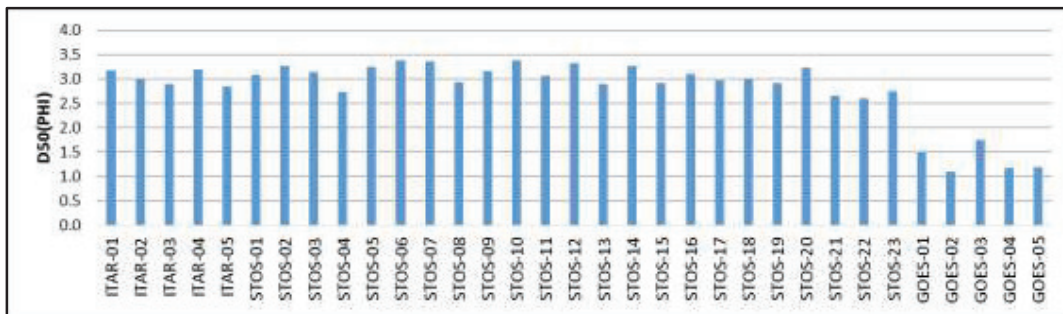
| Perfil Praia | Parâmetros estatísticos de Folk & Ward (1957) |               |            |                           |                  |                               |                           |               |
|--------------|---|---------------|------------|---------------------------|------------------|-------------------------------|---------------------------|---------------|
|              | Folk & Ward ( $\phi$ )                        |               |            | Folk & Ward (Descriptivo) |                  |                               |                           |               |
|              | Média   | Desvio Padrão | Assimetria | Curtose                   | Diâmetro médio   | Desvio Padrão                 | Assimetria                | Curtose       |
| ITAR01       | 2,731   | 0,545         | 0,262      | 1,083                     | Areia fina       | Moderadamente bem selecionada | Assimetria positiva       | Mesocuritica  |
| ITAR02       | 2,808   | 0,581         | 0,245      | 0,887                     | Areia fina       | Moderadamente bem selecionada | Assimetria positiva       | Platicuritica |
| ITAR03       | 2,854   | 0,598         | 0,211      | 0,811                     | Areia fina       | Moderadamente bem selecionada | Assimetria positiva       | Platicuritica |
| ITAR04       | 2,973   | 0,615         | 0,054      | 0,74                      | Areia fina       | Moderadamente bem selecionada | Aproximadamente simétrica | Platicuritica |
| ITAR05       | 2,787   | 0,573         | 0,258      | 0,946                     | Areia fina       | Moderadamente bem selecionada | Assimetria positiva       | Mesocuritica  |
| STOS01       | 2,764   | 0,561         | 0,259      | 1,005                     | Areia fina       | Moderadamente bem selecionada | Assimetria positiva       | Mesocuritica  |
| STOS02       | 2,826   | 0,588         | 0,232      | 0,85                      | Areia fina       | Moderadamente bem selecionada | Assimetria positiva       | Platicuritica |
| STOS03       | 2,852   | 0,6           | 0,221      | 0,82                      | Areia fina       | Moderadamente bem selecionada | Assimetria positiva       | Platicuritica |
| STOS04       | 3,039   | 0,614         | -0,069     | 0,742                     | Areia muito fina | Moderadamente bem selecionada | Aproximadamente simétrica | Platicuritica |
| STOS05       | 2,87  | 0,602         | 0,197      | 0,794                     | Areia fina       | Moderadamente bem selecionada | Assimetria positiva       | Platicuritica |
| STOS06       | 3,249   | 0,553         | -0,258     | 1,045                     | Areia muito fina | Moderadamente bem selecionada | Assimetria negativa       | Mesocuritica  |
| STOS07       | 3,028   | 0,614         | -0,046     | 0,739                     | Areia muito fina | Moderadamente bem selecionada | Aproximadamente simétrica | Platicuritica |
| STOS08       | 2,859   | 0,605         | 0,219      | 0,813                     | Areia fina       | Moderadamente bem selecionada | Assimetria positiva       | Platicuritica |
| STOS09       | 2,928   | 0,613         | 0,126      | 0,753                     | Areia fina       | Moderadamente bem selecionada | Assimetria positiva       | Platicuritica |
| STOS10       | 2,991   | 0,62          | 0,033      | 0,738                     | Areia fina       | Moderadamente bem selecionada | Aproximadamente simétrica | Platicuritica |
| STOS11       | 2,928   | 0,613         | 0,124      | 0,752                     | Areia fina       | Moderadamente bem selecionada | Assimetria positiva       | Platicuritica |
| STOS12       | 2,874   | 0,604         | 0,198      | 0,792                     | Areia fina       | Moderadamente bem selecionada | Assimetria positiva       | Platicuritica |
| STOS13       | 2,814   | 0,587         | 0,247      | 0,882                     | Areia fina       | Moderadamente bem selecionada | Assimetria positiva       | Platicuritica |
| STOS14       | 2,972   | 0,621         | 0,039      | 0,739                     | Areia fina       | Moderadamente bem selecionada | Aproximadamente simétrica | Platicuritica |
| STOS15       | 2,813   | 0,591         | 0,256      | 0,895                     | Areia fina       | Moderadamente bem selecionada | Assimetria positiva       | Platicuritica |
| STOS16       | 2,757   | 0,559         | 0,262      | 1,037                     | Areia fina       | Moderadamente bem selecionada | Aproximadamente simétrica | Mesocuritica  |
| STOS17       | 2,936   | 0,614         | 0,109      | 0,748                     | Areia fina       | Moderadamente bem selecionada | Assimetria positiva       | Platicuritica |
| STOS18       | 2,753   | 0,56          | 0,267      | 1,067                     | Areia fina       | Moderadamente bem selecionada | Assimetria positiva       | Mesocuritica  |
| STOS19       | 2,962   | 0,613         | 0,086      | 0,744                     | Areia fina       | Moderadamente bem selecionada | Aproximadamente simétrica | Platicuritica |
| STOS20       | 2,987   | 0,616         | 0,022      | 0,738                     | Areia fina       | Moderadamente bem selecionada | Aproximadamente simétrica | Platicuritica |
| STOS21       | 2,899   | 0,61          | 0,161      | 0,763                     | Areia fina       | Moderadamente bem selecionada | Assimetria positiva       | Platicuritica |
| STOS22       | 3,01  | 0,619         | -0,013     | 0,738                     | Areia muito fina | Moderadamente bem selecionada | Aproximadamente simétrica | Platicuritica |
| STOS23       | 3,059   | 0,613         | -0,106     | 0,748                     | Areia muito fina | Moderadamente bem selecionada | Assimetria negativa       | Platicuritica |
| GOES01       | 2,107   | 0,925         | -0,187     | 1,085                     | Areia fina       | Moderadamente selecionada     | Assimetria negativa       | Mesocuritica  |
| GOES02       | 2,272   | 0,785         | -0,201     | 1,492                     | Areia fina       | Moderadamente selecionada     | Assimetria negativa       | Leptocuritica |
| GOES03       | 1,668   | 1,186         | 0,059      | 1,027                     | Areia média      | Pobremente selecionada        | Aproximadamente simétrica | Mesocuritica  |
| GOES04       | 2,197   | 1,025         | -0,217     | 1,152                     | Areia fina       | Pobremente selecionada        | Assimetria negativa       | Leptocuritica |
| GOES05       | 2,173   | 0,967         | -0,228     | 1,242                     | Areia fina       | Moderadamente selecionada     | Assimetria negativa       | Leptocuritica |

**Tabela 2-39. Parâmetros estatísticos de Folk & Ward para amostras de sedimento coletadas na campanha Novembro/2016.**

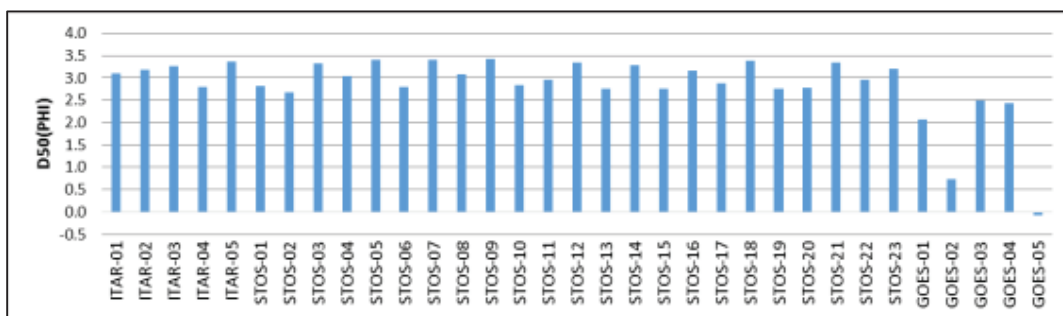
| Perfil Praia | Parâmetros estatísticos de Folk & Ward (1957) |               |            |                           |                  |                               |                           |              |
|--------------|---|---------------|------------|---------------------------|------------------|-------------------------------|---------------------------|--------------|
|              | Folk & Ward ( $\phi$ )                        |               |            | Folk & Ward (Descriptivo) |                  |                               |                           |              |
|              | Média   | Desvio Padrão | Assimetria | Curtose                   | Diâmetro médio   | Desvio Padrão                 | Assimetria                | Curtose      |
| ITAR01       | 3,114   | 0,608         | -0,175     | 0,777                     | Areia muito fina | Moderadamente bem selecionado | Assimetria negativa       | Platicúrtica |
| ITAR02       | 2,676   | 0,51          | 0,247      | 1,116                     | Areia fina       | Moderadamente bem selecionado | Assimetria positiva       | Leptocúrtica |
| ITAR03       | 2,906   | 0,61          | 0,158      | 0,765                     | Areia fina       | Moderadamente bem selecionado | Assimetria positiva       | Platicúrtica |
| ITAR04       | 2,771   | 0,567         | 0,264      | 1                         | Areia fina       | Moderadamente bem selecionado | Assimetria positiva       | Mesocúrtica  |
| ITAR05       | 3,048   | 0,614         | -0,075     | 0,743                     | Areia muito fina | Moderadamente bem selecionado | Aproximadamente simétrica | Platicúrtica |
| STOS01       | 2,87  | 0,603         | 0,201      | 0,796                     | Areia fina       | Moderadamente bem selecionado | Assimetria positiva       | Platicúrtica |
| STOS02       | 2,621   | 0,472         | 0,206      | 1,136                     | Areia fina       | Bem selecionado               | Assimetria positiva       | Leptocúrtica |
| STOS03       | 2,803   | 0,582         | 0,252      | 0,907                     | Areia fina       | Moderadamente bem selecionado | Assimetria positiva       | Mesocúrtica  |
| STOS04       | 3,146   | 0,596         | -0,205     | 0,807                     | Areia muito fina | Moderadamente bem selecionado | Assimetria negativa       | Platicúrtica |
| STOS05       | 3,004   | 0,615         | -0,003     | 0,738                     | Areia muito fina | Moderadamente bem selecionado | Aproximadamente simétrica | Platicúrtica |
| STOS06       | 2,879   | 0,61          | 0,203      | 0,793                     | Areia fina       | Moderadamente bem selecionado | Assimetria positiva       | Platicúrtica |
| STOS07       | 3,161   | 0,593         | -0,218     | 0,826                     | Areia muito fina | Moderadamente bem selecionado | Assimetria negativa       | Platicúrtica |
| STOS08       | 2,936   | 0,615         | 0,12       | 0,75                      | Areia fina       | Moderadamente bem selecionado | Assimetria positiva       | Platicúrtica |
| STOS09       | 2,904   | 0,609         | 0,159      | 0,766                     | Areia fina       | Moderadamente bem selecionado | Assimetria positiva       | Platicúrtica |
| STOS10       | 2,929   | 0,612         | 0,125      | 0,752                     | Areia fina       | Moderadamente bem selecionado | Assimetria positiva       | Platicúrtica |
| STOS11       | 2,986   | 0,648         | -0,064     | 0,738                     | Areia fina       | Moderadamente bem selecionado | Aproximadamente simétrica | Platicúrtica |
| STOS12       | 2,956   | 0,613         | 0,08       | 0,743                     | Areia fina       | Moderadamente bem selecionado | Aproximadamente simétrica | Platicúrtica |
| STOS13       | 3,014   | 0,615         | -0,019     | 0,738                     | Areia muito fina | Moderadamente bem selecionado | Aproximadamente simétrica | Platicúrtica |
| STOS14       | 2,76  | 0,562         | 0,263      | 1,03                      | Areia fina       | Moderadamente bem selecionado | Assimetria positiva       | Mesocúrtica  |
| STOS15       | 2,842   | 0,607         | 0,245      | 0,849                     | Areia fina       | Moderadamente bem selecionado | Assimetria positiva       | Platicúrtica |
| STOS16       | 2,794   | 0,586         | 0,242      | 0,898                     | Areia fina       | Moderadamente bem selecionado | Assimetria positiva       | Platicúrtica |
| STOS17       | 3,041   | 0,614         | -0,065     | 0,741                     | Areia muito fina | Moderadamente bem selecionado | Aproximadamente simétrica | Platicúrtica |
| STOS18       | 3,046   | 0,612         | -0,077     | 0,743                     | Areia muito fina | Moderadamente bem selecionado | Aproximadamente simétrica | Platicúrtica |
| STOS19       | 2,846   | 0,595         | 0,222      | 0,825                     | Areia fina       | Moderadamente bem selecionado | Assimetria positiva       | Platicúrtica |
| STOS20       | 3,118   | 0,605         | -0,173     | 0,777                     | Areia muito fina | Moderadamente bem selecionado | Assimetria negativa       | Platicúrtica |
| STOS21       | 2,904   | 0,609         | 0,158      | 0,766                     | Areia fina       | Moderadamente bem selecionado | Assimetria positiva       | Platicúrtica |
| STOS22       | 3,098   | 0,623         | -0,189     | 0,777                     | Areia muito fina | Moderadamente bem selecionado | Assimetria negativa       | Platicúrtica |
| STOS23       | 2,992   | 0,617         | 0,022      | 0,738                     | Areia fina       | Moderadamente bem selecionado | Aproximadamente simétrica | Platicúrtica |
| GOES01       | 2,043   | 0,941         | -0,153     | 1,03                      | Areia fina       | Moderadamente selecionado     | Assimetria negativa       | Mesocúrtica  |
| GOES02       | 1,956   | 1,101         | -0,295     | 0,966                     | Areia média      | Pobremente selecionado        | Assimetria negativa       | Mesocúrtica  |
| GOES03       | 2,023   | 0,998         | -0,138     | 1,009                     | Areia fina       | Moderadamente selecionado     | Assimetria negativa       | Mesocúrtica  |
| GOES04       | 1,587   | 1,313         | -0,037     | 0,916                     | Areia média      | Pobremente selecionado        | Aproximadamente simétrica | Mesocúrtica  |
| GOES05       | 2,088   | 0,988         | -0,269     | 1,2                       | Areia fina       | Moderadamente selecionado     | Assimetria negativa       | Leptocúrtica |

**Tabela 2-40. Parâmetros estatísticos de Folk & Ward para as amostras de sedimento coletadas na campanha Dezembro/2016.**

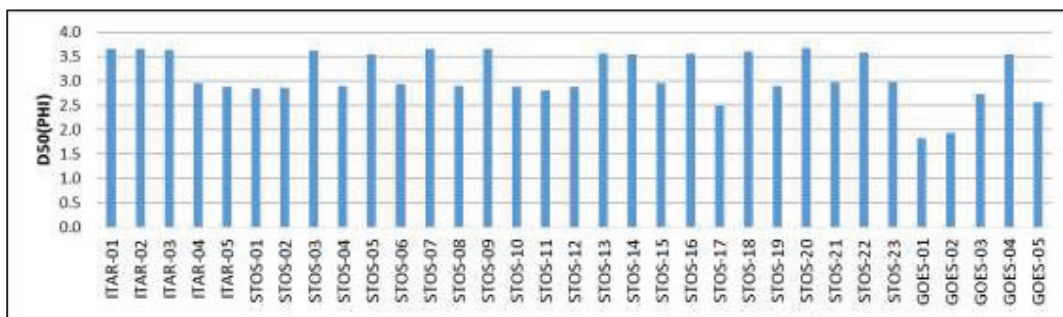
| Perfil Praia | Parâmetros estatísticos de Folk & Ward (1957) |               |            |                           |                  |                               |                           |              |
|--------------|---|---------------|------------|---------------------------|------------------|-------------------------------|---------------------------|--------------|
|              | Folk & Ward ( $\phi$ )                        |               |            | Folk & Ward (Descriptivo) |                  |                               |                           |              |
|              | Média   | Desvio Padrão | Assimetria | Curtose                   | Diâmetro médio   | Desvio Padrão                 | Assimetria                | Curtose      |
| ITAR01       | 2,767   | 0,566         | 0,266      | 1,017                     | Areia fina       | Moderadamente bem selecionado | Assimetria positiva       | Mesocurtica  |
| ITAR02       | 2,744   | 0,554         | 0,269      | 1,089                     | Areia fina       | Moderadamente bem selecionado | Assimetria positiva       | Mesocurtica  |
| ITAR03       | 2,781   | 0,582         | 0,276      | 0,997                     | Areia fina       | Moderadamente bem selecionado | Assimetria positiva       | Mesocurtica  |
| ITAR04       | 2,876   | 0,609         | 0,206      | 0,796                     | Areia fina       | Moderadamente bem selecionado | Assimetria positiva       | Platicurtica |
| ITAR05       | 2,772   | 0,571         | 0,271      | 1,014                     | Areia fina       | Moderadamente bem selecionado | Assimetria positiva       | Mesocurtica  |
| STOS01       | 2,725   | 0,545         | 0,268      | 1,103                     | Areia fina       | Moderadamente bem selecionado | Assimetria positiva       | Mesocurtica  |
| STOS02       | 2,737   | 0,55          | 0,269      | 1,095                     | Areia fina       | Moderadamente bem selecionado | Assimetria positiva       | Mesocurtica  |
| STOS03       | 2,933   | 0,616         | 0,127      | 0,752                     | Areia fina       | Moderadamente bem selecionado | Assimetria positiva       | Platicurtica |
| STOS04       | 2,954   | 0,625         | 0,112      | 0,747                     | Areia fina       | Moderadamente bem selecionado | Assimetria positiva       | Platicurtica |
| STOS05       | 2,941   | 0,615         | 0,109      | 0,748                     | Areia fina       | Moderadamente bem selecionado | Assimetria positiva       | Platicurtica |
| STOS06       | 2,99  | 0,621         | 0,036      | 0,738                     | Areia fina       | Moderadamente bem selecionado | Aproximadamente simétrica | Platicurtica |
| STOS07       | 3,048   | 0,616         | -0,075     | 0,743                     | Areia muito fina | Moderadamente bem selecionado | Aproximadamente simétrica | Platicurtica |
| STOS08       | 3,129   | 0,605         | -0,181     | 0,784                     | Areia muito fina | Moderadamente bem selecionado | Assimetria negativa       | Platicurtica |
| STOS09       | 3,106   | 0,61          | -0,153     | 0,766                     | Areia muito fina | Moderadamente bem selecionado | Assimetria negativa       | Platicurtica |
| STOS10       | 2,817   | 0,589         | 0,248      | 0,88                      | Areia fina       | Moderadamente bem selecionado | Assimetria positiva       | Platicurtica |
| STOS11       | 3,059   | 0,618         | -0,088     | 0,745                     | Areia muito fina | Moderadamente bem selecionado | Aproximadamente simétrica | Platicurtica |
| STOS12       | 2,933   | 0,617         | 0,115      | 0,75                      | Areia fina       | Moderadamente bem selecionado | Assimetria positiva       | Platicurtica |
| STOS13       | 2,938   | 0,615         | 0,114      | 0,749                     | Areia fina       | Moderadamente bem selecionado | Assimetria positiva       | Platicurtica |
| STOS14       | 2,917   | 0,615         | 0,149      | 0,76                      | Areia fina       | Moderadamente bem selecionado | Assimetria positiva       | Platicurtica |
| STOS15       | 2,807   | 0,594         | 0,244      | 0,883                     | Areia fina       | Moderadamente bem selecionado | Assimetria positiva       | Platicurtica |
| STOS16       | 3,011   | 0,616         | -0,012     | 0,738                     | Areia muito fina | Moderadamente bem selecionado | Aproximadamente simétrica | Platicurtica |
| STOS17       | 3,03  | 0,614         | -0,05      | 0,74                      | Areia muito fina | Moderadamente bem selecionado | Aproximadamente simétrica | Platicurtica |
| STOS18       | 2,849   | 0,599         | 0,222      | 0,822                     | Areia fina       | Moderadamente bem selecionado | Assimetria positiva       | Platicurtica |
| STOS19       | 2,948   | 0,62          | 0,104      | 0,746                     | Areia fina       | Moderadamente bem selecionado | Assimetria positiva       | Platicurtica |
| STOS20       | 2,868   | 0,604         | 0,202      | 0,797                     | Areia fina       | Moderadamente bem selecionado | Assimetria positiva       | Platicurtica |
| STOS21       | 2,902   | 0,612         | 0,171      | 0,77                      | Areia fina       | Moderadamente bem selecionado | Assimetria positiva       | Platicurtica |
| STOS22       | 3,027   | 0,624         | -0,037     | 0,739                     | Areia muito fina | Moderadamente bem selecionado | Aproximadamente simétrica | Platicurtica |
| STOS23       | 3,099   | 0,614         | -0,143     | 0,762                     | Areia muito fina | Moderadamente bem selecionado | Assimetria negativa       | Platicurtica |
| GOES01       | 2,143   | 0,932         | -0,168     | 1,106                     | Areia fina       | Moderadamente selecionado     | Assimetria negativa       | Mesocurtica  |
| GOES02       | 2,341   | 0,953         | -0,122     | 1,164                     | Areia fina       | Moderadamente selecionado     | Assimetria negativa       | Leptocurtica |
| GOES03       | 2,932   | 0,641         | 0,051      | 0,741                     | Areia fina       | Moderadamente bem selecionado | Aproximadamente simétrica | Platicurtica |
| GOES04       | 2,966   | 0,615         | 0,068      | 0,741                     | Areia fina       | Moderadamente bem selecionado | Aproximadamente simétrica | Platicurtica |
| GOES05       | 2,528   | 1,08          | -0,236     | 1,278                     | Areia fina       | Pobremente selecionado        | Assimetria negativa       | Leptocurtica |



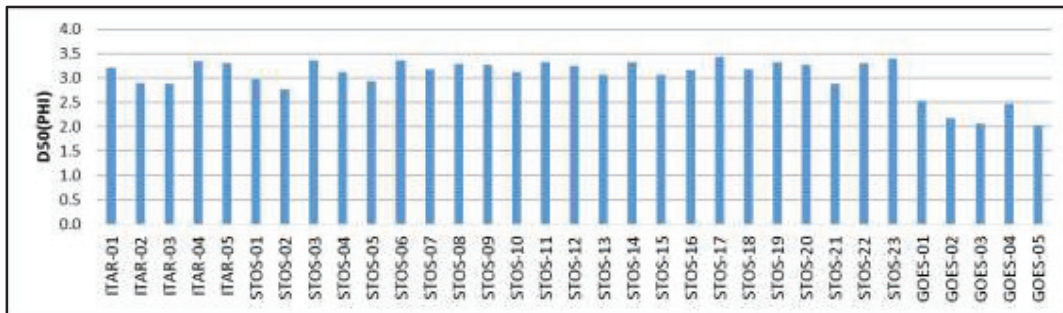
**Figura 2-102.** Diâmetro mediano para as diferentes amostras analisadas na campanha Agosto/2015.



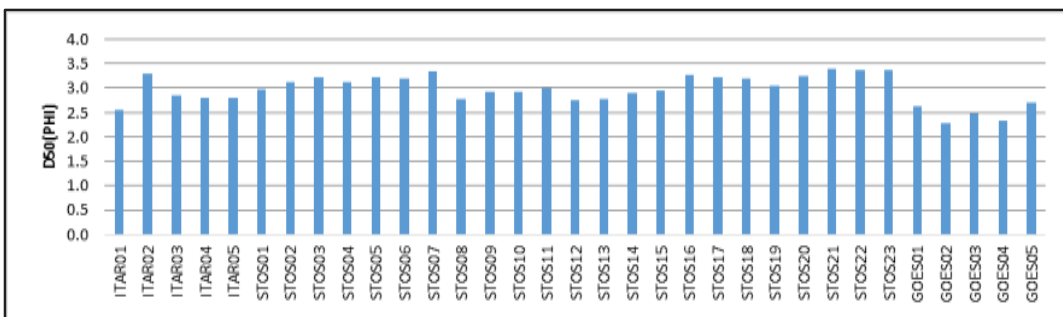
**Figura 2-103.** Diâmetro mediano para as diferentes amostras analisadas na campanha Setembro/2015.



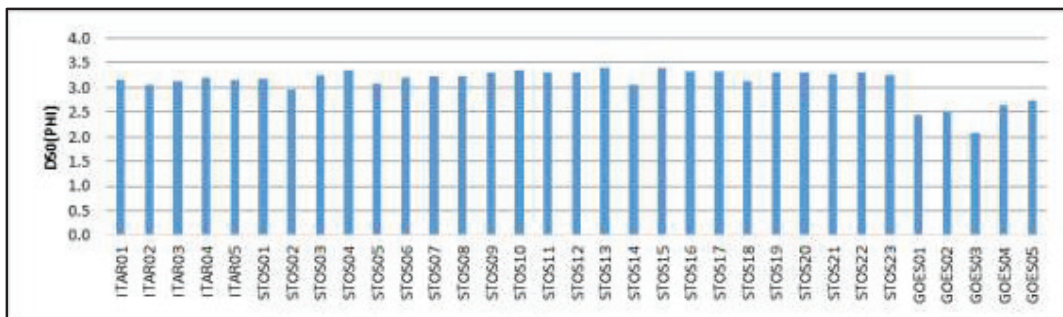
**Figura 2-104.** Diâmetro mediano para as diferentes amostras analisadas na campanha Outubro/2015.



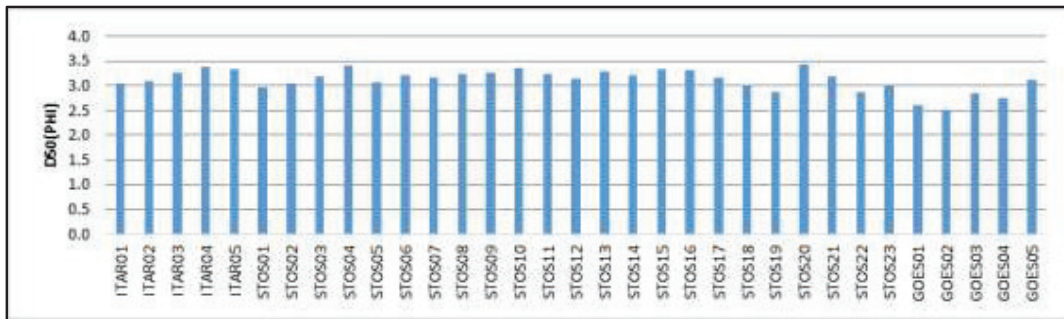
**Figura 2-105.** Diâmetro mediano para as diferentes amostras analisadas na campanha Novembro/2015.



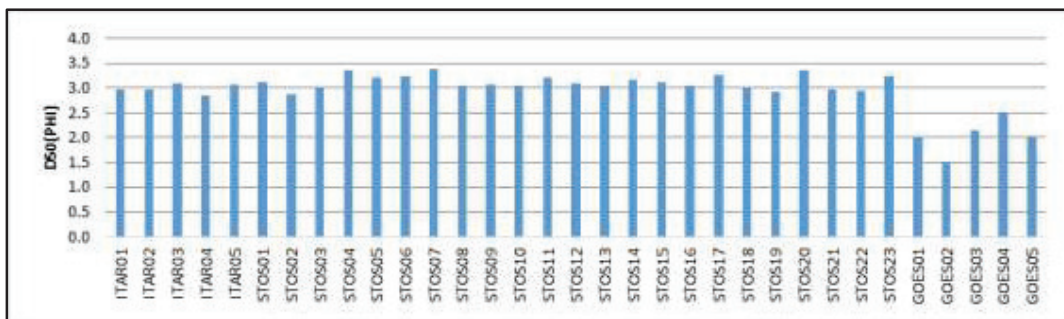
**Figura 2-106.** Diâmetro mediano para as diferentes amostras analisadas na campanha Dezembro/2015.



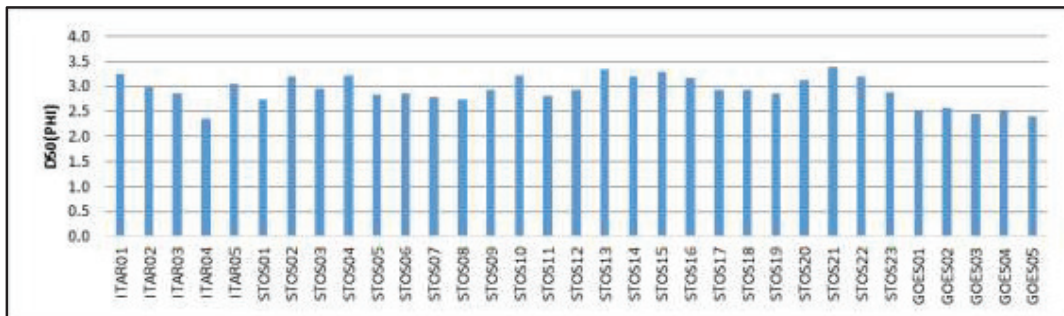
**Figura 2-107.** Diâmetro mediano para as diferentes amostras analisadas na campanha Janeiro/2016.



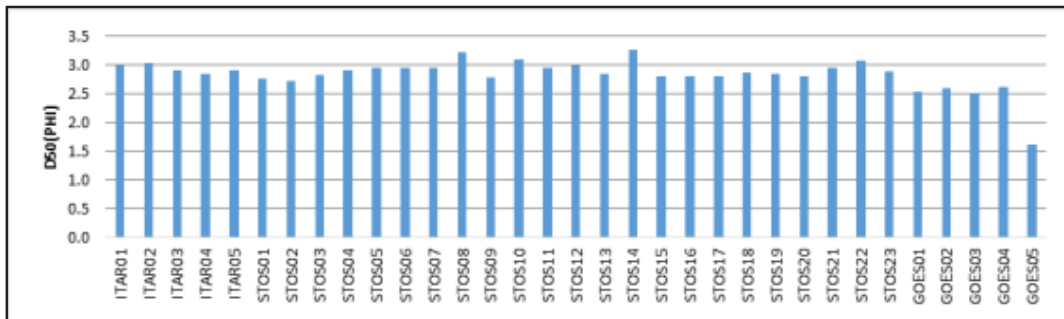
**Figura 2-108. Diâmetro mediano para as diferentes amostras analisadas na campanha Fevereiro/2016.**



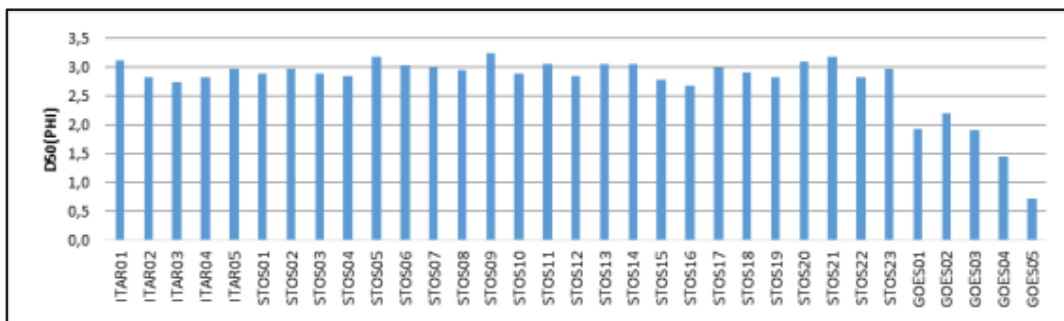
**Figura 2-109. Diâmetro mediano para as diferentes amostras analisadas na campanha Março/2016.**



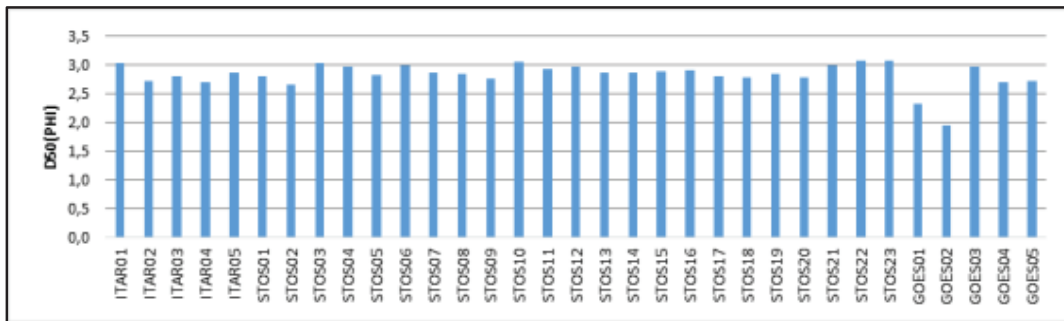
**Figura 2-110. Diâmetro mediano para as diferentes amostras analisadas na campanha Abril/2016.**



**Figura 2-111. Diâmetro mediano para as diferentes amostras analisadas na campanha Maio/2016.**

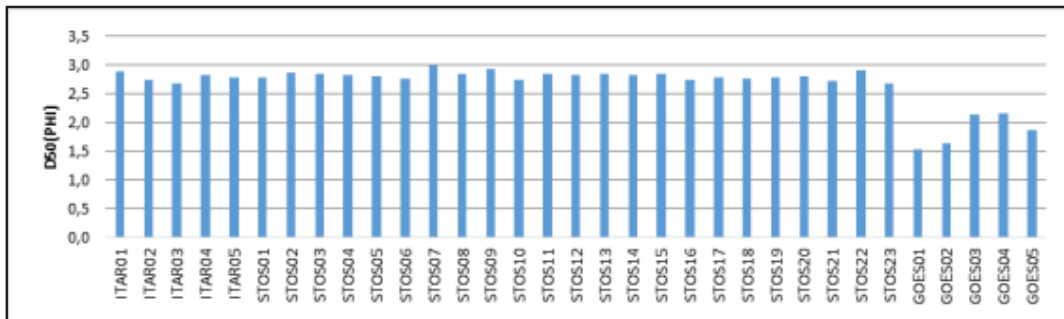


**Figura 2-112. Diâmetro mediano para as diferentes amostras analisadas na campanha Junho/2016.**

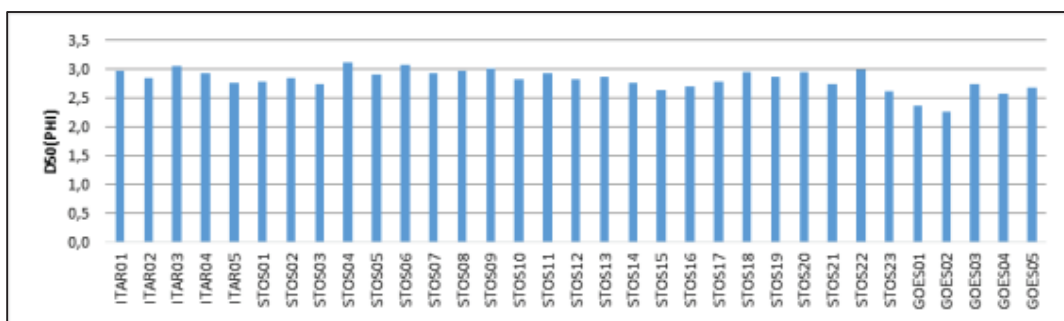


**Figura 2-113. Diâmetro mediano para as diferentes amostras analisadas na campanha Julho/2016.**

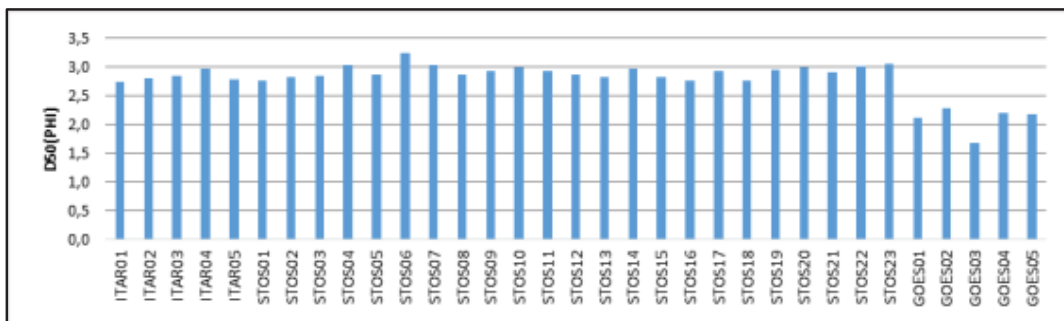




**Figura 2-114. Diâmetro mediano para as diferentes amostras analisadas na campanha Agosto/2016.**

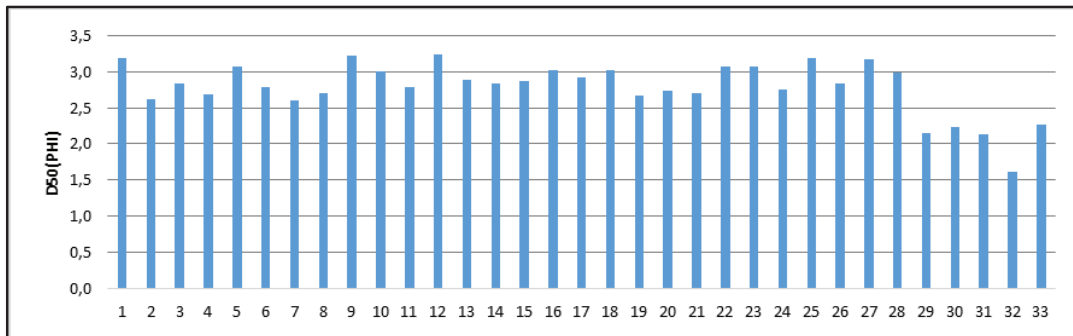


**Figura 2-115. Diâmetro mediano para as diferentes amostras analisadas na campanha Setembro/2016.**

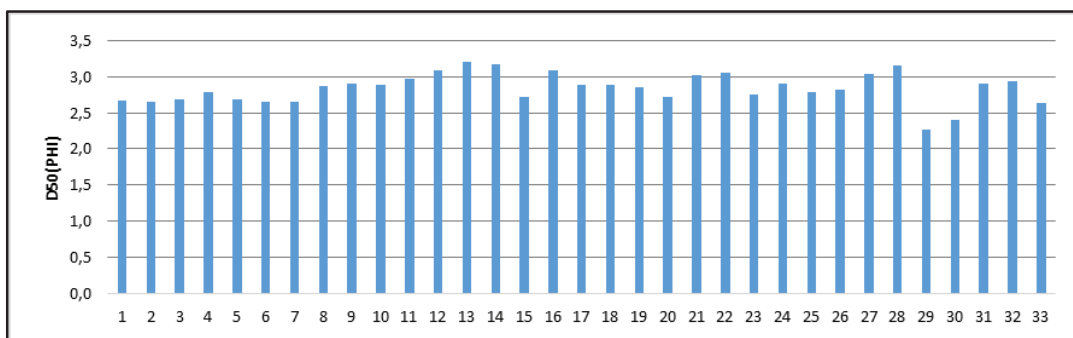


**Figura 2-116. Diâmetro mediano para as diferentes amostras analisadas na campanha Outubro/2016.**





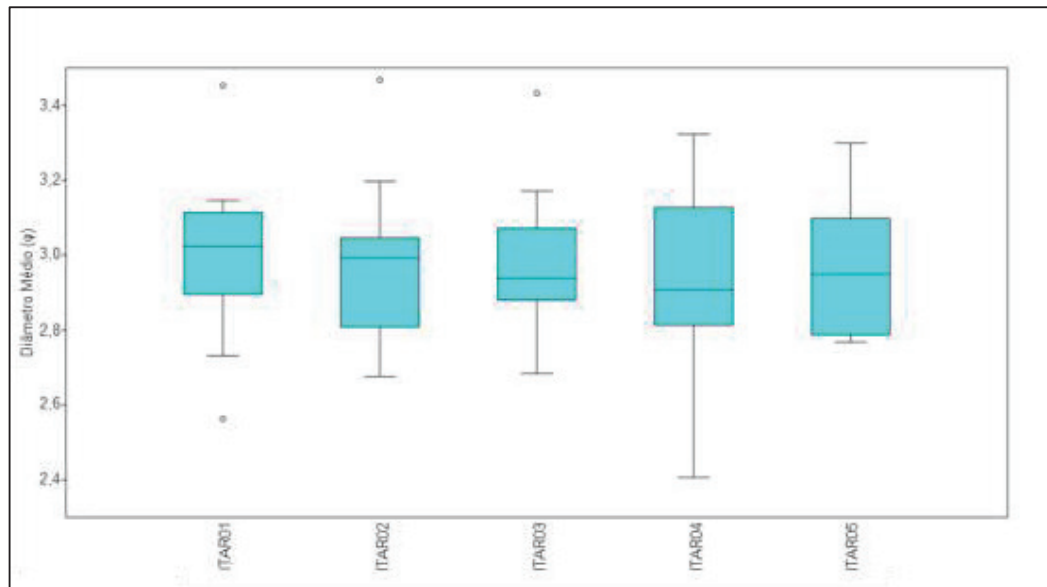
**Figura 2-117.** Diâmetro mediano para as diferentes amostras analisadas na campanha Novembro/2016.



**Figura 2-118.** Diâmetro mediano para as diferentes amostras analisadas na campanha Dezembro/2016.

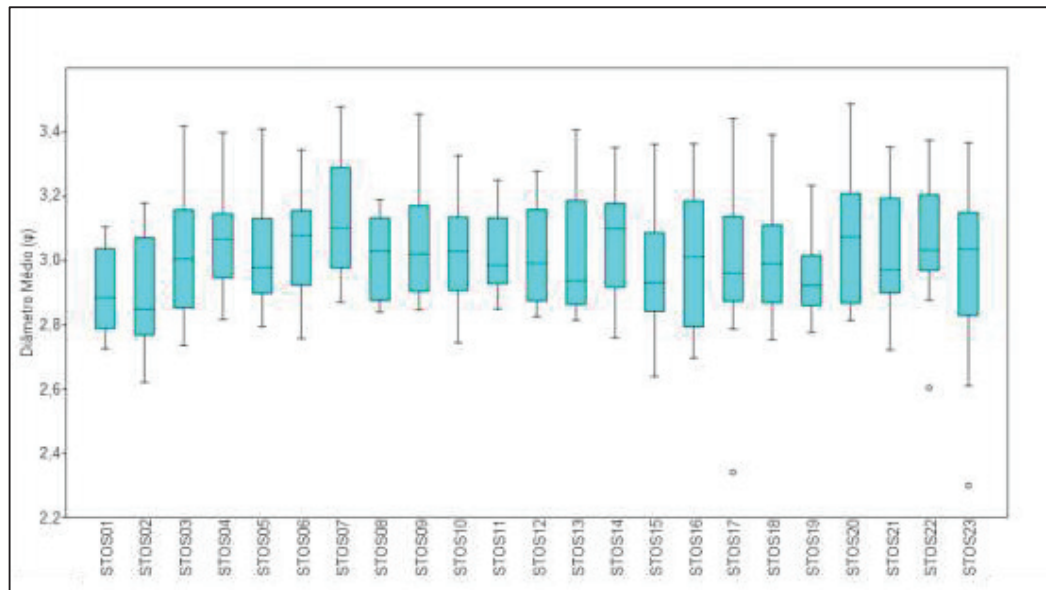
Para cada arco praial foi efetuada uma análise da variabilidade granulométrica ao longo do tempo. As Figuras **Figura 2-119** a **Figura 2-121** apresentam gráficos do tipo box-plot (mediana, 1 e 2 desvios padrão e “outliers”) do diâmetro médio em cada um dos arcos.

Para a praia de Itararé (**Figura 2-119**) as medianas dos diâmetros médios oscilam entre 2,8 e 3,0 φ e, de uma maneira geral, a distribuição encontra-se no limite entre areias finas e muito finas, ainda que ocorram meses em que os valores de diâmetros médios (sedimentos mais finos) tenham sido mais altos para os perfis ITAR01, ITAR02 e ITAR03 e, em um mês tenha ocorrido amostra mais grossa, em ITAR01. Entretanto, nem mesmo os “outliers” apresentaram diâmetro médio distinto de areia fina ou muito fina.



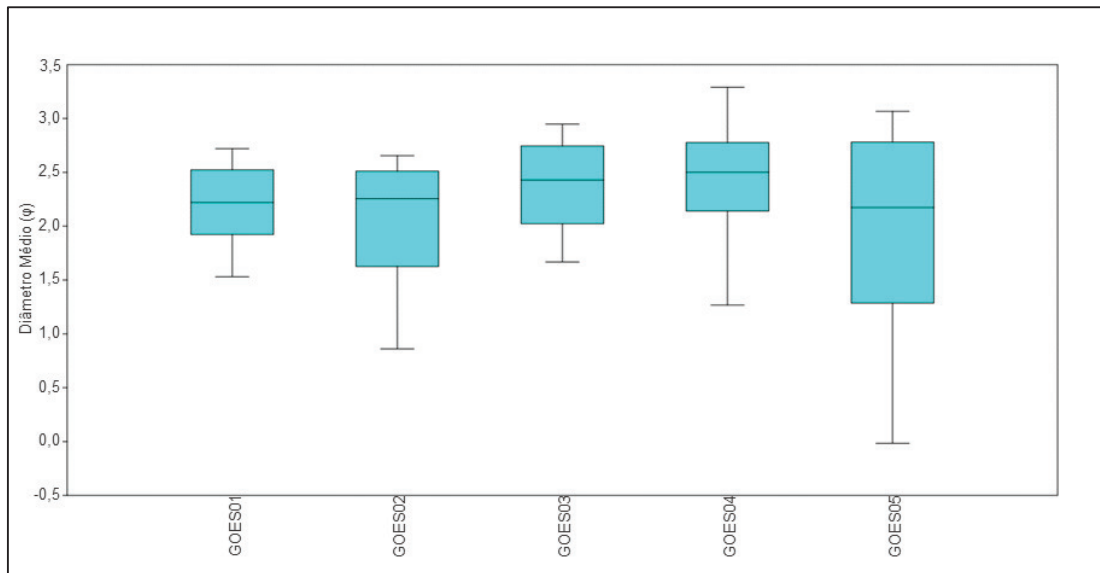
**Figura 2-119.** Gráfico do tipo box-plot (mediana, 1 e 2 desvios-padrão e outliers) da variação temporal de diâmetros médios dos sedimentos do arco praial de Itararé.

Para o arco praial de Santos (**Figura 2-120**) ocorreu situação bastante semelhante, com mediana dos diâmetros médios oscilando entre 2,8 e 3,1  $\phi$ . “Outliers” ocorreram exclusivamente com sedimentos mais grossos, nos perfis STOS17, STOS22 e STOS23.



**Figura 2-120. Gráfico do tipo box-plot (mediana, 1 e 2 desvios-padrão e outliers) da variação temporal de diâmetros médios dos sedimentos do arco praial de Santos.**

Com relação à Praia do Goes (**Figura 2-121**), observa-se relativa homogeneidade das medianas, entre 2,0 e 2,5  $\phi$ , ainda que haja uma maior variabilidade granulométrica dentro de cada perfil. Não foram observados “outliers” (amostras com diâmetros médios excedendo os 95% da mediana)



**Figura 2-121. Gráfico do tipo box-plot (mediana, 1 e 2 desvios-padrão e outliers) da variação temporal de diâmetros médios dos sedimentos do arco praial do Góes.**

Visando reconhecer mudanças laterais significativas, para cada arco praial foi efetuada uma Análise de Variância Não-Paramétrica (Kruskal-Wallis) e, em nenhuma das áreas houve variação significativa (intervalo de confiança de 95%), entre os perfis, quando comparada com a variabilidade dentro de cada perfil.

Desta forma, pode-se afirmar que, para cada arco praial, os sedimentos pertencem a uma mesma população granulométrica.

#### **2.2.5 Caracterização das células de deriva litorânea**

Pelo uso de conceitos de transporte residual de sedimentos, com base na granulometria (Gao & Collins, 2001), chegou-se à definição de vetores de transporte para todos os meses levantados (**Tabela 2-41 a Tabela 2-43**)

Tabela 2-41. Tendência residual de transporte, para o arco praial do Góes. As setas indicam o sentido preferencial de transporte, com base nos dados de granulometria.

|        | GOES01 | GOES02 | GOES03 | GOES04 | GOES05    |
|--------|--------|--------|--------|--------|-----------|
| ago/15 | →      |        |        |        |           |
| set/15 |        | ↔      |        | →      |           |
| out/15 |        | →      | →      |        |           |
| nov/15 |        |        | ↔      | ↔      |           |
| dez/15 |        |        |        |        | Não houve |
| jan/16 |        | ↖      |        | ↗      |           |
| fev/16 |        | ↖      |        | ↗      | ↗         |
| mar/16 | ↖      |        | ↗      |        |           |
| abr/16 | ↖      |        |        |        |           |
| mai/16 |        |        |        |        | Não houve |
| jun/16 | ↖      | ↖      |        | ↔      |           |
| jul/16 |        |        | ↖      |        |           |
| ago/16 |        | ↖      |        | ↗↖     |           |
| set/16 | ↖      |        |        | ↖      |           |
| out/16 |        | ↗↖     |        | ↗      |           |
| nov/16 |        |        | ↖      |        | ↗         |
| dez/16 |        |        |        |        | Não houve |

Tabela 2-42. Tendência residual de transporte, para o arco praial de Itararé (Itararé – Emissário). As setas indicam o sentido preferencial de transporte, com base nos dados de granulometria.

|        | ITAR01 | ITAR02 | ITAR03 | ITAR04 | ITAR05 | STOS01 | STOS02 |
|--------|--------|--------|--------|--------|--------|--------|--------|
| ago/15 | →      |        | ↑      | →      |        | →      |        |
| set/15 | →      | →      |        | ↔↔     |        | →      | →      |
| out/15 |        |        | ↑      | ↔↔     |        |        | ↔↔     |
| nov/15 |        | ↔↔     | →      |        | ↖      | →      | →      |
| dez/15 |        |        |        |        |        |        |        |
| jan/16 |        | ↔↔     |        | ↔↔     |        | ↖      |        |
| fev/16 |        | →      | →      | →      |        |        |        |
| mar/16 |        |        | →↖     | ↖      |        | ↖      |        |
| abr/16 | ↖      |        | →      |        | →      | ↖      |        |
| mai/16 |        | →↖     |        |        |        | →      |        |
| jun/16 |        | →      | →↖     | ↖      |        |        |        |
| jul/16 |        | →↖     |        | →↖     |        | →      |        |
| ago/16 |        |        | ↑      |        | →      | ↖      |        |
| set/16 |        | ↖      | ↖      |        | →      | ↖      |        |
| out/16 | ↖      | ↖      | ↖      |        | →      | ↖      | ↖      |
| nov/16 |        | ↖      | →      | ↖      | →      |        |        |
| dez/16 |        |        | ↖      | →      |        |        | ↖      |

**Tabela 2-43.** Tendência residual de transporte, para o arco praial de Santos (Emissário – Ponta da Praia). As setas indicam o sentido preferencial de transporte, com base nos dados de granulometria. As barras duplas azuis indicam a posição dos canais.

|           | STOS03 | STOS04 | STOS05 | STOS06 | STOS07 | STOS08 | STOS09 | STOS10 | STOS11 | STOS12 | STOS13 | STOS14 | STOS15 | STOS16 | STOS17 | STOS18 | STOS19 | STOS20 | STOS21 | STOS22 | STOS23 |
|-----------|--------|--------|--------|--------|--------|--------|--------|--------|--------|--------|--------|--------|--------|--------|--------|--------|--------|--------|--------|--------|--------|
| Ago/2015  | ↔→     | →      | ↑      | ↑↓     | ↑↓     | ↑↓     | ↑↓     | ↑↓     | ↑↓     | ↑↓     | ↑↓     | ↑↓     | ↑↓     | ↑↓     | ↑↓     | ↑↓     | ↑↓     | ↑↓     | ↑↓     | ↑↓     | ↑↓     |
| Set/2015  | ↔→     | ↔→     | ↑↓     | ↑↓     | ↑↓     | ↑↓     | ↑↓     | ↑↓     | ↑↓     | ↑↓     | ↑↓     | ↑↓     | ↑↓     | ↑↓     | ↑↓     | ↑↓     | ↑↓     | ↑↓     | ↑↓     | ↑↓     | ↑↓     |
| Out/2015  | ↓      | ↓      | ↑↓     | ↑↓     | ↑↓     | ↑↓     | ↑↓     | ↑↓     | ↑↓     | ↑↓     | ↑↓     | ↑↓     | ↑↓     | ↑↓     | ↑↓     | ↑↓     | ↑↓     | ↑↓     | ↑↓     | ↑↓     | ↑↓     |
| Nov/2015  | ↓      | ↓      | ↑↓     | ↑↓     | ↑↓     | ↑↓     | ↑↓     | ↑↓     | ↑↓     | ↑↓     | ↑↓     | ↑↓     | ↑↓     | ↑↓     | ↑↓     | ↑↓     | ↑↓     | ↑↓     | ↑↓     | ↑↓     | ↑↓     |
| Dez/2015  |        |        |        |        |        |        |        |        |        |        |        |        |        |        |        |        |        |        |        |        |        |
| Jan/2016  | ↑↓     | ↑↓     | ↑↓     | ↑↓     | ↑↓     | ↑↓     | ↑↓     | ↑↓     | ↑↓     | ↑↓     | ↑↓     | ↑↓     | ↑↓     | ↑↓     | ↑↓     | ↑↓     | ↑↓     | ↑↓     | ↑↓     | ↑↓     | ↑↓     |
| Fev/2016  | ↑      | ↑      | ↑↓     | ↑↓     | ↑↓     | ↑↓     | ↑↓     | ↑↓     | ↑↓     | ↑↓     | ↑↓     | ↑↓     | ↑↓     | ↑↓     | ↑↓     | ↑↓     | ↑↓     | ↑↓     | ↑↓     | ↑↓     | ↑↓     |
| Mar/2016  | ↑↓     | ↑↓     | ↑↓     | ↑↓     | ↑↓     | ↑↓     | ↑↓     | ↑↓     | ↑↓     | ↑↓     | ↑↓     | ↑↓     | ↑↓     | ↑↓     | ↑↓     | ↑↓     | ↑↓     | ↑↓     | ↑↓     | ↑↓     | ↑↓     |
| Abr/2016  | ↓      | ↓      | ↑↓     | ↑↓     | ↑↓     | ↑↓     | ↑↓     | ↑↓     | ↑↓     | ↑↓     | ↑↓     | ↑↓     | ↑↓     | ↑↓     | ↑↓     | ↑↓     | ↑↓     | ↑↓     | ↑↓     | ↑↓     | ↑↓     |
| Mai/2016  | ↑↓     | ↑↓     | ↑↓     | ↑↓     | ↑↓     | ↑↓     | ↑↓     | ↑↓     | ↑↓     | ↑↓     | ↑↓     | ↑↓     | ↑↓     | ↑↓     | ↑↓     | ↑↓     | ↑↓     | ↑↓     | ↑↓     | ↑↓     | ↑↓     |
| Jun/2016  | ↑      | ↑↓     | ↑↓     | ↑↓     | ↑↓     | ↑↓     | ↑↓     | ↑↓     | ↑↓     | ↑↓     | ↑↓     | ↑↓     | ↑↓     | ↑↓     | ↑↓     | ↑↓     | ↑↓     | ↑↓     | ↑↓     | ↑↓     | ↑↓     |
| Juli/2016 | ↓      | ↑↓     | ↑↓     | ↑↓     | ↑↓     | ↑↓     | ↑↓     | ↑↓     | ↑↓     | ↑↓     | ↑↓     | ↑↓     | ↑↓     | ↑↓     | ↑↓     | ↑↓     | ↑↓     | ↑↓     | ↑↓     | ↑↓     | ↑↓     |
| Ago/2016  | →      | ↔→     | ↑↓     | ↑↓     | ↑↓     | ↑↓     | ↑↓     | ↑↓     | ↑↓     | ↑↓     | ↑↓     | ↑↓     | ↑↓     | ↑↓     | ↑↓     | ↑↓     | ↑↓     | ↑↓     | ↑↓     | ↑↓     | ↑↓     |
| Set/2016  | ↓      | ↓      | ↓      | ↓      | ↓      | ↓      | ↓      | ↓      | ↓      | ↓      | ↓      | ↓      | ↓      | ↓      | ↓      | ↓      | ↓      | ↓      | ↓      | ↓      | ↓      |
| Out/2016  | ↓      | ↓      | ↓      | ↓      | ↓      | ↓      | ↓      | ↓      | ↓      | ↓      | ↓      | ↓      | ↓      | ↓      | ↓      | ↓      | ↓      | ↓      | ↓      | ↓      | ↓      |
| Nov/2016  | ↓      | ↓      | ↓      | ↓      | ↓      | ↓      | ↓      | ↓      | ↓      | ↓      | ↓      | ↓      | ↓      | ↓      | ↓      | ↓      | ↓      | ↓      | ↓      | ↓      | ↓      |
| Dez/2016  | ↑      | ↑      | ↑      | ↑      | ↑      | ↑      | ↑      | ↑      | ↑      | ↑      | ↑      | ↑      | ↑      | ↑      | ↑      | ↑      | ↑      | ↑      | ↑      | ↑      | ↑      |

Ao observar as **Tabela 2-41**, **Tabela 2-42** e **Tabela 2-43**, nota-se uma constante migração das células de deriva, especialmente para o arco praial de Santos, sem um padrão específico. No entanto, é possível observar uma tendência de transporte nos perfis GOES01 e GOES02 à esquerda e uma tendência de transporte convergente entre os perfis ITAR05 e STOS01.

### 2.2.6 Alimentação Artificial

Em dezembro de 2016 foram fornecidos, pela Prefeitura Municipal de Santos, dados referentes à alimentação artificial das praias do Embaré, Aparecida e Ponta da Praia, com areia retirada dos canais 1, 2 e 3 e, em uma única oportunidade, do Canal 4 (**Anexo 04**). O total de areia transportada correspondeu a 11.329 m<sup>3</sup> sem que houvesse uma tendência clara entre origem e destino, ou seja, por exemplo, a areia destinada à Ponta da Praia poderia ser originada de qualquer fonte.

A praia do Embaré recebeu 3.274 m<sup>3</sup> de areia, a Praia de Aparecida recebeu 5.780 m<sup>3</sup> de areia e a Ponta da Praia recebeu 2.275 m<sup>3</sup>.

### 2.3 Considerações Finais

Sistemas costeiros são ambientes dinâmicos, cuja variabilidade espacial e temporal depende de processos climáticos (escala decadal) e meteorológicos (escala sazonal ou anual) cuja origem pode ou não se encontrar na zona de ação direta das forçantes oceanográficas. Assim, modificações na pluviosidade regional ou alterações no comportamento das massas de ar no oceano podem levar a variações no aporte de sedimentos, no primeiro caso, ou a uma mudança no ângulo de ataque das ondas, no segundo. Some-se a isso uma intensa e crescente atividade antrópica sobre o litoral, que cria demandas de espaço e modificações forçadas da linha de costa. O caso das praias da região de Santos, neste aspecto, é emblemático no que diz respeito à interação entre forçantes naturais e antrópicas.

As variações observadas, na maior parte dos compartimentos, durante o período abrangido por este relatório, estão associadas à dinâmica das ondas que afeta o litoral paulista, sendo que os eventos meteorológicos de alta magnitude

(ressacas) foram os principais responsáveis pelos maiores processos de remobilização de sedimentos.

De uma maneira geral, a maior mobilidade sedimentar concentrou-se nos trechos mais a leste do arco praial de Santos, com uma tendência à erosão mais marcada nos perfis STOS22 e STOS23 (Ponta da Praia). Cabe destacar que é justamente a área leste que recebe alimentação artificial, de forma que caracteriza-se, aí um problema, no qual, mesmo recebendo areia de fonte alóctone, o trecho não mantém estabilidade sedimentar.

As tendências atuais de mitigação de erosão em zonas costeiras apontam no sentido de utilização das chamadas soluções "soft", uma vez que as denominadas "obras duras" (molhes, guias corrente, fixação por rochas ou concreto) apresentam problemas de alto custo e estéticos questionáveis, além de frequentemente causar erosão em outros setores do arco praial (Hedge, 2010). Soluções do tipo geotêxteis, alimentação artificial, plantio, cercas e recifes artificiais têm se mostrado muito mais eficientes e de boa relação custo-benefício. Essas medidas têm encontrado cada vez mais aceitação em países onde a erosão costeira é severa, tais como na China (Luo *et al.*, 2015) e em diversos países europeus (Semeochenkova & Newton, 2015).

No Brasil, a utilização das chamadas "obras duras" teve consequências devastadoras para a dinâmica costeira, como observado nos casos das cidades do Recife (PE) (Oliveira *et al.*, 2015), em cidades do Ceará (Barra & Vascolcelos, 2014; Pinheiro *et al.*, 2016) e em Vitória (ES) Albino *et al.* (2016).

Neste sentido e, dadas as tendências mais modernas para a proteção da linha de costa, como recomendações para uma tentativa de contenção dos processos erosivos, propõem-se as seguintes medidas:

- Gestões junto à Prefeitura de Santos para que toda a areia retirada dos canais 1, 2 e 3 seja destinada ao Setor Ponta da Praia, especialmente a partir do perfil STOS23 (coordenadas acima), em direção ao mar e em direção à Ponta da Praia. A areia deverá ser depositada e,



preferencialmente espalhada, visando aumentar a largura e altura do trecho;

- Gestões junto aos demais partícipes, públicos e privados, envolvidos com a atividade portuária, para o desenvolvimento de um programa emergencial de alimentação artificial, com areia de tamanho adequado (areia média, entre 0,250 e 0,500 mm);
- Gestões junto aos órgãos ambientais para a instalação emergencial de sistemas atenuadores de ondas, do tipo “geotubo” ou “geobag”. Citam-se, a título de exemplo, os produtos Quinitube Hidro ® (<http://www.quinimar.pt/pt/quinitube.htm>) e Quiniflex ® (<http://www.quinimar.pt/pt/quiniflex.htm>), ou ainda Geotube ® (<http://www.tencate.com/amer/water-and-environment/applications/breakwaters/default.aspx>);
- Monitoramento contínuo da morfologia praial, antes, durante e depois das atividades emergenciais.

### **3 REFERÊNCIA BIBLIOGRÁFICA**

ALBINO, J., Conti Neto, N., Oliveira, T.C.A. The beaches of Espírito Santo. In: Short, A. & Klein, A.H.F. (eds) Brazilian Beach Systems. Springer, p. 333-361

AMARAL, A.C.Z.; NALLIN, S. A.H. 2011. Biodiversidade e ecossistemas marinhos do Litoral Norte de São Paulo, Sudeste do Brasil. Campinas, SP: UNICAMP.

APG II – Angiosperm Phylogeny Group. 2003. An update of the Angiosperm Phylogeny Group classification for the orders and families of flowering plants. Botanical Journal of the Linnean Society, v. 141, p. 399-436.

BARRA, O.A.O.L., Vasconcelos, F.P. 2014. Alterações na morfologia praial por ações antropogênicas: estudo de caso dp terminal marítimo de passageiros na Praia mansa, Fortaleza (CE). Revista Geonorte, 10, 17-21

BLOTT, S.J., Pye, K. 2001. GRADISTAT: a grain size distribution and statistics package for the analysis of unconsolidated sediments. Earth Surface Processes and Landforms, 26, 1237-1248.



COMPANHIA ESTADUAL DE SANEAMENTO AMBIENTAL - CETESB. 1988.  
Estudo dos Manguezais da Baixada Santista. Relatório Final. São Paulo, 70p.  
(Relatório Técnico).

COMPANHIA ESTADUAL DE SANEAMENTO AMBIENTAL - CETESB. 1991.  
Avaliação do estado de degradação dos ecossistemas da Baixada Santista – SP.  
CETESB, São Paulo, Brasil: 32p.

CUNHA-LIGNON, M., 2006. Variação espaço-temporal de bosques de mangue.  
In: Anais do III Simpósio Regional de Geoprocessamento e Sensoriamento  
Remoto. Aracaju, SE.

DTA ENGENHARIA. 2011. Regularização Ambiental do Porto Organizado de  
Santos. São Paulo: Estudo Ambiental.

FOLK, R. L., Ward, W. C. 1957. Brazos River bar: a study in the significance of  
grain size parameters. Journal of Sedimentary Petrology, 27, 3-26.

FUNDESPA, 2010. Relatório Técnico Semestral do Plano Básico Ambiental da  
Dragagem de Aprofundamento do Porto de Santos - RTS – 0618- 140910. 1447p.

GAO, S., Collins, M.B. 2001. The use of grain size trends in marine sediment  
dynamics: A review. Chinese Journal of Oceanology and Limnologyl, 19, 265-271.

GIRARDI, A.C.S. Subsídios metodológicos para o planejamento e gestão de  
restingas estudo de caso - Bertioga (SP). Dissertação de Mestrado. USP. São  
Paulo; 2001.

HEDGE, A.V. 2010. Coastal erosion and mitigation methods - Global state of art.  
Indian Journal of Geo-Marine Sciences, 39, 521-530

IBGE. 1991. Manual técnico da vegetação brasileira. Série manuais técnicos em  
geociências. Instituto Brasileiro de Geografia e Estatística. DEDIT/CDDI, Rio de  
Janeiro.

IUCN. 2015. A Lista Vermelha de Espécies Ameaçadas da IUCN. Versão 2015,2.

LEITÃO FILHO, H.F. 1993. Ecologia da Mata Atlântica em Cubatão (SP). São Paulo, Ed. Universidade Estadual Paulista; Campinas, Universidade Estadual de Campinas. 184 p.

LUO, S., Cai, F., Liu, H., Lei, G., Qi, H., Su, X. Adaptive measures adopted for risk reduction of coastal erosion in the People's Republic of China. *Ocean & Coastal Management*, 103, 134-145

MMA, Ministério do Meio Ambiente. 2010. Mata Atlântica: patrimônio nacional dos brasileiros. Secretaria de Biodiversidade e Florestas. Núcleo Mata Atlântica e Pampa. Brasília. Série Biodiversidade, 34. 408 p.

MORTON, R. A., Leach, M. P., Paine, J. G., Cardoza, M. A. 1993. Monitoring Beach Changes Using GPS Surveying Techniques. *Journal of Coastal Research*, 9, 702-720. .

MULLER-DOMBOIS, D.; ELLENBERG, H. Aims and methods of vegetation ecology. New York, John Wiley, 547p. 1974.

OLIVEIRA, T.R.S., Correia, K.V., Arruda, G.B., Melo, M.C.S.S., Barcellos, R.L. 2015. Estudo comparativo do fenômeno da erosão marinha e seus impactos na Praia de Boa Viagem, Recife, PE. *Estudos Geológicos*, 1, 119-136.

PINHEIRO, L.S., Morais, J.O., Maia, L.P. The beaches of Ceará. In: Short, A. & Klein, A.H.F. (eds) *Brazilian Beach Systems*. Springer, p. 175-197.

RIZZINI, C.T. 1997. Tratado de fitogeografia do Brasil – aspectos ecológicos, sociológicos e florísticos. Rio de Janeiro: Editora Âmbito Cultural.

SCHMIEGELOW, J. M. M. 2009. Manguezais do Sistema Estuarino de Santos (SP): Estrutura e Produção de Serrapilheira. 184 f. Tese (Doutorado em Ciências) – Instituto Oceanográfico da Universidade de São Paulo, Universidade de São Paulo, São Paulo.

SCOLFORD, J. R. S.; Pulz, F. A. & Melo, J. M. de. 1998. Modelagem de produção, idade das florestas nativas, distribuição espacial das espécies e a

análise estrutural. In: SCOLFORO, José Roberto. Manejo Florestal. Lavras: UFLA/FAEPE. p. 189-246.

SEMEOCHENKOVA, V., Newton, A. 2015. Overview of erosion and beach quality issues in three Southern European countries: Portugal, Spain and Italy. Ocean and Coastal Management, 118, 12-21

SILVA, I.X., MORAES, R.P., SANTOS, R.P., POMPÉIA, S.L., MARTINS, S.E. A degradação dos ecossistemas da Baixada Santista, São Paulo. In: 30 Simpósio de Ecossistemas da Costa Brasileira. Anais Serra Negra. ACIESP. p.129-40. São Paulo; 1993.

SOUZA, C.R. de G. & Suguio, K. 2003. The coastal erosion risk zoning and the São Paulo State Plan for Coastal Management. Journal of Coastal Research, SI 35, 530-592.

SOUZA, C.R. de G. 1997. As Células de Deriva Litorânea e a Erosão nas Praias do Estado de São Paulo. Tese de Doutoramento. Instituto de Geociências-USP. Volume I – Texto (184p.) e Volume II – Anexos (174p.).

SUGUIO, K. 1973. Introdução à Sedimentologia. Ed. Edgard Blucher/EDUSP. 317p.

TETRA TECH, 2015. Programa de Monitoramento Ambiental da Área de Disposição Oceânica de Materiais Dragados na Região do Porto de Santos. Relatório Trimestral – Novembro / 2014 a Janeiro/2015 – Março de 2015. 129 p.

VELOSO, H. P., RANGEL FILHO, A. L. R., LIMA, J. C. A. Classificação da vegetação brasileira, adaptada a um sistema universal. IBGE, Departamento de Recursos Naturais e Estudos Ambientais. 1991.s

## **4 ANEXOS**

**Anexo 01 – Foto aérea**

**Anexo 02 – Dados do Monitoramento Praial**

**Anexo 03 – Laudos de granulometria do Monitoramento Praial**

**Anexo 04 – Dados de alimentação artificial – Prefeitura de Santos**

|  |  |  |                                   |
|--|--|--|-----------------------------------|
| <b>Monitoramento Ambiental da Dragagem</b><br><b>Contrato DP/44.2015</b> | <b>Coordenadora Geral</b><br>Lígia Módolo Pinto  | Relatório Anual do Monitoramento das Áreas de Influência Da Dragagem de Aprofundamento Do Canal do Porto de Santos | <b>Rev. 00</b><br><b>Pag. 229</b> |
|--|--|--|-----------------------------------|